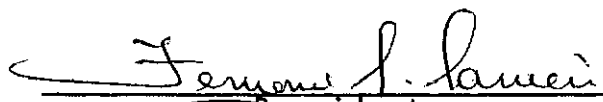


APLICABILIDADE DA HIPÓTESE DAS SEÇÕES PLANAS A PEÇAS
COM VARIAÇÃO LINEAR OU PARABÓLICA DA ALTURA DA
SEÇÃO TRANSVERSAL

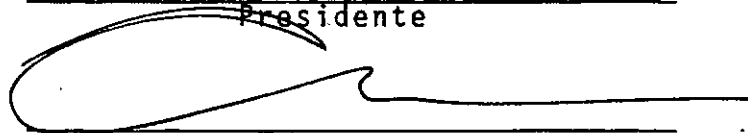
Webe João Mansur

TESE SUBMETIDA AO CORPO DOCENTE DA COORDENAÇÃO DOS
PROGRAMAS DE PÓS-GRADUAÇÃO DE ENGENHARIA DA UNIVER
SIDADE FEDERAL DO RIO DE JANEIRO COMO PARTE DOS RE
QUISITOS NECESSÁRIOS PARA A OBTENÇÃO DO GRAU DE
MESTRE EM CIÊNCIA (M. Sc.)

Aprovada por:



Presidente





ESTADO DO RIO DE JANEIRO-BRASIL
DEZEMBRO DE 1975

AGRADECIMENTOS

Ao Professor Fernando Luiz Lobo B. Carneiro que orientou o trabalho dando para este uma valiosa contribuição;

A Roberto Fernandes de Oliveira e Luiz Fernando Taborda Garcia;

À COPPE/UFRJ;

Ao Núcleo de Computação Eletrônica e ao RDC/PUC;

Ao Conselho Nacional de Pesquisas;

Aos Colegas e demais Professores da COPPE/UFRJ.

RESUMO

No presente trabalho é feito um estudo visando comprovar a limitação estabelecida no Capítulo 2, item A.9 da NB-1, a qual não permite que se considere para a fixação da altura de lajes e vigas nos apoios, no cálculo de dimensionamento, inclinações de mísulas maiores que $1/3$.

O estudo consiste na comparação do comportamento de uma haste simétrica bi-engastada, analisada pelo método dos elementos finitos e pela teoria da resistência dos materiais, admitindo-se nesta última análise duas considerações para o eixo da haste:

1. O eixo é reto
2. O eixo passa pelos pontos médios das alturas das seções.

A limitação preconizada pela NB-1, (inclinações menores que $1/3$) foi confirmada.

A análise da haste com a consideração do eixo passando pelos pontos médios das alturas conduz a resultados melhores que a análise com a consideração de eixo reto.

É também apresentado um programa automático para a análise de pórticos planos que contenham elementos com mísula.

ABSTRACT

The purpose of this work is to verify the correctness of the limitations established in Chapter 2, Item A.9, of the Brazilian Standard Code NB-1 according to which the inclination of haunches used to settle the height of slabs and beams at the supports must be $1/3$ as a maximum.

This study embodies a comparison of the behaviour of a symmetric fixed-end beam with rectangular cross section analysed by the finite element method and by the theory of mechanics of materials, adopting in the last analysis two hypotheses relative to the axis of the beam:

1. The axis is straight
2. The axis is the line passing through the mid-height of the cross section.

The analysis of the beam, according to the second hypothesis, leads to better results than the first one.

The limitation imposed by NB-1 Standard Code (inclination of haunches smaller than $1/3$) is correct.

There is a computer program herein, for the analysis of plane frames with haunched members.

INDICE

| | pg. |
|---|-----|
| INTRODUÇÃO | 1 |
| CAPÍTULO 1 - Comparações efetuadas e hipóteses | 5 |
| 1.1 - Preliminares | 5 |
| 1.2 - Comparações efetuadas | 5 |
| 1.3 - Hipóteses gerais e princípios | 7 |
| 1.3.1 - Hipóteses da teoria da elasticidade | 7 |
| 1.3.2 - Hipóteses da resistência dos materiais | 8 |
| 1.4 - Hipóteses particulares | 11 |
| 1.4.1 - Hipótese de eixo reto | 11 |
| 1.4.2 - Hipótese de eixo passando pelos pontos médios das alturas | 12 |
| 1.4.3 - Análise utilizando o método dos elementos finitos | 13 |
| 1.5 - Representação do comportamento do elemento | 16 |
| CAPÍTULO 2 - Procedimentos para a análise segundo a teoria elementar da resistência dos materiais | 18 |
| 2.1 - Preliminares | 18 |
| 2.2 - Considerações sobre a análise de estruturas reticuladas pelo método da rigidez | 18 |
| 2.2.1 - Automatização do método da rigidez | 18 |
| 2.2.2 - Obtenção da matriz de rigidez do elemento | 24 |

| | pg. |
|--|-----|
| 2.2.3 - Ações de engastamento perfeito nas extremidades dos elementos | 38 |
| 2.3 - Matriz de rigidez para elementos de seção constante, com m̄isula reta e com m̄isula parabólica | 43 |
| 2.3.1 - Matriz de rigidez para elementos com eixo reto e seção constante | 43 |
| 2.3.2 - Matriz de rigidez para elementos com m̄isula reta ou parabólica e eixo reto | 45 |
| 2.3.3 - Matriz de rigidez para elementos com m̄isula reta e eixo passando pelos pontos médios das alturas | 54 |
| 2.3.4 - Matriz de rigidez para elementos com m̄isula parabólica e eixo passando pelos pontos médios das alturas | 55 |
| 2.4 - Ações de engastamento perfeito para elementos com seção constante, com m̄isula reta e com m̄isula parabólica | 60 |
| 2.4.1 - Ações de engastamento perfeito para elementos com eixo reto e seção constante | 60 |
| 2.4.2 - Ações de engastamento perfeito para elementos com m̄isula reta ou parabólica e eixo reto | 60 |
| 2.4.3 - Ações de engastamento perfeito para elementos com m̄isula reta e eixo passando pelos pontos médios das alturas | 70 |
| 2.4.4 - Ações de engastamento perfeito para elementos com m̄isula parabólica e eixo passando pelos pontos médios das alturas | 70 |
| CAPÍTULO 3 - Programação Automática | 74 |
| 3.1 - Considerações gerais sobre o programa | 74 |

| | pg. |
|--|-----|
| 3.1.1 - Identificação da Estrutura | 74 |
| 3.1.2 - Eixos | 76 |
| 3.2 - Tratamento das cargas aplicadas | 78 |
| 3.3 - Resultados | 78 |
| 3.4 --Subrotinas do programa | 79 |
| 3.4.1 - Subrotina RGDIW | 79 |
| 3.4.2 - Subrotina KINW | 79 |
| 3.4.3 - Subrotina FINW | 80 |
| 3.4.4 - Subrotina CIVRW | 80 |
| 3.4.5 - Subrotina RDRIW | 80 |
| 3.4.6 - Subrotina MONTW | 80 |
| 3.4.7 --Subrotina DEBAW | 81 |
| 3.4.8 - Subrotina CONW | 82 |
| 3.4.9 - Subrotina CONCW | 82 |
| 3.4.10 - Subrotina DISCW | 83 |
| 3.4.11 - Subrotina CADTW | 84 |
| 3.4.12 - Subrotina SBANW | 84 |
| 3.5 - Diagrama de Blocos simplificado | 85 |
| CAPÍTULO 4 - Análise dos Resultados | 92 |
| 4.1 - Valores adotados na Análise | 92 |
| 4.2 - Análise dos esforços solicitantes nas seções do meio do vão e do engaste e dos deslocamentos verticais da seção do meio do vão | 93 |
| 4.3 - Influência do esforço normal decorrente de carregamentos verticais | 128 |
| 4.4 - Diagramas de tensões normais nas seções do engaste e do meio do vão | 146 |

| | pg. |
|--|-----|
| 4.5 - Convergência dos resultados referentes a análise pelo método dos elementos finitos | 212 |
| CAPÍTULO 5 - Conclusões | 213 |
| APÊNDICE A - Manual de Entrada do Programa | 227 |
| APÊNDICE B - Listagem do Programa | 234 |
| BIBLIOGRAFIA | 268 |

NOTAÇÕES

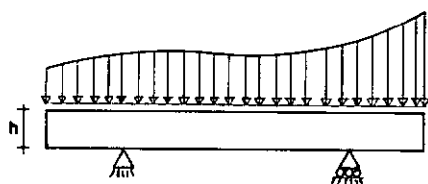
| | |
|-------------|--|
| [] | Matriz |
| { } | Vetor |
| T | Transposição de matriz |
| V | Relação entre o comprimento do trecho de altura variável e o comprimento total do elemento com mĩsula. |
| VN | Relação entre a inĩrcia do trecho de seção constante e do apoio do elemento com mĩsula |
| α | Ângulo que a tangente a mĩsula no apoio faz com a horizontal |
| P | Carga concentrada |
| q | Carga uniformemente distribuída |
| E | Módulo de elasticidade longitudinal |
| A_x | Área da seção transversal do elemento |
| I_z | Momento de inĩrcia em relação ao eixo ZM do elemento |
| h_x | Altura da seção transversal correspondente a uma abscissa x |
| h | Altura do trecho de seção constante de elementos com mĩsula |
| H | Altura dos apoios de elementos com mĩsula |
| N_i | Função de interpolação relativa ao nó i |
| ξ, η | Coordenadas normalizadas |
| $[SM]_i$ | Matriz de rigidez do elemento referida aos eixos locais |
| $[SMD]_i$ | Matriz de rigidez do elemento referida aos eixos da estrutura |
| $[SJ]$ | Matriz de rigidez global da estrutura |

- [S] Matriz de rigidez correspondente aos graus de liberdade da estrutura
- {A} Ações aplicadas diretamente aos nós
- {AML}_i Ações de engastamento perfeito devido as cargas aplicadas ao elemento
- {AE} Vetor de cargas nodais equivalentes
- {AC} Vetor de cargas nodais combinadas
- {AD} Vetor de cargas nodais combinadas correspondente aos graus de liberdade
- {D} Deslocamentos dos nós da estrutura referidos aos eixos globais
- {AM}_i Ações de extremo do elemento
- {DJ}_i Deslocamentos dos extremos do elemento referidos as direções globais
- L Comprimento de um elemento
- [FM] Matriz de flexibilidade do elemento
- [R] Matriz de rotação
- [RT] Matriz de rotação transformada
- {DL} Deslocamentos no extremo do elemento devido as cargas atuantes no elemento.

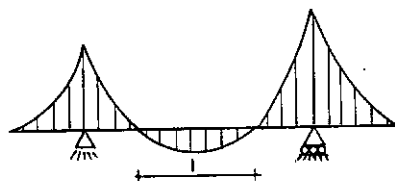
INTRODUÇÃO

Uma análise baseada na Teoria da Elasticidade pode ter sua formulação altamente complexa, sendo necessário, em certos casos, adotar métodos numéricos de resolução ou então procurar simplificações que permitam proceder a análise por teorias mais elementares.

Uma simplificação usual é a hipótese das seções planas, comprovada experimentalmente, desde que sejam obedecidas certas limitações. Por exemplo, para a viga da Fig. I.1, tal hipótese se aproxima bem das da Teoria da Elasticidade, desde que a relação h/ℓ não ultrapasse $1/2$.



(a) carregamento



(b) diagrama de momentos

Fig. I.1 - Limitações da hipótese das seções planas

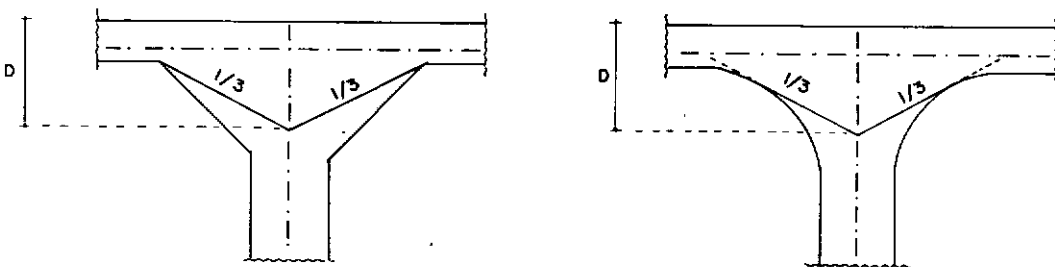
Se se quer analisar a viga da Fig. I.1 para relações h/ℓ maiores que $1/2$, métodos numéricos poderiam ser adotados, sendo os mais usuais o das diferenças finitas e o dos elementos finitos. Atualmente o segundo, em geral, é o preferido.

O objetivo principal deste trabalho é verificar até que limites o comportamento, segundo a Teoria da Elasticidade, de um elemento com m̃sula é bem representado pelas hipóteses simplificadoras assumidas na Resistência dos Materiais (hipótese das

seções planas e consideração de eixo reto passando pelo ponto médio da menor altura).

A esse respeito o Capítulo II item A.9, da NB-1, recomenda:

"Para a fixação da altura de lajes e vigas, nos apoios, no cálculo de dimensionamento, não se consideram inclinações de mísulas maiores que $1/3$ ".



(a) mísula reta

(b) mísula parabólica

Fig. I.2 - Fixação da altura de lajes e vigas nos apoios segundo a NB-1

Serã também pesquisado se a consideração de eixo passando pelos pontos médios das alturas fornece resultados mais satisfatórios que a hipótese de eixo reto mencionada acima.

O estudo se baseia numa comparação entre os resultados obtidos segundo as hipóteses já citadas e os fornecidos por uma análise pelo método dos elementos finitos. Neste último caso, utiliza-se o elemento isoparamétrico quadrático, para estado plano, com oito pontos nodais. O uso deste elemento permite alcançar resultados suficientemente próximos dos obtidos por uma análise mais rigorosa pela teoria da elasticidade.

CAPÍTULO 1

COMPARAÇÕES EFETUADAS E HIPÓTESES

1.1 - Preliminares

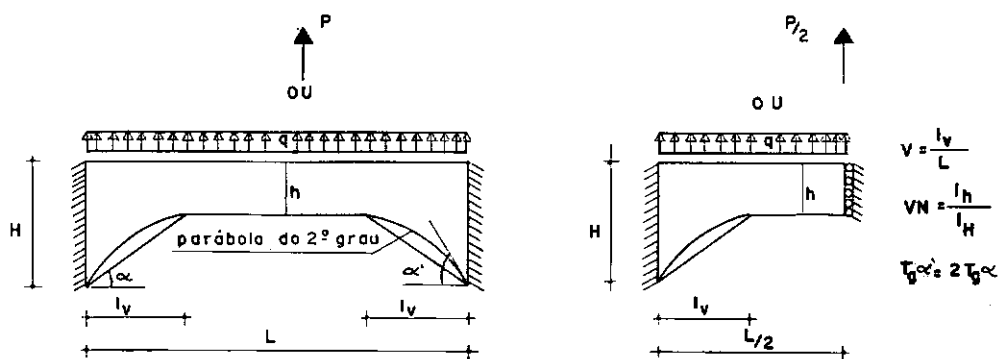
Neste capítulo serão discutidas as comparações efetuadas no decorrer do trabalho, as hipóteses assumidas e algumas consequências destas hipóteses, tais como o princípio da superposição dos efeitos e a maneira de aplicar o princípio dos trabalhos virtuais na análise de estruturas reticuladas.

1.2 - Comparações Efetuadas

Serã estudado o comportamento de uma haste simétrica, biengastada, com mīsula reta ou parabōlica, sujeita a um carregamento concentrado (P) no meio do vāo, ou a um carregamento uniformemente distribuído total (q).

Serão analisadas as hipóteses de eixo reto (item 1.4.1) e de eixo passando pelos pontos mēdios das alturas (item 1.4.2) e os resultados obtidos serāo comparados com os da análise pelo mētodo dos elementos finitos (item 1.4.3), para valores das relaçōes V , V_N e $tg\alpha$ indicadas na Fig. 1.1a.

Tendo em vista a simetria da haste e do carregamento aplicado, o deslocamento horizontal de qualquer ponto da seção do meio do vão é nulo. Assim sendo, em termos de utilização do computador, visando minimizar os possíveis erros de truncamento na análise pelo método dos elementos finitos, bem como por questões de economia, o elemento da Fig. 1.1.a será substituído pelo da Fig. 1.1.b.



(a) Elemento a ser analisado (b) utilização da simetria

Fig. 1.1 - Geometria, condições de apoio e carregamento do elemento

1.3 - Hipóteses Gerais e Princípios

1.3.1 -- Hipóteses da Teoria da Elasticidade

São as seguintes as hipóteses básicas da Teoria da Elasticidade, para a análise a ser efetuada:

- a) material homogêneo e continuamente distribuído sobre o volume do corpo
- b) material isotrópico
- c) material linear (que segue a lei de Hooke)
- d) pequenas deformações e pequenos deslocamentos que não afetem substancialmente a ação das forças externas ou seja, os cálculos são sempre baseados nas dimensões iniciais e na forma inicial.

Comentários

Os quesitos c e d dão origem a Teoria da Elasticidade Linear para a qual se pode aplicar o princípio da superposição dos efeitos, que diz:

"Os efeitos produzidos por várias causas podem ser obtidos combinando-se os efeitos produzidos por cada uma das causas atuando isoladamente".

Mesmo admitindo-se as hipóteses enunciadas em a, b, c e

d, ainda assim torna-se bastante difícil, para a peça em estudo (vide Fig. 1.1), proceder a uma análise segundo os desenvolvimentos usuais da Teoria Matemática da Elasticidade. Assim sendo, recorre-se a uma solução aproximada, pelo método dos elementos finitos, que como já se frisou anteriormente, permite alcançar resultados suficientemente próximos dos que seriam obtidos por uma análise mais rigorosa.

Acrescente-se ainda que, face a natureza do problema em estudo, se está diante de um estado plano de tensões, ou seja, as tensões são nulas na direção normal ao plano da peça.

1.3.2 - Hipóteses da Resistência dos Materiais

A formulação de acordo com a resistência dos materiais (Teoria Elementar) inclui, além das hipóteses a, b, c e d indicadas no item 1.3.1, duas simplificações:

- a) a peça pode ser representada por um eixo
- b) hipótese das seções planas

"Após o carregamento as seções continuam planas e normais ao eixo da peça".

Comentários

A hipótese das seções planas, juntamente com o princípio da superposição dos efeitos, permitem derivar, diretamente do princípio dos trabalhos virtuais, o método da carga unitária, que é extremamente vantajoso para a análise de estruturas reticuladas. No que se segue procura-se mostrar como a utilização do princípio dos trabalhos virtuais permite formular o método da carga unitária, para análise de pórticos planos.

O princípio dos trabalhos virtuais pode ser enunciado da seguinte maneira:

"Se a um sistema deformável, em equilíbrio, se dão pequenos deslocamentos virtuais, compatíveis, o trabalho virtual das forças externas sobre os deslocamentos virtuais é igual ao trabalho virtual das forças internas".

Considere-se uma ação $A_i = 1$, correspondente a direção i de um deslocamento D_i . Imponha-se como deslocamento virtual da estrutura, os deslocamentos devidos às cargas reais atuantes. O trabalho total da força externa A_i sobre o deslocamento virtual D_i , correspondente, vale $1 \times D_i$. O trabalho virtual dos esforços internos $N_{x,i}$, $N_{y,i}$ e $M_{z,i}$ sobre os deslocamentos virtuais

$\frac{N_x}{EA_x}$, $\frac{N_y}{GA_y}$, $\frac{M_z}{EI_z}$ vale:

$$\int_{est} \left(\frac{N_x \cdot N_{x,i}}{E A_x} + \frac{N_y \cdot N_{y,i}}{G A_y} + \frac{M_z \cdot M_{z,i}}{E I_z} \right) ds$$

onde:

$N_{x,i}$, $N_{y,i}$ e $M_{z,i}$ são os esforços internos para $A_i = 1$

N_x , N_y e M_z são os esforços internos para as cargas reais atuantes

A_x e A_y são as áreas da seção transversal e área da seção transversal reduzida

I_z é o momento de inércia relativo ao eixo z

E e G são os módulos de elasticidade longitudinal e transversal.

Pode-se então escrever:

$$1 \times D_i = \int_{est} \left(\frac{N_x \cdot N_{x,i}}{E A_x} + \frac{N_y \cdot N_{y,i}}{G A_y} + \frac{M_z \cdot M_{z,i}}{E I_z} \right) ds \quad (1.1)$$

O efeito da parcela $\frac{N_y \cdot N_{y,i}}{G A_y}$ tem pequena influência na análise de estruturas compostas de hastes de fraca curvatura e pode neste caso ser desprezado. A eq. 1.1 se reduz então a:

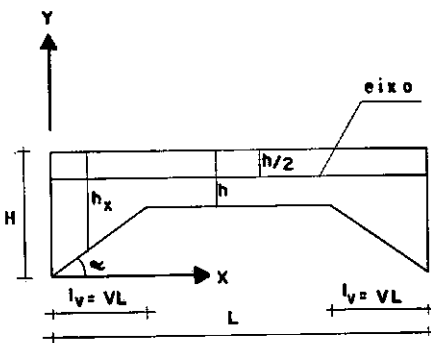
$$D_i = \int_{est} \left(\frac{N_x \cdot N_{x,i}}{E A_x} + \frac{M_z \cdot M_{z,i}}{E I_z} \right) ds \quad (1.2)$$

Nas formulações apresentadas neste trabalho, para análise de pórticos planos pelos métodos da flexibilidade e da rigidez, o método da carga unitária será aplicado, a partir da equação 1.2.

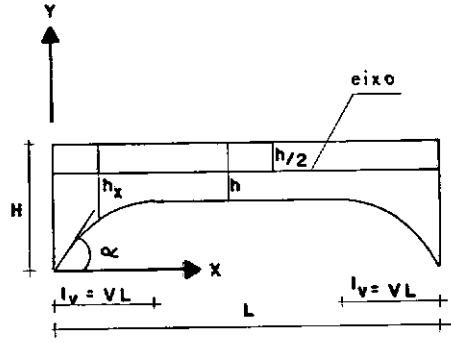
1.4 - Hipóteses Particulares

1.4.1 - Hipótese de Eixo Reto

Esta é a maneira usual de se proceder a análise. Além de se admitir o comportamento elástico linear e a hipótese das seções planas, o eixo do elemento e a altura correspondente a uma abscissa x , para o cálculo dos esforços solicitantes, são os indicados na fig. 1.2. Por outro lado, o diagrama de tensões normais é obtido para o eixo passando pelo centro de gravidade da seção.



(a) m̄sula reta



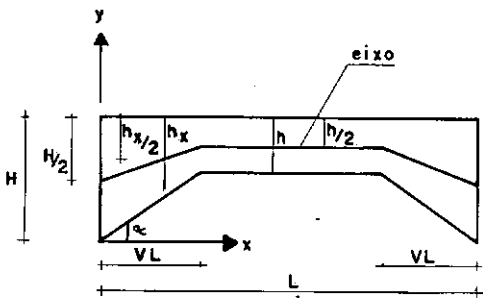
(b) m̄sula parab3lica

Fig. 1.2 - Hip3tese de eixo reto passando pelo ponto m3dio da menor altura

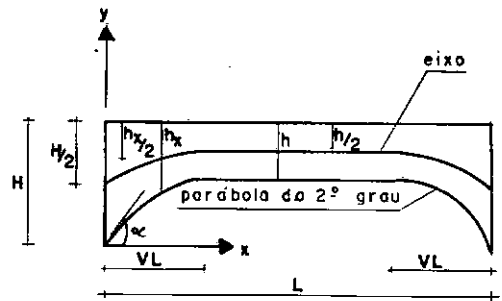
3 importante observar que para carregamentos verticais n3o se obt3m esfor3o normal no elemento, o que evidentemente n3o est3 correto.

1.4.2 - Hip3tese de Eixo Passando pelos Pontos M3dios das Alturas

Al3m de se admitir o comportamento el3stico linear e a hip3tese das se33es planas (tal como no item 1.4.1), o eixo do elemento, tanto para a determina33o dos esfor3os solicitantes co_mo para o tra3ado dos diagramas de tens3es normais nas se33es, 3 considerado na posi33o indicada na fig. 1.3. A considera33o da altura h_x , correspondente a uma abscissa x , 3 id3ntica a do item 1.4.1.



(a) m̄sula reta



(b) m̄sula parabólica

Fig. 1.3 - Hipótese de eixo passando pelos pontos médios das alturas

Deve ser observado que para carregamentos verticais esta hipótese conduz ao aparecimento de esforço normal no elemento.

1.4.3 - Análise Utilizando o Método dos Elementos Finitos

O elemento utilizado é o isoparamétrico quadrático, com oito pontos nodais (fig. 1.4) e dois graus de liberdade por nó (duas translações).

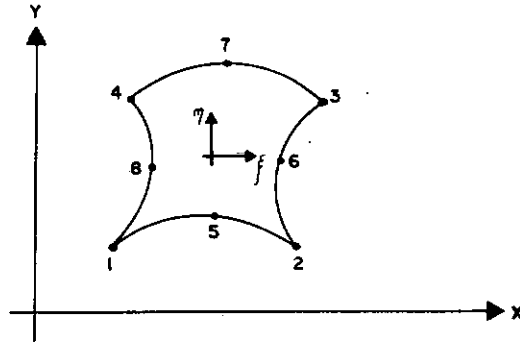


Fig. 1.4 - Elemento para estado plano utilizado na análise

O elemento \bar{e} para estado plano com quatro pontos nodais de canto e quatro pontos nos meios dos lados. As funções de interpolação assumidas para os deslocamentos são as mesmas que definem a geometria do elemento e estão indicadas a seguir:

$$N_i = 1/4(1 + \xi_0)(1 + \eta_0)(\xi_0 + \eta_0 - 1) \quad i = 1, 2, 3, 4$$

$$N_i = 1/2(1 - \xi^2)(1 + \eta_0) \quad i = 5, 7$$

$$N_i = 1/2(1 - \eta^2)(1 + \xi_0) \quad i = 6, 8$$

$$\xi_0 = \xi\xi_i \quad \text{e} \quad \eta_0 = \eta\eta_i$$

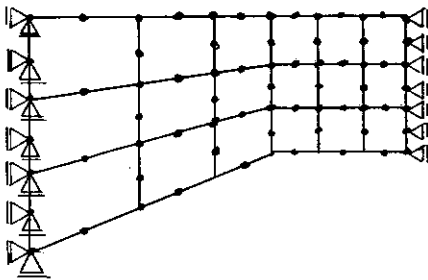
O programa utilizado na análise \bar{e} o que consta do trabalho

"Programa General para Analisis Estático de Estruturas", de Raul A. Feijoo e Luis F. Rojas Monteiro, publicação técnica 16-74, COPPE/UFRJ, setembro de 1974.

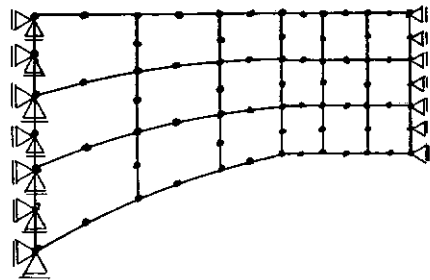
O programa está apresentado para uso em computadores IBM-1130, tendo sido adaptado inicialmente para o computador IBM/370/45 (R. D. C. - PUC), onde foi desenvolvida parte da análise, e posteriormente para o computador Burroughs B6700 (NCE-UFRJ), onde os trabalhos foram concluídos.

Outras adaptações foram feitas, tais como geração automática de malha, saída em cartões etc., para facilitar a entrada de dados e a análise dos resultados.

Nas figs. 1.5.a e 1.5.b estão indicadas as malhas adotadas e condições de apoio, utilizando-se a simetria.



(a) m̃sula reta



(b) m̃sula parab3lica

Fig. 1.5 - Malha e condiç3es de apoio, para an3lise do elemento pelo m3todo dos elementos finitos

1.5 - Representaça3o do Comportamento do Elemento

Para a an3lise do comportamento do elemento da fig. 1.1, de acordo com os itens 1.4.1, 1.4.2 e 1.4.3 foram escolhidos para termos de comparaça3o:

- momento fletor na seça3o do engaste
- esforço na direça3o horizontal, na seça3o do engaste (que 3 igual ao esforço normal na seça3o do meio do v3o)
- momento fletor na seça3o do meio do v3o
- deslocamento vertical do ponto m3dio da altura da seça3o do meio do v3o

- diagramas de tensões normais nas seções do engaste e do meio do vão.

CAPÍTULO 2

PROCEDIMENTOS PARA A ANÁLISE SEGUNDO A TEORIA DA RESISTÊNCIA DOS MATERIAIS

2.1 - Preliminares

Embora não sendo o objetivo principal do trabalho, foi desenvolvido um programa para a análise de pórticos planos, pelo método da rigidez, através do qual se faz a análise do membro para as considerações de eixo reto e eixo passando pelos pontos médios das alturas.

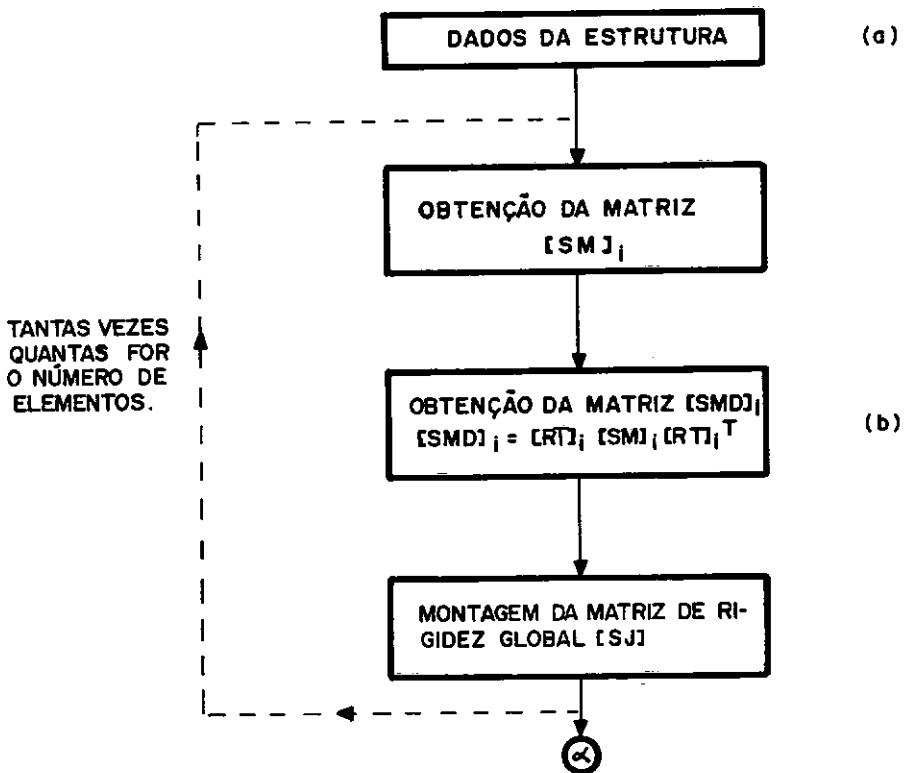
2.2 - Considerações sobre a Análise de Estruturas Reticuladas pelo Método da Rigidez

2.2.1 - Automatização do Método de Rigidez

Neste método, as incógnitas são os deslocamentos livres dos nós da estrutura, também chamados graus de liberdade.

Para pórticos planos o número de graus de liberdade por nó é 3 (translações x e y e rotação z).

Os passos fundamentais para a automatização da análise de estruturas reticuladas pelo método da rigidez podem ser resumidos no esquema da fig. 2.1, indicado a seguir:



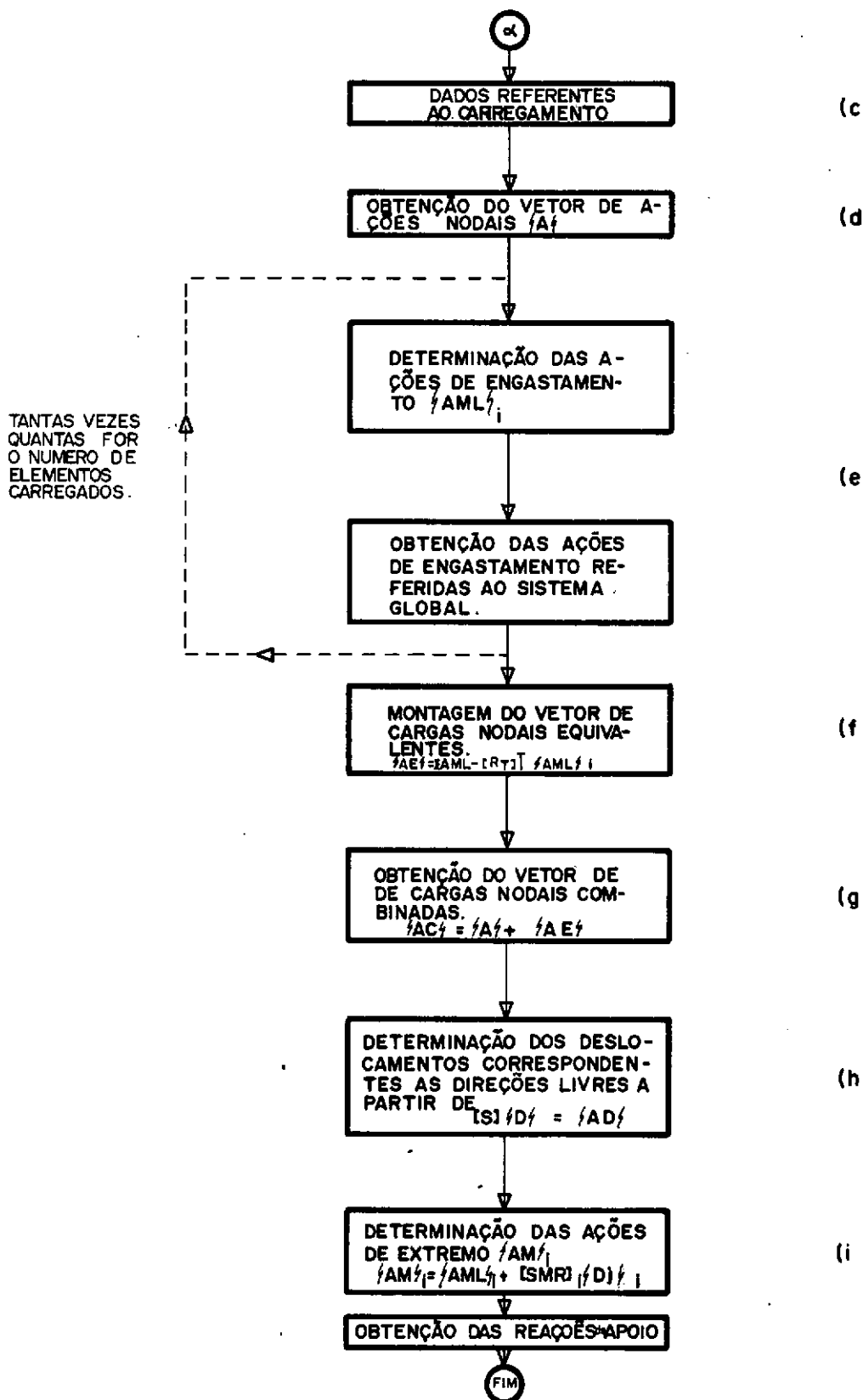


Fig. 2.1 - Passos fundamentais para a automatização da análise de estruturas reticuladas pelo método da rigidez

Comentários

(a) Os dados da estrutura são fornecidos em relação a um sistema de referência global, devendo ser numerados previamente todos os nós e membros. A numeração dos nós está associado, para cada elemento, um sistema de referência local, em relação ao qual se fornecem os dados relativos ao elemento.

(b) Determina-se a matriz de rigidez do elemento i , $[SM]_i$, referida ao sistema de eixos locais.

A seguir obtém-se a matriz de rigidez do elemento i , $[SMD]_i$, referida aos eixos da estrutura, pela operação matricial $[SMD]_i = [RT]_i^T [SM]_i [RT]_i$ onde $[RT]$ representa a matriz de rotação transformada.

Os coeficientes de $[SMD]_i$ são acumulados nas posições adequadas da matriz de rigidez global $[SJ]$, de maneira que coeficientes de $[SMD]_i$, de membros que concorrem no mesmo nó, se somem.

Repetida esta sistemática para todos elementos monta-se a matriz de rigidez global $[SJ]$.

(c) São fornecidos certos dados preliminares, relativos ao carregamento aplicado à estrutura.

(d) As ações que atuam diretamente nos nós são montadas em um vetor de ações nodais $\{A\}$, referido às direções globais.

(e) As ações aplicadas nos membros são manobradas indiretamente na forma de ações de engastamento perfeito, $\{AML\}_i$, aplicadas ao extremo do elemento i , com sinal trocado (ações nodais equivalentes). Tais ações são calculadas nas direções locais e transformadas para as direções globais, através do produto das matrizes $[RT]_i^T$ e $\{AML\}_i$. Este procedimento se estende a todos os elementos com carregamento.

(f) As ações de engastamento perfeito, referidas as direções globais, são acumuladas nas posições convenientes do vetor de cargas nodais equivalentes, $\{AE\}$, de maneira que os termos de $[RT]_i^T \{AML\}_i$, para elementos que concorram num mesmo nó, se somem. Na equação $\{AE\} = \sum AML - [RT]_i^T \{AML\}_i$ (escrita de forma simbólica), $\sum AML$ representa as contribuições de elementos já considerados anteriormente ao elemento i .

(g) O vetor de cargas nodais combinadas $\{AC\} = \{A\} + \{AE\}$ é tal que fornece os mesmos deslocamentos da estrutura para as cargas reais. Os termos de $\{AC\}$ correspondentes às direções livres constituem o vetor $\{AD\}$.

(h) Os deslocamentos dos nós da estrutura, correspondentes às direções livres, são obtidos pela resolução do sistema de equações $\{AD\} = [S]\{D\}$, uma vez que são considerados nulos os deslocamentos de apoio. Esta expressão é derivada direta

te da equação $\{AJ\} = \{AJL\} + [SJ]\{DJ\}$ que traduz a condição de equilíbrio para todos os nós da estrutura e decorre diretamente da aplicação do princípio da superposição dos efeitos. O significado dos seus termos é o seguinte:

$\{AJ\}$ ações nos nós da estrutura real

$\{AJL\}$ ações nos nós da estrutura fixa (com todos os deslocamentos impedidos) devidas as cargas atuantes

$[SJ]$ ações que surgem na estrutura fixa, em todas as direções possíveis de haver deslocamentos, causadas por valores unitários destes mesmos deslocamentos.

(i) As ações de extremo de membro, $\{AM\}_i$, consistirão na superposição das ações de engastamento perfeito $\{AML\}_i$, e dos efeitos causados pelos deslocamentos dos extremos do elemento:

$$\{AM\}_i = \{AML\}_i + [SM]_i \{DM\}_i$$

Nesta expressão, $\{DM\}_i$ representa o vetor de deslocamentos do membro, referido às direções locais. Pode-se obtê-lo por intermédio da operação matricial $\{DM\}_i = [RT]_i \{DJ\}_i$, onde no vetor $\{DJ\}_i$ estão contidos os deslocamentos dos nós, do membro i , referidos às direções globais.

Pode-se escrever então:

$$\{AM\}_i = \{AML\}_i + [SM]_i [RT]_i \{DJ\}_i$$

O produto $[SM]_i [RT]_i$, na expressão acima, irá constituir a matriz $[SMR]_i$. Sendo assim a equação anterior toma o seguintes aspecto:

$$\{AM\}_i = \{AML\}_i + [SMR]_i \{DJ\}_i$$

(j) A obtenção das reações de apoio é imediata e encerra a análise. Neste trabalho tais reações são obtidas somando-se, nas direções restringidas, as contribuições das ações de extremo do membro e as cargas nodais aplicadas nestas direções com sinal invertido.

2.2.2 - Obtenção da Matriz de Rigidez do Elemento

a) Matriz de rigidez no sistema local

A associação de um elemento i (considerado isoladamente) com a estrutura é feita indicando o nó inicial j e o nó final k , interligados por este elemento. Tais nós definem o sistema de eixos locais XM, YM, ZM . O eixo XM é dirigido do nó j para o nó k , com o sentido positivo de j para k (fig. 2.2). O eixo ZM , perpendicular ao plano da estrutura é dirigido da figura para o observador. Determina-se o eixo YM de modo que o triedro XM, YM, ZM seja

direto. Se o elemento \bar{e} reto seu eixo coincide com X_M . Para elementos de eixo curvo pode ser considerado ainda um sistema de referência para cada seção S , X_S , Y_S e Z_S , tendo o eixo X_S a direção da tangente ao eixo do elemento, na seção. O eixo Z_S é paralelo a Z_M e o eixo Y_S é normal ao plano X_S , Z_S . Os esforços sollicitantes no elemento são referidos a este sistema de eixos.

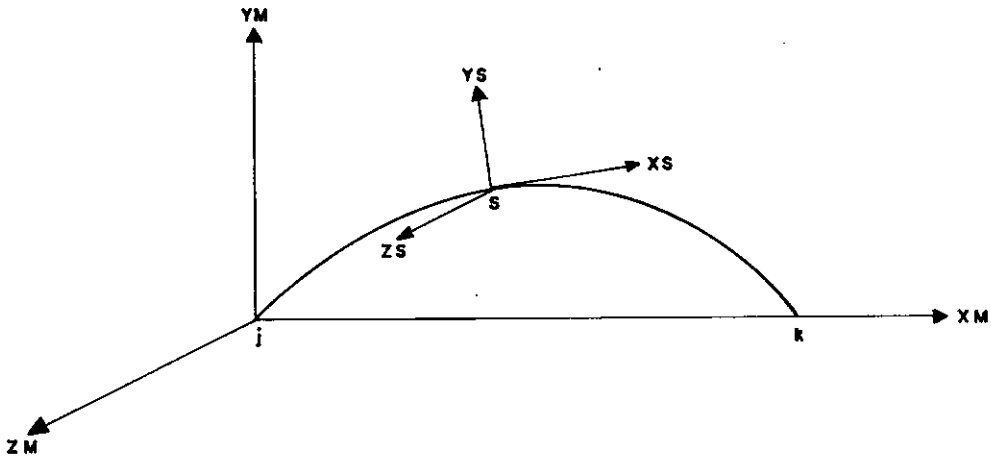


Fig. 2.2 - Eixos locais e na seção S

Os coeficientes da matriz de rigidez do elemento, $[SM]$, são as ações de engastamento que surgem nas direções de 1 a 6, do elemento engastado da fig. 2.3, devidas a deslocamentos unitários sucessivos nestas direções (o primeiro índice dos coeficientes i_n

dica causa e o segundo o efeito).

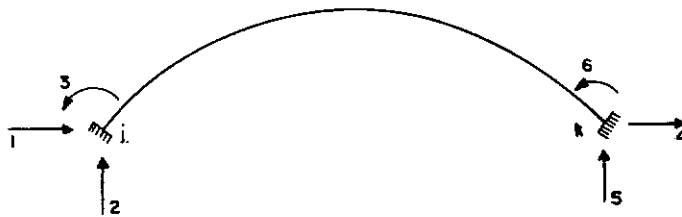


Fig. 2.3 - Direções das ações e deslocamentos no elemento

A matriz $[SM]$ é simétrica, quadrada (6 x 6), e pode ser dividida em quatro submatrizes:

$$[SM] = \begin{bmatrix} SM_{jj} & SM_{jk} \\ SM_{kj} & SM_{kk} \end{bmatrix}$$

A submatriz $[SM_{kk}]$ é constituída pelas ações na extremidade k do elemento, devidas a deslocamentos unitários na própria extermidade k. Seus coeficientes se referem às direções 4, 5 e 6 e podem ser obtidos pela inversão da matriz de flexibilidade $[FM_{kk}]$, correspondente a estas direções, do elemento haste em balanço in-

dicado na fig. 2.4 (os coeficientes de $[FM_{kk}]$ são deslocamentos na extremidade k , decorrentes de ações unitárias aplicadas na própria extremidade k).

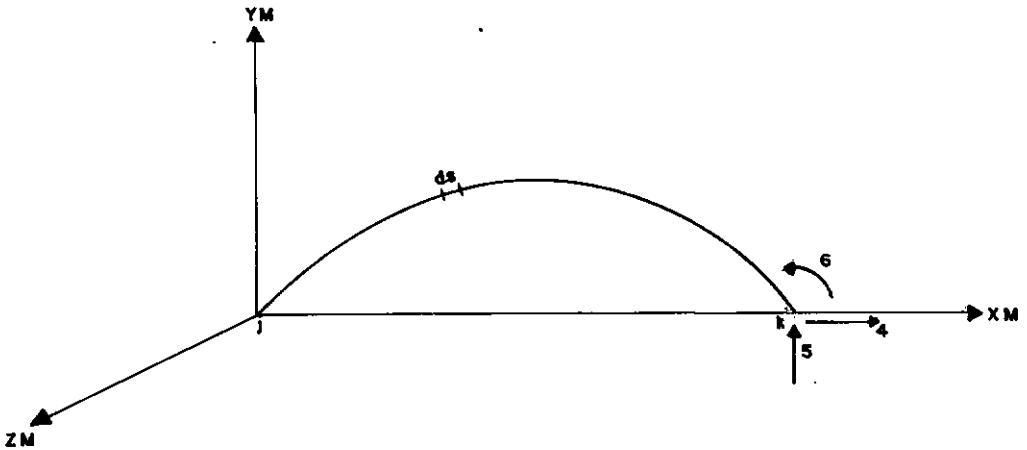


Fig. 2.4 - Elemento haste em balanço para a obtenção dos coeficientes de $[FM_{kk}]$

As matrizes $[FM_{kk}]$ e $[SM_{kk}]$ são quadradas (3×3) e simétricas, com o seguinte aspecto:

$$[FM_{kk}] = \begin{bmatrix} FM_{44} & FM_{45} & FM_{46} \\ FM_{54} & FM_{55} & FM_{56} \\ FM_{64} & FM_{65} & FM_{66} \end{bmatrix}$$

$$[SM_{kk}] = [FM_{kk}]^{-1} = \begin{bmatrix} SM_{44} & SM_{45} & SM_{46} \\ SM_{54} & SM_{55} & SM_{56} \\ SM_{64} & SM_{65} & SM_{66} \end{bmatrix}$$

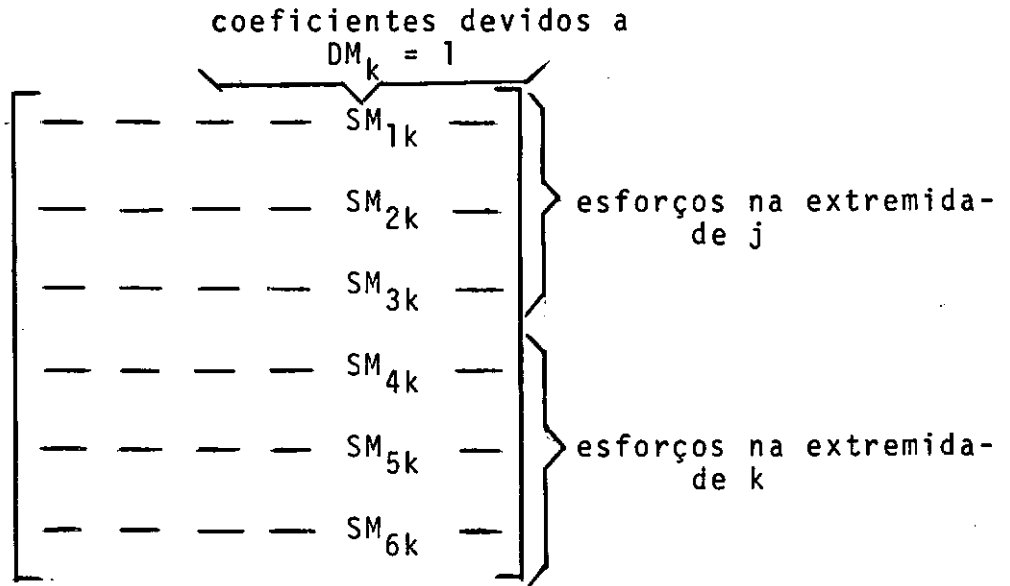
Um coeficiente de $[FM_{kk}]$ é obtido pela aplicação direta do método da carga unitária (equação 1.2):

$$FM_{ij} = \int_{\text{elemento}} \left(\frac{N_{x,i} \cdot N_{x,j}}{E A_x} + \frac{M_{z,i} \cdot M_{z,j}}{E I_z} \right) ds$$

Nesta expressão, FM_{ij} é o deslocamento na direção i produzido por um esforço unitário aplicado na direção j ; $N_{x,i}$ ou $N_{x,j}$ e $M_{z,i}$ ou $M_{z,j}$ são esforços solicitantes numa seção s do elemento em balanço (referidos ao sistema XS, YS e ZS), produzidos por um esforço unitário aplicado nas direções i ou j ; E, A_x e I_z são, respectivamente, o módulo de elasticidade longitudinal, a área da seção transversal e o momento de inércia com relação ao eixo ZM .

Uma vez obtida $[SM_{kk}]$, pode-se então construir a matriz $[SM_{jk}]$ como se segue.

Um deslocamento unitário na extremidade k do elemento dá origem a esforços nas extremidades j e k (vide fig. 2.5), que irão constituir, respectivamente, colunas correspondentes das submatrizes $[SM_{jk}]$ e $[SM_{kk}]$, conforme indicado no esquema abaixo.



Os esforços na extremidade j (Fig. 2.5), devidos ao deslocamento $DM_k = 1$, podem então ser determinados em função dos esforços na extremidade k, pelas condições de equilíbrio:

$$SM_{1k} + SM_{4k} = 0 \quad \therefore \quad SM_{1k} = - SM_{4k}$$

$$SM_{2k} + SM_{5k} = 0 \quad \therefore \quad SM_{2k} = - SM_{5k}$$

$$SM_{3k} + SM_{5k}L + SM_{6k} = 0 \quad \therefore \quad SM_{3k} = - (SM_{5k}L + SM_{6k})$$

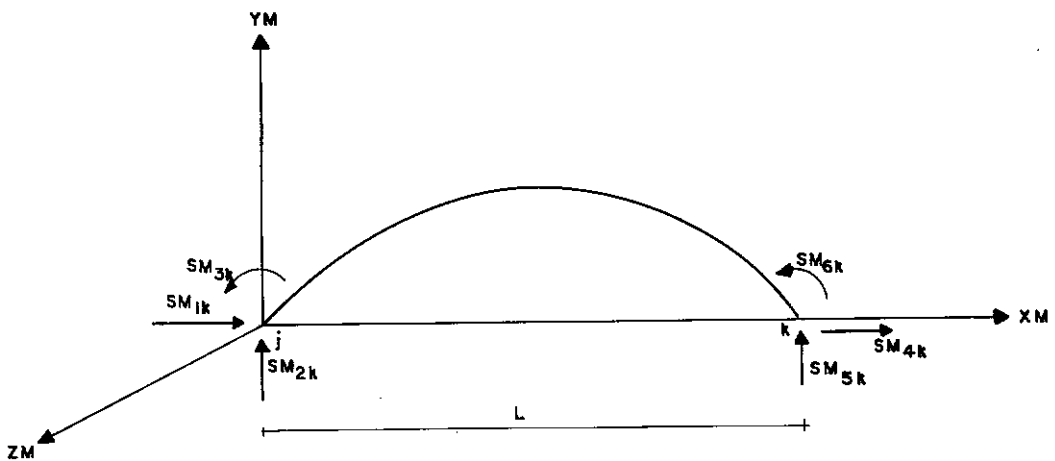


Fig. 2.5 - Esforços nas extremidades j e k devidos a um deslocamento $DM_k = 1$

Determinada a submatriz $[SM_{jk}]$, a submatriz $[SM_{kj}]$ pode ser obtida por simetria e a submatriz $[SM_{jj}]$ pode ser construída a partir dos coeficientes de $[SM_{kj}]$, novamente a partir das condições de equilíbrio. Pode-se, portanto, determinar a matriz $[SM]$ a partir dos seis coeficientes independentes da submatriz $[SM_{kk}]$, resultando então nas relações indicadas na Fig. 2.6.

| | | | | | |
|---|---|--|--|--|---|
| $SM_{11} =$ $= SM_{44}$ | $SM_{12} =$ $= SM_{45}$ | $SM_{13} =$ $= SM_{45}L+$ $+ SM_{46}$ | $SM_{14} =$ $= - SM_{44}$ | $SM_{15} =$ $= -SM_{45}$ | $SM_{16} =$ $= - SM_{46}$ |
| $SM_{21} =$ $= SM_{45}$ | $SM_{22} =$ $= SM_{55}$ | $SM_{23} =$ $= SM_{55}L+$ $+ SM_{56}$ | $SM_{24} =$ $= - SM_{45}$ | $SM_{25} =$ $= -SM_{55}$ | $SM_{26} =$ $= - SM_{56}$ |
| $SM_{31} =$ $= SM_{45}L+$ $+ SM_{46}$ | $SM_{32} =$ $= SM_{55}L+$ $+ SM_{56}$ | $SM_{33} =$ $= SM_{55}L^2 +$ $+ 2SM_{56}L+SM_{66}$ | $SM_{34} =$ $= -SM_{54}L-$ $- SM_{46}$ | $SM_{35} =$ $= -SM_{55}L-$ $- SM_{56}$ | $SM_{36} =$ $= -SM_{56}L-$ $-SM_{66}$ |
| $SM_{41} =$ $= - SM_{44}$ | $SM_{42} =$ $= - SM_{45}$ | $SM_{43} =$ $= -SM_{54}L -$ $- SM_{46}$ | SM_{44} | SM_{45} | SM_{46} |
| $SM_{51} =$ $= - SM_{45}$ | $SM_{52} =$ $= - SM_{55}$ | $SM_{53} =$ $= -SM_{55}L -$ $- SM_{56}$ | SM_{54} | SM_{55} | SM_{56} |
| $SM_{61} =$ $= - SM_{46}$ | $SM_{62} =$ $= - SM_{56}$ | $SM_{63} =$ $= -SM_{56}L -$ $- SM_{66}$ | SM_{64} | SM_{65} | SM_{66} |

Fig. 2.6 - Obtenção dos coeficientes da matriz de rigidez do elemento, $[SM]$, a partir dos seis coeficientes independentes da submatriz $[SM_{kk}]$

Eventualmente pode ser vantajosa a determinação de $[SM_{kk}]$ tomando como base o elemento-haste simplesmente apoiada, sendo um dos apoios fixo nas direções XM e YM e o outro fixo apenas na direção YM. Ambos os apoios, no entanto, são livres para a rotação em torno do eixo ZM (fig. 2.7).

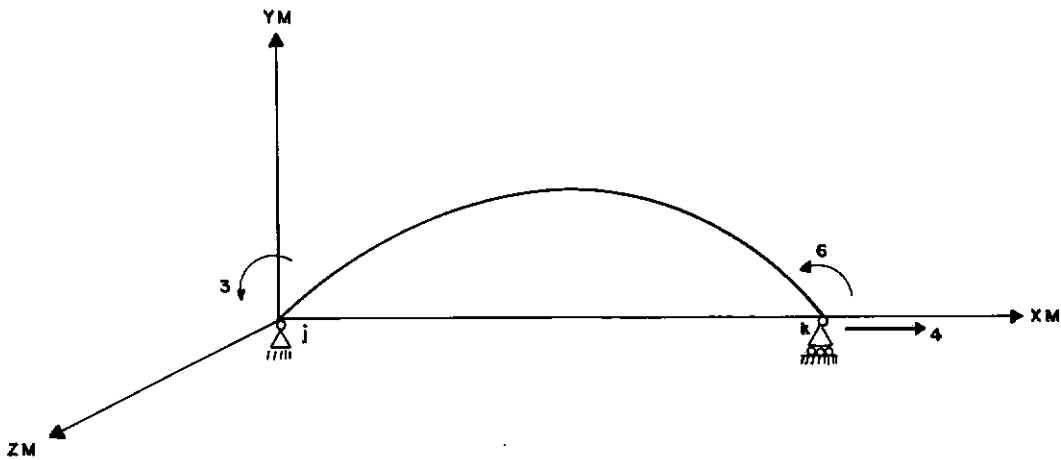


Fig. 2.7 - Elemento haste simplesmente apoiada

A determinação dos coeficientes da matriz de flexibilidade $[FM_{haste}]$, segundo as direções 4, 3 e 6 é feita a partir da equação 1.2, obviamente para esforços solicitantes $N_{x,i}$, $N_{x,j}$, $M_{z,i}$ e $M_{z,j}$ diferentes dos do elemento em balanço.

Ordenando os termos de $[FM_{haste}]$ tal que os coeficientes correspondentes as direções 4,3 e 6 fiquem em primeiro, segundo e terceiro lugares, respectivamente, e procedendo em seguida a inversão de $[FM_{haste}]$ para a obtenção de $[SM_{haste}]$, resulta:

$$[FM_{haste}] = \begin{bmatrix} FM_{44} & FM_{43} & FM_{46} \\ FM_{34} & FM_{33} & FM_{36} \\ FM_{64} & FM_{63} & FM_{66} \end{bmatrix}$$

$$[SM_{haste}] = [FM_{haste}]^{-1} = \begin{bmatrix} SM_{44} & SM_{43} & SM_{46} \\ SM_{34} & SM_{33} & SM_{36} \\ SM_{64} & SM_{63} & SM_{66} \end{bmatrix}$$

Os coeficientes restantes de $[SM_{haste}]$ necessários para completar $[SM_{kk}]$ são obtidos por equilíbrio:

$$\begin{aligned}
 SM_{45} = SM_{54} &= - \frac{SM_{43} + SM_{46}}{L} \\
 SM_{65} = SM_{56} &= - \frac{SM_{36} + SM_{66}}{L} \\
 SM_{55} &= - \frac{- SM_{33} + 2SM_{56}L + SM_{66}}{L^2}
 \end{aligned}
 \tag{2.1}$$

Uma vez obtida $[SM_{kk}]$ os passos a seguir para a determinação dos demais coeficientes de $[SM]$ já foram indicados.

b) Matriz de rigidez do elemento referida ao sistema global

A matriz de rigidez $[SM]$ pode ser referida as direções globais por intermédio de uma matriz $[RT]$.

O sistema de referência global escolhido para pórtico plano é o indicado na fig. 2.8. O plano X-Y contém o plano da estrutura, o eixo Z é dirigido da figura para o observador, e o triângulo X-Y-Z deve ser direto.

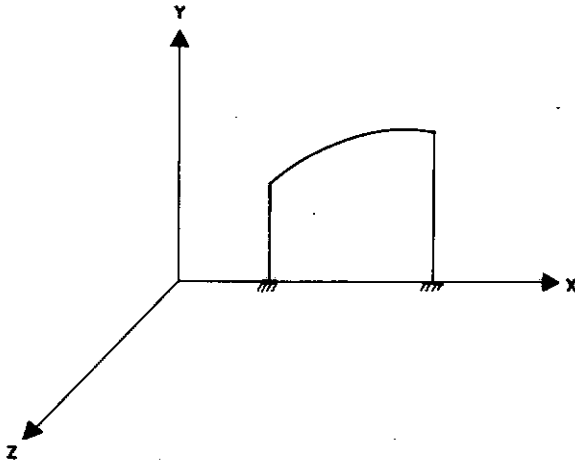


Fig. 2.8 - Eixos globais

Considere o elemento que une os nós j e k da estrutura, cujo eixo XM forma um ângulo γ com o eixo X (fig. 2.9). A matriz de rotação $[RT]$ através da qual o grupo de ações e deslocamentos para o sistema de eixos locais será referido ao sistema de eixos globais é ortogonal, ou seja $[RT]^T = [RT]^{-1}$, e da forma:

$$[RT] = \begin{bmatrix} R & | & 0 \\ \hline 0 & | & R \end{bmatrix} \quad \text{onde} \quad [R] = \begin{bmatrix} \cos\gamma & \text{sen}\gamma & 0 \\ -\text{sen}\gamma & \cos\gamma & 0 \\ 0 & 0 & 1 \end{bmatrix}$$

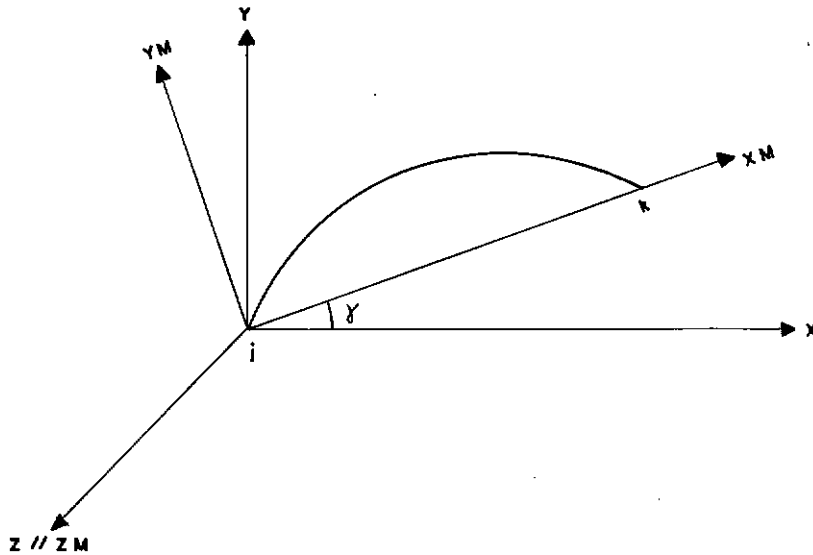


Fig. 2.9 - Rotação de eixos

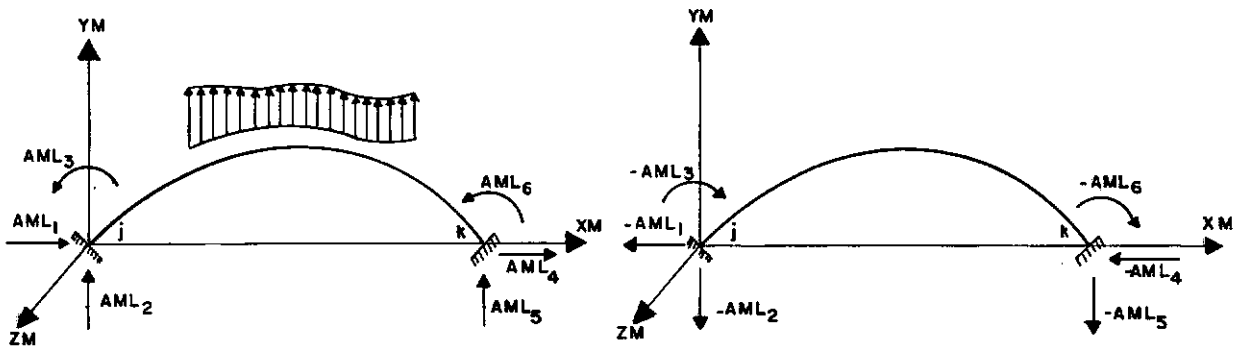
A transformação da matriz $[SM]$ para o sistema global é feita pela seguinte operação matricial:

$$[SMD] = [RT]^T [SM] [RT]$$

Os coeficientes de $[SMD]$ são esforços nas direções globais que surgem nas extremidades do membro bi-engastado, para deslocamentos unitários também nestas direções.

2.2.3 - Ações de Engastamento Perfeito nas Extremidades dos Elementos

As ações aplicadas nos elementos da estrutura são manobradas indiretamente na forma de ações de engastamento {AML} (fig. 2.10.a) aplicadas aos extremos com sinal trocado (fig. 2.10.b).



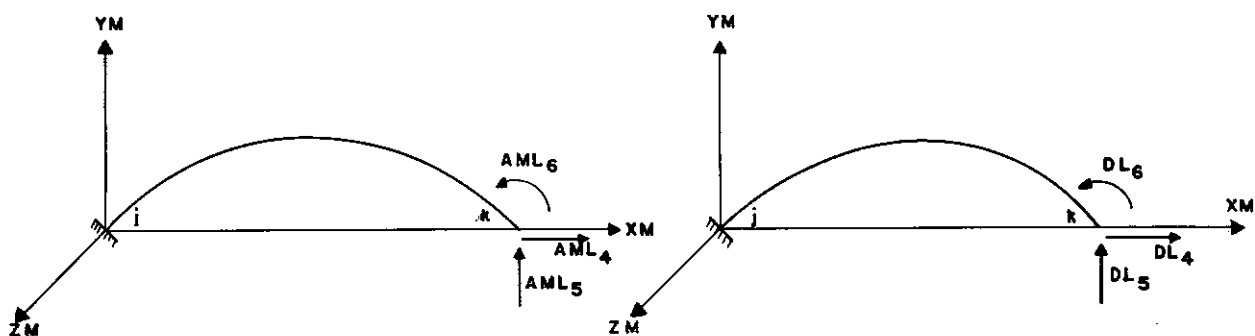
(a) ações de engastamento perfeito referidas as direções locais

(b) ações de extremo equivalentes referidas as direções locais

Fig. 2.10 - Tratamento das cargas no elemento

As ações de engastamento perfeito da extremidade k serão obtidas pelo método da flexibilidade e as da extremidade j decorrem do equilíbrio, da maneira indicada a seguir. Inicialmente, são liberados os vínculos nas direções dos AML₄, AML₅ e AML₆ pro

curados (redundantes estáticas) obtendo-se o elemento em balanço da fig. 2.11.a. Os deslocamentos correspondentes as direções 4, 5 e 6 devidos às cargas no membro irão constituir o vetor $\{DKL\}$ (fig. 2.11.b). A seguir é determinada a matriz de flexibilidade $[FM_{kk}]$ (item 2.2.2a).



(a) redundantes estáticas

(b) deslocamentos nas direções das redundantes, devidos ao carregamento

Fig. 2.11 - Haste em balanço obtida pela liberação dos vínculos nas direções das redundantes AML_4 , AML_5 e AML_6 procuradas.

O princípio da superposição dos efeitos e o fato de se conhecer os deslocamentos nas direções em que foram liberados os vínculos permite escrever a equação de compatibilidade do método da flexibilidade para o elemento em balanço, ou seja:

$$\{DL_k\} + [FM_{kk}]\{AML_k\} = \{0\}$$

Os $\{AML_k\}$ decorrem então de:

$$\{AML_k\} = - [FM_{kk}]^{-1} \{DL_k\}$$

ou:

$$\{AML_k\} = - [SM_{kk}]\{DL_k\}$$

Que escrita em forma expandida:

$$\begin{Bmatrix} AML_4 \\ AML_5 \\ AML_6 \end{Bmatrix} = - \begin{bmatrix} SM_{44} & SM_{45} & SM_{46} \\ SM_{54} & SM_{55} & SM_{56} \\ SM_{64} & SM_{65} & SM_{66} \end{bmatrix} \begin{Bmatrix} DL_4 \\ DL_5 \\ DL_6 \end{Bmatrix}$$

Estando $[SM_{kk}]$ determinada (item 2.2.2.a), é necessário no sistema de equações anterior, para a obtenção do vetor $\{AML_k\}$ o cálculo dos deslocamentos que irão constituir o vetor $\{DL_k\}$.

Um deslocamento DL_i , na direção i , produzido pelas cargas que atuam sobre o elemento será obtido pela aplicação direta do método da carga unitária (eq. 1.2):

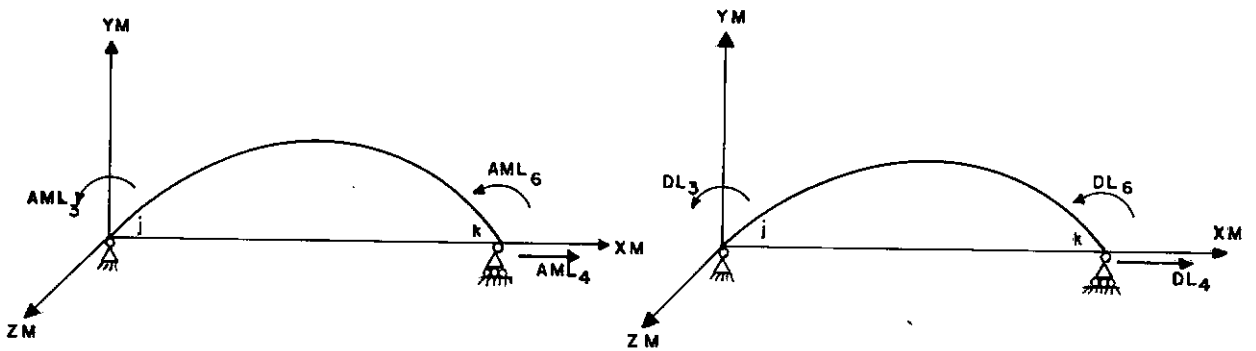
$$DL_i = \int_{\text{elemento}} \left(\frac{N_{x,i} \cdot N_{x,L}}{E A_x} + \frac{M_{z,i} \cdot M_{z,L}}{E I_z} \right) ds$$

Nesta expressão $N_{x,i}$ e $M_{z,i}$ são os esforços solicitantes na seção transversal do elemento em balanço (referidos aos eixos XS, YS e ZS), devidos a um esforço unitário aplicado na direção i do deslocamento procurado.

$N_{x,L}$ e $M_{z,L}$ são os esforços solicitantes na seção transversal do elemento em balanço (referidos aos eixos XS, YS e ZS) devidos as cargas.

Uma vez obtido o vetor $\{AML_k\}$, as ações de engastamento perfeito nas direções 1, 2 e 3 da extremidade j, que irão constituir o vetor $\{AML_j\}$, são obtidas por equilíbrio.

Se se quer obter os $\{AML\}$ tendo por base o sistema haste biapoiada a marcha a seguir é a mesma anterior. Os vínculos são liberados nas direções dos $\{AML_{haste}\}$ (redundantes estáticas) indicados na fig. 2.12.a. Na fig.2.12.b estão indicados os deslocamentos nas direções liberadas devidos aos carregamentos do elemento, que irão constituir o vetor $\{DL_{haste}\}$.



(a) redundantes estáticas

(b) deslocamentos nas direções das redundantes devidos aos carregamentos aplicados

Fig. 2.12 - Elemento haste bi-apoiada obtido pela liberação dos vínculos nas direções das redundantes AML₃, AML₄ e AML₆ procuradas

Seguindo a mesma sequência indicada anteriormente e ordenando as equações de maneira que as direções 4, 3 e 6 apareçam em primeiro, segundo e terceiro lugares respectivamente, obtem-se:

$$\{AML_{haste}\} = - [SM_{haste}] \{DL_{haste}\}$$

Que escrita em forma expandida:

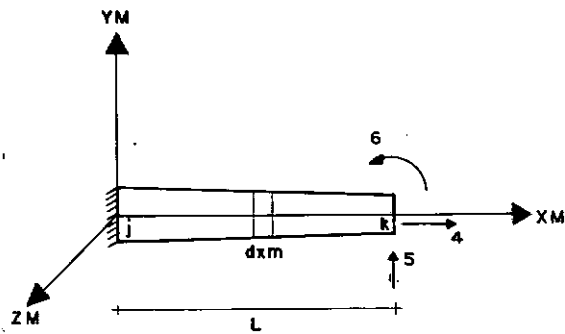
$$\begin{Bmatrix} \text{AML}_4 \\ \text{AML}_5 \\ \text{AML}_6 \end{Bmatrix} = - \begin{bmatrix} \text{SM}_{44} & \text{SM}_{43} & \text{SM}_{46} \\ \text{SM}_{34} & \text{SM}_{33} & \text{SM}_{36} \\ \text{SM}_{64} & \text{SM}_{63} & \text{SM}_{66} \end{bmatrix} \begin{Bmatrix} \text{DL}_4 \\ \text{DL}_3 \\ \text{DL}_6 \end{Bmatrix}$$

No sistema acima, $[\text{SM}_{\text{haste}}]$ foi obtida em 2.2.2.a, $\{\text{DL}_{\text{haste}}\}$ é obtido pela aplicação direta do método da carga unitária (eq. 1.2). As ações AML referentes as direções 1, 2 e 5 são obtidas por equilíbrio.

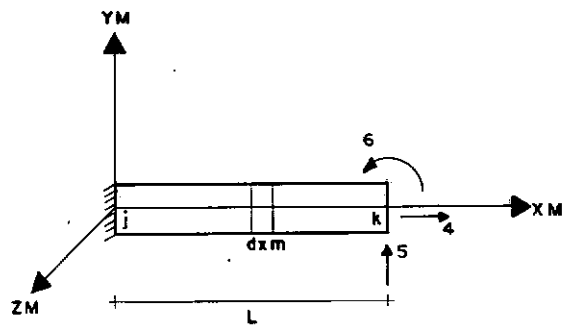
2.3 - Matriz de Rigidez para Elementos com Seção Constante, com Mísula Reta e com Mísula Parabólica

2.3.1 - Matriz de Rigidez para Elementos com Eixo Reto e Seção Constante

A matriz de rigidez para o elemento de eixo reto e seção variável (ou em particular seção constante) é obtida usualmente a partir da matriz de flexibilidade $[\text{FM}_{kk}]$ associada as direções 4, 5 e 6 do elemento em balanço, indicado na fig. 2.13.



(a) seção variável



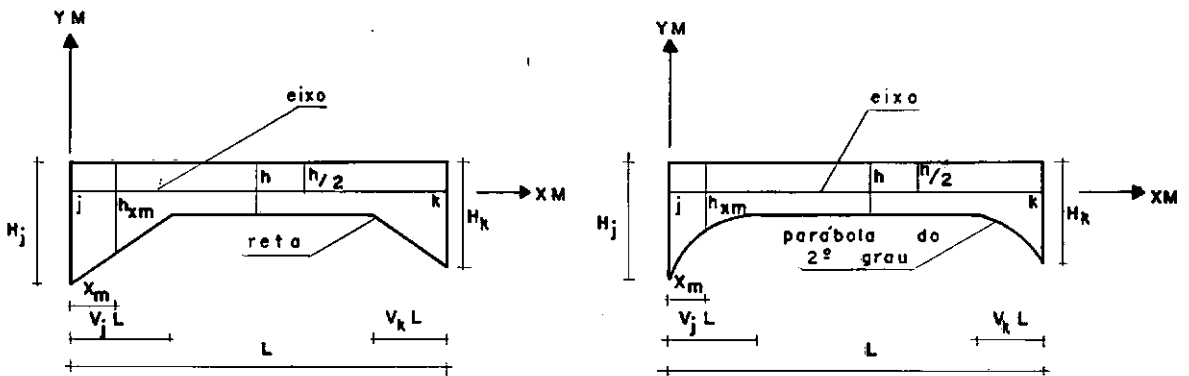
(b) seção constante

Fig. 2.13 - Elemento de eixo reto

A matriz $[FM_{kk}]$ para o elemento de eixo reto é a seguinte:

te:

$$[FM_{kk}] = \begin{bmatrix} \int_0^L \frac{1}{EA_x} dxm & 0 & 0 \\ 0 & \int_0^L \frac{(L-xm)^2}{EI_z} dxm & \int_0^L \frac{(L-xm)}{EI_z} dxm \\ 0 & \int_0^L \frac{(L-xm)}{EI_z} dxm & \int_0^L \frac{1}{EI_z} dxm \end{bmatrix}$$



(a) m̄sula reta

(b) m̄sula parab3lica

Fig. 2.14 - Elemento com m̄sula reta ou parab3lica e eixo reto

sendo:

$$V_j \text{ ou } k \quad \text{o comprimento da m̄sula correspondente ao n}^\circ \text{ j (inicial) ou k (final)}$$

$$VN_j \text{ ou } k \quad = \frac{\text{momento de in}^\circ \text{cia da parte constante}}{\text{momento de in}^\circ \text{cia dos apoios (j ou k)}}$$

Para elementos com m̄sula reta ou parab3lica ẽ eixo reto ẽ vantajoso trabalhar com o sistema viga-biapoiada (Fig. 2.15) pois os coeficientes FM_{33} , FM_{66} e $FM_{36} = FM_{63}$ das extremidades j e k encontram-se tabelados em obras cl3ssicas de autores tais como Guldán e Strassner, bastando determinar FM_{44} para completar

a matriz $[FM_{\text{viga}}]$.

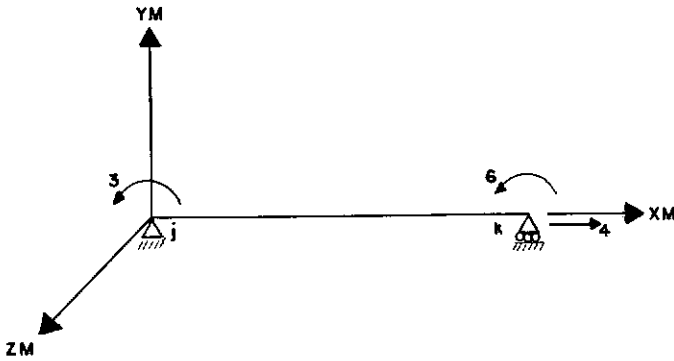


Fig. 2.15 - Elemento viga bi-apoiada

A matriz $[FM_{\text{viga}}]$ para o elemento de eixo reto e seção variável, ordenados seus termos, tal que os coeficientes correspondentes as direções 4,3 e 6 fiquem em primeiro, segundo e terceiro lugares respectivamente é a seguinte:

$$[FM_{\text{viga}}] = \begin{bmatrix} \int_0^L \frac{1}{EA_x} dx & 0 & 0 \\ 0 & \int_0^L \frac{(L-x)^2}{EI_z} dx & - \int_0^L \frac{x(L-x)}{EI_z} dx \\ 0 & - \int_0^L \frac{x(L-x)}{EI_z} dx & \int_0^L \frac{x^2}{EI_z} dx \end{bmatrix}$$

A resolução das integrais acima para elementos com m̄isula reta ou parab̄olica e eixo reto conduz a uma matriz $[FM_{viga}]$, cujo aspecto ẽ o seguinte:

$$[FM_{viga}] = \begin{bmatrix} \frac{L}{EA_h} \varphi_{44} & 0 & 0 \\ 0 & \frac{L}{3EI_h} \varphi_{33} & -\frac{L}{6EI_h} \varphi_{36} \\ 0 & -\frac{L}{6EI_h} \varphi_{63} & \frac{L}{3EI_h} \varphi_{66} \end{bmatrix}$$

Os coeficientes que faltam em $[SM_{viga}] = [FM_{viga}]^{-1}$ para completar $[SM_{kk}]$ s̄ao obtidos por equil̄brio conforme indicado no item 2.2.2.a.

A partir de $[SM_{kk}]$ os termos restantes de $[SM]$ s̄ao obtidos conforme indicado na Fig. 2.6, resultando:

| | | | | | |
|--|--|---|---|---|---|
| $x \left(\frac{1}{\varphi_{44}} \right) x$ EA_h $x \frac{h}{L}$ | | | | | |
| 0 | $\left(\frac{\varphi_{66} + \varphi_{36} + \varphi_{33}}{\Delta} \right) x$ $x \left(\frac{12EI_h}{L^3} \right)$ | | | | |
| 0 | $\left(\frac{2\varphi_{66} + \varphi_{36}}{\Delta} \right) x$ $x \left(\frac{6EI_h}{L^2} \right)$ | $\left(\frac{3\varphi_{66}}{\Delta} \right) x$ $x \left(\frac{4EI_h}{L} \right)$ | | | |
| $\left(\frac{1}{\varphi_{44}} \right) x$ $-EA_h$ $x \left(\frac{h}{L} \right)$ | 0 | 0 | $\left(\frac{1}{\varphi_{44}} \right) x$ EA_h $x \left(\frac{h}{L} \right)$ | | |
| 0 | $\left(\frac{\varphi_{66} + \varphi_{36} + \varphi_{33}}{\Delta} \right) x$ $x \left(-\frac{12EI_h}{L^3} \right)$ | $\left(\frac{2\varphi_{66} + \varphi_{36}}{\Delta} \right) x$ $x \left(-\frac{6EI_h}{L^2} \right)$ | 0 | $\left(\frac{\varphi_{66} + \varphi_{36} + \varphi_{33}}{\Delta} \right) x$ $x \left(\frac{12EI_h}{L^3} \right)$ | |
| 0 | $\left(\frac{2\varphi_{33} + \varphi_{36}}{\Delta} \right) x$ $x \left(-\frac{6EI_h}{L^3} \right)$ | $\left(\frac{3\varphi_{36}}{\Delta} \right) x$ $x \left(\frac{2EI_h}{L} \right)$ | 0 | $\left(\frac{2\varphi_{33} + \varphi_{36}}{\Delta} \right) x$ $x \left(-\frac{6EI_h}{L^2} \right)$ | $\left(\frac{3\varphi_{33}}{\Delta} \right) x$ $x \left(\frac{4EI_h}{L} \right)$ |

$\Delta = 4\varphi_{33}\varphi_{66} - \varphi_{36}^2$

Fig. 2.16 - Matriz de rigidez para o elemento com msula reta ou parablica e eixo reto.

Um coeficiente SM_{ij} da matriz indicada na Fig. 2.16 é expresso pelo produto do coeficiente de rigidez correspondente para o membro com inércia constante e igual \bar{a} do trecho central, $SM_{ij\text{constante}}$, por um coeficiente CR_{ij} :

$$SM_{ij} = CR_{ij} SM_{ij\text{ constante}}$$

As expressões que fornecem os coeficientes ψ são as seguintes:

$$\psi_{44} = [1 - V_j - V_k + V_j K_{j5} + V_k K_{k5}]$$

$$\psi_{33} = [1 - 3V_j(1-K_{j1}) + 3V_j^2(1-2K_{j1}+2K_{j2}) - V_j^3(1 - 3K_{j1} + 6K_{j2} - 3K_{j3}) - V_k^3(1-3K_{k1} + 6K_{k2} - 3K_{k3})]$$

$$\psi_{66} = [1 - 3V_k(1 - K_{k1}) + 3V_k^2(1 - 2K_{k1} + 2K_{k2}) - V_k^3(1 - 3K_{k1} + 6K_{k2} - 3K_{k3}) - V_j^3(1 - 3K_{j1} + 6K_{j2} - 3K_{j3})]$$

$$\psi_{36} = \psi_{63} = [1 - 3V_j^2(1 - 2K_{j1} + 2K_{j2}) + 2V_j^3(1 - 3K_{j1} + 6K_{j2} - 3K_{j3}) - 3V_k^2(1 - 2K_{k1} + 2K_{k2}) + 2V_k^3(1 - 3K_{k1} + 6K_{k2} - 3K_{k3})]$$

A seguir estão apresentadas as 6 constantes K_{mi} ($m = j$ ou k , $i = 1$ a 6) para o elemento com mĩsula reta ou parabõlica. Para a determinaçõ dos coeficientes de $[SM]$, apenas K_{m1} , K_{m2} , K_{m3} e K_{m5} ($m = j$ ou k) serõ utilizadas, porẽm as 6 constantes indicadas sãõ necessãrias quando da determinaçõ das ações de engastamento perfeito nas extremidades dos elementos.

- Constantes K_m ($m = j$ ou k) para elementos com mĩsula reta:

$$K_{m1} = S_m \frac{S_m C_m + 2}{2(S_m C_m + 1)^2}$$

$$K_{m2} = S_m^2 \frac{1}{2(S_m C_m + 1)^2}$$

$$K_{m3} = \frac{1}{C_m^3} \left[\text{Ln}(S_m C_m + 1) - \frac{S_m C_m (3S_m C_m + 2)}{2(S_m C_m + 1)^2} \right]$$

$$K_{m4} = \frac{1}{C_m^4} \left[-3 \text{Ln}(S_m C_m + 1) + \frac{S_m C_m (6 + 9S_m C_m + 2S_m^2 C_m^2)}{2(S_m C_m + 1)^2} \right]$$

$$K_{m5} = \frac{1}{C_m} \text{Ln}(S_m C_m + 1)$$

$$K_{m6} = \frac{1}{C_m^2} \left[S_m C_m - \text{Ln}(S_m C_m + 1) \right]$$

--Constantes K_m ($m = j$ ou k) para elementos com m̄sula pa
rabõlica

$$K_{m1} = \frac{1}{8} \left[S_m \frac{5+3S_m^2 C_m}{(S_m^2 C_m + 1)^2} + \frac{3}{\sqrt{C_m}} \arctg (S_m \sqrt{C_m}) \right]$$

$$K_{m2} = S_m^2 \frac{S_m^2 C_m + 2}{4(S_m^2 C_m + 1)^2}$$

$$K_{m3} = \frac{1}{8} \left[S_m \frac{S_m^2 C_m - 1}{C_m (1+S_m^2 C_m)^2} + \frac{1}{C_m \sqrt{C_m}} \arctg (S_m \sqrt{C_m}) \right]$$

$$K_{m4} = S_m^4 \frac{1}{4(S_m^2 C_m + 1)^2}$$

$$K_{m5} = \frac{1}{\sqrt{C_m}} \arctg (S_m \sqrt{C_m})$$

$$K_{m6} = \frac{1}{2C_m} \text{Ln} (S_m^2 C_m + 1)$$

sendo:

$$C_{m(m=j \text{ ou } k)} = \frac{1}{\sqrt{V N_{m(m=j \text{ ou } k)}}} - 1$$

Para a determinaçãõ dos coeficientes de [SM] deve-se adotar $S = 1$. Se a m̄sula for apenas em um lado do elemento (Figura 2.17) o valor de V adotado para o outro lado deve ser igual a zero.

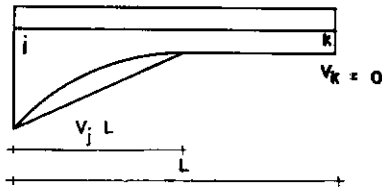


Fig. 2.17 - Elemento com m̃sula em apenas um extremo

Para esta situaçãõ a tendẽncia natural seria adotar $VN_k = 1$ ou seja $C_k = 0$, o que deve ser contornado. De uma maneira general, para programaçãõ deve-se evitar relações VN prõximas de 1. A m̃sula cuja relaçãõ VN for maior que .90 nãõ serã considerada , sendo a inẽrcia nesta extremidade admitida constante e igual a do trecho central.

2.3.3 - Matriz de Rigidez para Elementos com Mísula Reta e Eixo Passando pelos Pontos Médios das Alturas

Neste trabalho não foi desenvolvida a matriz de rigidez para este elemento. O que se faz é sua substituição por um elemento com seção constante, $i+1$, e dois outros com mísula reta e eixo reto, i e $i+2$, indicados na fig. 2.18, introduzindo-se nós nos pontos J2 e J3 onde o eixo muda de inclinação.

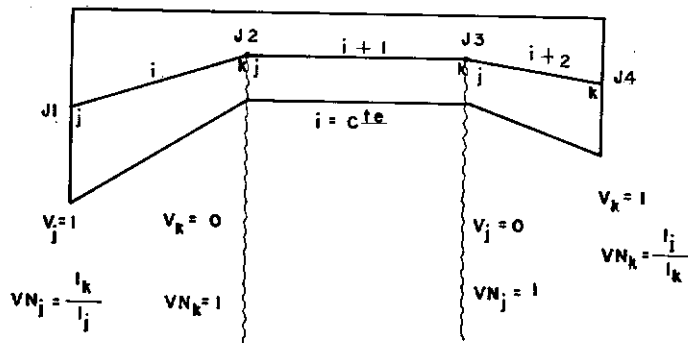


Fig. 2.18 - Elemento com mísula reta e eixo passando pelos pontos médios das alturas

2.3.4 - Matriz de Rigidez para o Elemento com Mísula Parabólica e Eixo Passando pelos Pontos Médios das Alturas

Como em 2.3.3, este elemento será substituído por um elemento com inércia constante, $i+1$, e dois outros, i e $i+2$, com altura e eixo variando parabolicamente, indicados na fig. 2.19, introduzindo-se nós nos pontos $J2$ e $J3$ onde o eixo passa a ser curvo.

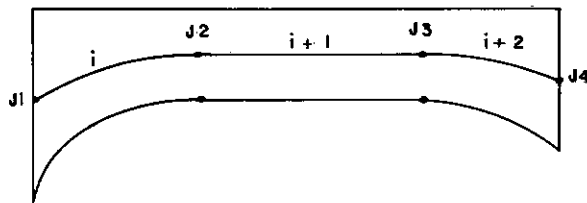


Fig. 2.19 - Elemento com mísula parabólica e eixo passando pelos pontos médios das alturas

Deve-se então determinar a matriz de rigidez para os elementos i e $i+2$ da fig. 2.19, com inércia variável e eixo curvo.

As expressões que fornecem y_m , A_x e I_z e $\text{tg}\alpha$, para o elemento $i+2$ da fig. 2.19, com relação ao sistema de eixos de referência do elemento (fig. 2.20) são:

$$y_m = \left(x_m + \frac{1}{2a \operatorname{sen}\beta} \right) \cot\beta - \frac{\sqrt{\cos^2\beta + 4ax_m \operatorname{sen}\beta}}{2a \operatorname{sen}^2\beta}$$

$$\text{tg}\alpha = \cot\beta - \frac{1}{\operatorname{sen}\beta \sqrt{\cos^2\beta + 4ax_m \operatorname{sen}\beta}} \quad (2.2)$$

$$A_x = A_h \left[1 + \frac{(H-h)}{h} \times \frac{(x_m - y_m \operatorname{tg}\beta)^2}{L^2} \right]$$

$$I_z = I_h \left[1 + \frac{(H-h)}{h} \times \frac{(x_m - y_m \operatorname{tg}\beta)^2}{L^2} \right]^3$$

sendo:

$$\beta = \operatorname{arctg} \frac{h-H}{2\ell} \quad \text{e} \quad a = \frac{h-H}{2\ell^2}$$

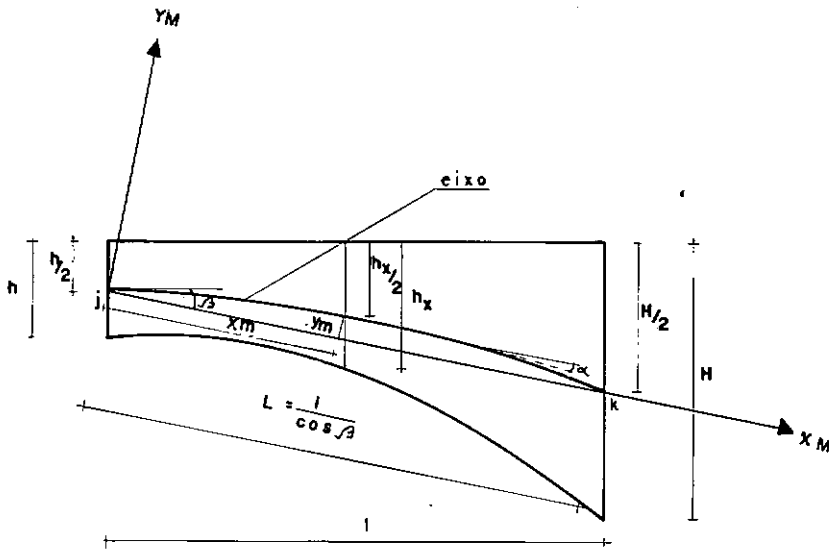


Fig. 2.20 - Elemento com m̄sula parab̄lica e eixo parab̄lico passando pelos pontos m̄dios das alturas

A matriz de rigidez deste elemento ̄ obtida a partir da matriz $[FM_{kk}]$ da haste em balanço da fig. 2.21. As express̄es que fornecem os coeficientes de $[FM_{kk}]$ para elementos de eixo curvo e sēo variável s̄o as seguintes:

$$FM_{44} = \int_0^L \left(\frac{\cos \alpha}{EA_x} + \frac{y_m^2}{EI_z \cos \alpha} \right) dx_m$$

$$FM_{45} = FM_{54} = \int_0^L \left(\frac{\text{sen}\alpha}{EA_x} + \frac{(L-xm)y}{EI_z \cos\alpha} \right) dxm$$

$$FM_{46} = FM_{64} = \int_0^L \frac{ym}{EI_z \cos\alpha} dxm \quad (2.3)$$

$$FM_{55} = \int_0^L \left(\frac{\text{sen}^2\alpha}{EA_x \cos\alpha} + \frac{(L-xm)^2}{EI_z \cos\alpha} \right) dxm$$

$$FM_{56} = FM_{65} = \int_0^L \frac{L-xm}{EI_z \cos\alpha} dxm$$

$$FM_{66} = \int_0^L \frac{1}{EI_z \cos\alpha} dxm$$

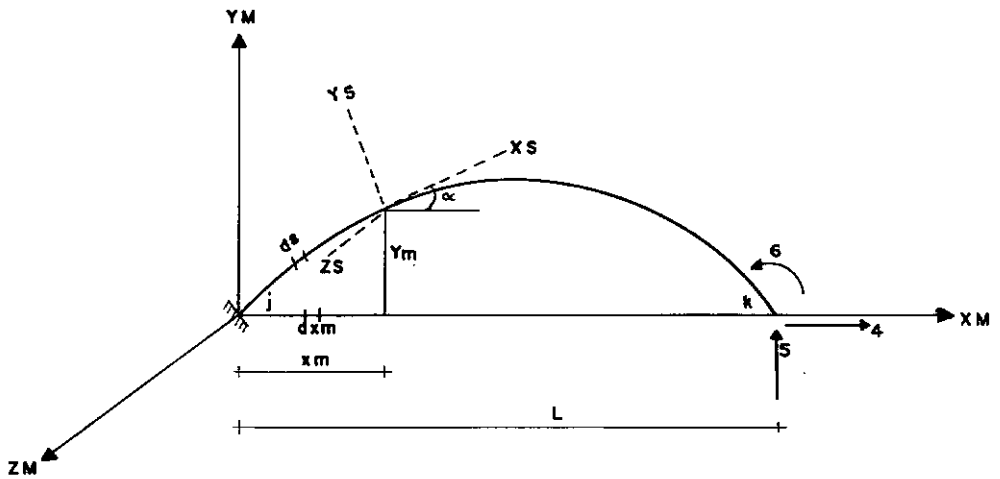


Fig. 2.21 - Direções a que correspondem os coeficientes de $[F_{M_{kk}}]$ e $[S_{M_{kk}}]$ para o elemento de eixo curvo

A matriz $[F_{M_{kk}}]$ para o elemento em questão é determinada por integração numérica, a partir de (2.2) e (2.3). A matriz de rigidez é então obtida de acordo com o indicado na fig. 2.6, a partir de $[S_{M_{kk}}] = [F_{M_{kk}}]^{-1}$.

Este elemento (ou de uma maneira geral um elemento de eixo curvo e seção variável) é tratado indiretamente, fornecendo-se ao programa os coeficientes SM_{44} , SM_{54} , SM_{55} , SM_{64} , SM_{65} , SM_{66} .

2.4 - Ações de Engastamento Perfeito para Elementos com Seção Constante, com Mísula Reta e com Mísula Parabólica

2.4.1 - Elemento com Eixo Reto e Seção Constante

As expressões que fornecem as ações de engastamento perfeito para este tipo de elemento são facilmente encontradas em formulários. Este trabalho trata apenas de carga concentrada, ou distribuída parcial com variação linear.

2.4.2 - Ações de Engastamento Perfeito para Elementos com Mísula Reta ou Parabólica e Eixo Reto

Para a obtenção das ações de engastamento perfeito $\{AML\}$ para elementos com mísula reta ou parabólica é conveniente trabalhar com o sistema viga-bi apoiada da fig. 2.22, pois os coeficientes do vetor $\{DL_{viga}\}$ correspondentes as direções 3 e 6 encontram-se tabelados para certos casos de carregamento. Os coeficientes do vetor $\{AML_{viga}\}$ segundo as direções 3, 4 e 6 são determinados pela eq. 2.4, e os restantes por equilíbrio.

$$\{AML_{viga}\} = [SM_{viga}]\{DL_{viga}\} \quad (2.4)$$

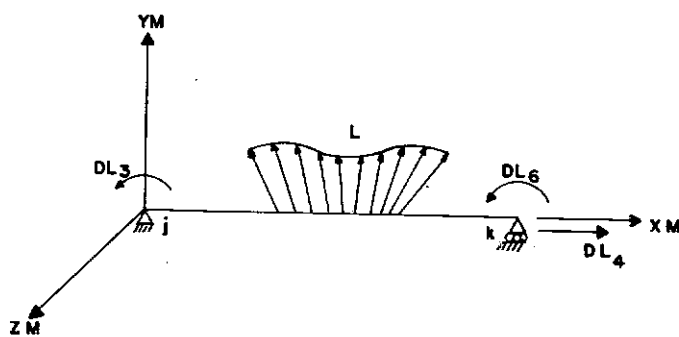


Fig. 2.22 - Coeficientes do vetor $\{DL_{viga}\}$ para o elemento viga simplesmente apoiada

a) Carga Concentrada

As expressões que fornecem os coeficientes correspondentes as direções 4, 3 e 6 (fig. 2.22), do vetor $\{DL_{viga}\}$, para elementos de eixo reto e seção variável sujeitos a um carregamento concentrado P , de componentes P_x e P_y nas direções dos eixos locais X_M e Y_M (fig. 2.23) são:

$$DL_4 = P_x \int_0^a \frac{1}{EA_x} dx$$

$$DL_3 = \frac{P_y b}{L^2} \int_0^a \frac{xm(L-xm)}{EI_z} dxm + \frac{P_y a}{L^2} \int_a^L \frac{(L-xm)^2}{EI_z} dxm$$

$$DL_6 = -\frac{P_y b}{L^2} \int_0^a \frac{xm^2}{EI_z} dxm - \frac{P_y a}{L^2} \int_a^L \frac{xm(L-xm)}{EI_z} dxm$$

Para elementos com m̄isula reta ou parab̄olica, da resolu-
 ç̄ao das integrais acima, resulta um vetor $\{DL_{viga}\}$ cujo aspecto
 ẽ o indicado em (2.5):

$$\{DL_{viga}\} = \left\{ \begin{array}{l} \frac{P_x L}{EA_h} \varphi_{L4} \\ \frac{P_y L^2}{6EI_h} \varphi_{L3} \\ -\frac{P_y L^2}{6EI_h} \varphi_{L6} \end{array} \right\} \quad (2.5)$$

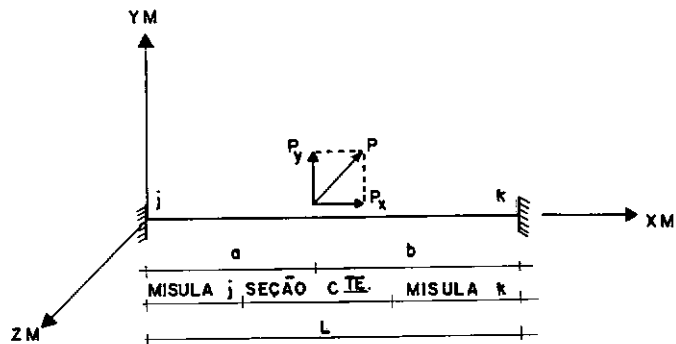


Fig. 2.23 - Componentes da carga concentrada no elemento de eixo reto

Da operação matricial indicada pela eq. 2.4 e do vetor $\{DL_{viga}\}$ indicado em 2.5 decorrem os coeficientes AML_4 , AML_3 e AML_6 e do equilíbrio do membro os restantes, sendo as seguintes suas expressões:

$$AML_1 = (-P_x) \varphi M_1 \qquad AML_4 = (-P_x) \varphi M_4$$

$$AML_2 = \left(-\frac{P_y}{3}\right) \varphi M_2 \qquad AML_5 = \left(-\frac{P_y}{3}\right) \varphi M_5$$

$$AML_3 = \left(-\frac{P_y L}{3}\right) \varphi M_3 \qquad AML_6 = \left(\frac{P_y L}{3}\right) \varphi M_6$$

onde:

$$\varphi_{M_1} = (1 - CR_{44}) \varphi_{L_4} \quad \varphi_{M_4} = CR_{44} \varphi_{L_4}$$

$$\varphi_{M_2} = \varphi_{M_3} - \varphi_{M_6} + 3(1-\mu) \quad \varphi_{M_5} = -(\varphi_{M_3} - \varphi_{M_6}) + 3\mu$$

$$\varphi_{M_3} = 2CR_{33} \varphi_{L_3} - CR_{36} \varphi_{L_6} \quad \varphi_{M_6} = 2CR_{66} \varphi_{L_6} - CR_{36} \varphi_{L_3}$$

Os coeficientes CR estão indicados na fig. 2.16.

Cada coeficiente φ_{L_i} é determinado por três expressões, conforme a carga P atue na mĩsula j, na mĩsula K ou no trecho de seção constante (fig. 2.23), indicadas a seguir:

- carga concentrada P atuando no trecho de seção constante:

$$\varphi_{L_4} = V_j (K_{j5} - 1) + \mu$$

$$\begin{aligned} \varphi_{L_3} = & (1+\mu) [6V_j^2 (K_{j1} - K_{j2}) - 6V_j^3 (K_{j1} - 2K_{j2} + K_{j3}) + \\ & + 3\mu^2 - 3V_j^2 - 2\mu^3 + 2V_j^3] + \mu [6V_k (K_{k1} - 2K_{k2} + \\ & + K_{k3}) + 2(1-\mu)^3 - 2V_k^3] \end{aligned}$$

$$\begin{aligned} \varphi_{L_6} = & \mu [6V_k^2 (K_{k1} - K_{k2}) - 6V_k^3 (K_{k1} - 2K_{k2} + K_{k3}) + \\ & + 3(1-\mu)^2 - 3V_k^2 - 2(1-\mu)^3 + 2V_k^3] + (1-\mu) [6V_j^3 (K_{j1} - \\ & - 2K_{j2} + K_{j3}) + 2\mu^3 - 2V_j^3] \end{aligned}$$

- carga concentrada P atuando no trecho da m'isula j:

$$\varphi_{L_4} = V_j (K_{j5} - KS_{j5})$$

$$\begin{aligned} \varphi_{L_3} = & 6(1-\mu)\{V_j^2(K_{j1} - KS_{j1} - K_{j2} + KS_{j2}) - \\ & - V_j^3 [K_{j1} - KS_{j1} - 2(K_{j2} - KS_{j2}) + K_{j3} - KS_{j3}]\} + \\ & + 2\mu [3KS_{j1}(V_j - 2V_j^2 + V_j^3) + 6KS_{j2}(V_j^2 - V_j^3) + \\ & + 3V_j^3 KS_{j3} + 1 - 3V_j + 3V_j^2 - V_j^3 - V_k^3 + 3V_k^3(K_{k1} - \\ & - 2K_{k2} + K_{k3})] \end{aligned}$$

$$\begin{aligned} \varphi_{L_6} = & \mu [6V_k^2 (K_{k1} - K_{k2}) - 6V_k^3 (K_{k1} - 2K_{k2} + K_{k3}) + \\ & + 1 - 3V_k^2 + 2V_k^3 - 3V_j^2 + 2V_j^3 + 6V_j^2 (KS_{j1} - \\ & - KS_{j2}) - 6V_j^3 (KS_{j1} - 2KS_{j2} + KS_{j3})] + \\ & + 6(1+\mu)\{V_j^3 [K_{j1} - KS_{j1} - 2(K_{j2} - KS_{j2}) + \\ & + K_{j3} - KS_{j3}]\} \end{aligned}$$

- carga concentrada P atuando no trecho da m'isula K:

$$\varphi_{L_4} = V_j K_{j5} + 1 - V_j - V_k + V_k KS_{j5}$$

$$\begin{aligned} \varphi_{L_3} = & (1-\mu) [6V_j^2 (K_{j1} - K_{j2}) - 6V_j^3 (K_{j1} - 2K_{j2} + K_{j3}) + \\ & + 1 - 3V_j^2 + 2V_j^3 - 3V_k^2 + 2V_k^3 + 6V_k^2 (KS_{k1} - \\ & - KS_{k2}) - 6V_k^3 (KS_{k1} - 2KS_{k2} + KS_{k3})] + \end{aligned}$$

$$+ 6\mu\{V_k^3[K_{k1} - KS_{k1} - 2(K_{k2} - KS_{k2}) + K_{k3} - KS_{k3}]\}$$

$$\begin{aligned} \varphi_{L6} = & 6\mu\{V_k^2(K_{k1} - KS_{k1} - K_{k2} + KS_{k2}) - V_k^3[K_{k1} - \\ & - KS_{k1} - 2(K_{k2} - KS_{k2}) + K_{k3} - KS_{k3}]\} + \\ & + 2(1-\mu)[3KS_{k1}(V_k - 2V_k^2 + V_k^3) + 6KS_{k2}(V_k^2 - \\ & - V_k^3) + 3V_k^3 KS_{k3} + 1 - 3V_k + 3V_k^2 - V_k^3 - V_j^3 + \\ & + 3V_j^3(K_{j1} - 2K_{j2} + K_{j3})] \end{aligned}$$

As expressões que fornecem K e KS estão indicadas no item 2.3.2. Para a determinação de K_j ou K_k deve-se adotar $S = 1$. Os valores de S_j ou S_k para a obtenção de KS_j ou KS_k são:

$$S_j = 1 - \frac{\mu}{V_j}, \quad S_k = 1 - \frac{1-\mu}{V_k} \quad \text{e} \quad \mu = \frac{a}{L},$$

sendo a a distância do nó j à carga P (vide fig. 2.23).

b) Carga Uniformemente Distribuída Total

As expressões que fornecem os coeficientes correspondentes às direções 4, 3 e 6 (fig. 2.22), do vetor $\{DL_{viga}\}$ para elementos de eixo reto e seção variável, sujeitos a um carregamento uniformemente distribuído total, Q , de componentes Q_x e Q_y nas direções dos eixos locais XM e YM (fig. 2.24) são:

$$DL_4 = Q_x \int_0^L \frac{(L-xm)}{EA_x} dxm$$

$$DL_3 = \frac{Q_y}{2L} \int_0^L \frac{(Lxm - xm^2)(L-xm)}{EI_z} dxm$$

$$DL_6 = -\frac{Q_y}{2L} \int_0^L \frac{(Lxm - xm^2)xm}{EI_z} dxm$$

Para elementos com msula reta ou parablica, o vetor DL_{viga} que resulta da resoluo das integrais acima tem o seguinte aspecto:

$$\{DL_{viga}\} = \left\{ \begin{array}{l} \frac{Q_x L^2}{2EA_h} \varphi_{L4} \\ \frac{Q_y L^3}{24EI_h} \varphi_{L3} \\ -\frac{Q_y L^3}{24EI_h} \varphi_{L6} \end{array} \right\} \quad (2.6)$$

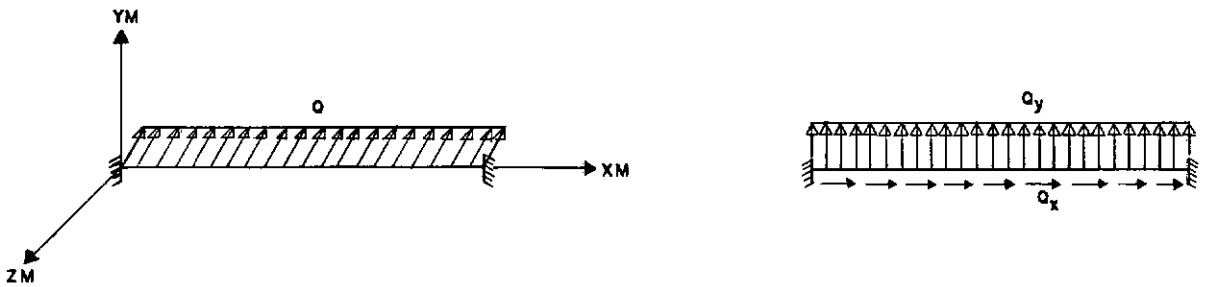


Fig. 2.24 - Componentes da carga uniformemente distribuída total no elemento de eixo reto

Da operação matricial indicada na eq. 2.4 e do vetor $\{DL_{\text{viga}}\}$ indicado em 2.6 decorrem os coeficientes AML_4 , AML_3 e AML_6 , e do equilíbrio do membro os restantes, sendo as seguintes suas expressões:

$$AML_1 = \left(-\frac{Q_x L}{2}\right) \varphi_{M_1}$$

$$AML_4 = \left(-\frac{Q_x L}{2}\right) \varphi_{M_4}$$

$$AML_2 = \left(-\frac{Q_y L}{2}\right) \varphi_{M_2}$$

$$AML_5 = \left(-\frac{Q_y L}{2}\right) \varphi_{M_5}$$

$$AML_3 = \left(-\frac{Q_y L^2}{12}\right) \varphi_{M_3}$$

$$AML_6 = \left(-\frac{Q_y L^2}{12}\right) \varphi_{M_6}$$

onde:

$$\varphi_{M_1} = (2 - CR_{44} \varphi_{L_4})$$

$$\varphi_{M_4} = CR_{44} \varphi_{L_4}$$

$$\varphi_{M_2} = \frac{1}{6} (\varphi_{M_3} - \varphi_{M_6}) + 1$$

$$\varphi_{M_5} = -\frac{1}{6} (\varphi_{M_3} - \varphi_{M_6}) + 1$$

$$\varphi_{M_3} = 2CR_{33}\varphi_{L_3} - CR_{36}\varphi_{L_6}$$

$$\varphi_{M_6} = 2CR_{66}\varphi_{L_6} - CR_{36}\varphi_{L_3}$$

Os coeficientes CR estão indicados na fig. 2.16.

As expressões para os coeficientes φ_{L_i} são as seguintes:

$$\begin{aligned} \varphi_{L_4} = & 2V_j K_{j5} - 2V_j^2 (K_{j5} - K_{j6}) + (1 - V_j)^2 - V_k^2 + 2V_k^2 (K_{k5} - \\ & - K_{k6}) \end{aligned}$$

$$\begin{aligned} \varphi_{L_3} = & 1 - 6V_j^2 (1 - 2K_{j1} + 2K_{j2}) + 8V_j^3 (1 - 3K_{j1} + 6K_{j2} - 3K_{j3}) - \\ & - 3V_j^4 (1 - 4K_{j1} + 12K_{j2} - 12K_{j3} + 4K_{j4}) - 4V_k^3 (1 - 3K_{k1} + \\ & + 6K_{k2} - 3K_{k3}) + 3V_k^4 (1 - 4K_{k1} + 12K_{k2} - 12K_{k3} + 4K_{k4}) \end{aligned}$$

$$\begin{aligned} \varphi_{L_6} = & 1 - 6V_k^2 (1 - 2K_{k1} + 2K_{k2}) + 8V_k^3 (1 - 3K_{k1} + 6K_{k2} - 3K_{k3}) - \\ & - 3V_k^4 (1 - 4K_{k1} + 12K_{k2} - 12K_{k3} + 4K_{k4}) - 4V_j^3 (1 - 3K_{j1} + \\ & + 6K_{j2} - 3K_{j3}) + 3V_j^4 (1 - 4K_{j1} + 12K_{j2} - 12K_{j3} + 4K_{j4}) \end{aligned}$$

As expressões que fornecem K_j ou K_k estão indicadas em 2.3.2 sendo os valores adotados para S_j ou S_k iguais a 1.

2.4.3 - Ações de Engastamento Perfeito para o Elemento com Mísula Reta e Eixo Passando pelos Pontos Médios das Alturas

A maneira através da qual este elemento é tratado foi descrita no item 2.3.3, onde o elemento é dividido em um com seção constante, e dois outros com mísula reta, para os quais as ações de engastamento perfeito são obtidas como indicado nos itens 2.4.1 e 2.4.2.

2.4.4 - Ações de Engastamento Perfeito para o Elemento com Mísula Parabólica e Eixo Passando pelos Pontos Médios das Alturas

A maneira pela qual este elemento é tratado é descrita no item 2.3.4, bastando então determinar as ações de engastamento perfeito para o elemento i ou $i+2$ indicado na fig. 2.19, com eixo curvo e inércia variável. Para estes elementos é usual trabalhar com o sistema haste em balanço da fig. 2.25, onde o vetor $\{DL_k\}$ se refere as direções 4, 5 e 6. Os coeficientes do vetor $\{AML_k\}$ segundo as direções 4, 5 e 6 são obtidos através da equação 2.7 e os restantes por equilíbrio.

$$\{AML_k\} = [SM_k] \{DL_k\} \quad (2.7)$$

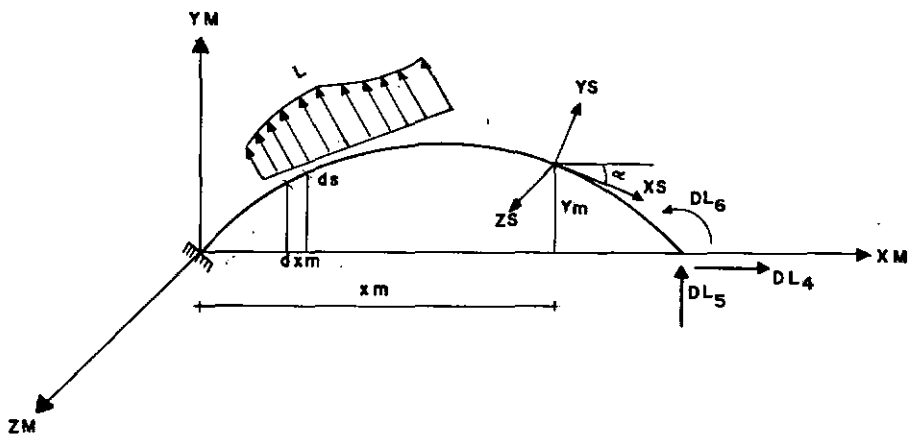


Fig. 2.25 - Coeficientes do vetor $\{DL_k\}$ para o elemento em balanço

a) Carga Concentrada

Devem ser fornecidas diretamente as ações de extremo do elemento, cujas expressões não são indicadas por não interessarem na análise.

b) Carga Uniformemente Distribuída Total

As expressões para M_Q e N_Q , momento e normal devidos ao carregamento distribuído Q , em um ponto do eixo definido por suas

coordenadas X_M e Y_M , para o elemento em balanço da fig. 2.26, são as seguintes:

$$M_Q = Q \frac{[(L-x_m) + y_m \operatorname{tg} \beta]^2}{2} \quad (2.8)$$

$$N_Q = Q [(L-x_m) + y_m \operatorname{tg} \beta] \cos \beta \operatorname{sen}(\alpha + \beta)$$

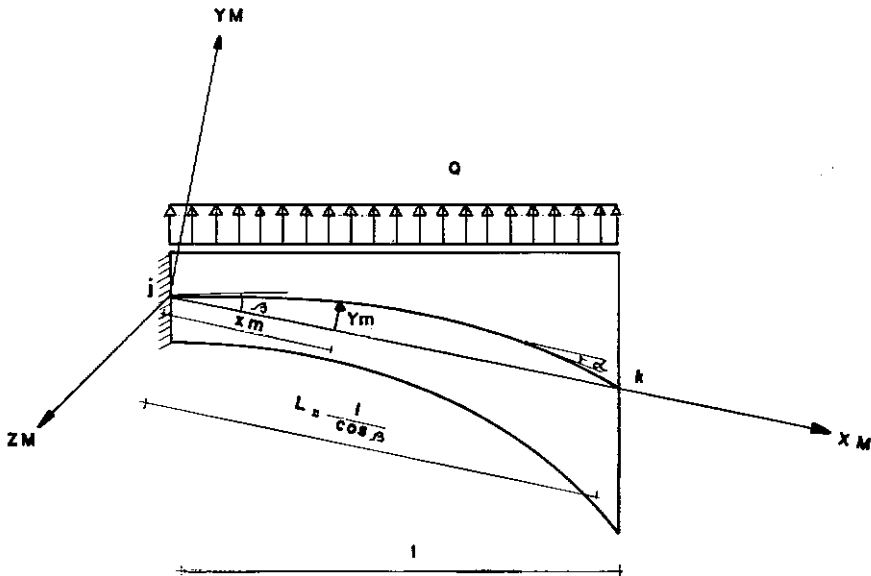


Fig. 2.26 - Carga uniformemente distribuída total no elemento com m̄isula parab̄olica e eixo passando pelos pontos m̄edios das alturas

Os coeficientes de $\{DL_k\}$ ser̄ao obtidos pelas seguintes express̄oes:

$$DL_4 = \int_0^L \left(\frac{M_Q ym}{EI_z \cos \alpha} + \frac{N_Q}{EA_x} \right) dxm \quad (2.9)$$

$$DL_5 = \int_0^L \left[\frac{M_Q(L-xm)}{EI_z \cos \alpha} + \frac{N_Q \operatorname{sen} \alpha}{EA_x \cos \alpha} \right] dxm$$

$$DL_6 = \int_0^L \frac{M_Q}{EI_z \cos \alpha} dxm$$

O vetor $\{DL_k\}$ é determinado por integração numérica, a partir das expressões 2.8 e 2.9. O vetor $\{AML_k\}$ pode ser então determinado pela operação matricial indicada na eq. 2.7, e os coeficientes restantes decorrem do equilíbrio. Este elemento não está programado, devendo o vetor $\{AML\}$ ser fornecido diretamente.

CAPÍTULO 3

PROGRAMAÇÃO AUTOMÁTICA

3.1 - Considerações Gerais sobre o Programa

Tendo por base o que foi descrito no Capítulo II, foi elaborado um programa automático para a análise de pórticos planos constituídos por elementos de seção constante ou com mīsula reta ou parabōlica. Se se quer analisar pórticos planos, que contenham elementos de forma qualquer, tanto a matriz de rigidez como as ações de engastamento perfeito, devem ser fornecidas diretamente, em relação ao sistema de eixos do elemento.

3.1.1 - Identificação da Estrutura

a) Numeração dos Elementos e dos nōs

Antes de se iniciar a análise da estrutura, ē necessārio numerar seus membros e nōs. Os nōs sōo numerados de 1 a NJ, sendo NJ o nūmero total de nōs. Os membros sōo numerados de 1 a M, sendo M o nūmero total de membros (fig. 3.1).

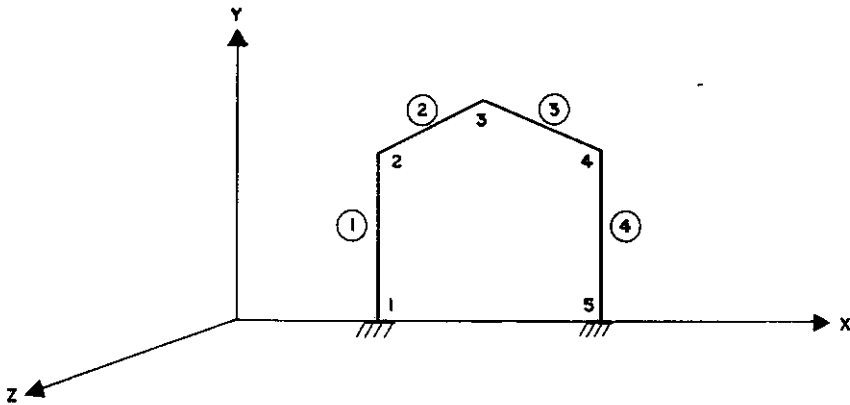


Fig. 3.1 - Eixos globais e numeração da estrutura

Neste trabalho é adotada a técnica da matriz banda. Sendo assim, dentre as maneiras possíveis de numerar os nós da estrutura, a mais eficiente é a que fornece o menor valor para a largura da semibanda UBW. O valor de UBW é o máximo dentre os obtidos pela aplicação da equação 3.1 a todos os elementos da estrutura.

$$UBW = [ndj(|K-j| + 1) - r]_{\text{máx}} \quad (3.1)$$

onde: j e K - são os números dos nós dos dois extremos do elemento

ndj - é o número de graus de liberdade por nó, igual

a 3 para pórtico plano.

r - é o número de restrições dentro do campo de numeração abrangido pelo produto $ndj(|K-j| + 1)$

Sendo adotado $UBW \leq 21$, a diferença máxima de numeração entre os n.ºs inicial e final de um elemento para o qual $r = 0$ é 6.

b) Incidências dos Elementos

Para cada elemento deve ser estabelecido, de maneira arbitrária, qual o n.º considerado inicial (n.º j) e o n.º considerado final (n.º K). Se para o elemento 2 da fig. 3.1 diz-se que a incidência é 2-3, o n.º 2 é o inicial (está em primeiro lugar) e o n.º 3 é o final. Se a incidência deste elemento é 3-2, o n.º 3 é o inicial e o n.º 2 é o final.

3.1.2 - Eixos

a) Eixos Globais

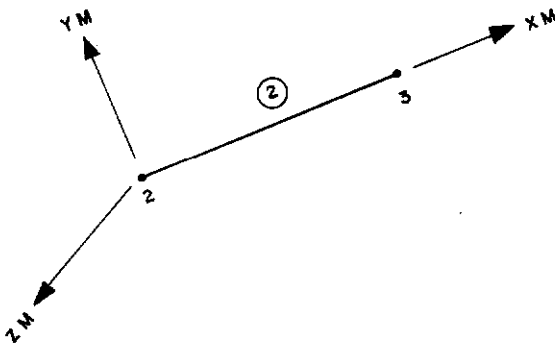
O sistema de eixos globais, também denominado sistema de referência da estrutura, deve ser tal que o plano X, Y contenha o plano da estrutura. O eixo Z é dirigido da figura para o observador e o triedro X, Y, Z deve ser direto (fig. 3.1).

b) Eixos do Elemento

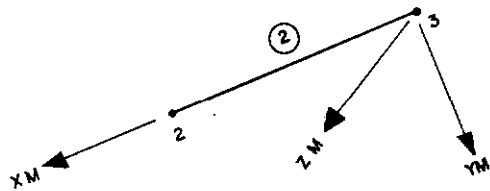
O sistema de eixos do elemento, também denominado sistema de referência do elemento, é definido pelas incidências.

O eixo X_M é dirigido do nó inicial j para o nó final K , sendo seu sentido positivo de j para K . O eixo Z_M é perpendicular ao plano da estrutura e é dirigido da figura para o observador. O eixo Y_M é tal que o triedro X_M, Y_M, Z_M seja direto.

Nas figs. 3.2.a e 3.2.b estão indicados os eixos locais X_M, Y_M e Z_M , admitindo-se que a incidência do elemento ② da figura 3.1 seja 2-3 ou 3-2 respectivamente.



(a) incidência 2-3



(b) incidência 3-2

Fig. 3.2 - Definição dos eixos do elemento X_M, Y_M e Z_M

c) Sentido Positivo para Ações e Deslocamentos

Tanto para os eixos globais como para os eixos locais, as translações e forças são positivas quando seu sentido é o dos eixos X ou XM e Y ou YM. As rotações ou momentos são positivos quando seu sentido coincide com o que leva o eixo X ou XM a coincidir com o eixo Y ou YM, percorrendo o menor caminho.

3.2 - Tratamento das Cargas Aplicadas

a) Ações Nodais

As ações aplicadas aos nós da estrutura são tratadas em relação ao sistema de eixos globais.

b) Ações nos Elementos

As ações aplicadas nos elementos são tratadas em relação ao sistema de eixos locais.

3.3 - Resultados

a) Deslocamentos

Para cada nó da estrutura são obtidos como resultados 3 deslocamentos, duas translações nas direções dos eixos globais X e Y, e uma rotação em torno do eixo global Z.

b) Ações do Extremo do Elemento

Para cada elemento, tem-se como resultado 6 ações de extremo, 3 em cada nó, sendo os esforços nas direções dos eixos XM e YM e os momentos em torno do eixo ZM ou Z.

c) Reações de Apoio

O terceiro e último tipo de resultado fornecido pelo programa são as reações de apoio. Tais reações serão forças nas direções dos eixos globais X e Y ou momentos em torno do eixo Z, conforme as restrições impeçam respectivamente os deslocamentos nas direções X e Y ou a rotação em torno do eixo Z.

3.4 - Subrotinas do Programa

3.4.1 - Subrotina RGDIW

Esta subrotina calcula a matriz de rigidez, do elemento de eixo reto e seção constante, indicada no item 2.3.1.

3.4.2 - Subrotina KINW

Esta subrotina determina as constantes K_{m1} , K_{m2} , K_{m3} e K_{m5} ($m = j$ ou K), para elementos com mística reta ou parabólica e eixo reto, cujas expressões estão indicadas no item 2.3.2.

3.4.3 - Subrotina FINW

Através desta subrotina se obtêm os coeficientes ψ_{44} , ψ_{33} , ψ_{63} e ψ_{36} para elementos com m̃sula reta ou parab̃lica e eixo reto, cujas expressões est̃o indicadas no item 2.3.2.

3.4.4 - Subrotina CIVRW

Esta subrotina determina os coeficientes CR indicados na fig. 2.16 do item 2.3.2. O produto dos coeficientes CR pelos correspondentes coeficientes de rigidez do elemento de eixo reto e seção constante e igual a do trecho central resulta nos coeficientes de rigidez para o elemento com m̃sula reta ou parab̃lica e eixo reto.

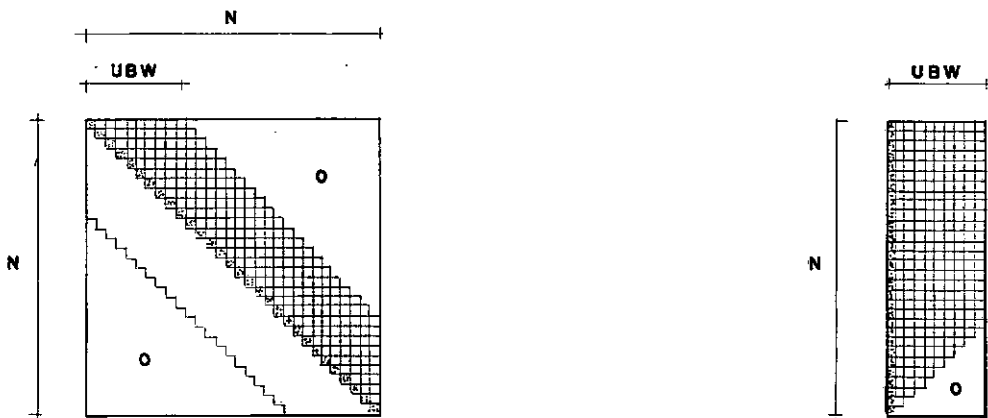
3.4.5 - Subrotina RDRIW

Esta subrotina monta a matriz de rigidez do elemento a partir de seus coeficientes SM_{44} , SM_{54} , SM_{55} , SM_{64} , SM_{65} e SM_{66} . Pode-se ent̃o analisar com o programa estruturas com elementos de forma qualquer, bastando determinar externamente os coeficientes de rigidez j̃ referidos.

3.4.6 - Subrotina MONTW

Esta subrotina renumera a estrutura de maneira que os deslocamentos correspondentes as direções livres se situem em primei-

ro lugar, e simultaneamente monta a matriz de rigidez $[S]$ correspondente as direções livres da estrutura. A matriz indicada na fig. 3.3.a é armazenada no arranjo retangular indicado na fig. 3.3.b.



(a) matriz banda

(b) armazenamento da matriz banda em um arranjo retangular

Fig. 3.3 - Característica de banda da matriz de rigidez global $[S]$

3.4.7 - Subrotina DEBAW

Esta subrotina decompõe a matriz de rigidez $[S]$ em uma matriz triangular superior que multiplicada por sua transposta fornece a matriz $[S]$. Esta nova matriz é armazenada no mesmo

arranjo retangular anteriormente ocupado por [S].

3.4.8 - Subrotina CONW

Esta subrotina determina as ações de engastamento perfeito para o elemento de eixo reto e seção constante, submetido a ação de cargas concentradas nas direções dos eixos do elemento XM e YM. A posição da carga é indicada pela sua distância a ao nó inicial (nó j) do elemento, conforme indicado na fig. 3.4.

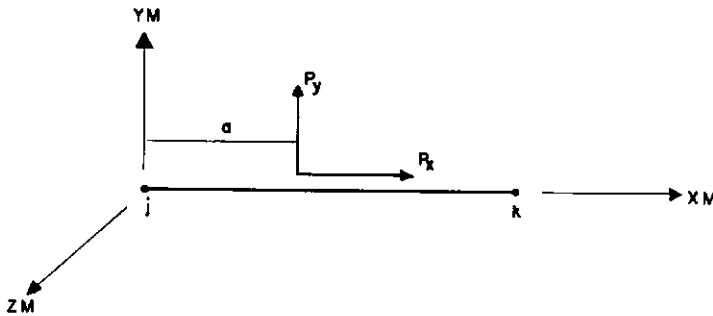


Fig. 3.4 - Carga concentrada no membro

3.4.9 - Subrotina CONCW

Esta subrotina determina as ações de engastamento perfeito para elementos com mīsula reta ou parabōlica e eixo reto, submetidos a ação de cargas concentradas nas direções dos eixos do

elemento XM e YM. A posição da carga concentrada \bar{e} é indicada como no item anterior.

3.4.10 -- Subrotina DISCW

Esta subrotina determina as ações de engastamento perfeito para elementos de eixo reto e seção constante, submetido a ação de cargas distribuídas parciais, de variação linear. A carga é definida pelas distâncias a e b e pelos valores QE_y , QD_y , QE_x e QD_x indicados na fig. 3.5, e deve atuar na direção dos eixos do elemento XM e YM.

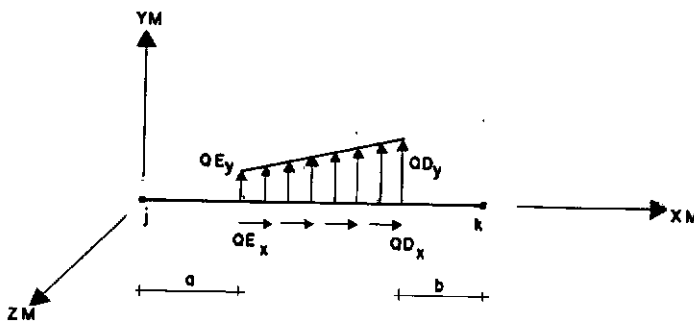


Fig. 3.5 - Carga distribuída no elemento de eixo reto e seção constante

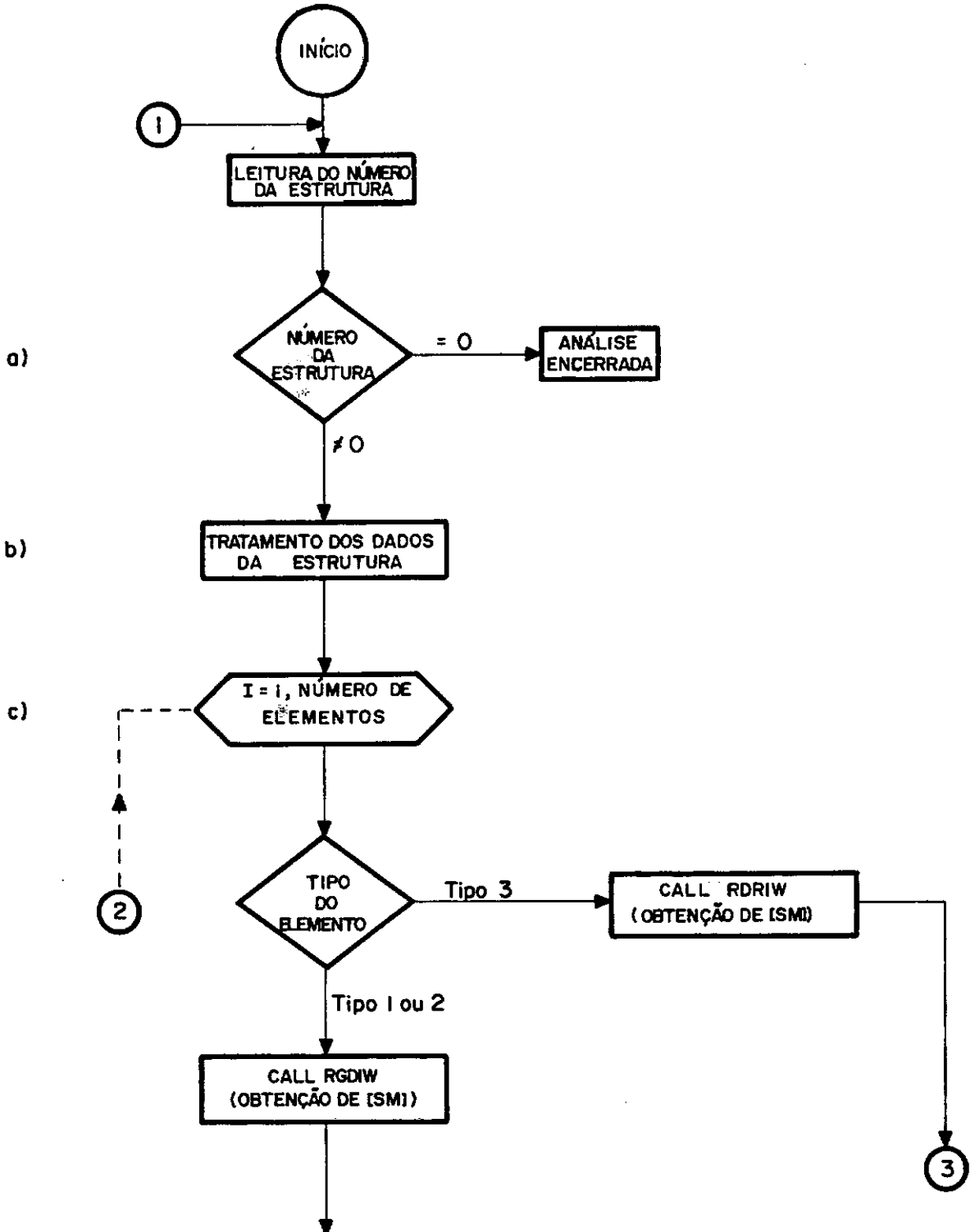
3.4.11 - Subrotina CADTW

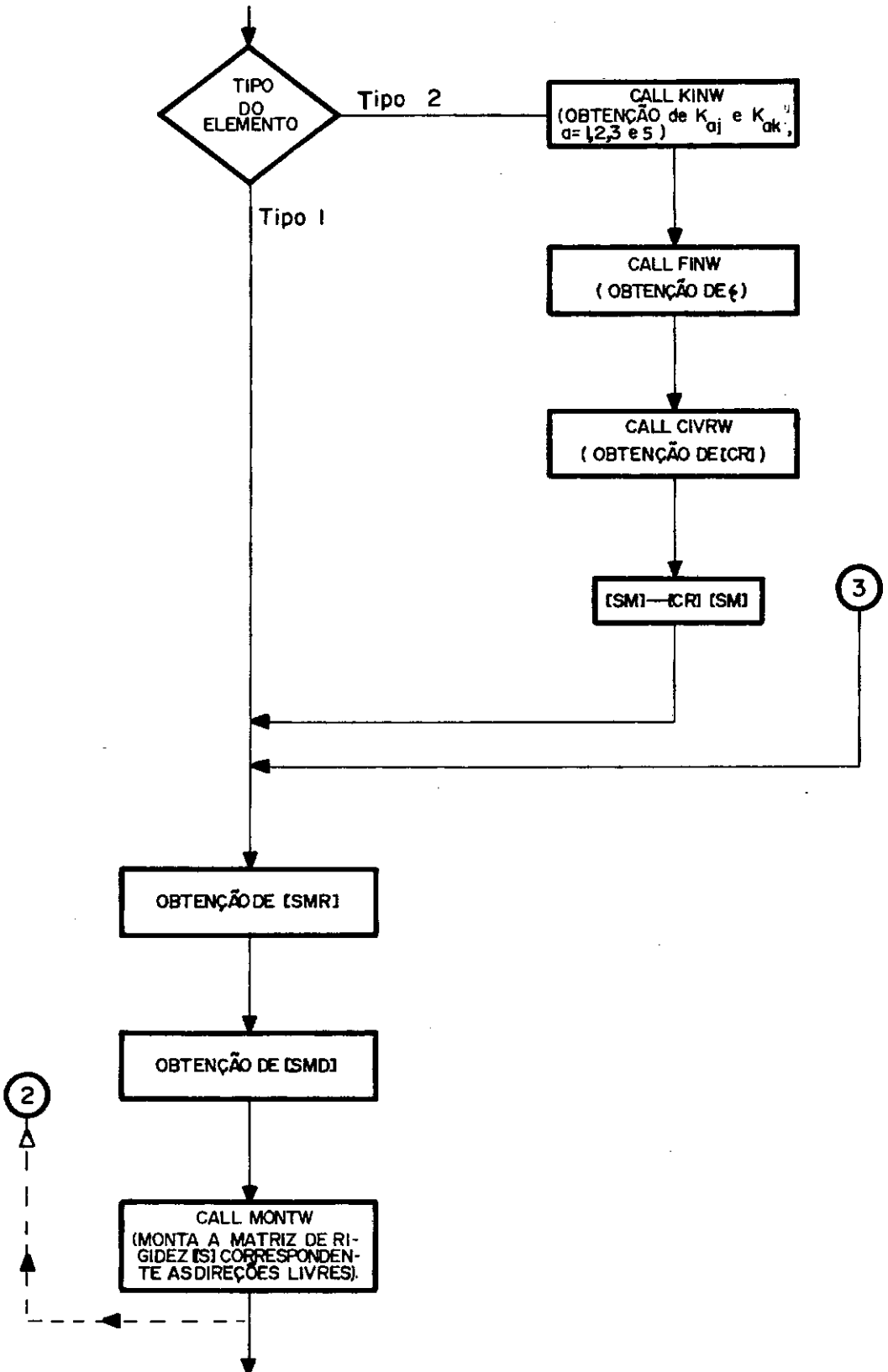
Esta subrotina calcula as ações de engastamento perfeito para o elemento com m̄isula reta ou parab̄olica e eixo reto, submetido a ação de uma carga uniformemente distribuida nas direções dos eixos do elemento XM e YM, atuando ao longo de todo o elemento.

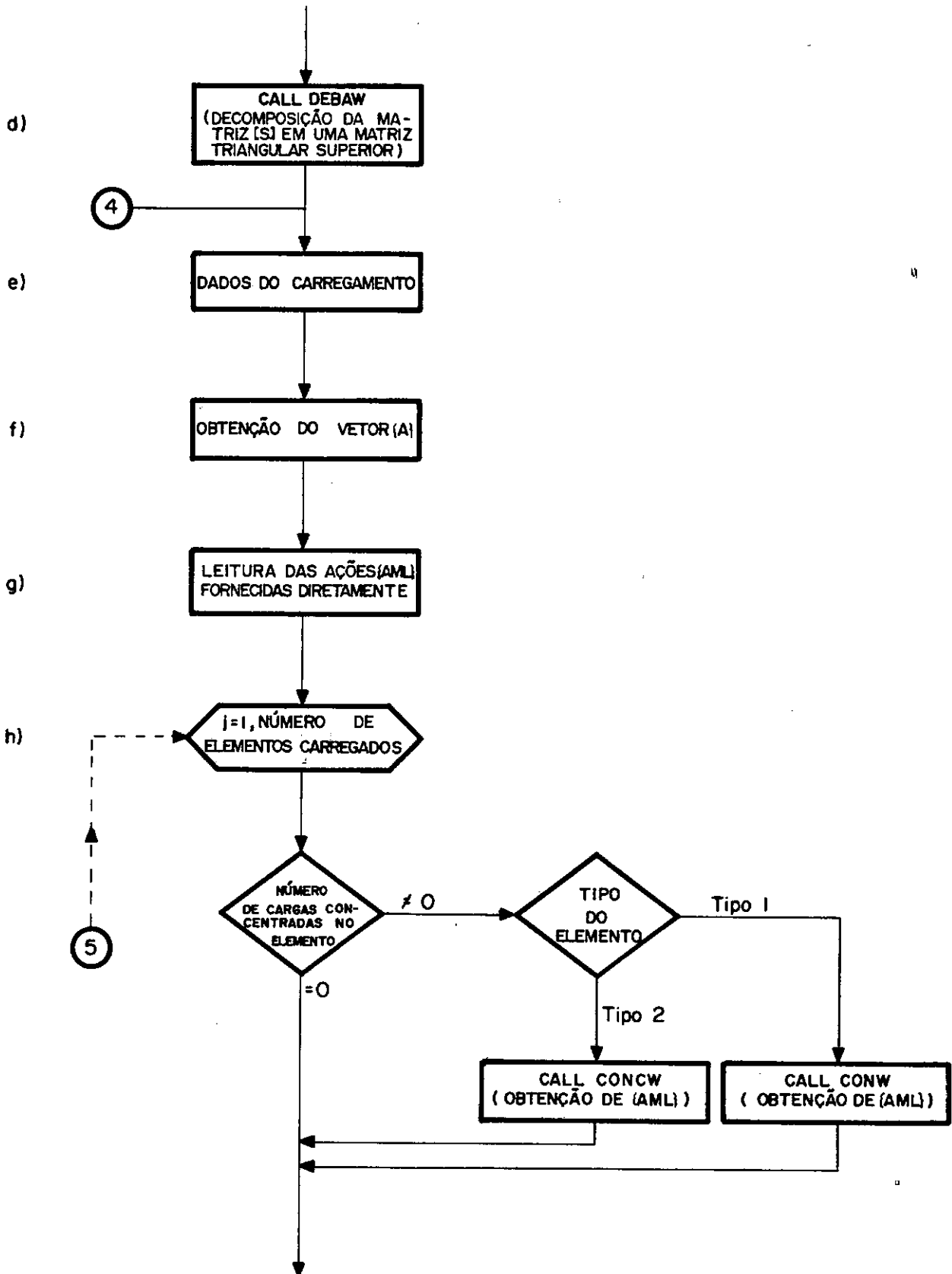
3.4.12 - Subrotina SBANW

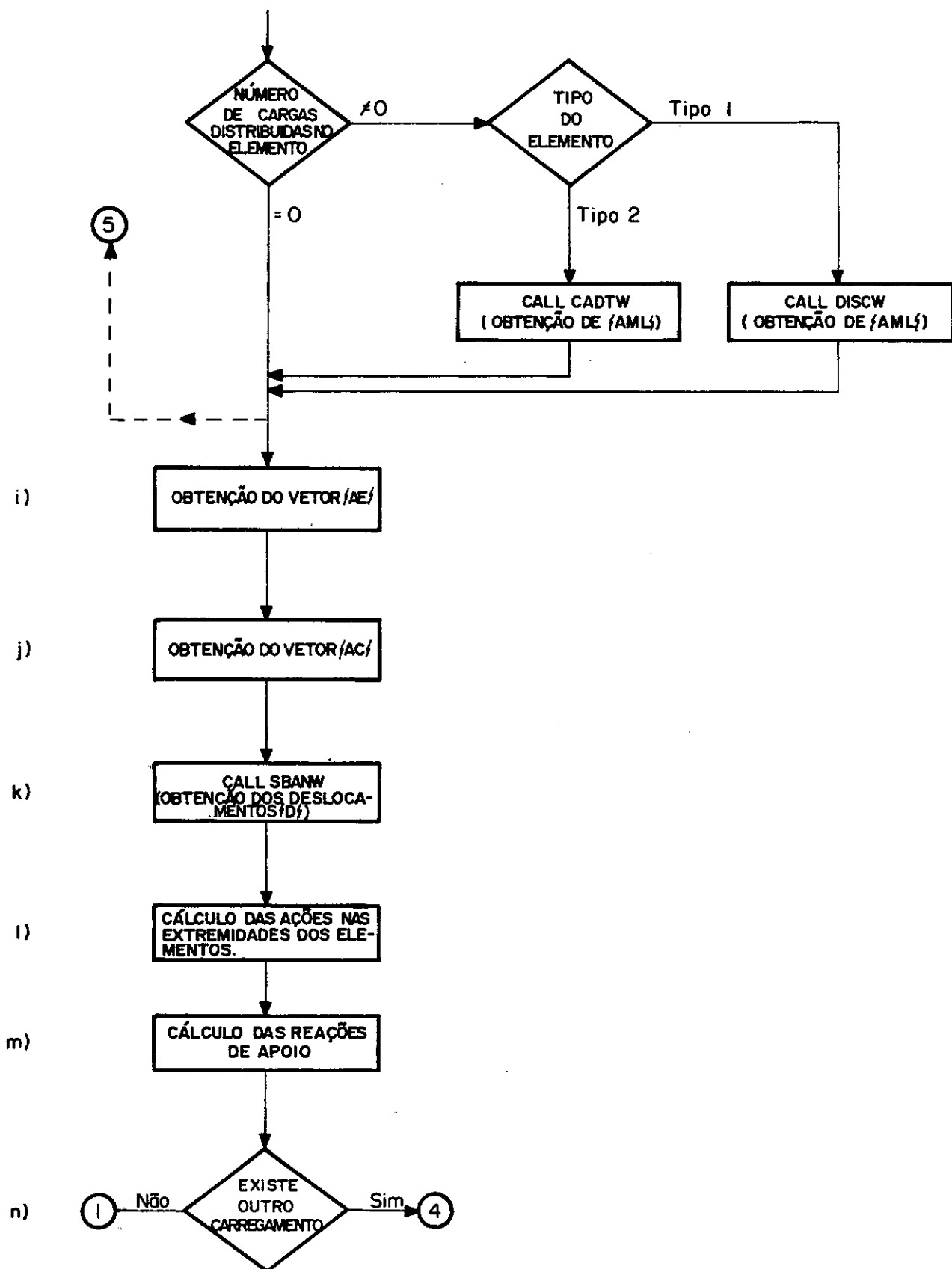
Esta subrotina calcula os deslocamentos {D} nas direções livres da estrutura, a partir da matriz triangular superior obtida pela subrotina DEBAW e do vetor de ações nodais combinadas correspondente as direções livres da estrutura {AD}.

**DIAGRAMA DE BLOCOS SIMPLIFICADO
(3.5)**









Comentários

a) A condição para que a análise se encerre é que o número da estrutura a ser examinada seja igual a zero.

b) Antes de se iniciar a análise propriamente dita, devem ser fornecidos ao programa os dados relativos a estrutura, que ainda nesta etapa são escritos.

Maiores esclarecimentos sobre a entrada de dados são fornecidos no Apêndice A.

c) Inicialmente é testado o tipo do elemento. Se a matriz de rigidez é obtida a partir da leitura direta dos coeficientes SM_{44} , SM_{54} , SM_{55} , SM_{64} , SM_{65} e SM_{66} , o elemento é do tipo 3 e os coeficientes de rigidez restantes são obtidos pela subrotina RDRIW. O elemento com seção constante e eixo reto é do tipo 1 e sua matriz de rigidez é obtida pela subrotina RGDIW. Se o elemento é com m̄sula (tipo 2), inicialmente a subrotina RGDIW calcula os coeficientes de rigidez como se sua seção fosse constante e igual à do trecho central. A seguir obtem-se, por interm̄dio da subrotina CIVRW, a partir de constantes calculadas nas subrotinas KINW e FINW, os coeficientes CR. O produto dos coeficientes CR pelos correspondentes coeficientes da matriz de rigidez do elemento de eixo reto e seção constante é igual a do trecho central, resultando nos coeficientes de rigidez para o elemento com m̄sula.

A seguir é obtida a matriz $[SMR] = [SM][RT]$.

Os coeficientes da matriz $[SMD] = [RT]^T [SMR]$ são acumula-

dos nas posições convenientes de um arranjo retangular pela subrotina MOTW.

Repetida esta operação para todos os elementos está montada a matriz de rigidez da estrutura, $[S]$, correspondente as direções livres.

d) O arranjo onde estão armazenados os coeficientes de $[S]$ será agora ocupado pelos coeficientes de uma matriz triangular superior que multiplicada por sua transposta fornece $[S]$. A operação é feita por intermédio da subrotina DEBAW.

e) São lidos dados relativos aos carregamentos, que neste estágio são: o número de carregamentos, número de nós carregados, número de elementos com ações de extremo fornecidas diretamente, e o número de elementos carregados.

f) O vetor de ações nodais $\{A\}$ é obtido pela leitura direta das ações que atuam em nós carregados em pelo menos uma direção.

g) São lidas as ações de engastamento perfeito $\{AML\}$, para os elementos em que elas são fornecidas diretamente.

h) As subrotinas CONCW e CONW calculam as ações de engastamento perfeito, nos elementos do tipo 1 ou do tipo 2, respectivamente, para carga concentrada atuando nestes elementos. Se a carga é distribuída, estas ações são calculadas pelas subrotinas CADTW (elemento tipo 1) e DISCW (elemento tipo 2).

i) O vetor de ações equivalentes $\{AE\}$ é obtido pela equação sim

bólica $\{AE\} = \{AML\} - [RT]^T \{AML\}$, cujo significado já foi discutido no item 2.2.1.

j) O vetor de cargas nodais combinadas é obtido por: $\{AC\} = \{A\} + \{AE\}$.

k) Os deslocamentos $\{D\}$ correspondentes as direções livres são determinados pela subrotina SBANW, a partir da matriz triangular superior obtida pela DEBAW indicada em d. Estas duas subrotinas resolvem o sistema de equações simbolicamente representado por $\{AD\} = [S]\{D\}$, onde o vetor $\{AD\}$ é constituído pelos termos de $\{AC\}$ correspondentes as direções livres.

l) As ações de extremo do elemento são obtidas pela aplicação da equação $\{AM\} = \{AML\} + [SMR]\{DJ\}$ para todos os elementos. $\{DJ\}$ são os deslocamentos na extremidade do elemento, referidos aos eixos globais.

m) As reações de apoio são obtidas somando-se nas direções restringidas as contribuições das ações de extremo do elemento e as cargas nodais com sinal invertido, ou seja fazendo-se o equilíbrio dos nós segundo as direções restringidas.

n) Terminada a análise deve-se testar se há outro carregamento a ser examinado. Em caso afirmativo, o ciclo referente ao carregamento é novamente percorrido.

CAPÍTULO 4ANÁLISE DOS RESULTADOS4.1 - Valores Adotados na Análise

A haste simétrica, biengastada, com mísula reta ou parabólica, sujeita a um carregamento concentrado no meio do vão ou uniformemente distribuído total (fig. 4.1) foi analisada para os seguintes valores numéricos:

- Relações V , VN e $tg\alpha$:

| | | | | | | | | | |
|------------|-------------|------------|------------|------------|------------|------------|------------|-----|------------|
| V | <u>.10</u> | <u>.20</u> | <u>.30</u> | <u>.40</u> | | | | | |
| VN | .01 | .03 | <u>.05</u> | .10 | .15 | <u>.25</u> | <u>.50</u> | .60 | <u>.80</u> |
| $tg\alpha$ | <u>1/12</u> | <u>1/6</u> | <u>1/3</u> | 2/3 | <u>1/1</u> | | | | |

- Comprimento: $L = 10c$
- Espessura: $b = 1c$
- Carga concentrada: $P = 10F$
- Carga distribuída: $Q = 1F/c$
- Módulo de elasticidade: $E = 1F/c^2$
- Coeficiente de Poisson: $\nu = .20$

sendo: F - unidade de força

c - unidade de comprimento

Os valores grifados são adotados para a comparação dos diagramas de tensões normais nas seções do engaste e do vão (item 4.4).

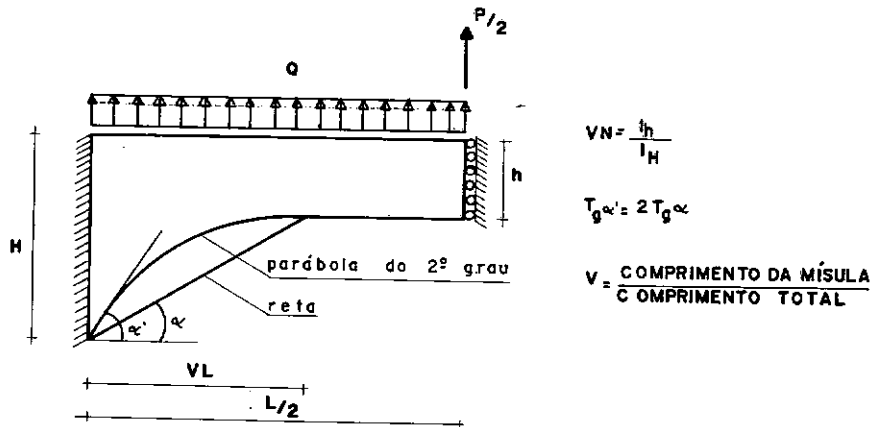


Fig. 4.1 - Utilização da simetria no elemento a ser analisado

4.2 - Análise dos Esforços Solicitantes nas Seções do Meio do Vão e do Engaste e dos Deslocamentos Verticais da Seção do Meio do Vão

Os resultados para esforços solicitantes e deslocamentos obtidos da análise do elemento da fig. 4.1, para os valores indicados no item 4.1 são apresentados sob a forma de âbacos (figs.

4.2.1 a 4.2.32) contendo dois grupos de cinco curvas. Cada curva corresponde a um valor de $\text{tg}\alpha$, e cada grupo se refere as hipóteses de eixo reto ou eixo passando pelos pontos médios das alturas. O eixo horizontal é o das relações entre inércias VN , e o vertical o das relações entre resultados obtidos da análise segundo a consideração de eixo reto ou eixo passando pelos pontos médios das alturas e os decorrentes da análise pelo método dos elementos finitos.

Cada âbaco corresponde a um valor de V , a um tipo de resultado a ser analisado e a uma das seguinte situações:

- elemento com m̄sula reta sujeito a carga concentrada
- elemento com m̄sula parabólica sujeito a carga concentrada
- elemento com m̄sula reta sujeito a carga distribuída
- elemento com m̄sula parabólica sujeito a carga distribuída

O tipo de resultado a ser analisado correspondente a cada âbaco é indicado no eixo vertical pela seguinte nomenclatura:

M/MEE - refere-se a relação entre o momento no engaste devido a consideração de eixo reto ou eixo passando pelos pontos médios das alturas e o momento resultante do diagrama de tensões normais, na seção do engaste, obtido da análise pelo método dos ele

mentos finitos.

M/MEM - idem para momento no meio do vão.

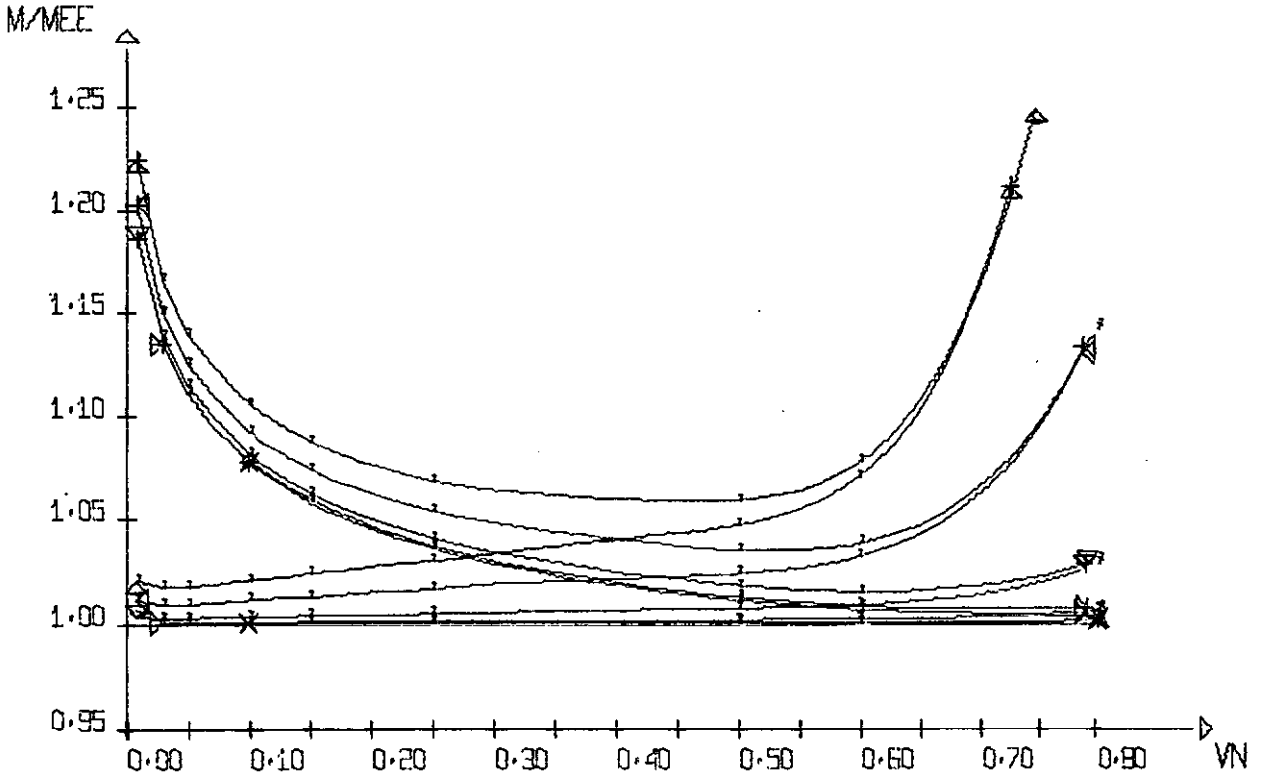
N/NE - refere-se a relação entre o esforço normal à seção do engaste (que é igual ao esforço normal à seção do meio do vão) devido a consideração de eixo passando pelos pontos médios das alturas e o esforço resultante do diagrama de tensões normais, na seção do engaste, obtido da análise pelo método dos elementos finitos. Estes ábacos terão apenas cinco curvas pois a consideração de eixo reto não fornece esforço normal para carregamentos verticais.

D/DEM - refere-se a relação entre o deslocamento no meio do vão devido a consideração de eixo reto ou eixo passando pelos pontos médios das alturas e o deslocamento do ponto médio da altura da seção do meio do vão obtido da análise pelo método dos elementos finitos.

O valor de $tg\alpha$ correspondente a cada curva de um ábaco é caracterizado por um símbolo desenhado em seus extremos, como indicado no quadro a seguir:

| HIPÓTESE TANGENTE | EIXO RETO | EIXO PASSAN- DO PELOS PIS MÉDIOS DAS ALTURAS |
|----------------------|-----------|---|
| 1/12 | ✱ | ✕ |
| 1/6 | ▷ | ▷ |
| 1/3 | ▽ | ▽ |
| 2/3 | ◁ | ◁ |
| 1/1 | △ | △ |

V = 0.1
 MISULA RETA
 CARGA CONCENTRADA



V = 0.2
 MISULA RETA
 CARGA CONCENTRADA

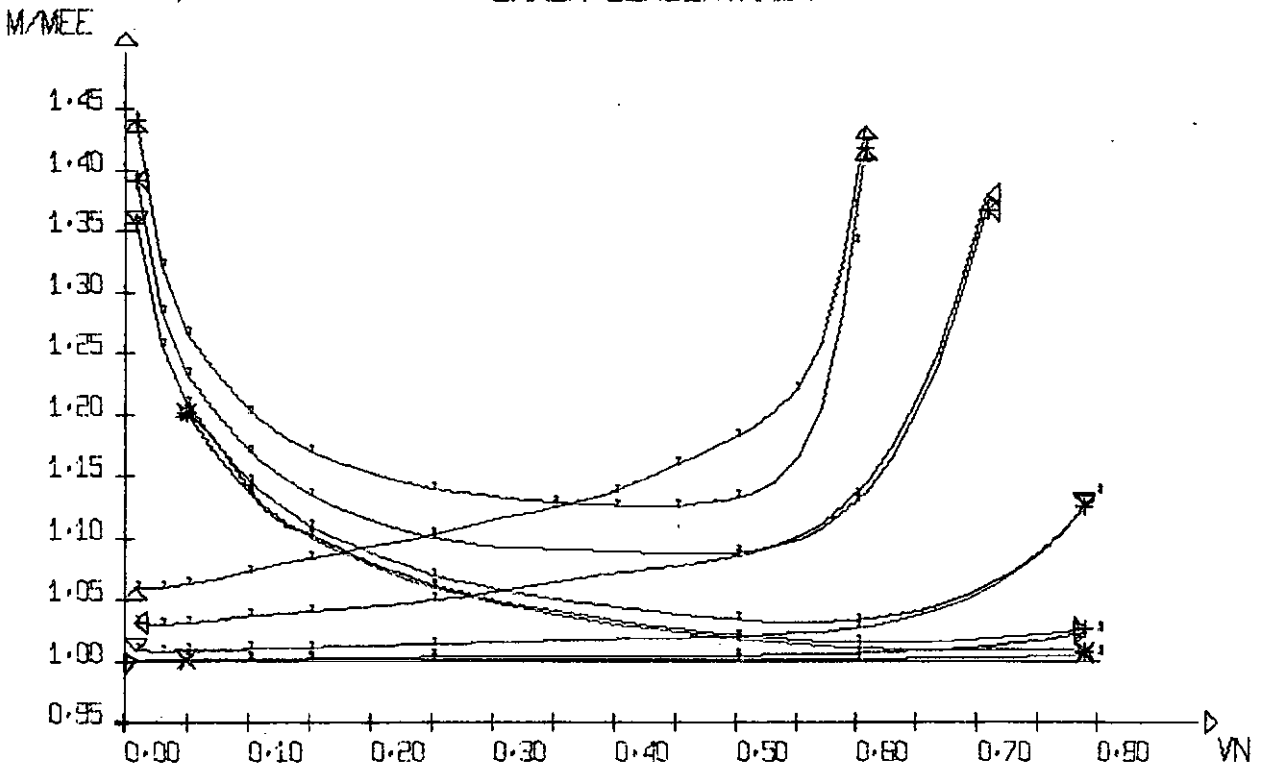
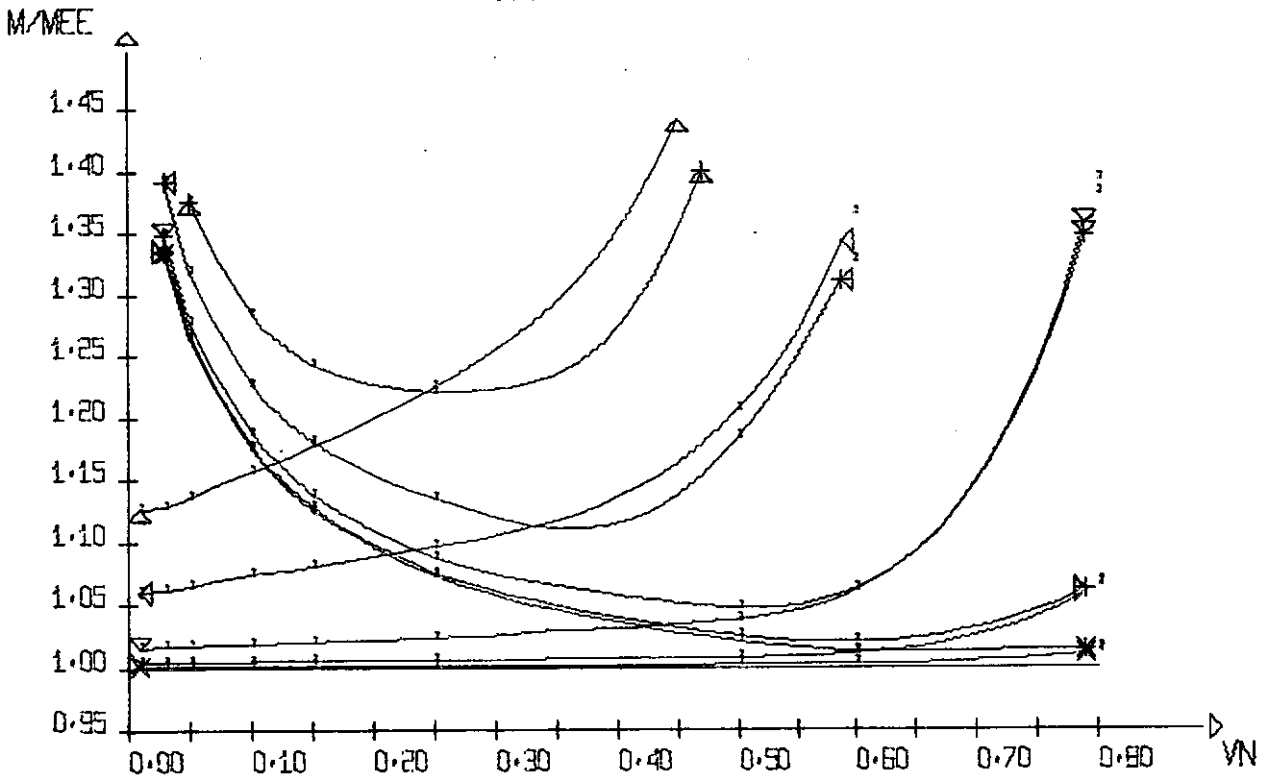


Figura 4.2.1

V = 0.3
 MISULA RETA
 CARGA CONCENTRADA



V = 0.4
 MISULA RETA
 CARGA CONCENTRADA

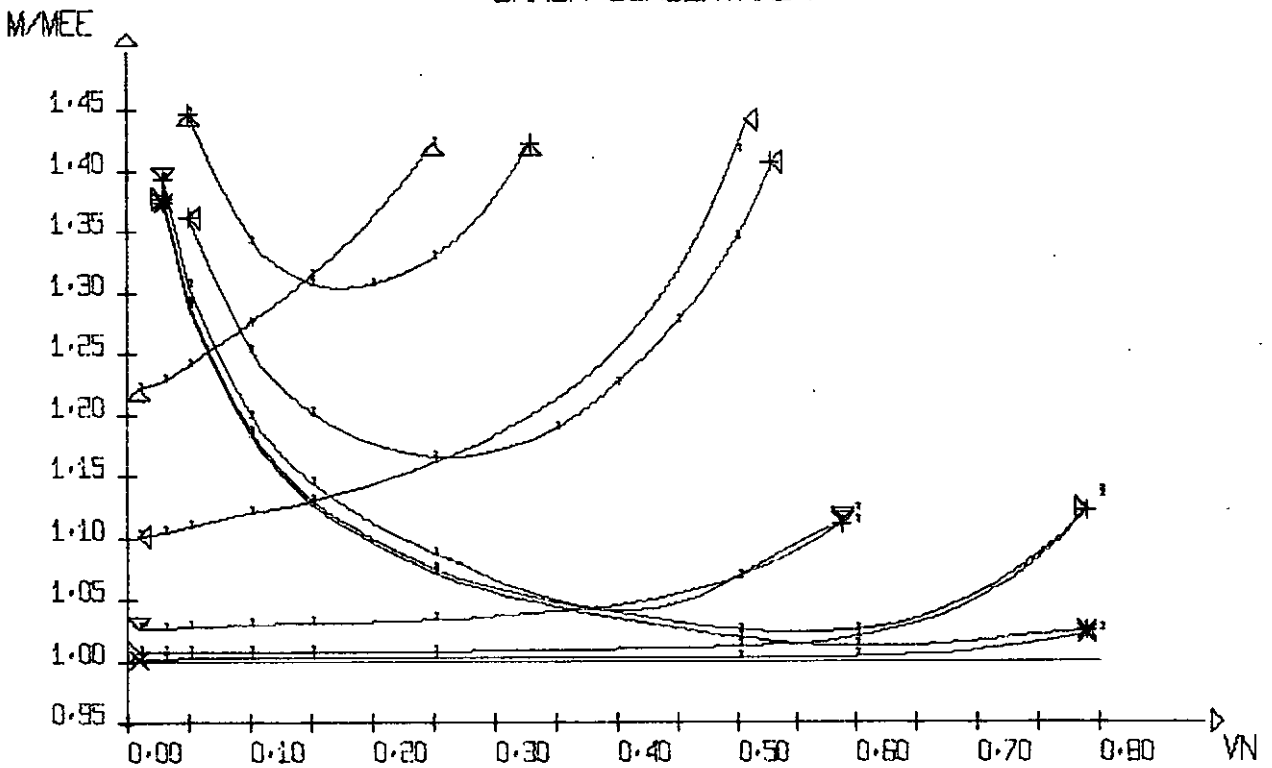
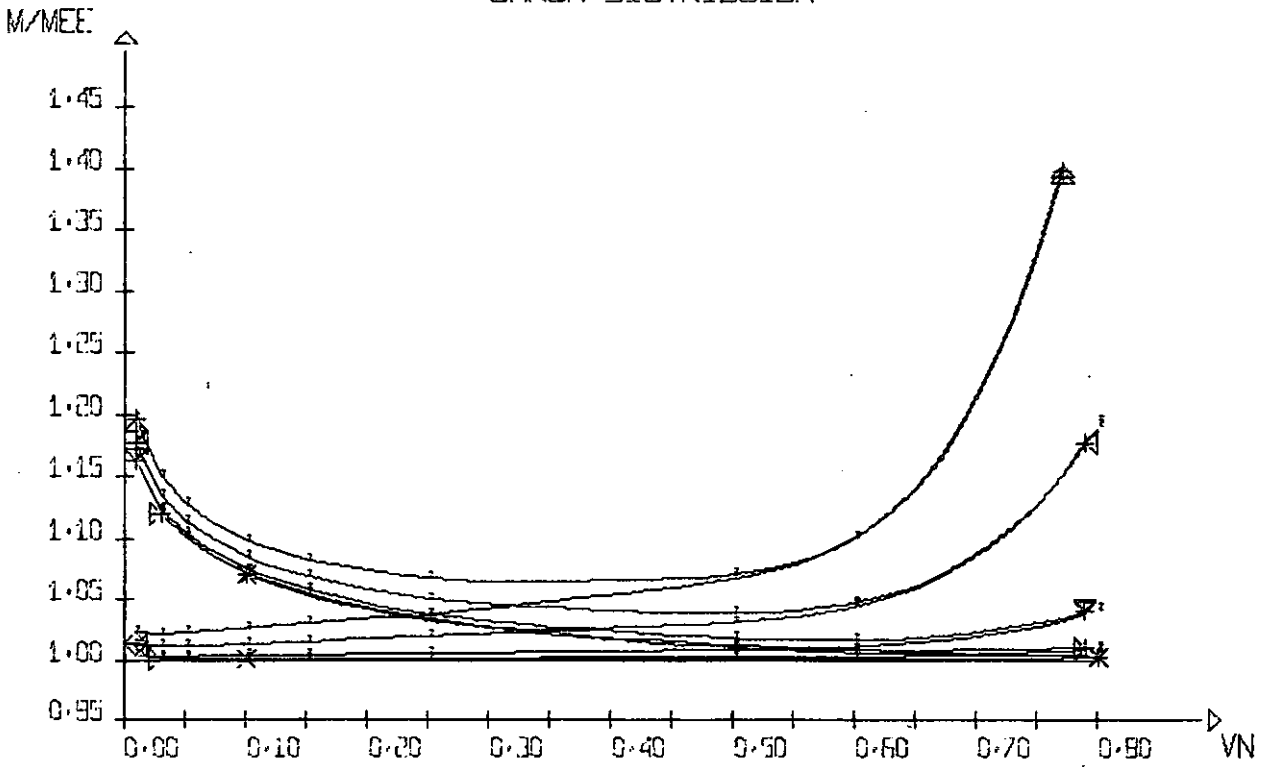


Figura 4.2.2

V = 0.1
 MISULA RETA
 CARGA DISTRIBUIDA



V = 0.2
 MISULA RETA
 CARGA DISTRIBUIDA

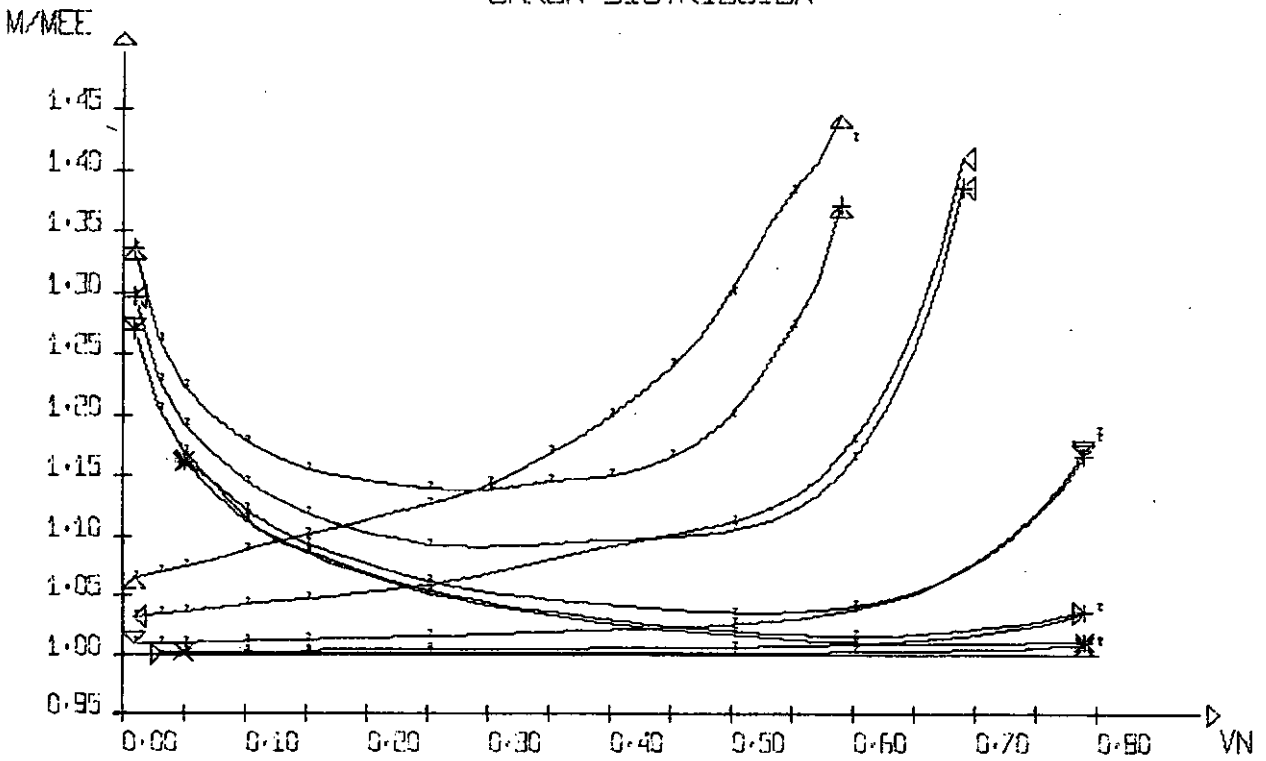
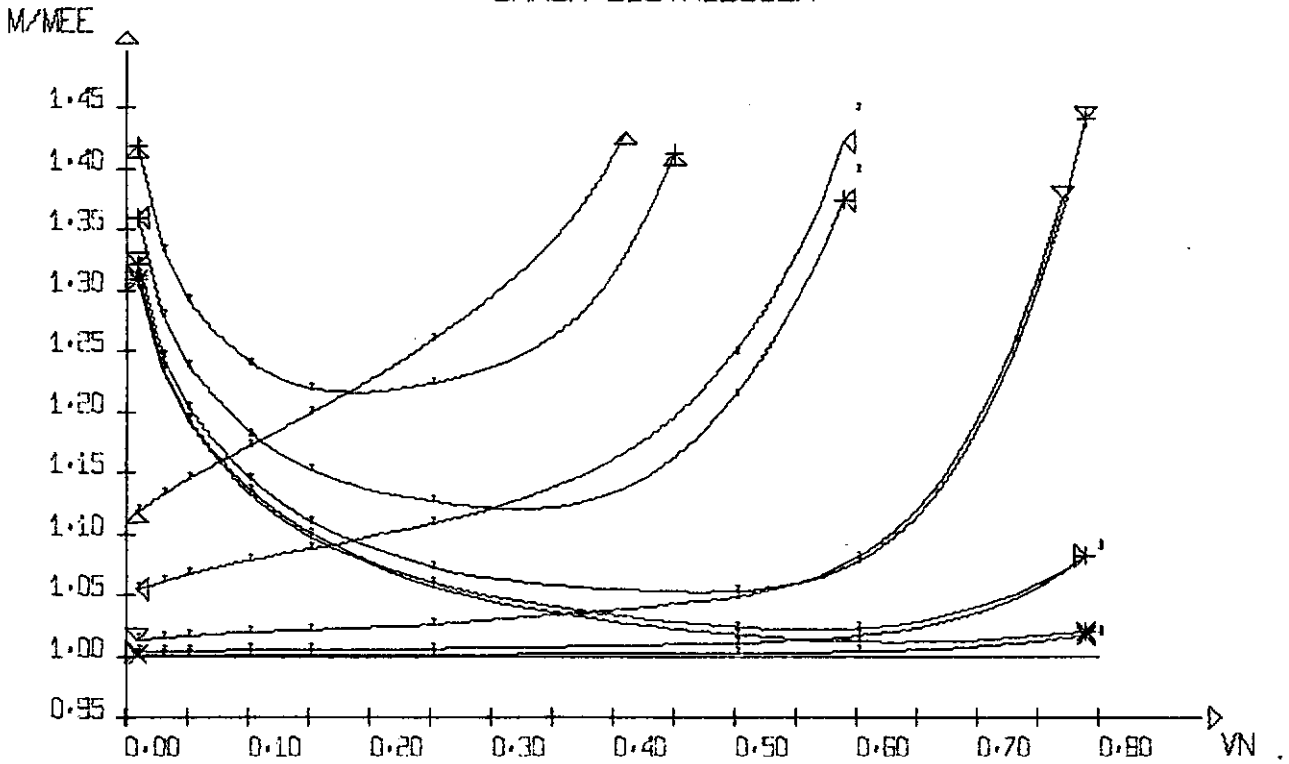


Figura 4.2.3

V = 0.3
 MISULA RETA
 CARGA DISTRIBUIDA



V = 0.4
 MISULA RETA
 CARGA DISTRIBUIDA

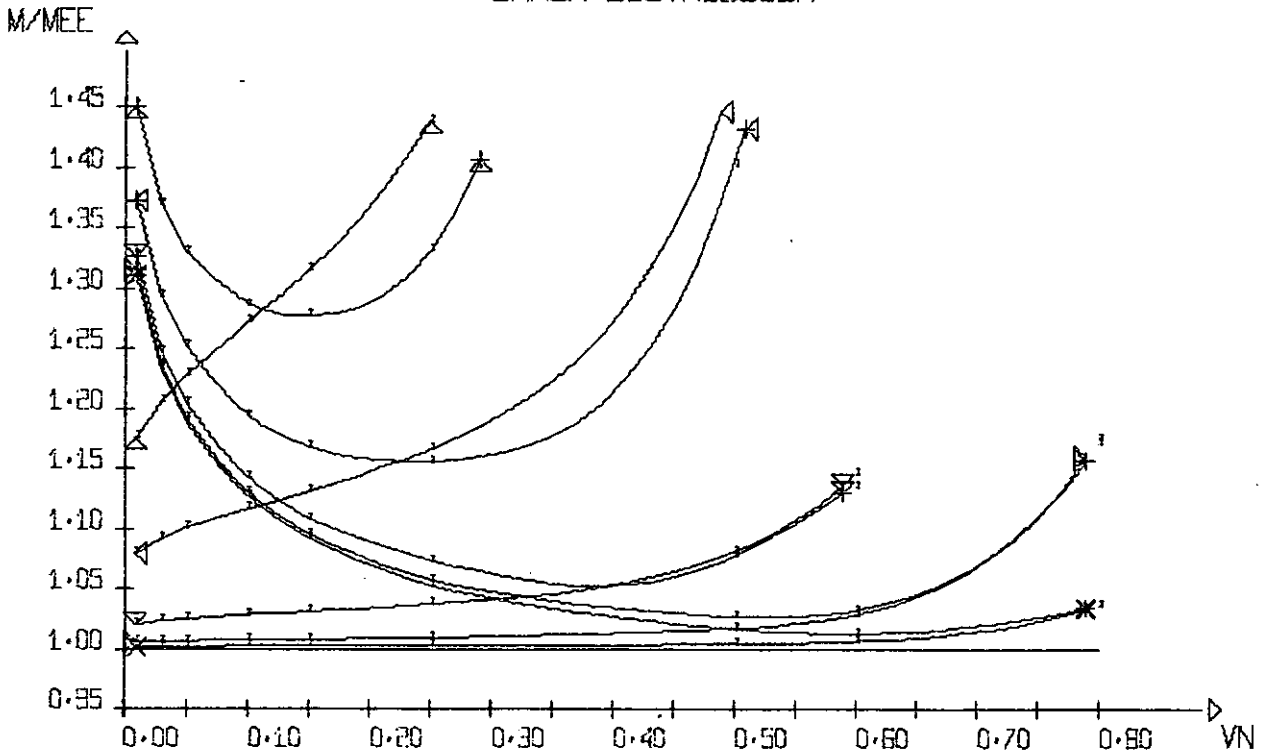
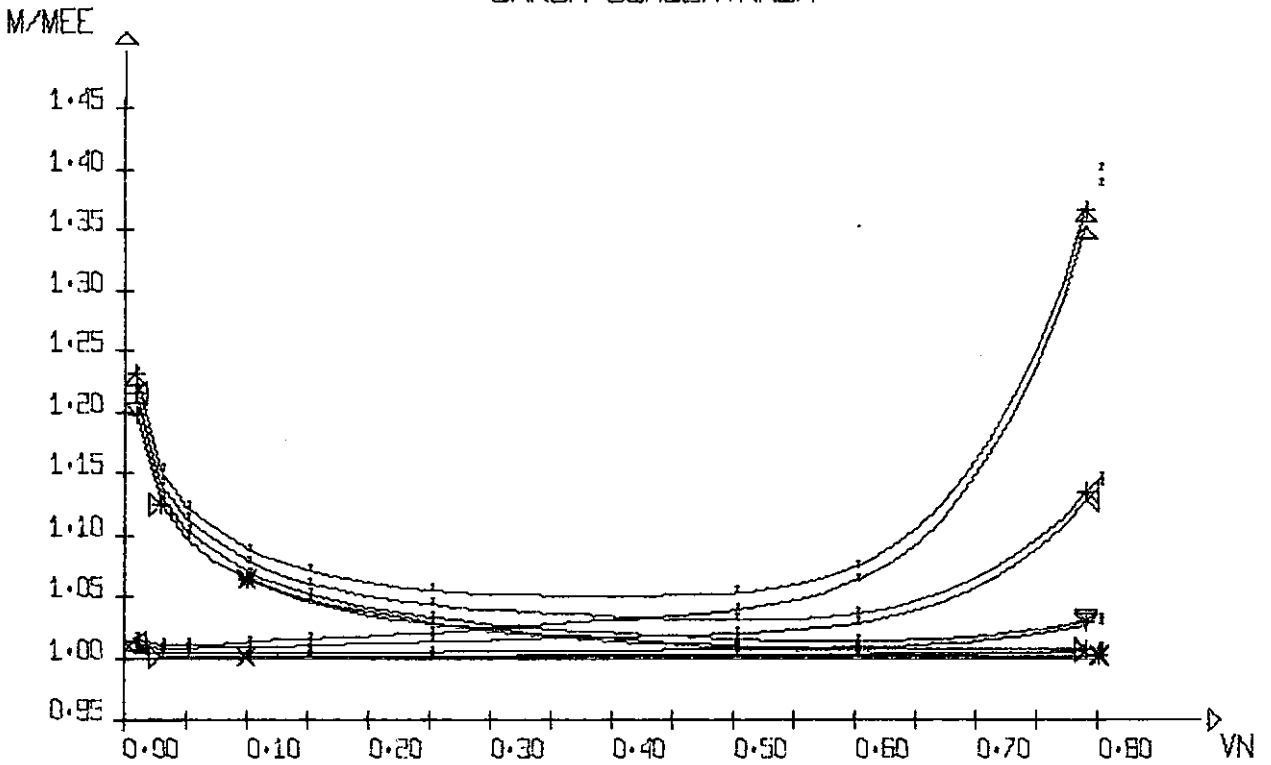


Figura 4.2.4

V = 0.1
 MISULA PARABOLICA
 CARGA CONCENTRADA



V = 0.2
 MISULA PARABOLICA
 CARGA CONCENTRADA

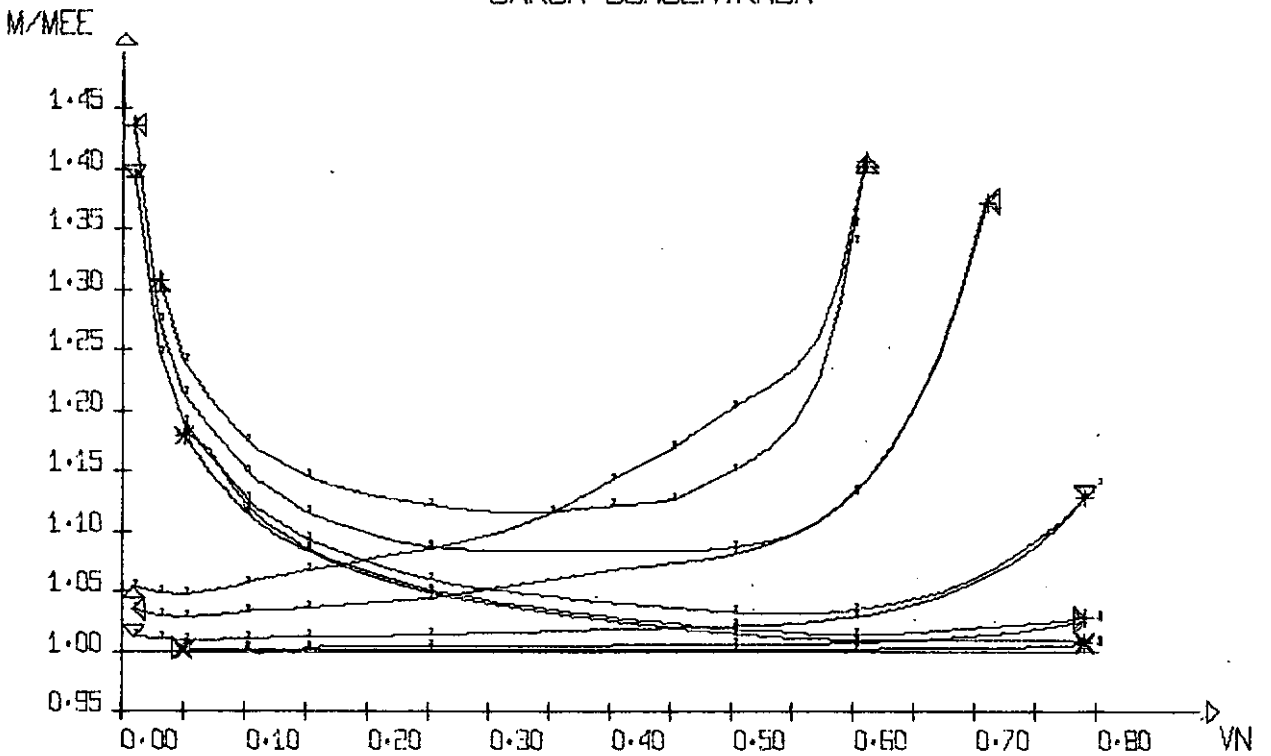
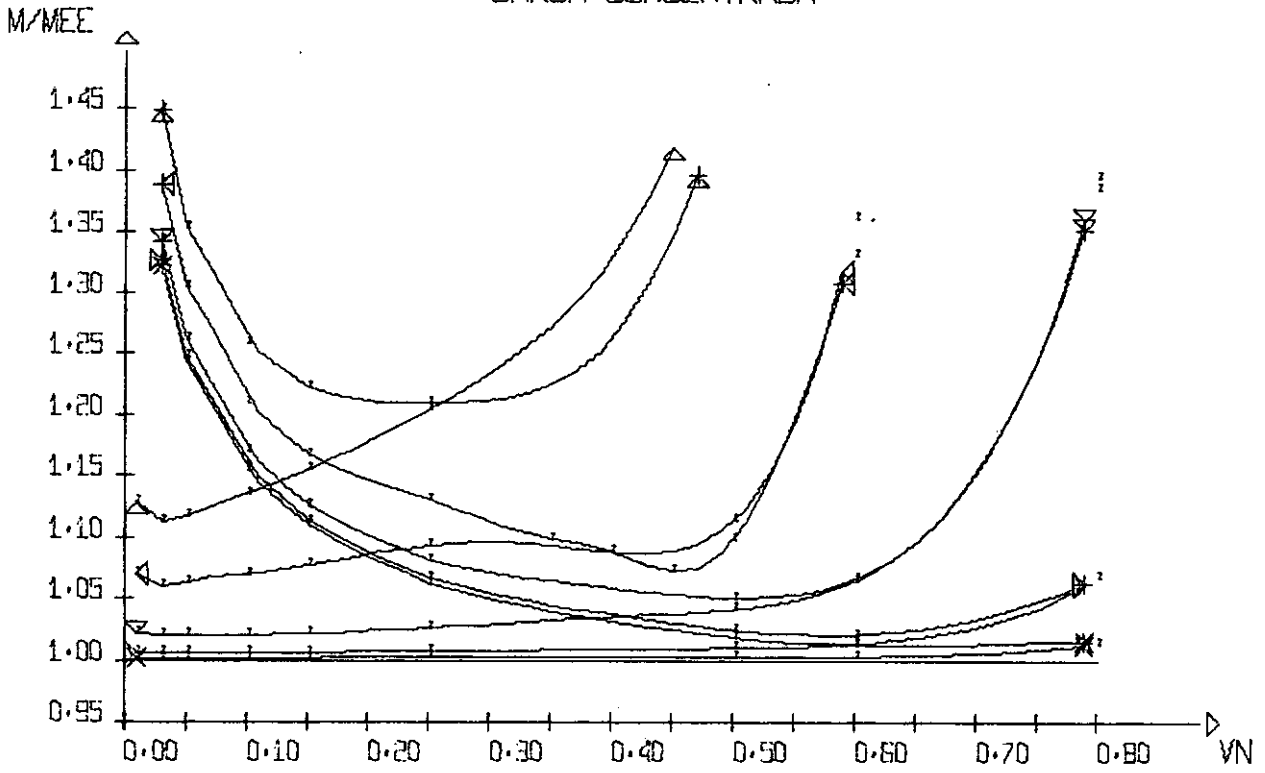


Figura 4.2.5

$V = 0.3$
 MISULA PARABOLICA
 CARGA CONCENTRADA



$V = 0.4$
 MISULA PARABOLICA
 CARGA CONCENTRADA

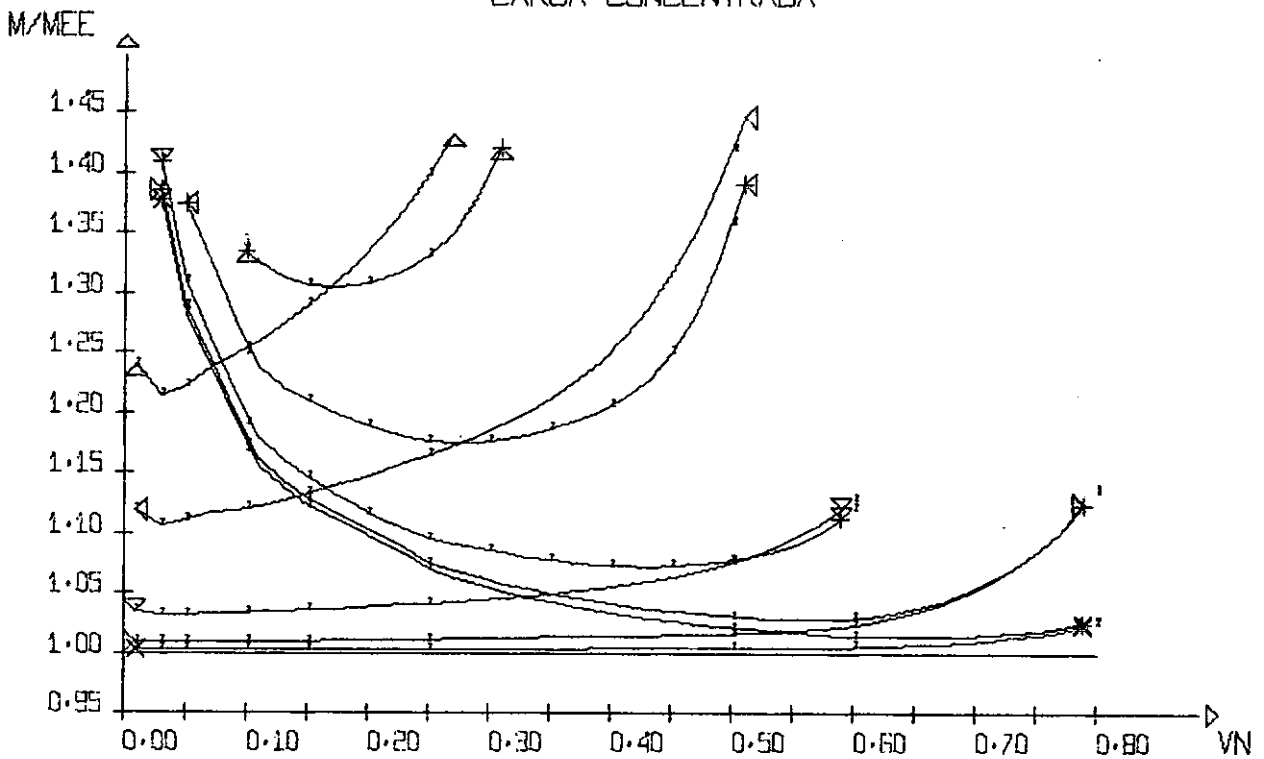
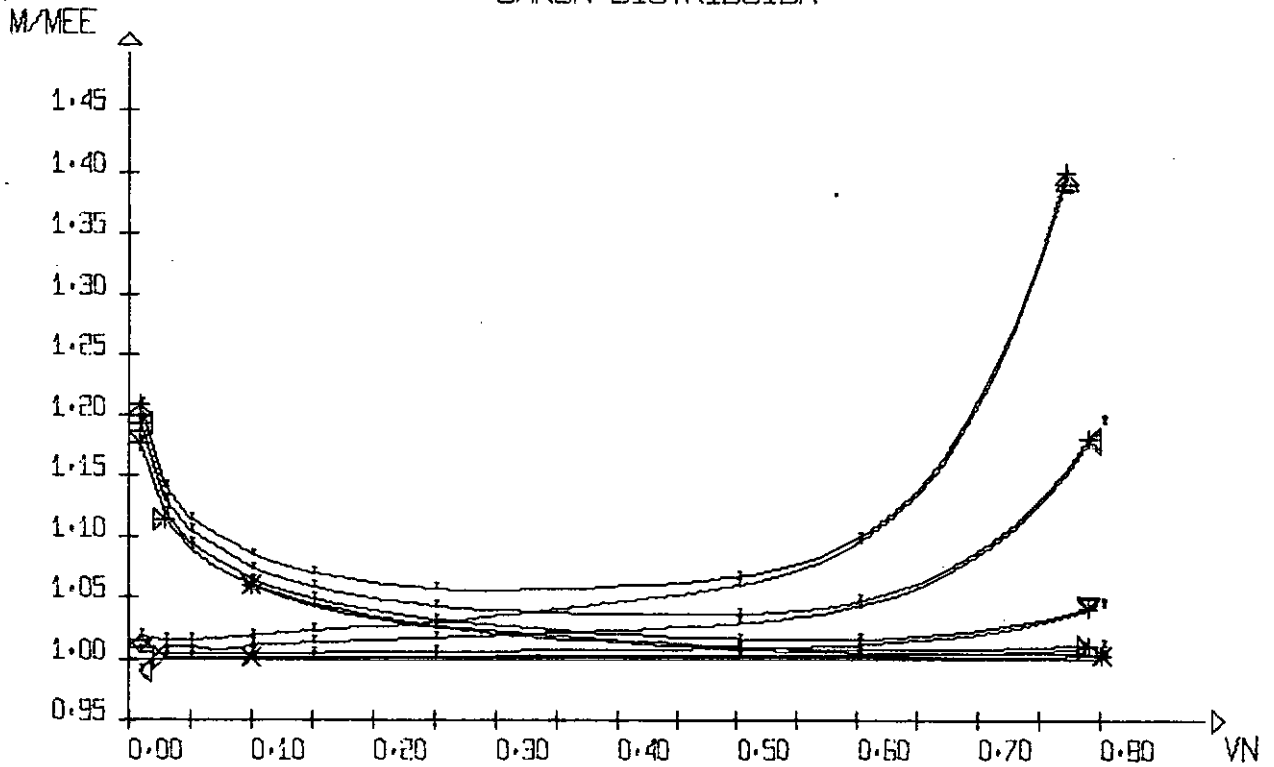


Figura 4.2.6

$V = 0.1$
 MISULA PARABOLICA
 CARGA DISTRIBUIDA



$V = 0.2$
 MISULA PARABOLICA
 CARGA DISTRIBUIDA

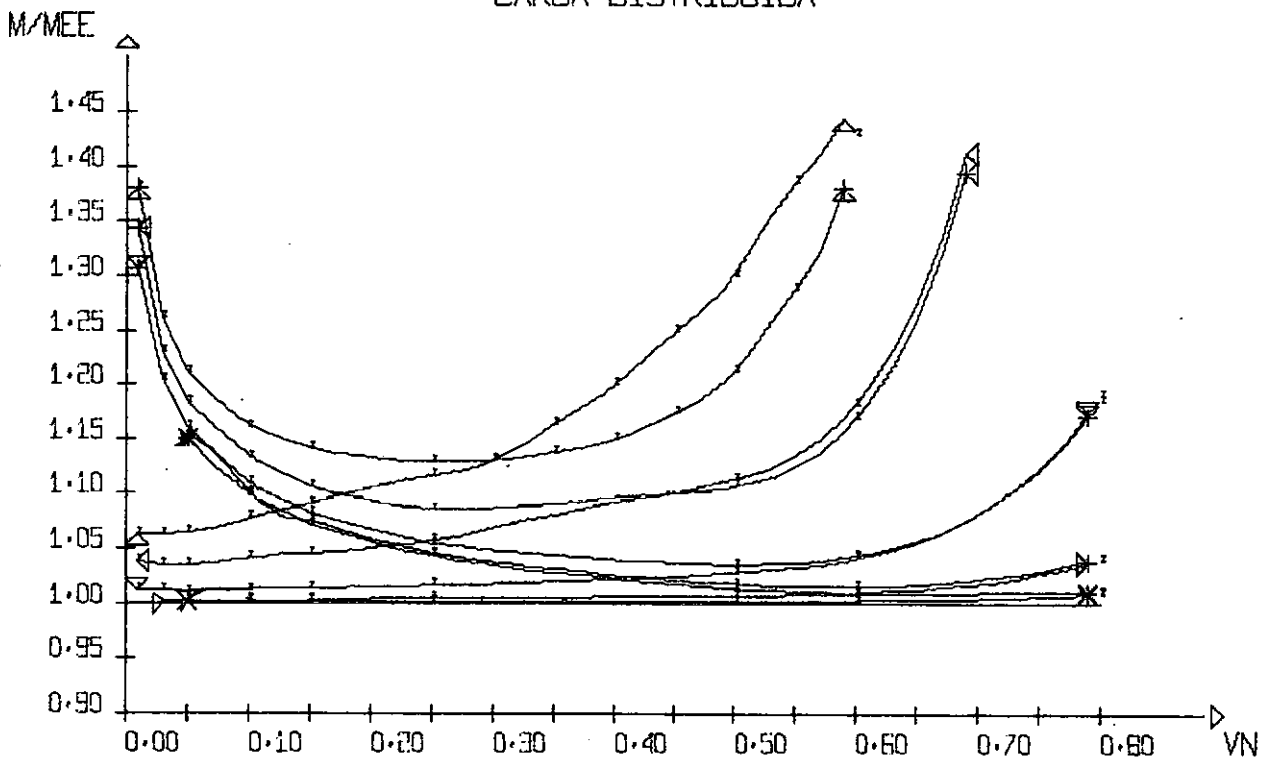
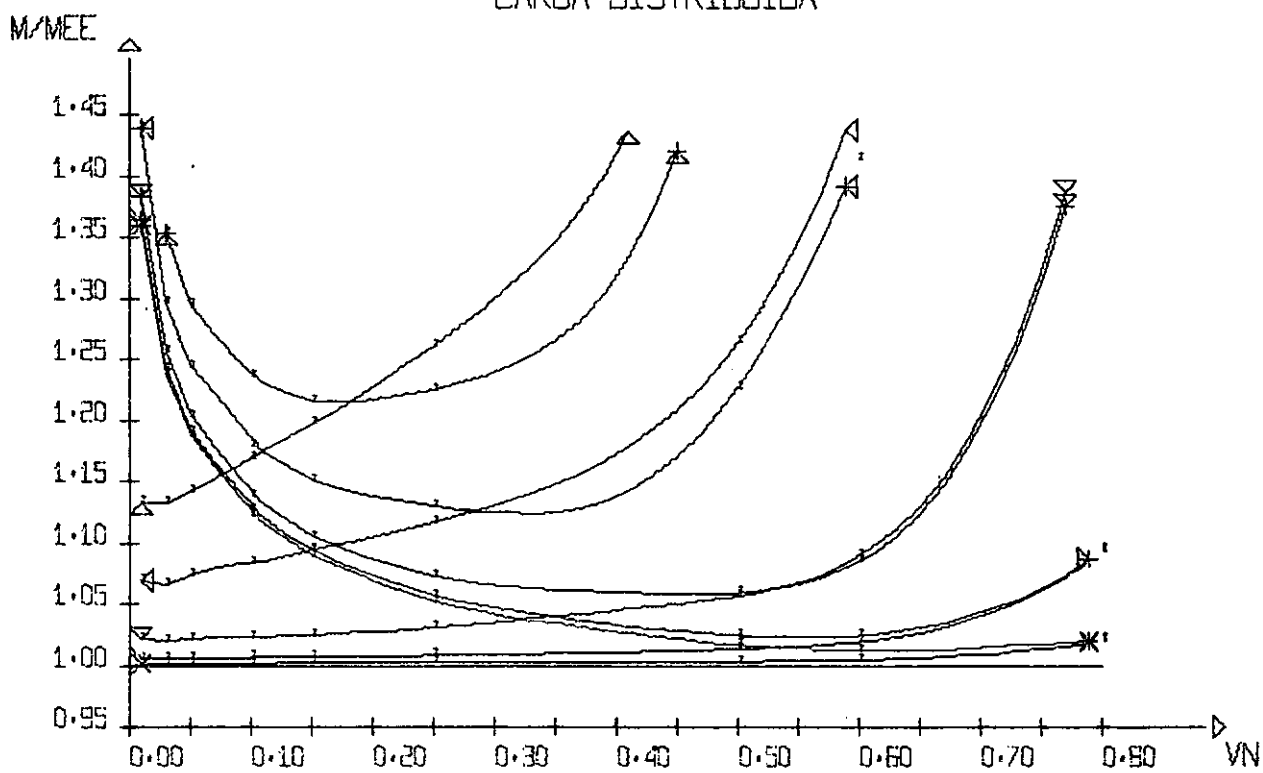


Figura 4.2.7

V = 0.3
 MISULA PARABOLICA
 CARGA DISTRIBUIDA



V = 0.4
 MISULA PARABOLICA
 CARGA DISTRIBUIDA

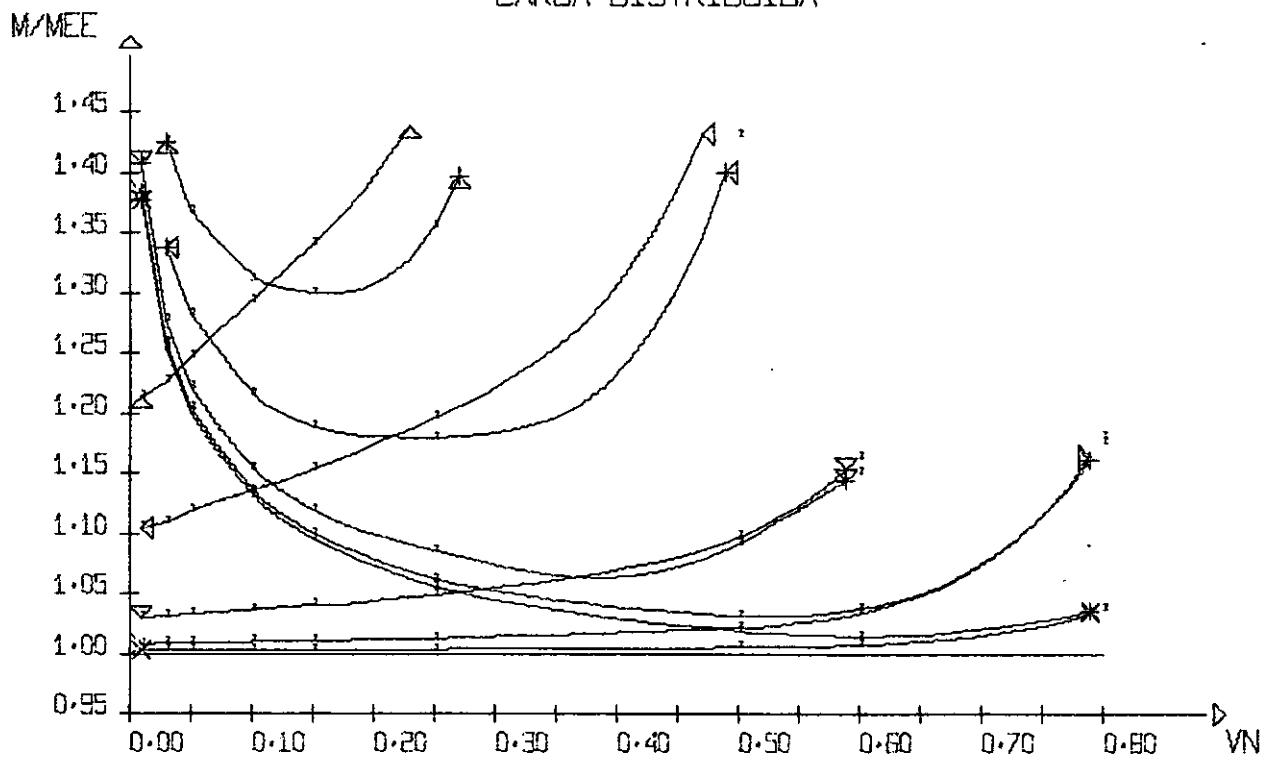
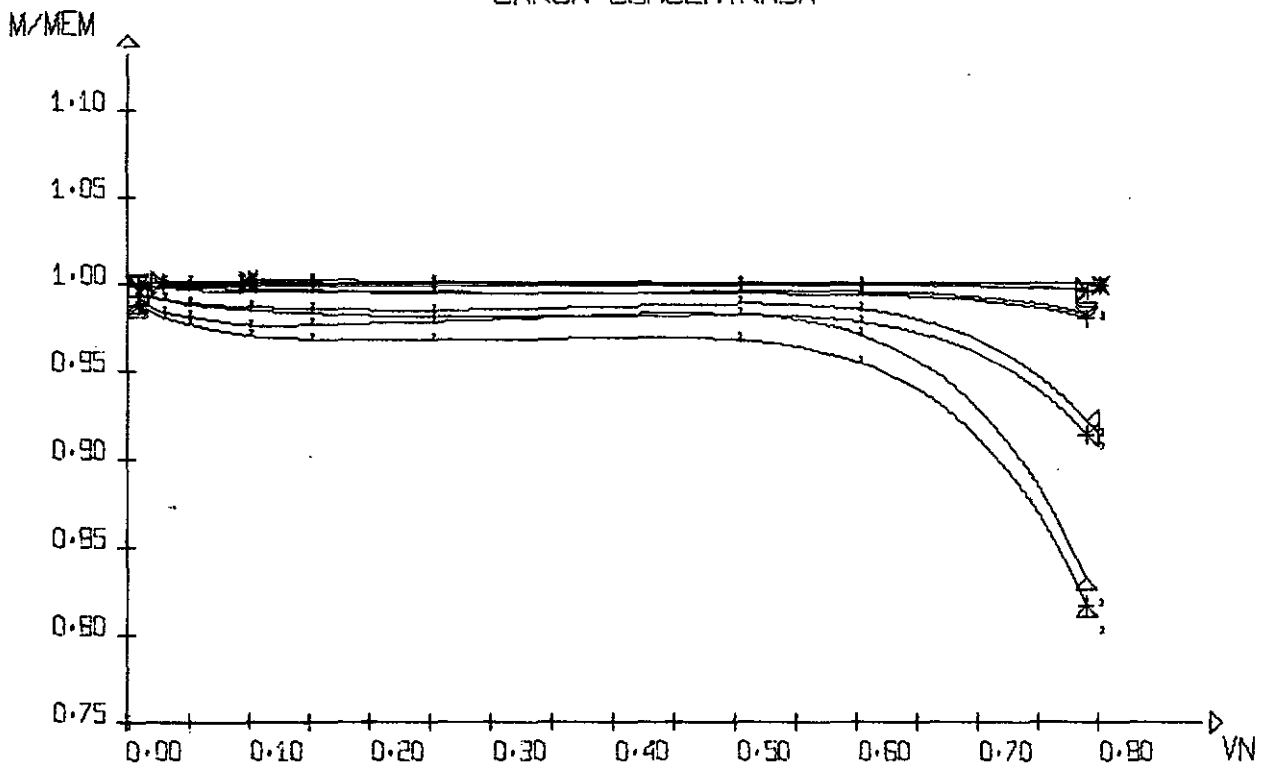


Figura 4.2.8

V = 0.1
 MISULA RETA
 CARGA CONCENTRADA



V = 0.2
 MISULA RETA
 CARGA CONCENTRADA

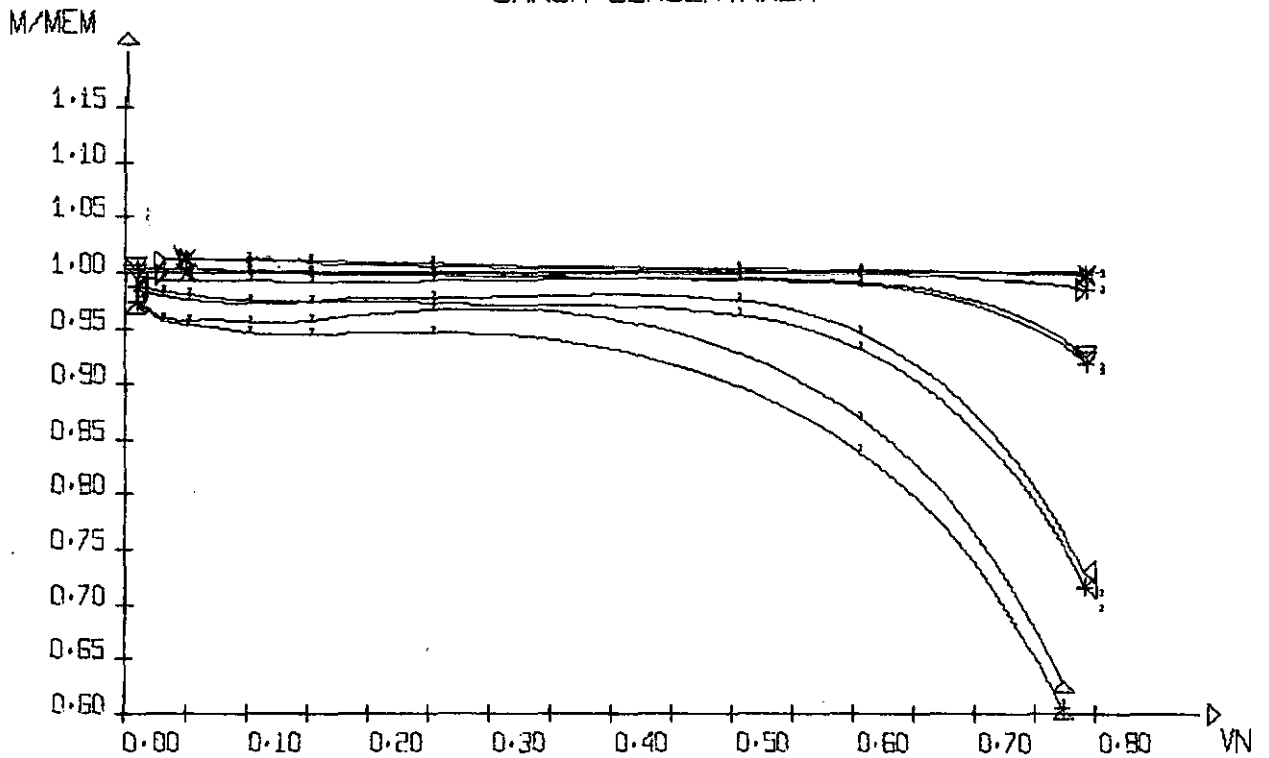
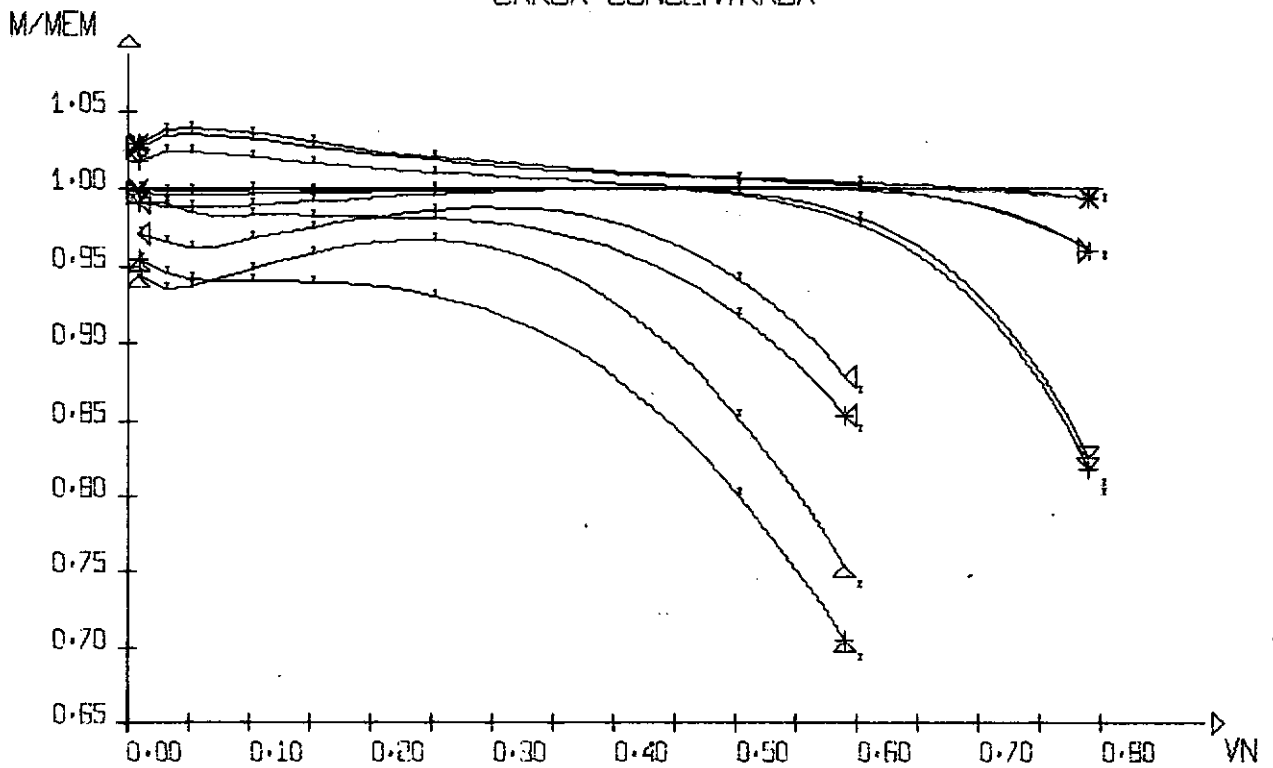


Figura 4.2.9

$V = 0.3$
 MISULA RETA
 CARGA CONCENTRADA



$V = 0.4$
 MISULA RETA
 CARGA CONCENTRADA

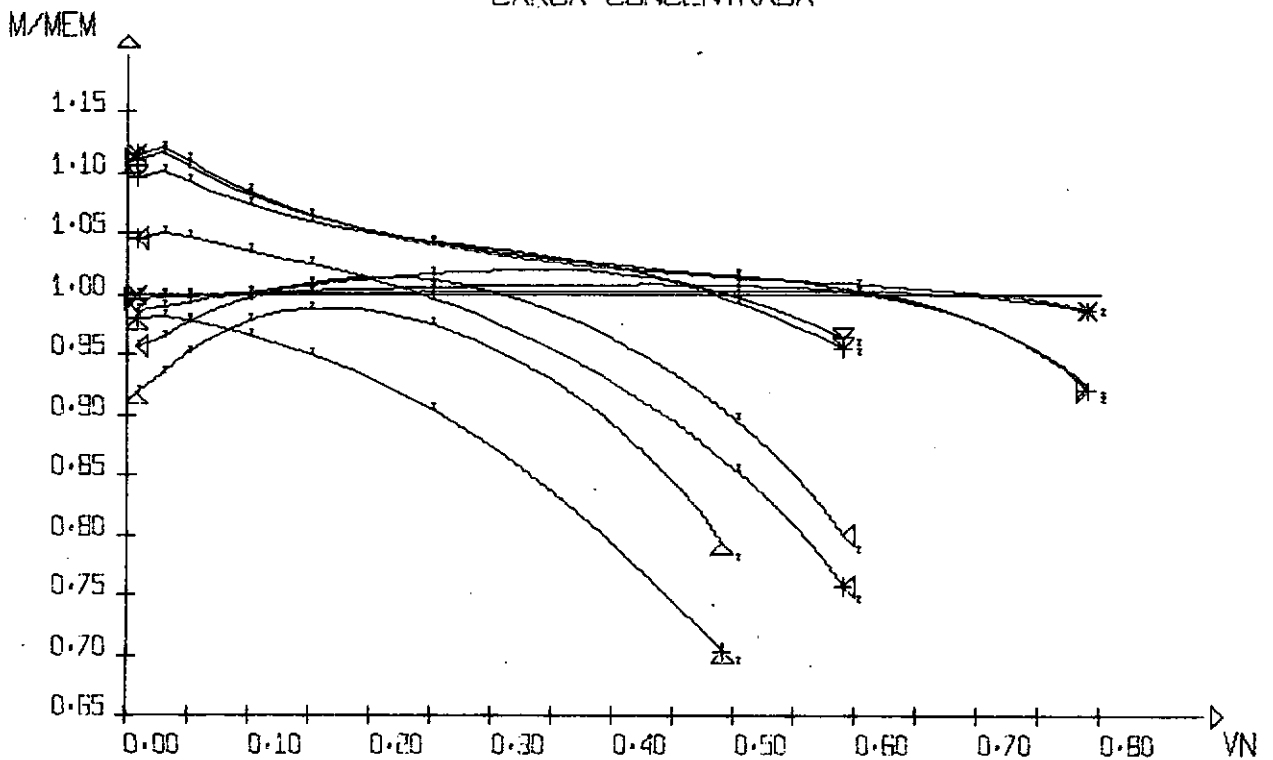
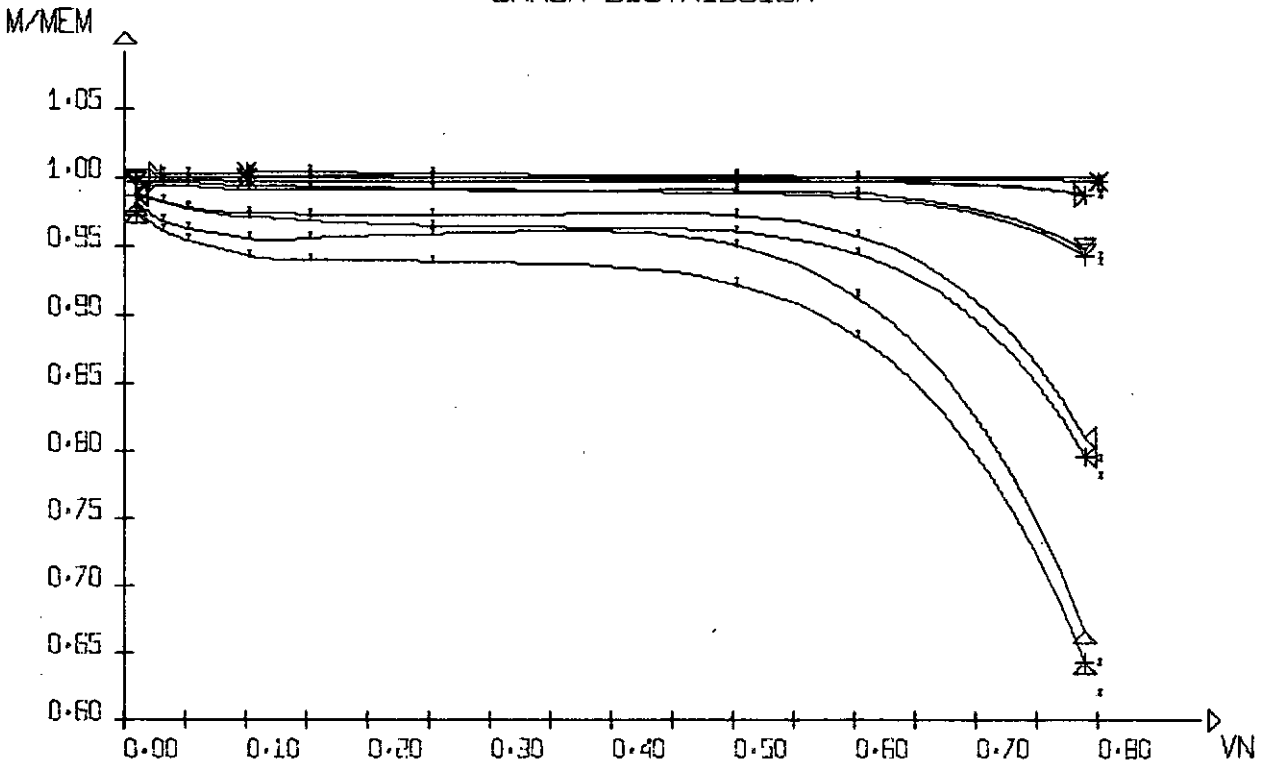


Figura 4.2.10

V = 0.1
MISULA RETA
CARGA DISTRIBUIDA



V = 0.2
MISULA RETA
CARGA DISTRIBUIDA

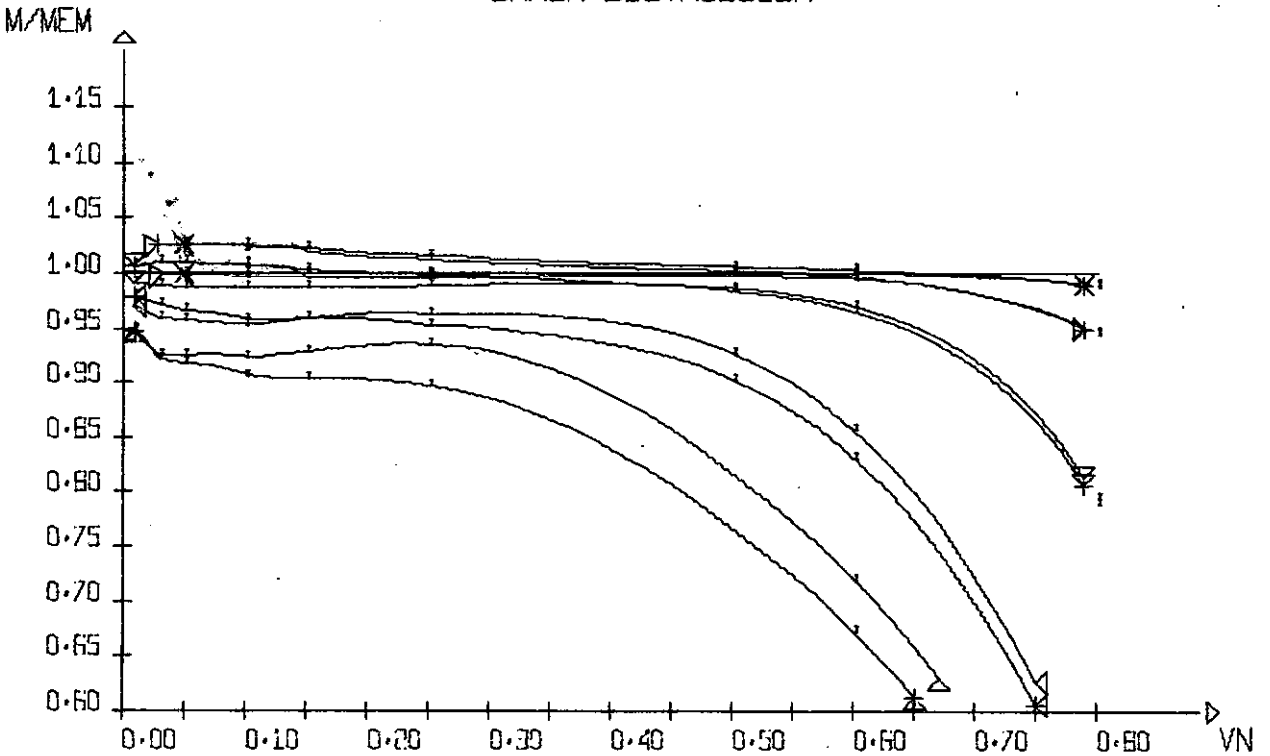
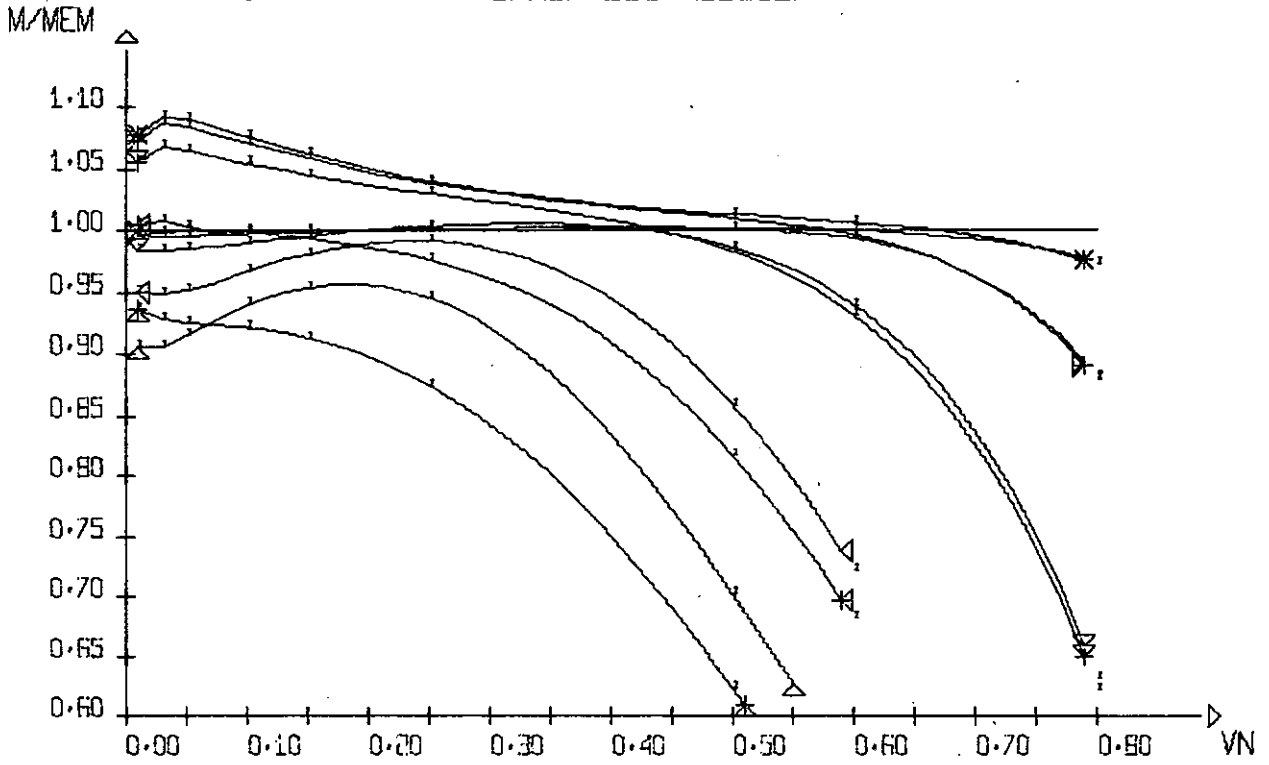


Figura 4.2.11

V = 0.3
 MISULA RETA
 CARGA DISTRIBUIDA



V = 0.4
 MISULA RETA
 CARGA DISTRIBUIDA

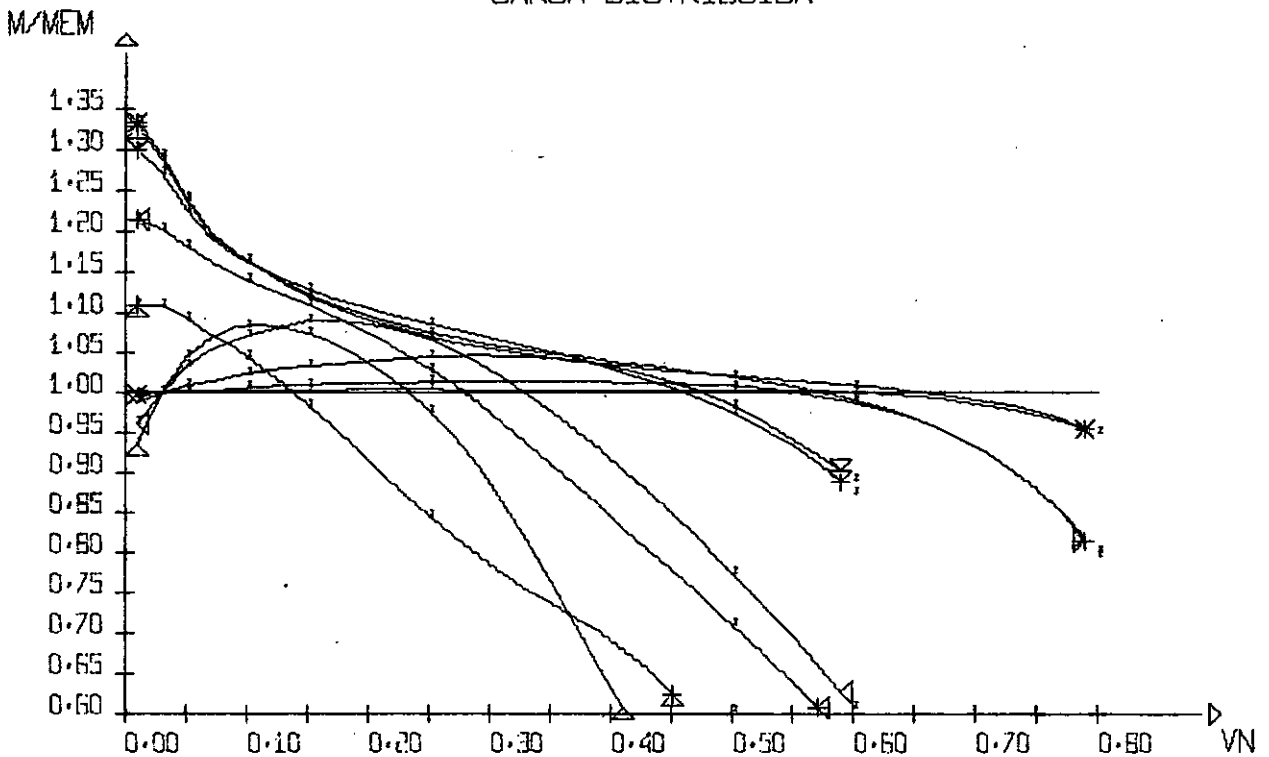
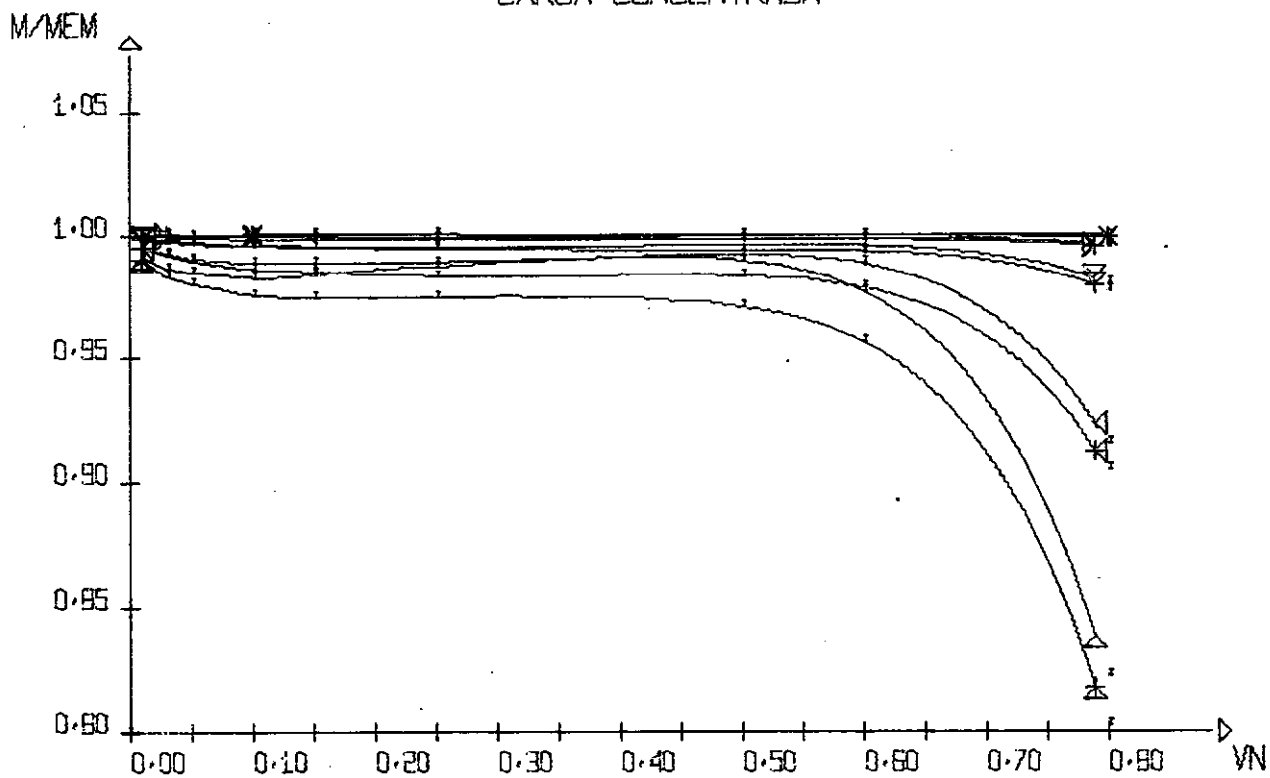


Figura 4.2.12

$V = 0.1$
 MISILA PARABOLICA
 CARGA CONCENTRADA



$V = 0.2$
 MISILA PARABOLICA
 CARGA CONCENTRADA

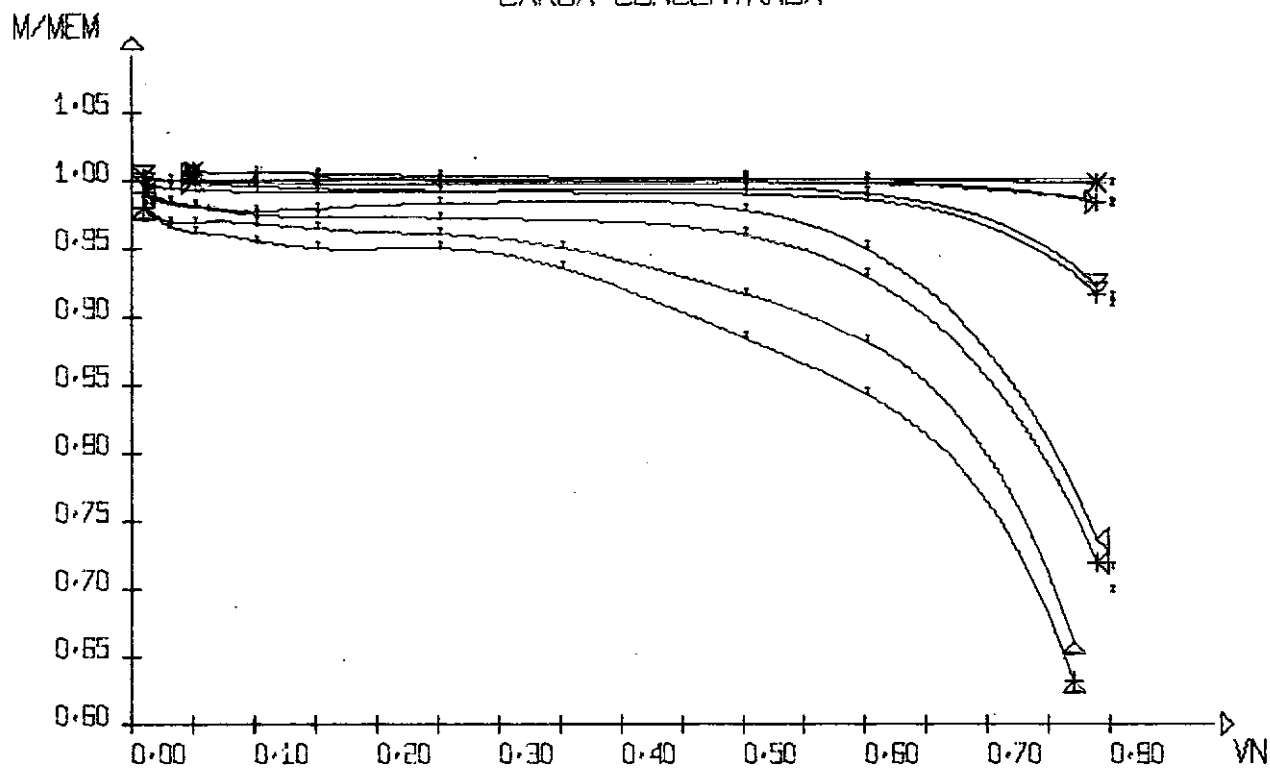
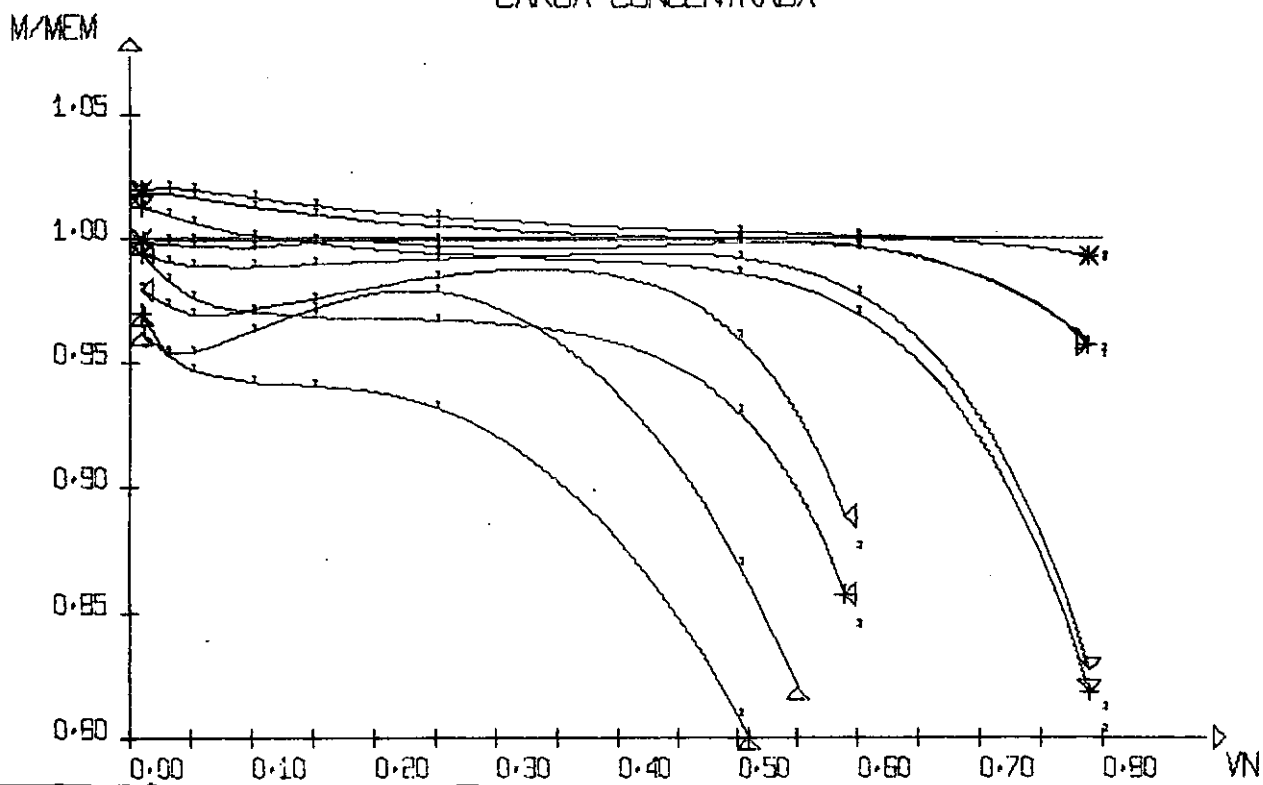


Figura 4.2.13

$V = 0.3$
 MISULA PARABOLICA
 CARGA CONCENTRADA



$V = 0.4$
 MISULA PARABOLICA
 CARGA CONCENTRADA

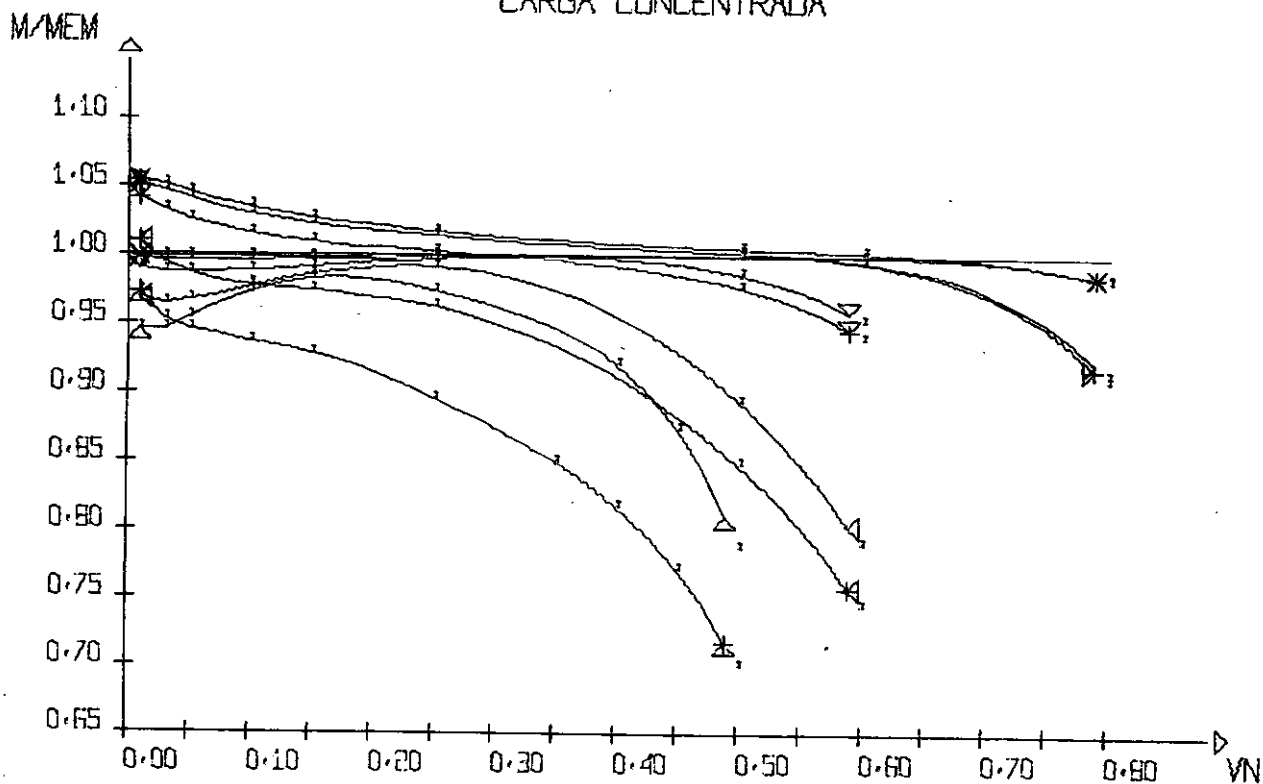
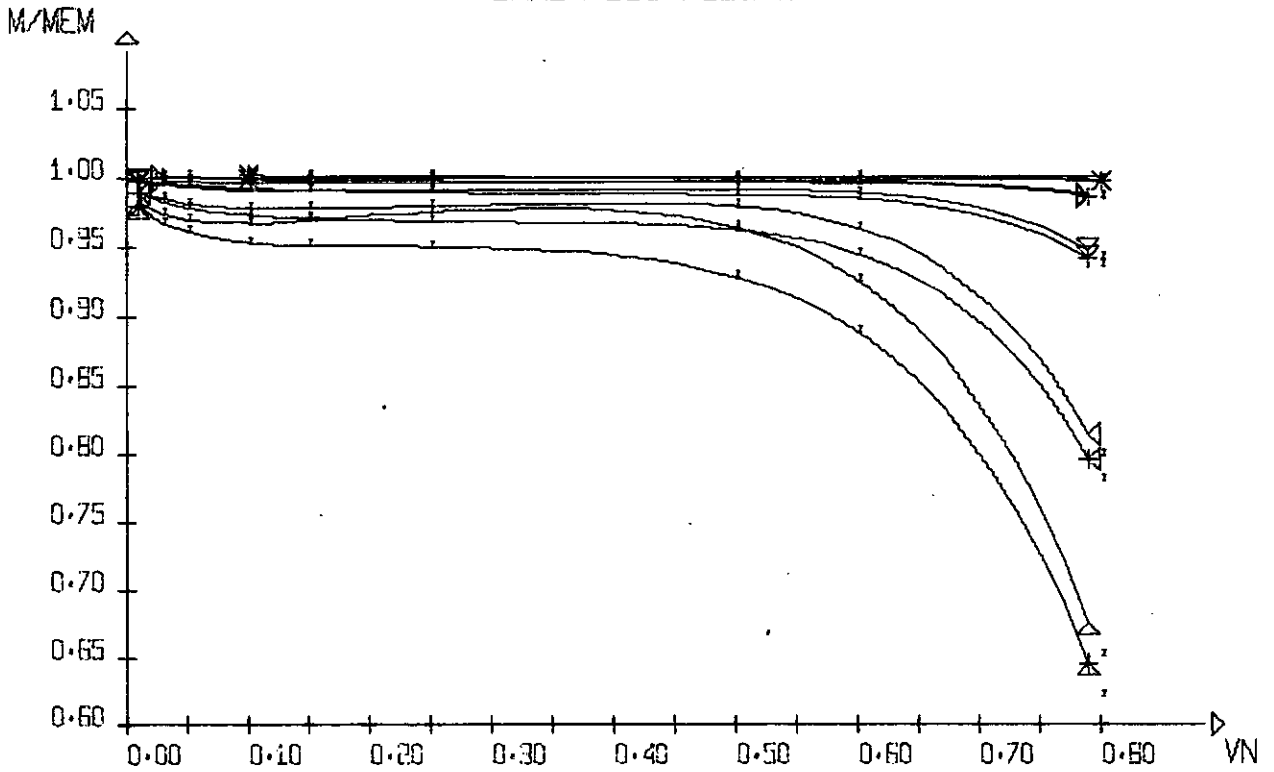


Figura 4.2.14

V = 0.1
 MISULA PARABOLICA
 CARGA DISTRIBUIDA



V = 0.2
 MISULA PARABOLICA
 CARGA DISTRIBUIDA

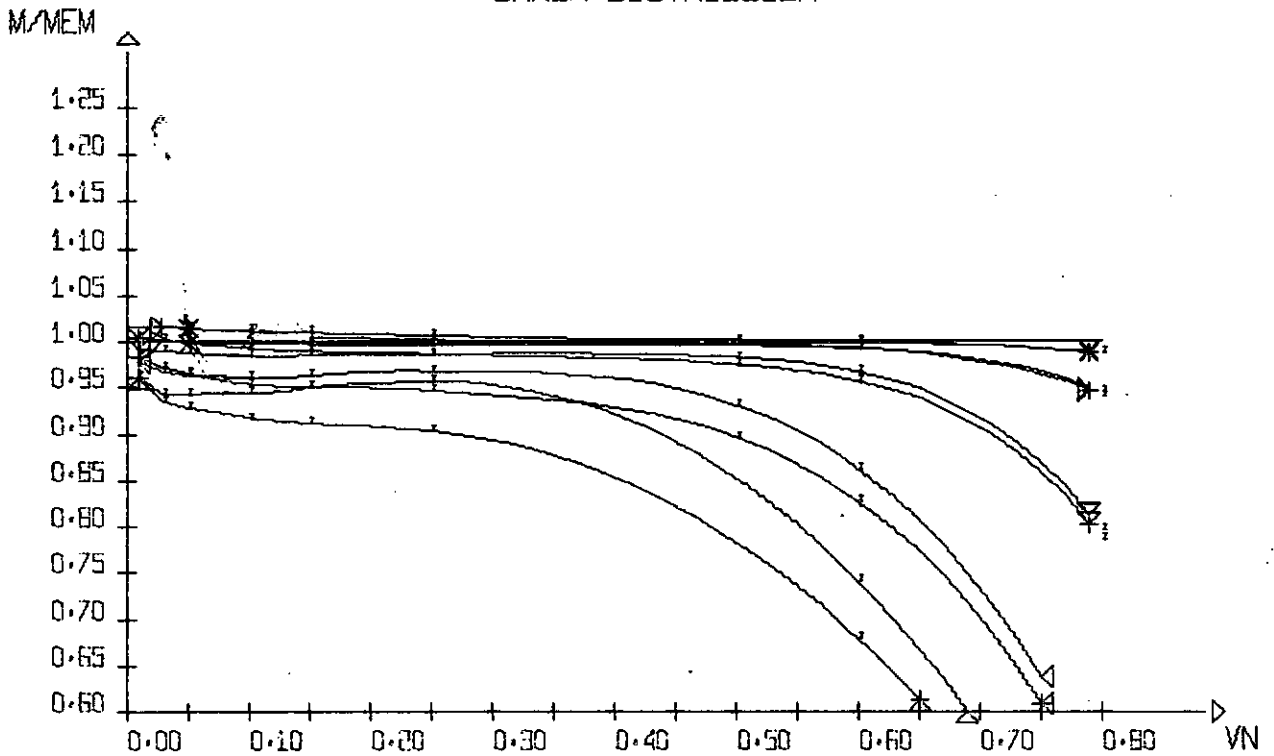
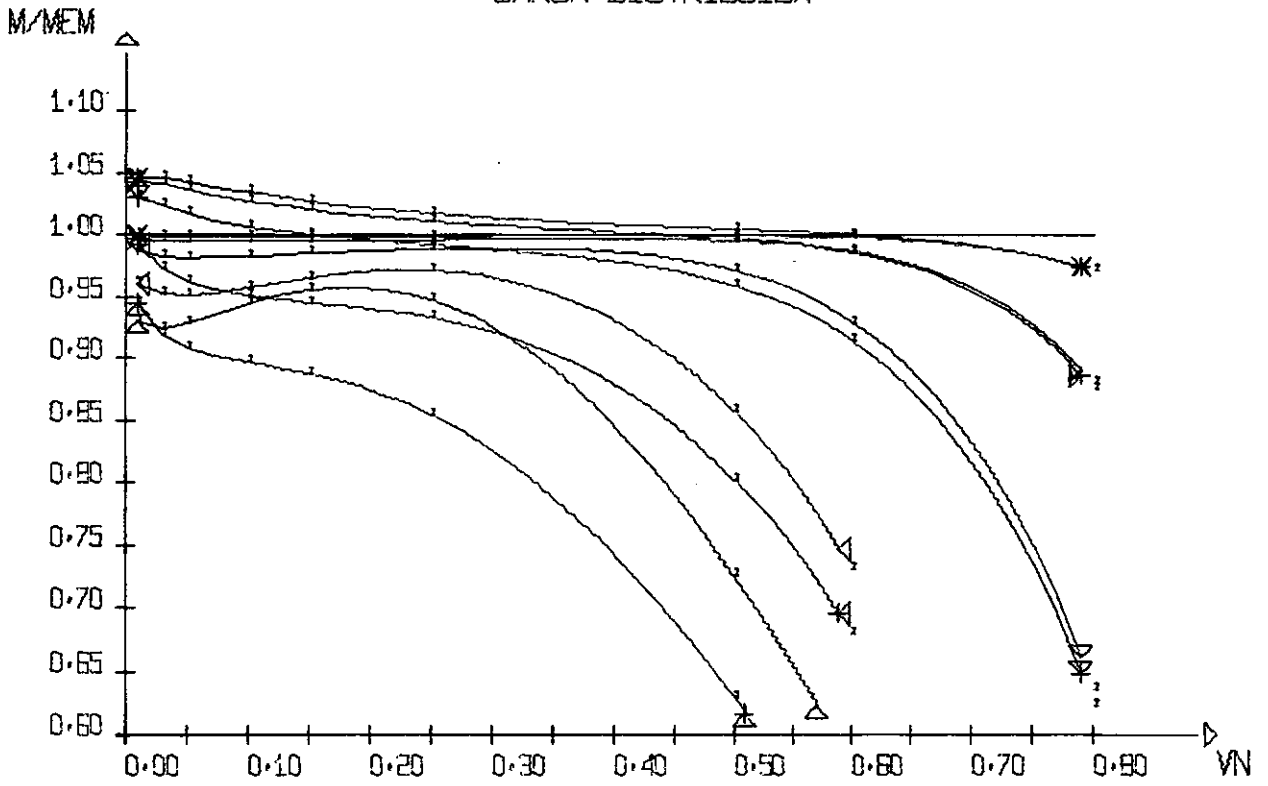


Figura 4.2.15

$V = 0.3$
 MISULA PARABOLICA
 CARGA DISTRIBUIDA



$V = 0.4$
 MISULA PARABOLICA
 CARGA DISTRIBUIDA

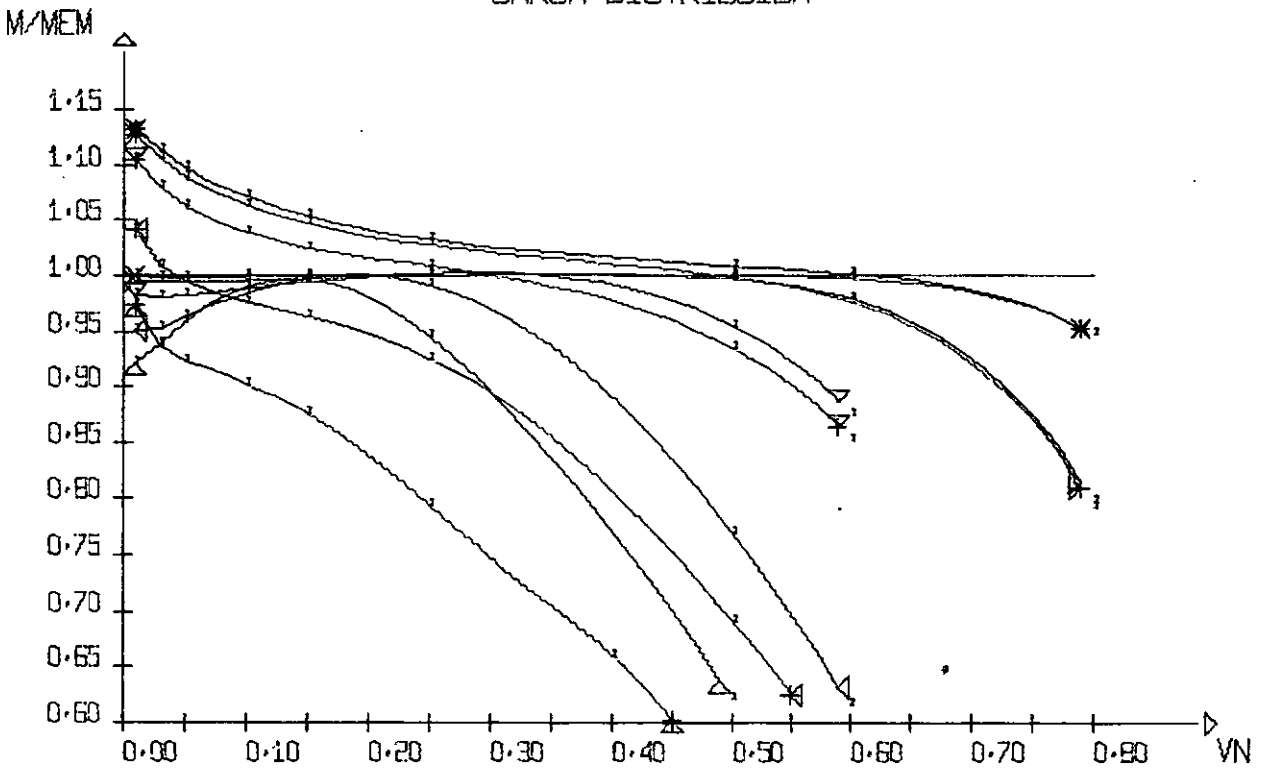
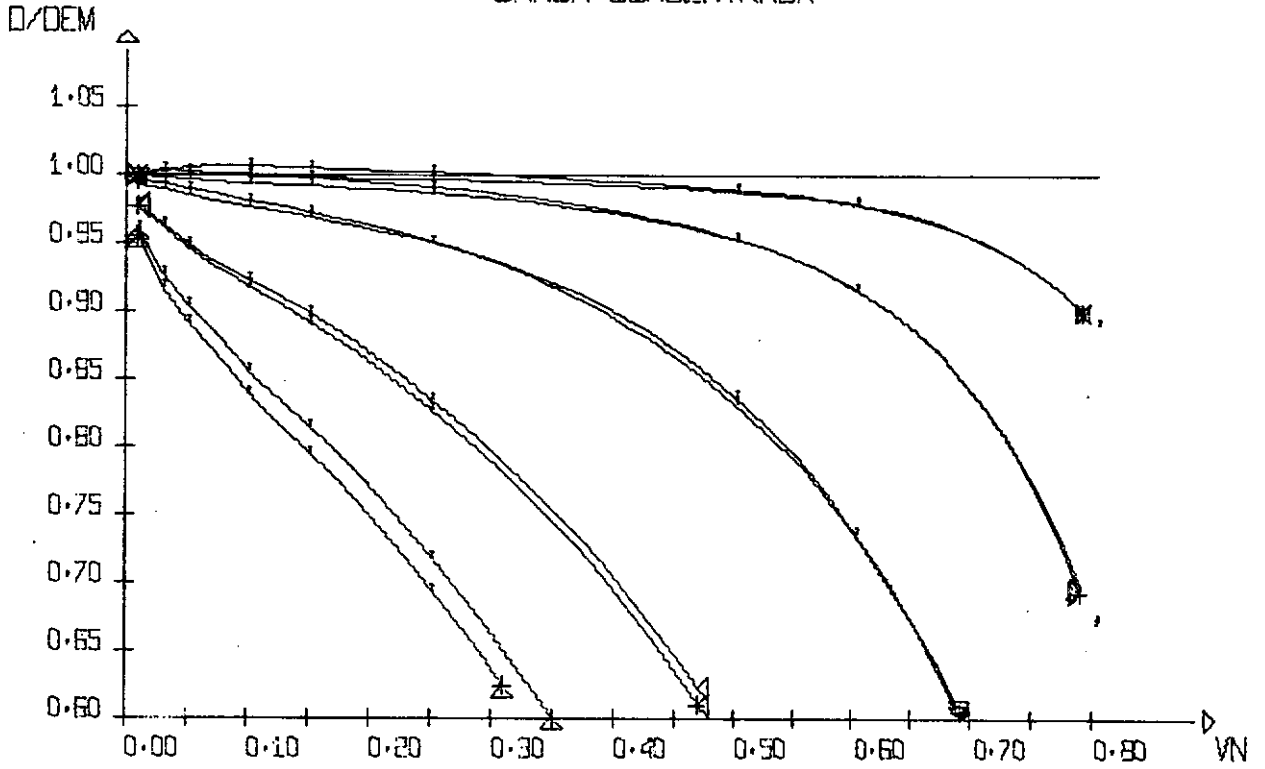


Figura 4.2.16

V₁ = 0.1
 MISULA RETA
 CARGA CONCENTRADA



V = 0.2
 MISULA RETA
 CARGA CONCENTRADA

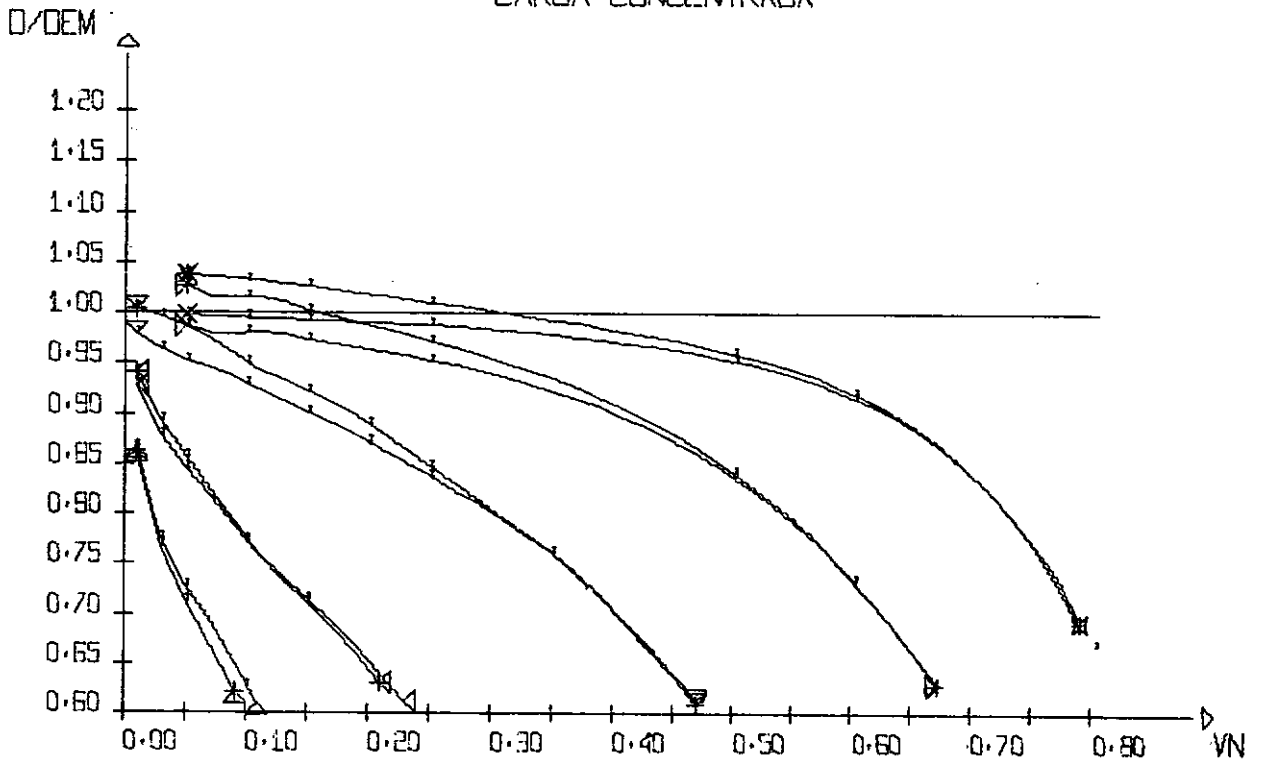
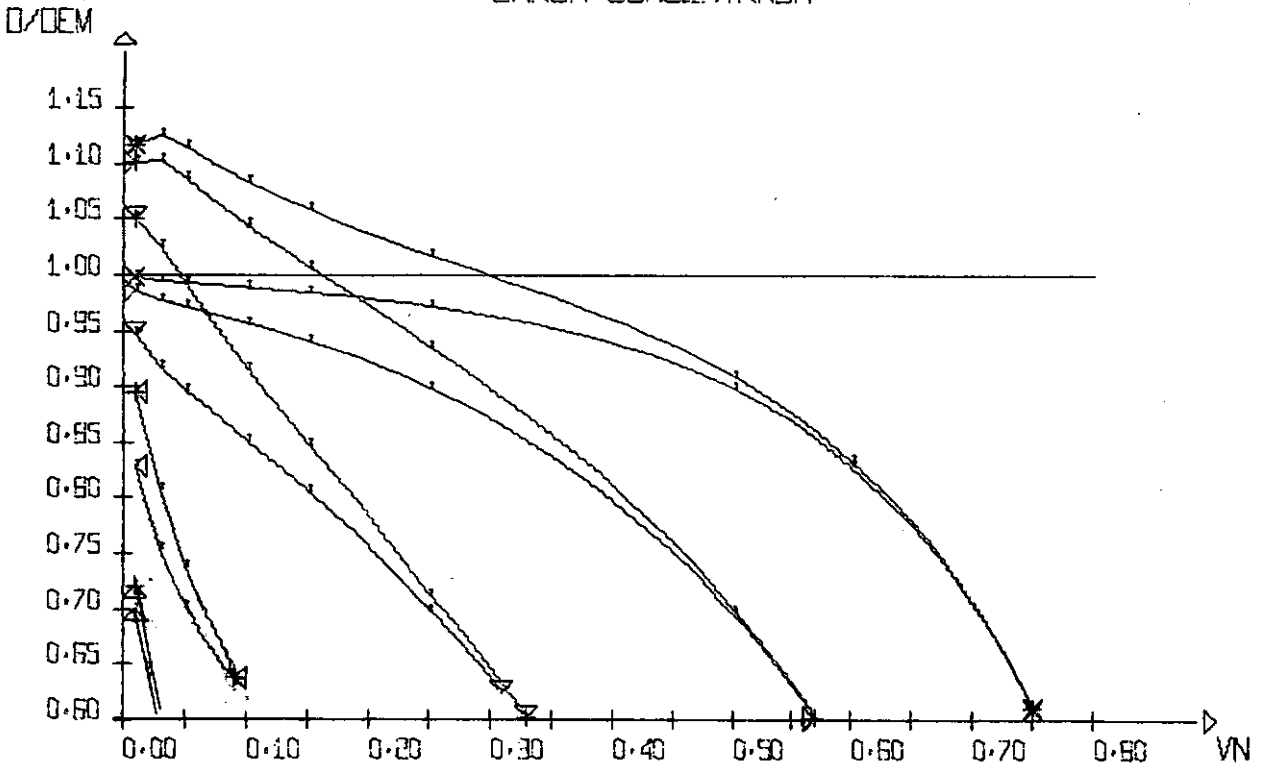


Figura 4.2.17

$V_1=0.3$
 MISULA RETA
 CARGA CONCENTRADA



$V_1=0.4$
 MISULA RETA
 CARGA CONCENTRADA

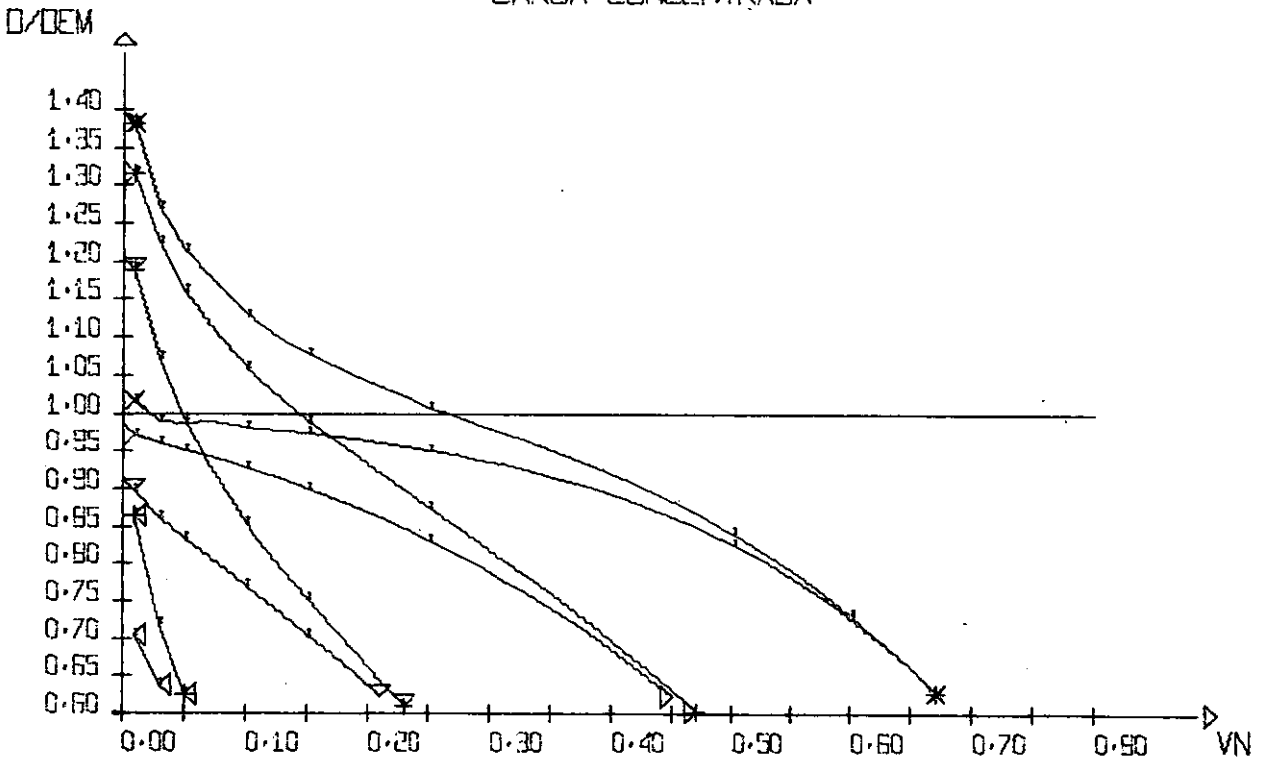
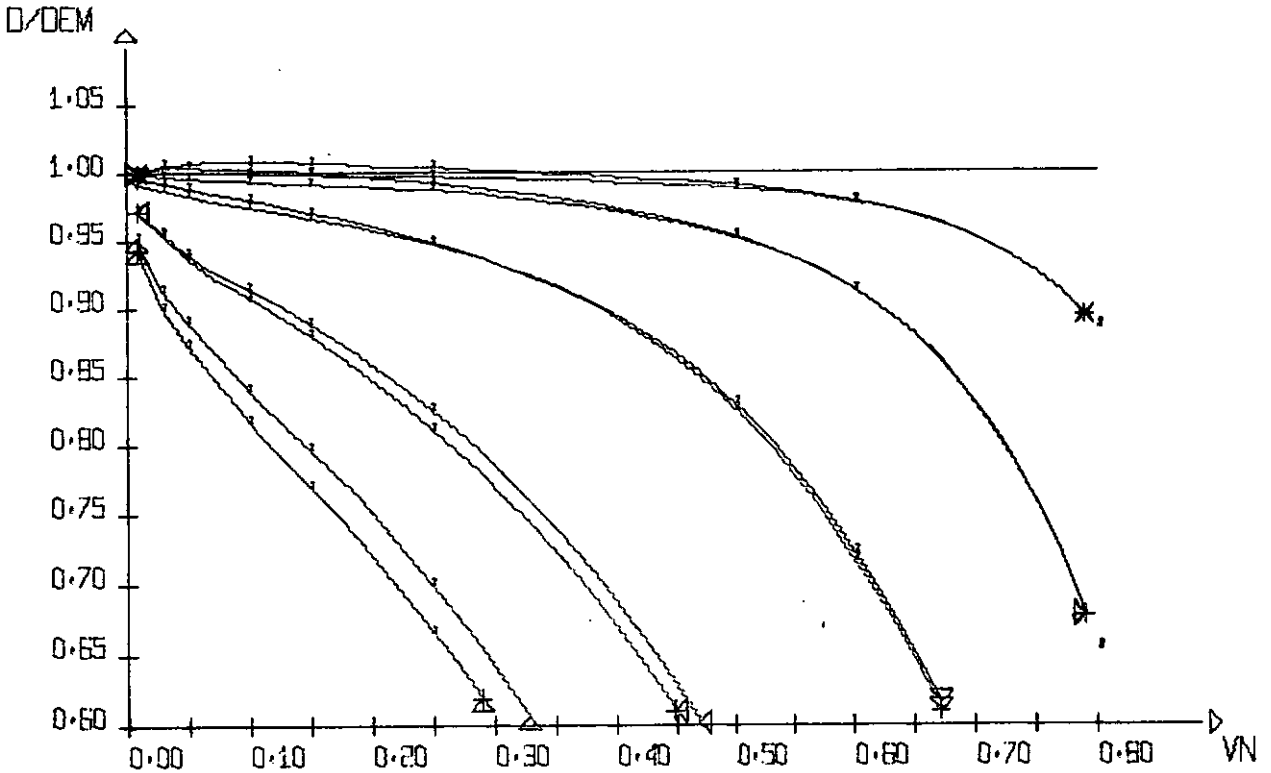


Figura 4.2.18

$V = 0.1$
 MISULA RETA
 CARGA DISTRIBUIDA



$V = 0.2$
 MISULA RETA
 CARGA DISTRIBUIDA

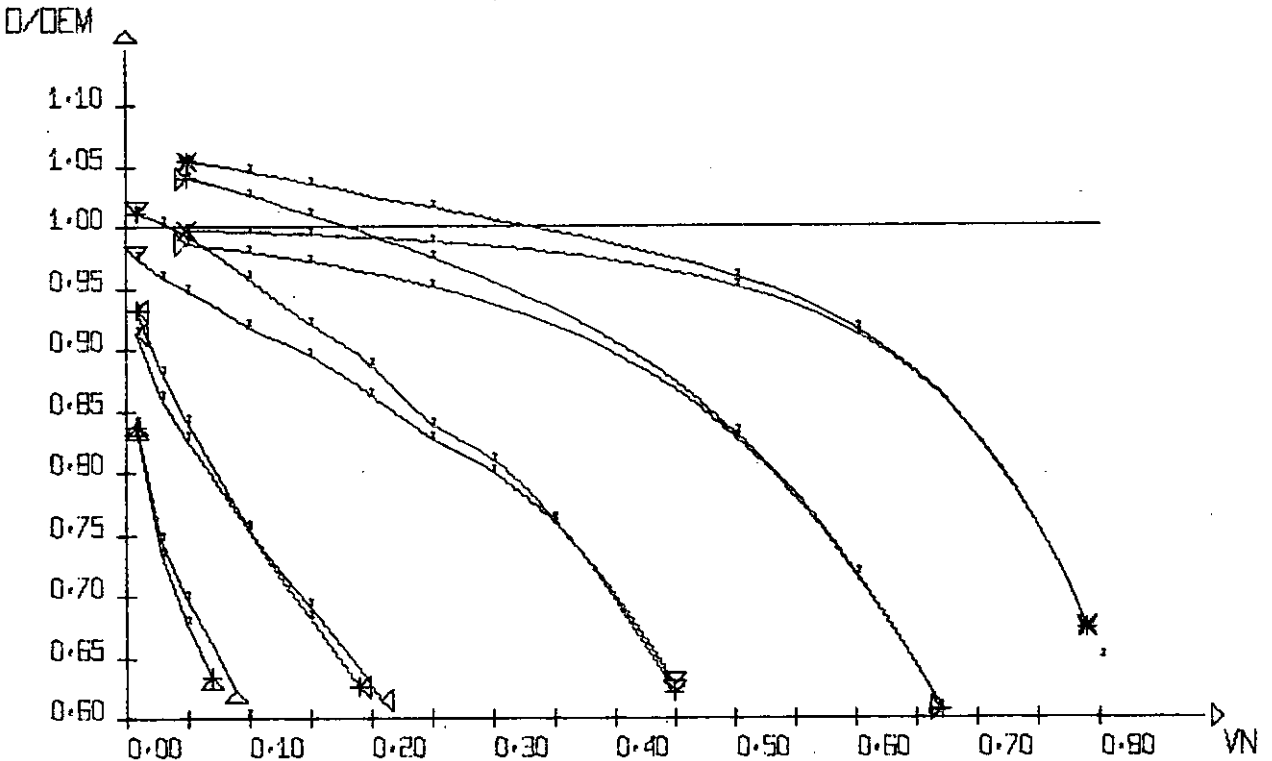
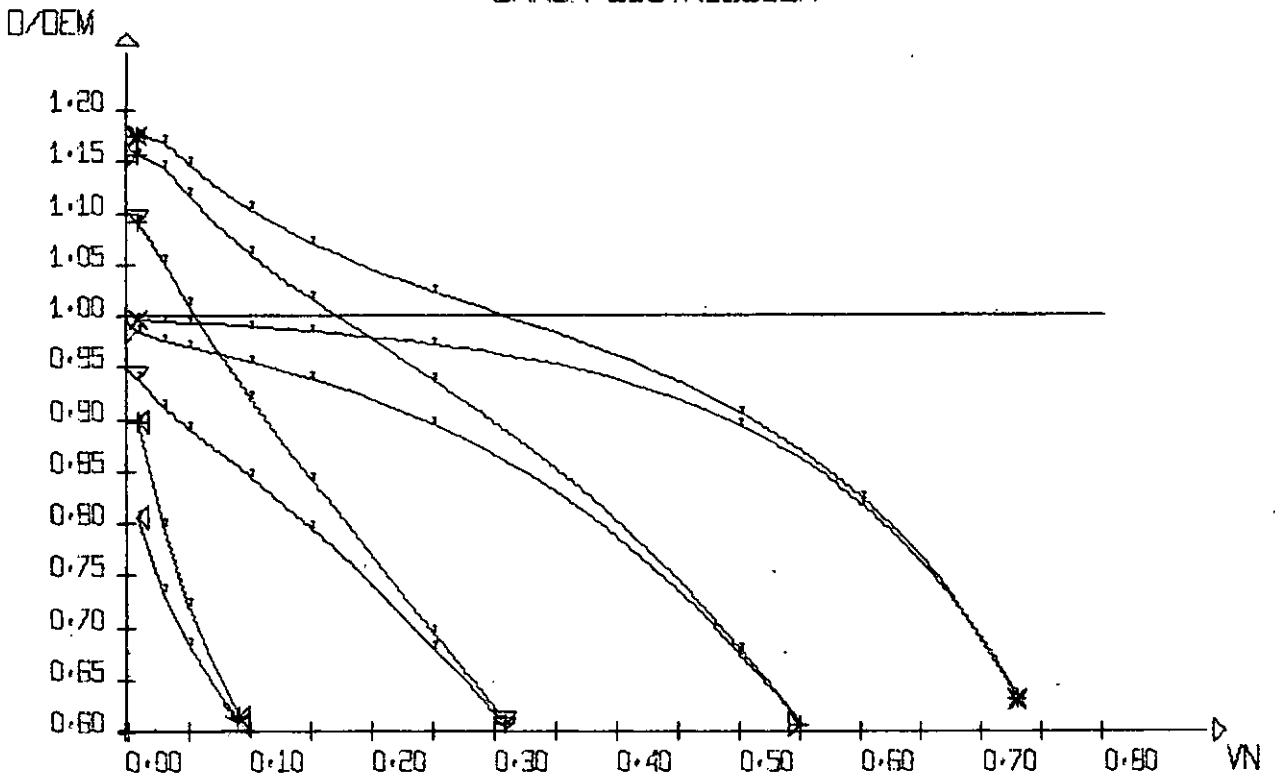


Figura 4.2.19

V = 0.3
 MISULA RETA
 CARGA DISTRIBUIDA



V = 0.4
 MISULA RETA
 CARGA DISTRIBUIDA

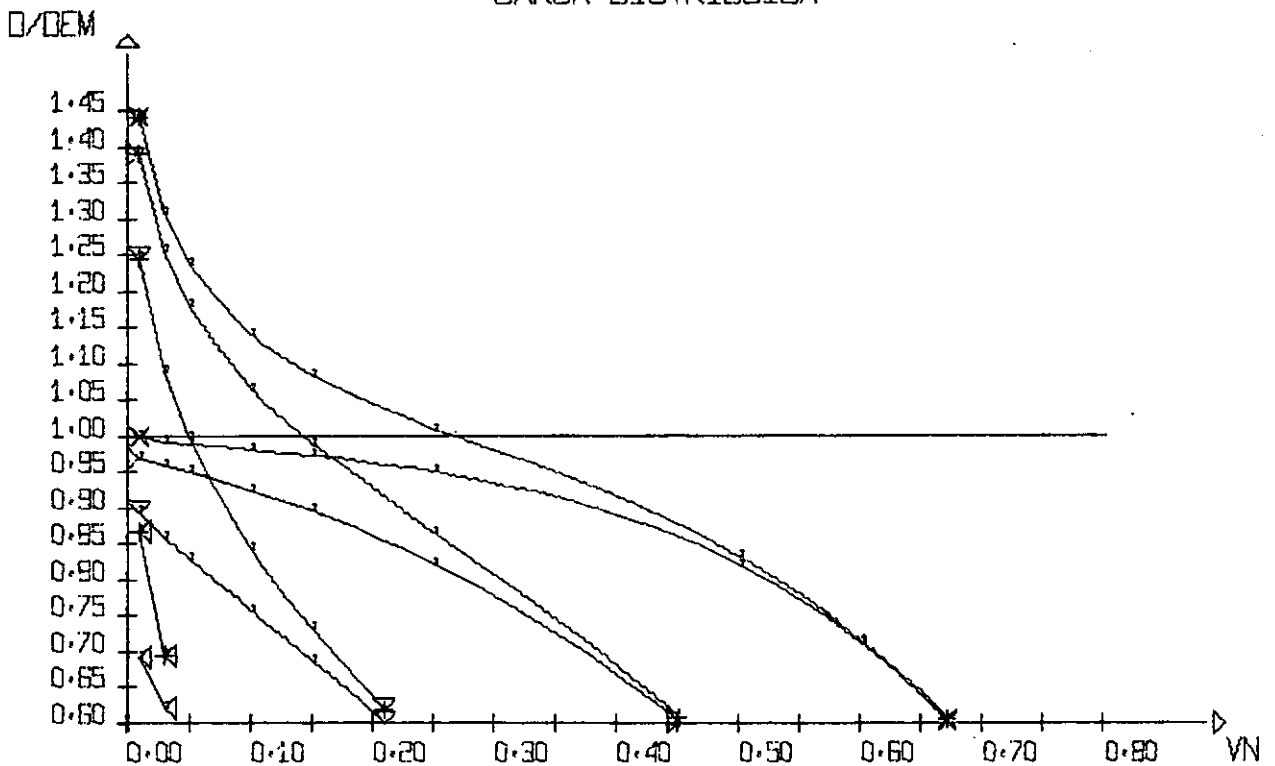
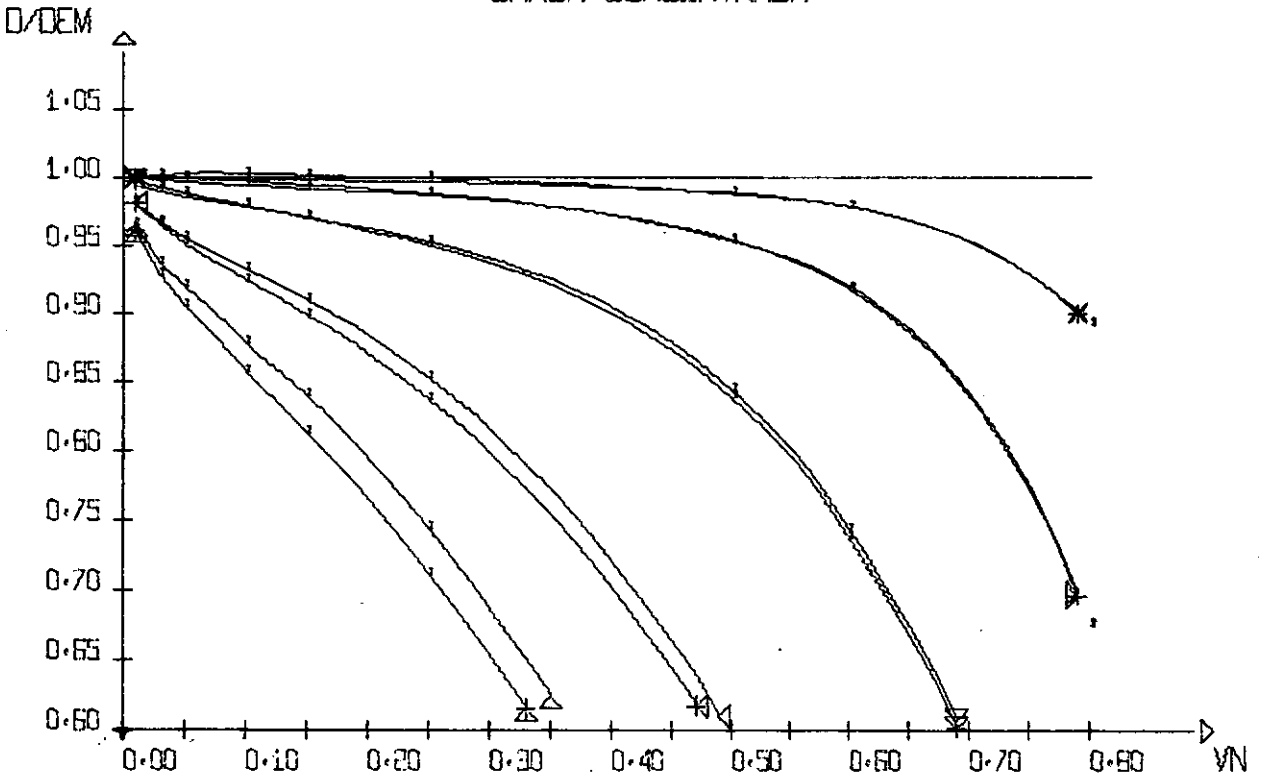


Figura 4.2.20

V = 0.1
 MISULA PARABOLICA
 CARGA CONCENTRADA



V = 0.2
 MISULA PARABOLICA
 CARGA CONCENTRADA

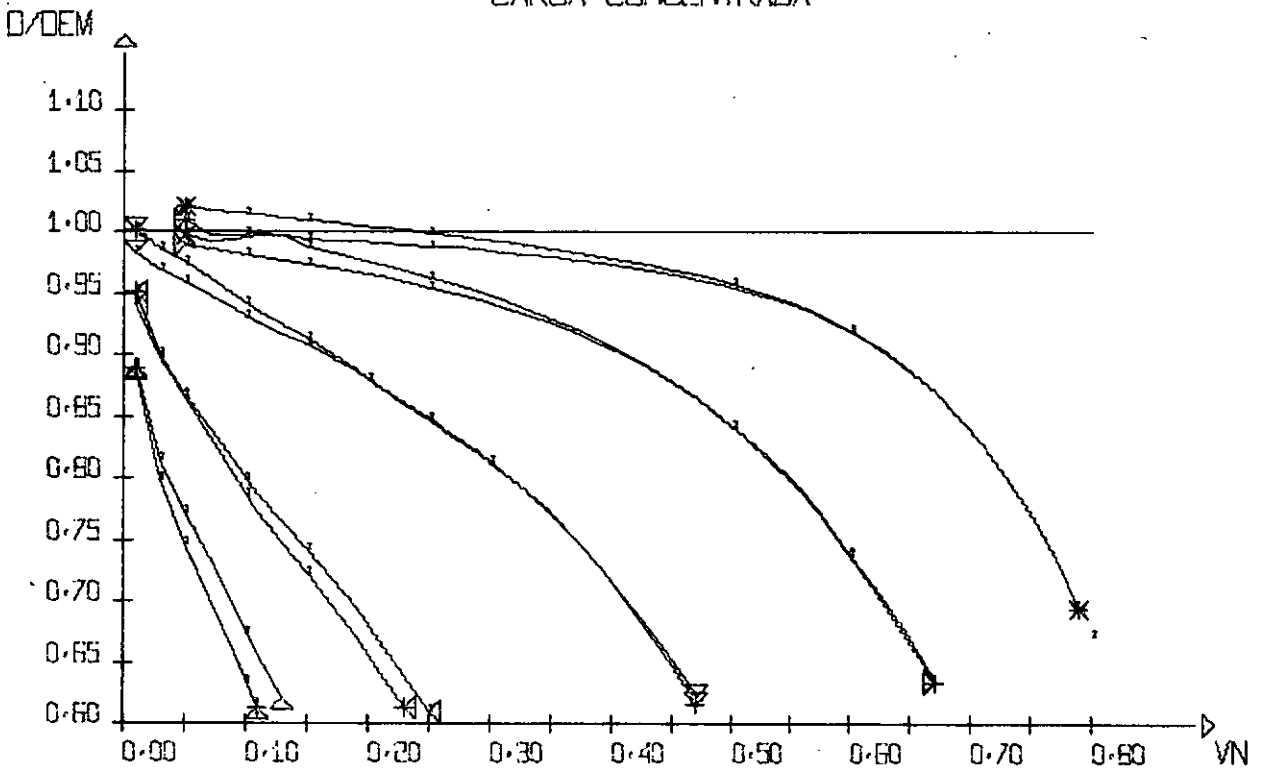
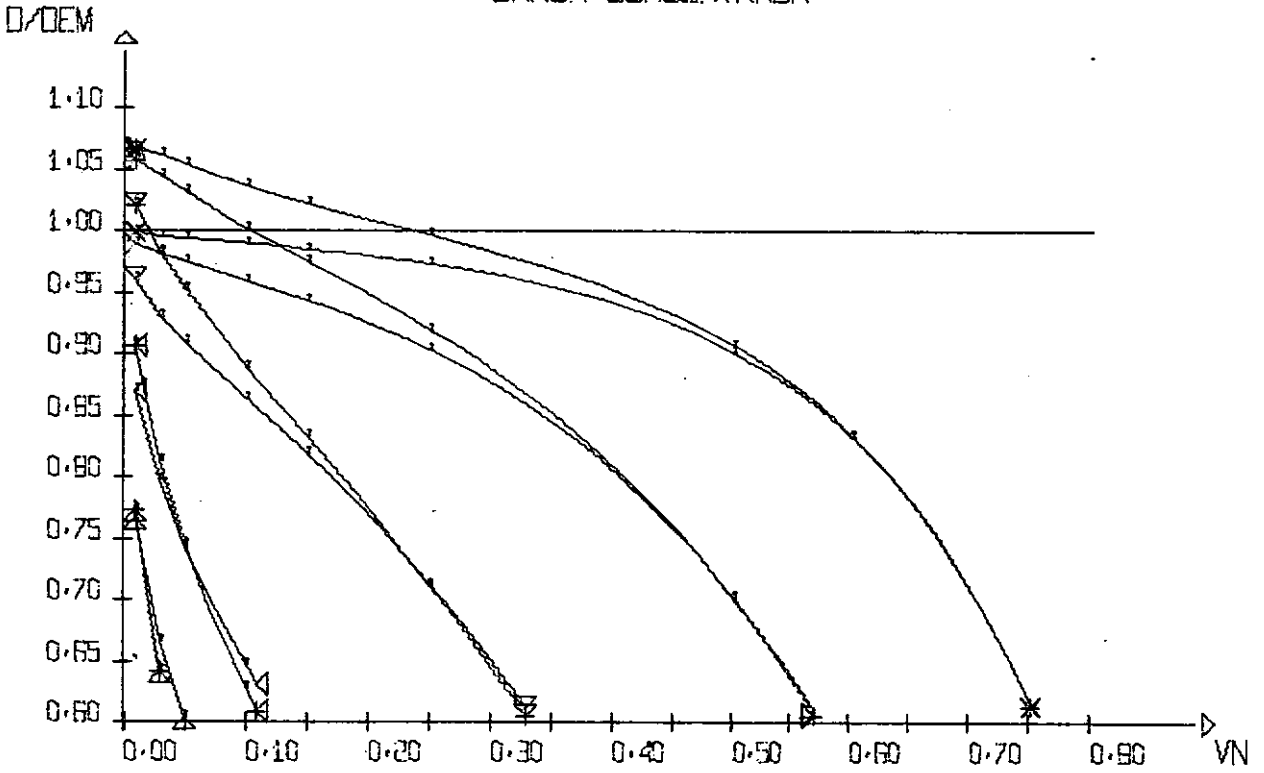


Figura 4.2.21

$V = 0.3$
 MISILA PARABOLICA
 CARGA CONCENTRADA



$V = 0.4$
 MISILA PARABOLICA
 CARGA CONCENTRADA

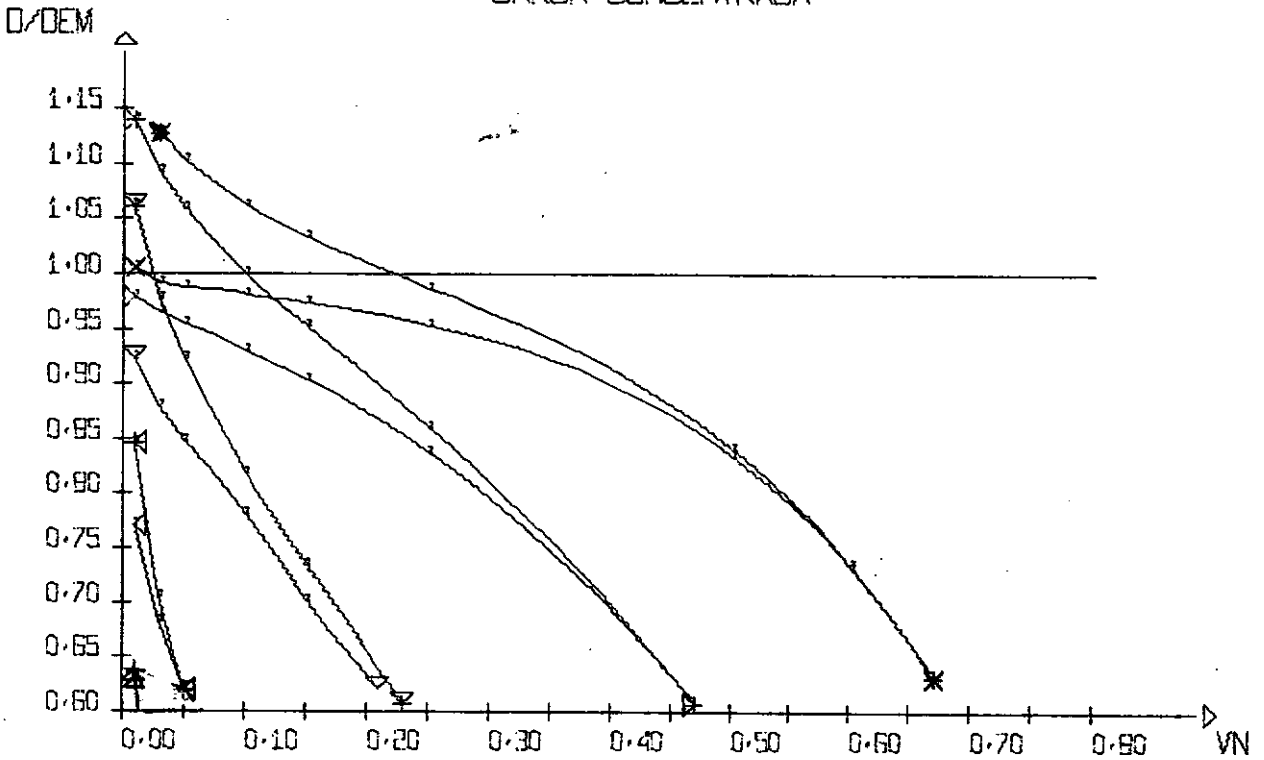
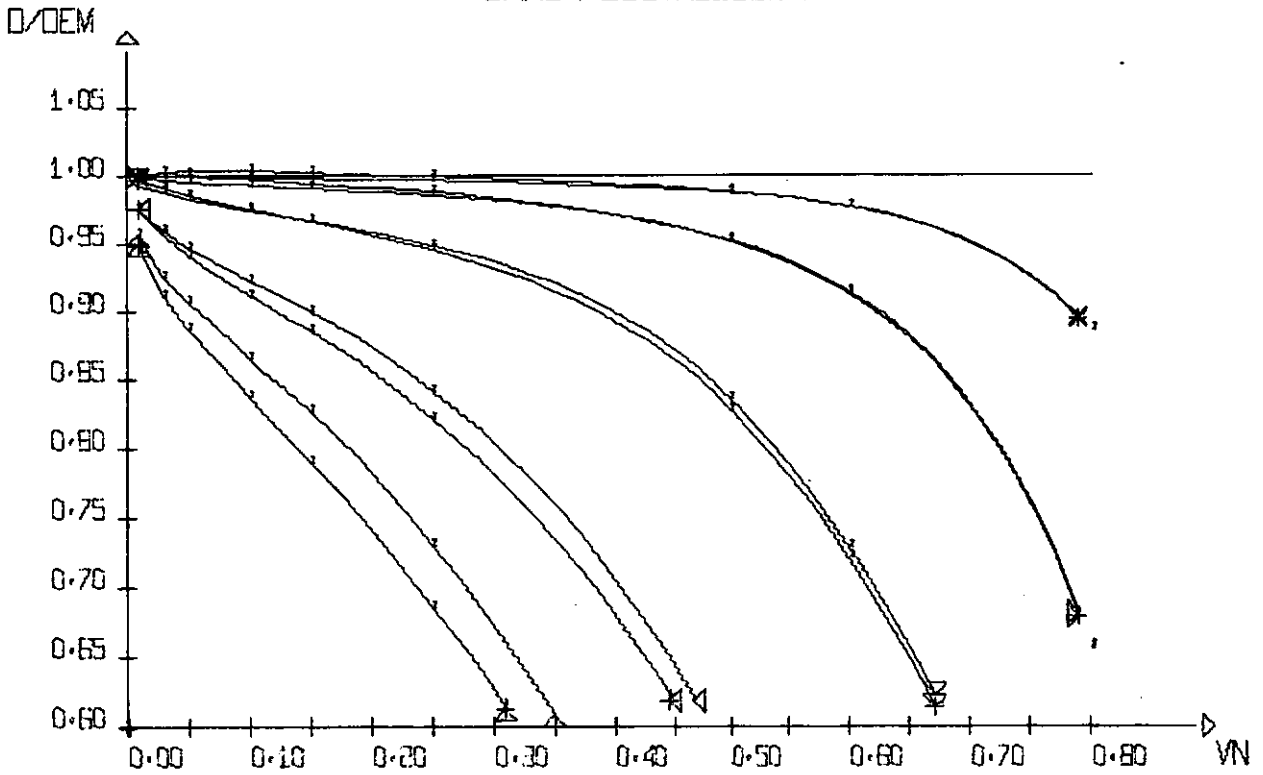


Figura 4.2.22

$V_c = 0.1$
 MISULA PARABOLICA
 CARGA DISTRIBUIDA



$V_c = 0.2$
 MISULA PARABOLICA
 CARGA DISTRIBUIDA

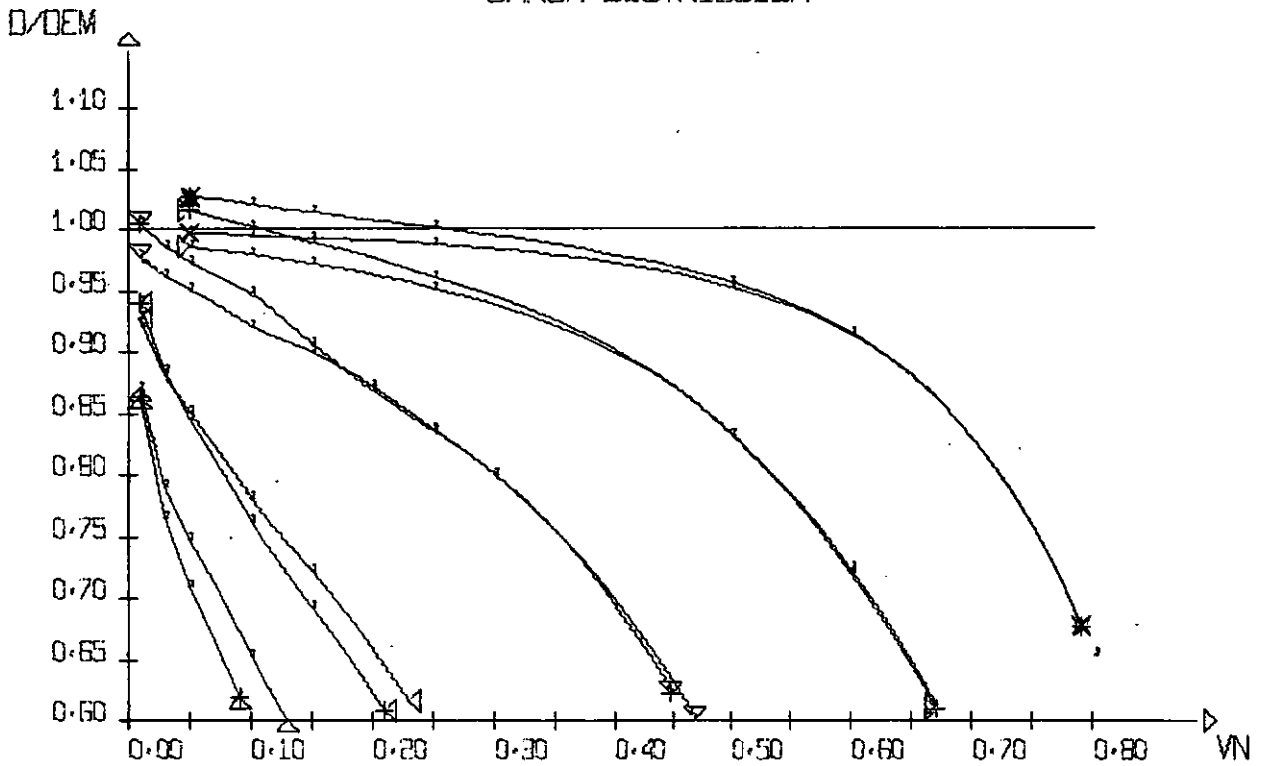
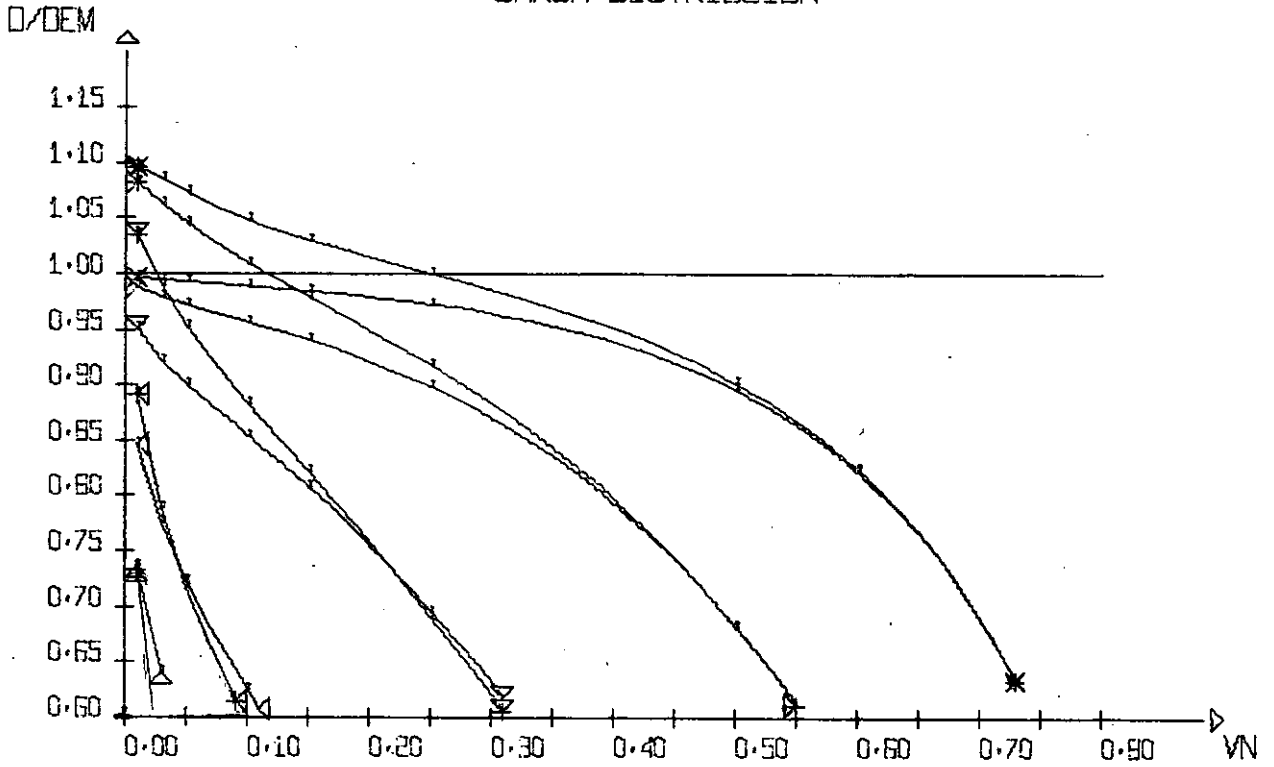


Figura 4.2.23

$V_c = 0.3$
 MISULA PARABOLICA
 CARGA DISTRIBUIDA



$V_c = 0.4$
 MISULA PARABOLICA
 CARGA DISTRIBUIDA

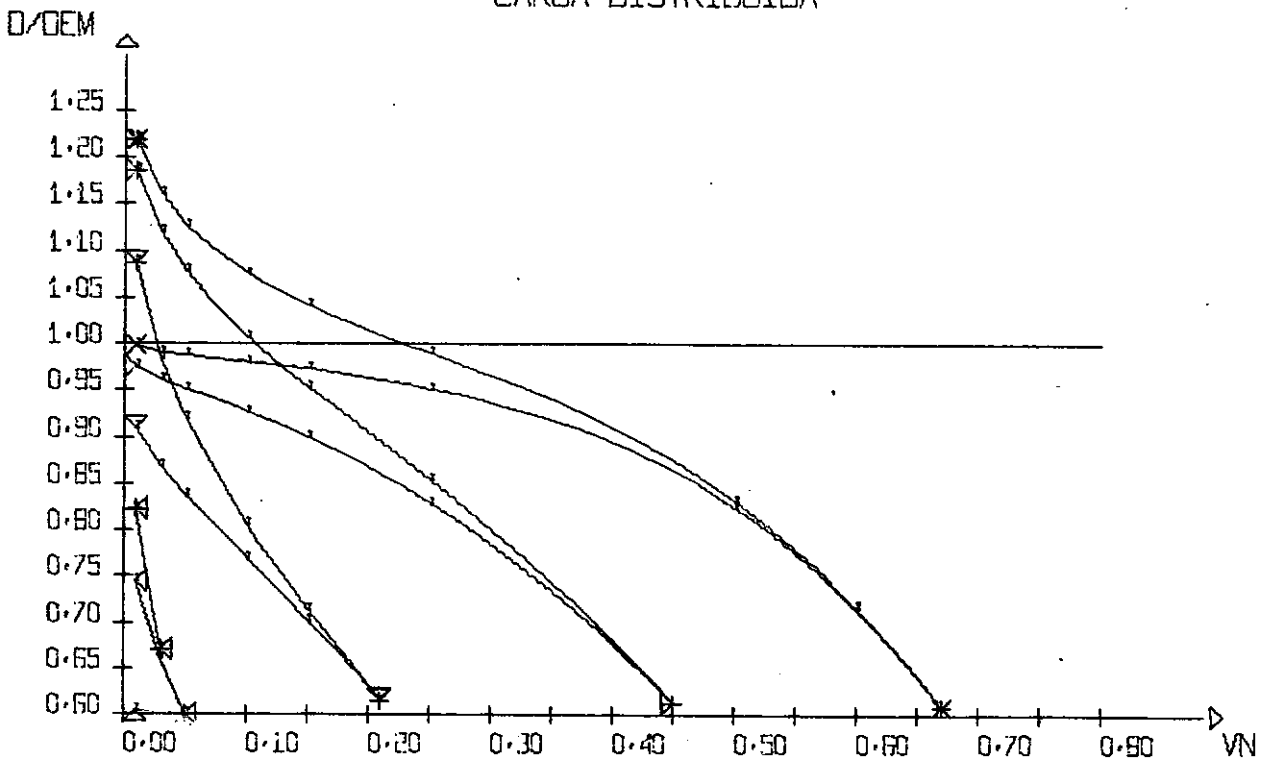
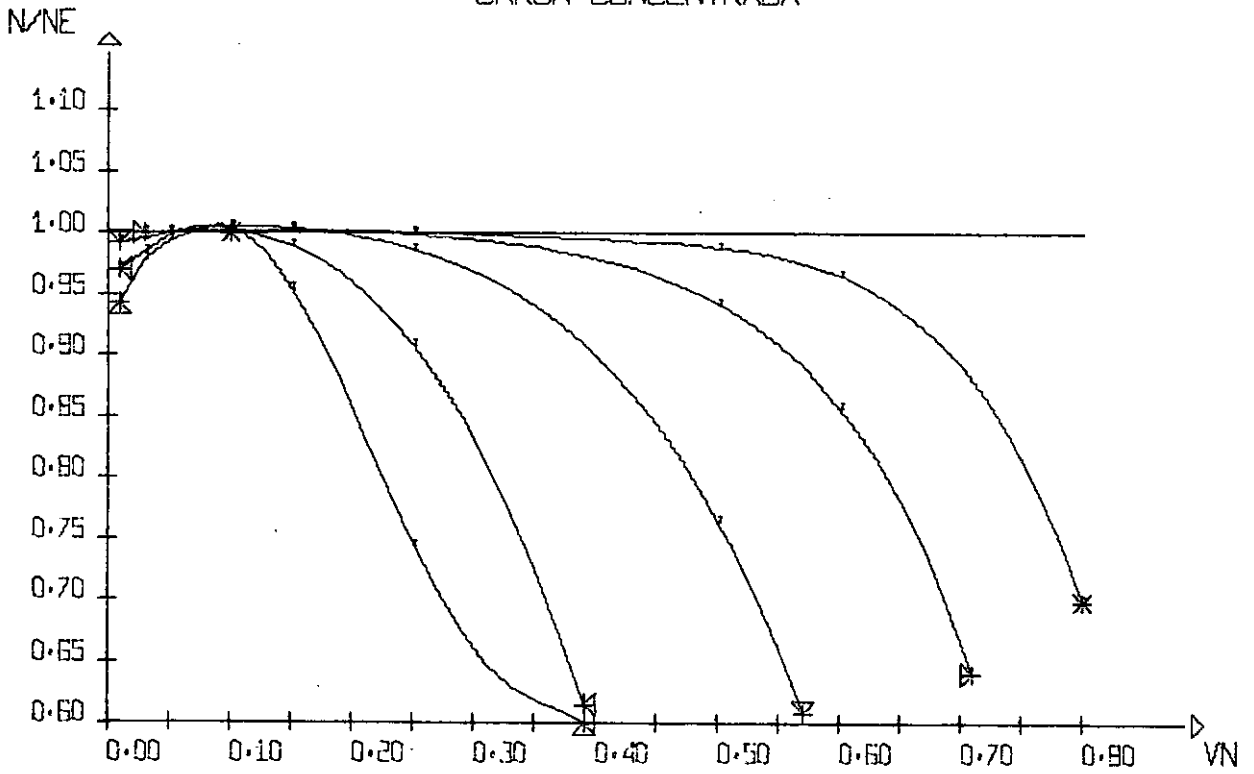


Figura 4.2.24

V = 0.1
 MISULA RETA
 CARGA CONCENTRADA



V = 0.2
 MISULA RETA
 CARGA CONCENTRADA

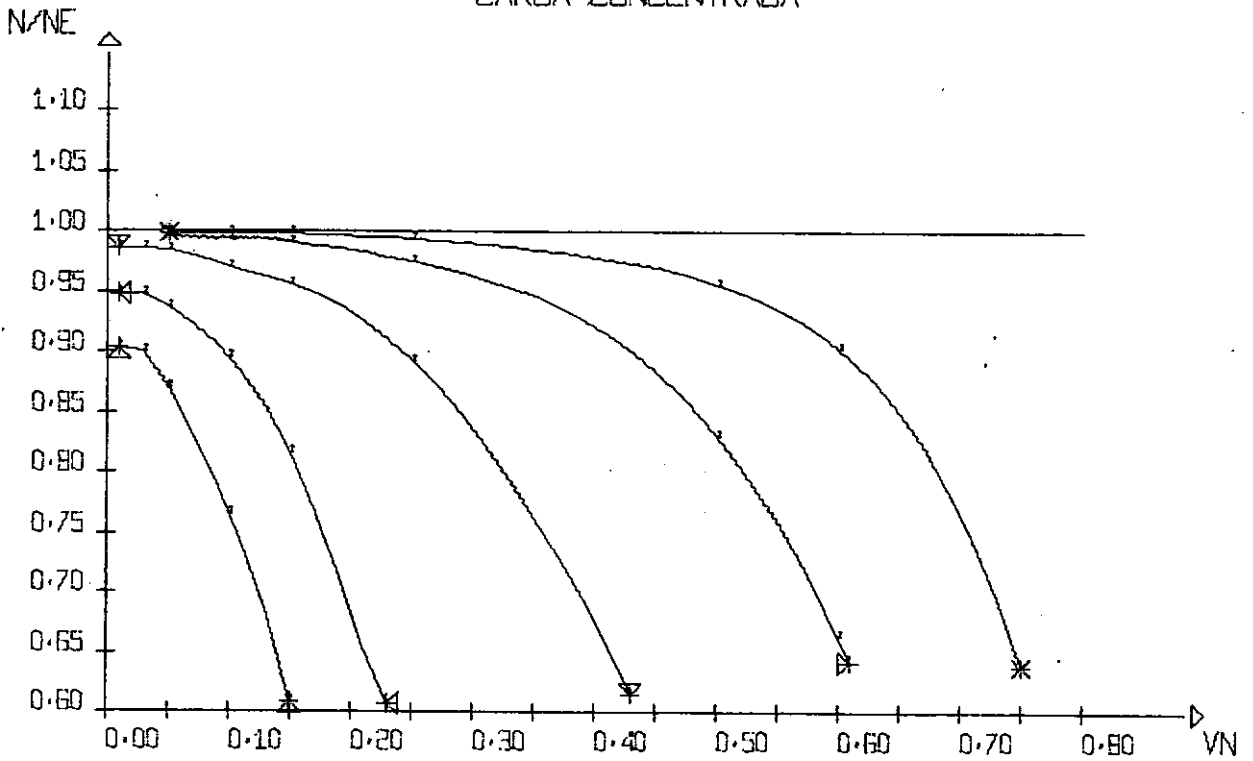
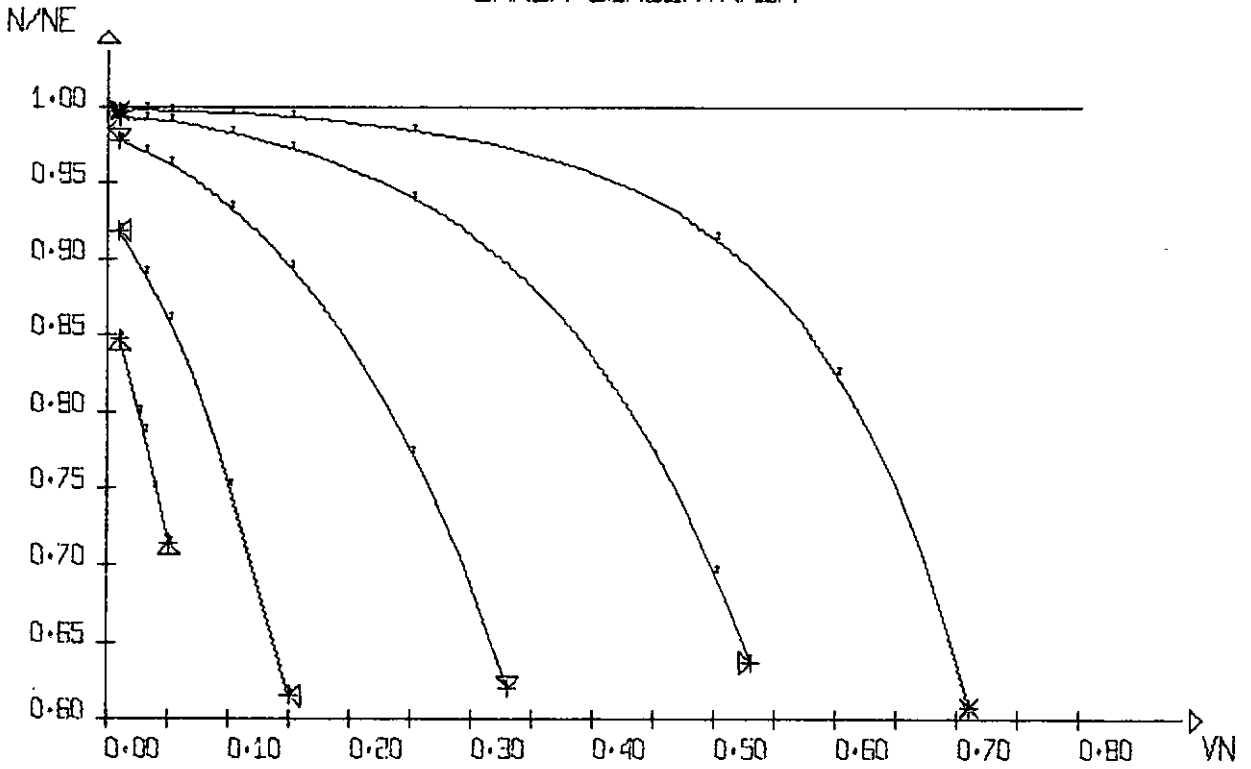


Figura 4.2.25

V = 0.3
 MISULA RETA
 CARGA CONCENTRADA



V = 0.4
 MISULA RETA
 CARGA CONCENTRADA

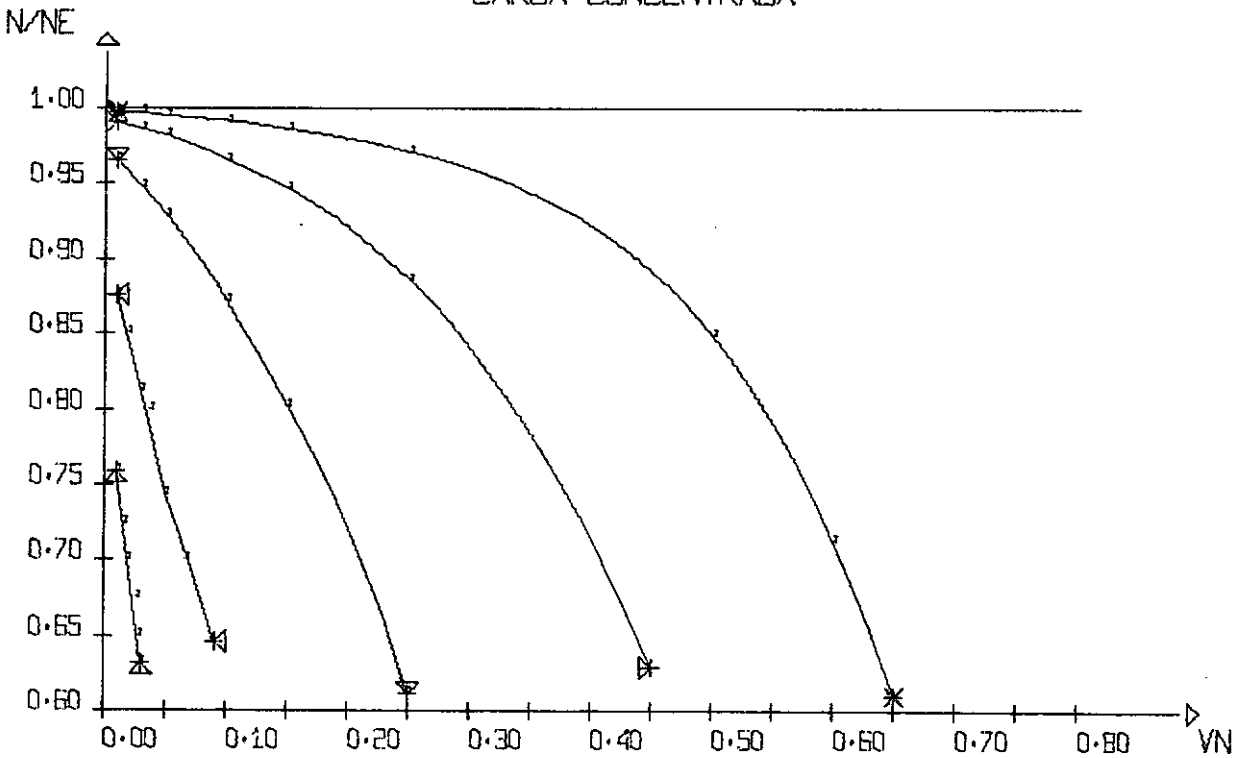
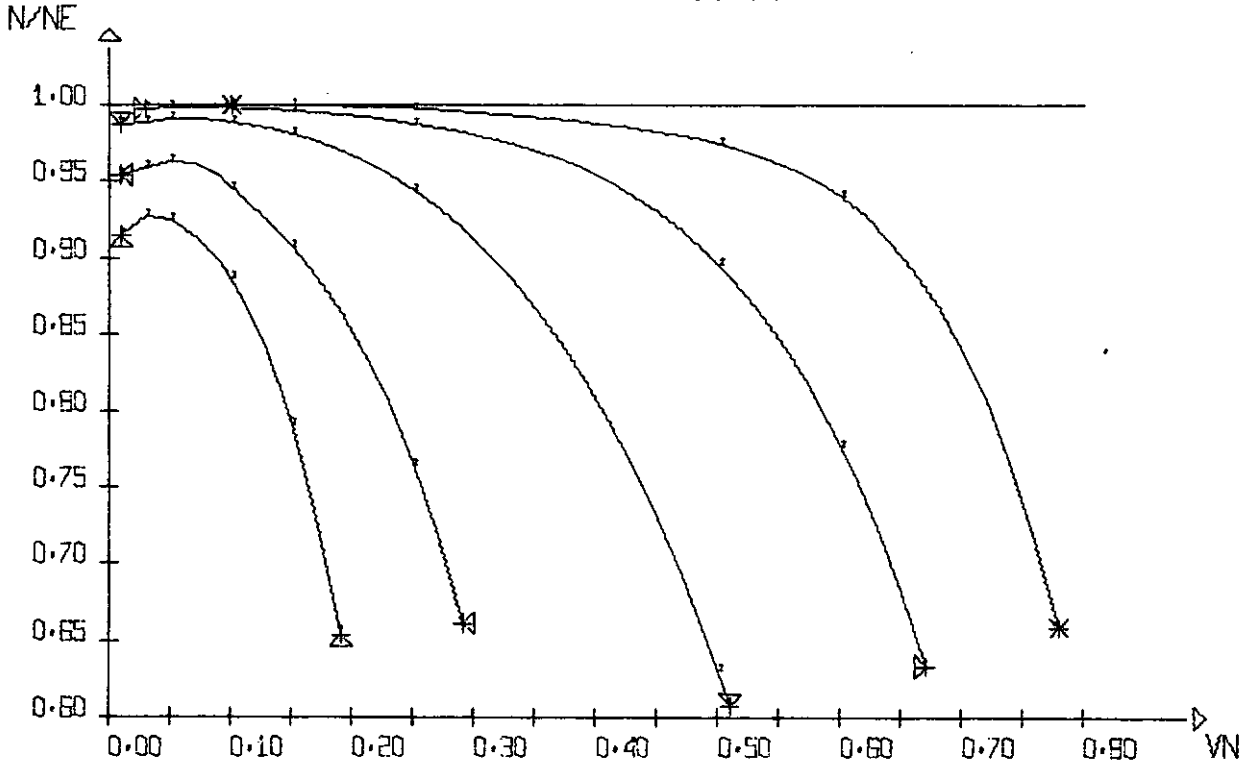


Figura 4.2.26

V = 0.1
 MISULA RETA
 CARGA DISTRIBUIDA



V = 0.2
 MISULA RETA
 CARGA DISTRIBUIDA

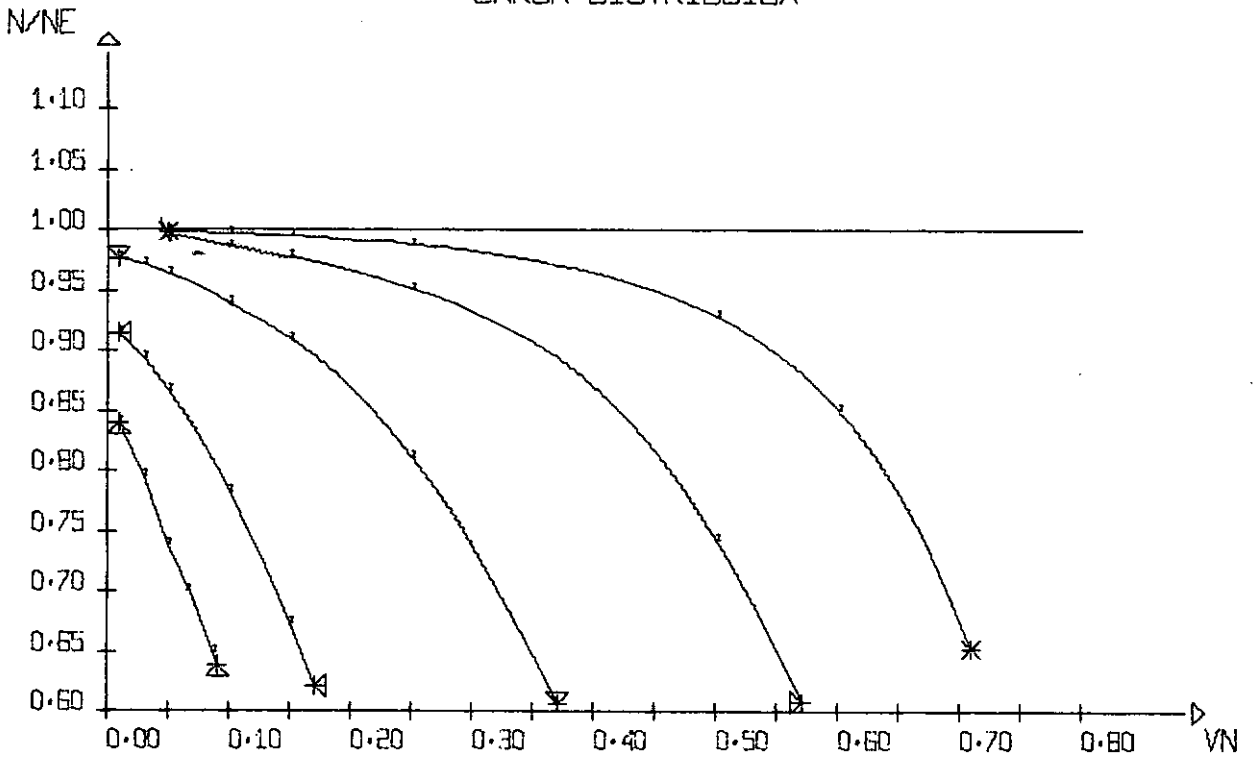
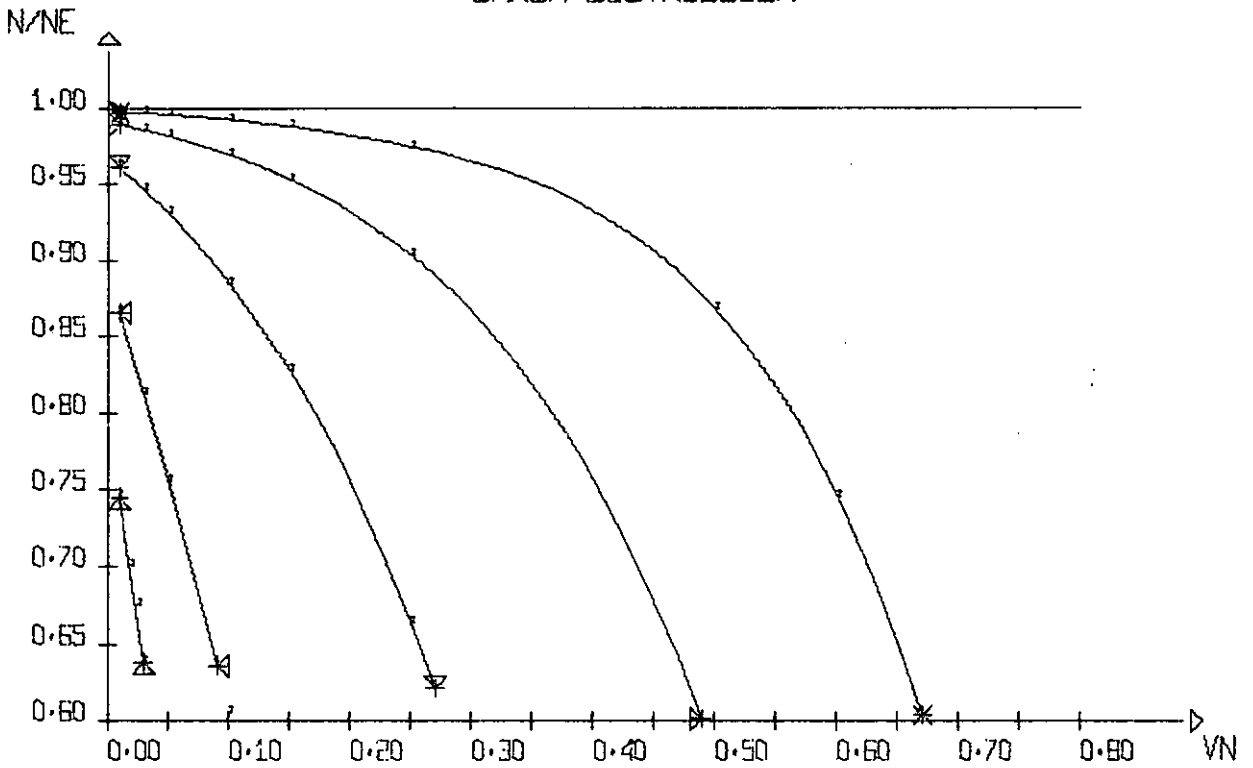


Figura 4.2.27

V = 0.3
 MISILA RETA
 CARGA DISTRIBUIDA



V = 0.4
 MISILA RETA
 CARGA DISTRIBUIDA

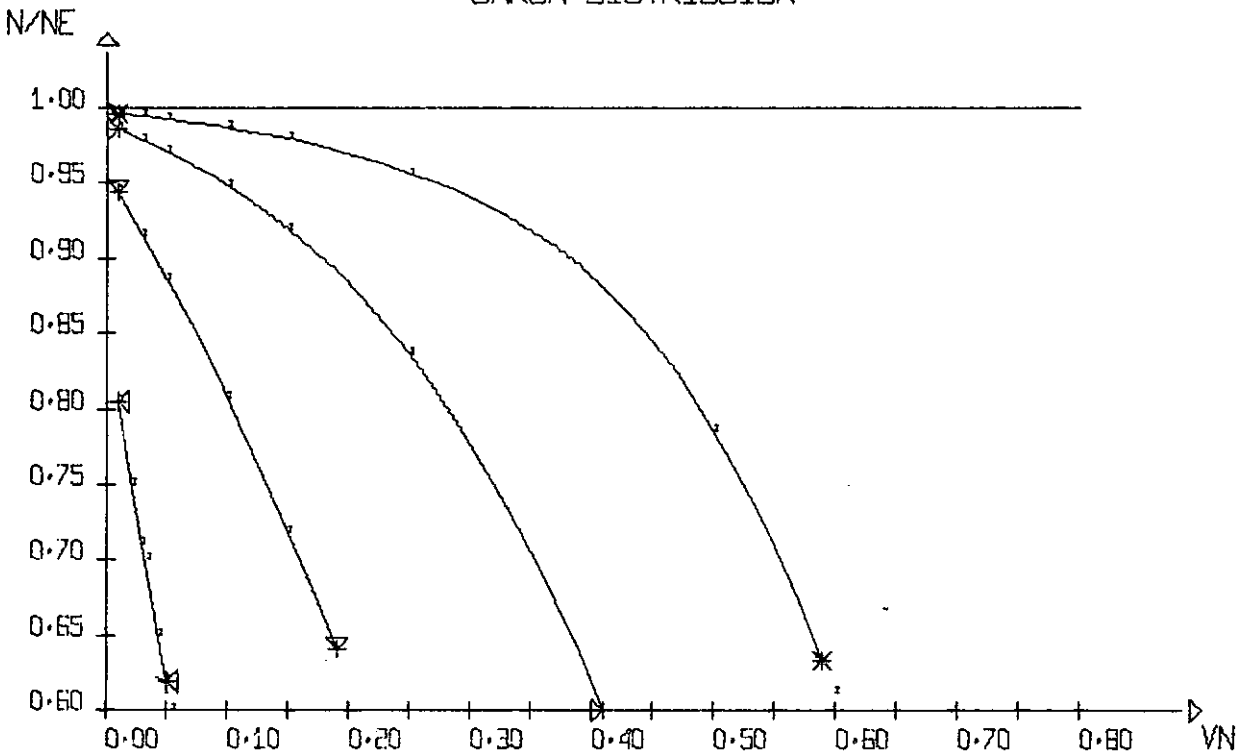
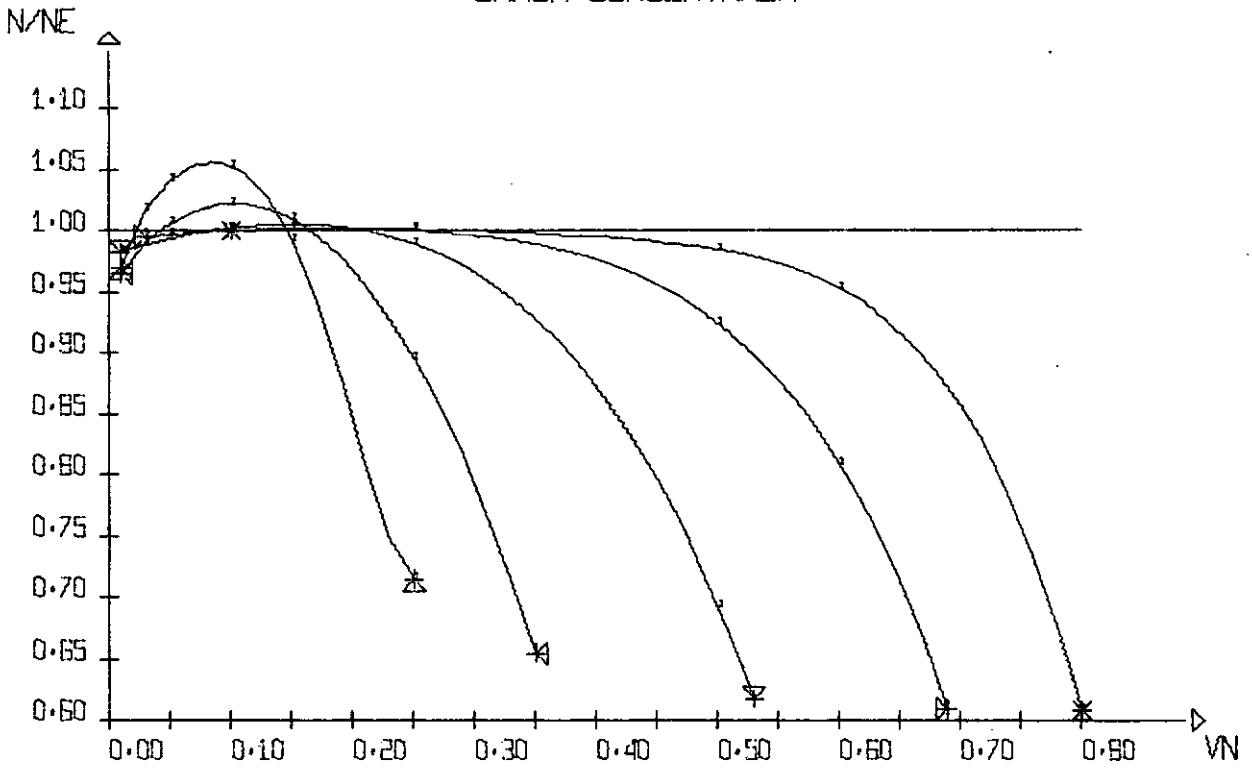


Figura 4.2.28

125

$V = 0.1$
MISULA PARABOLICA
CARGA CONCENTRADA



$V = 0.2$
MISULA PARABOLICA
CARGA CONCENTRADA

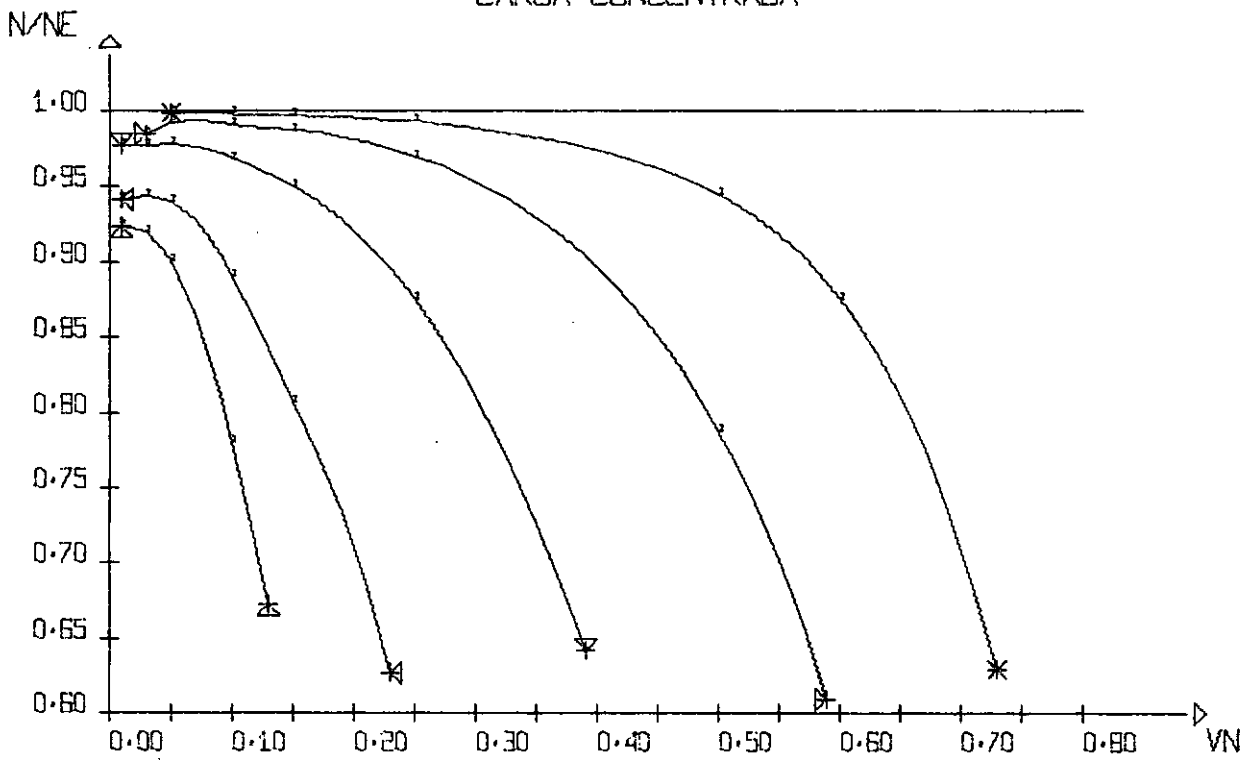
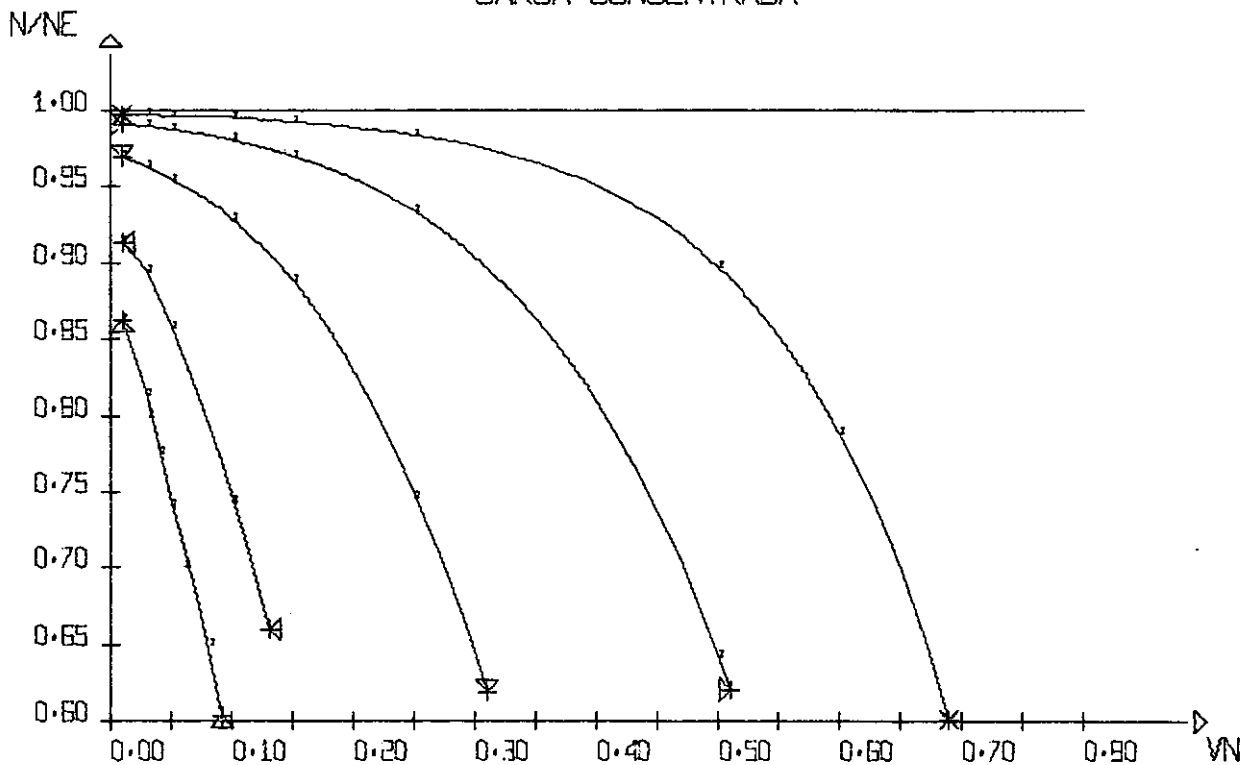


Figura 4.2.29

$V = 0.3$
 MISULA PARABOLICA
 CARGA CONCENTRADA



$V = 0.4$
 MISULA PARABOLICA
 CARGA CONCENTRADA

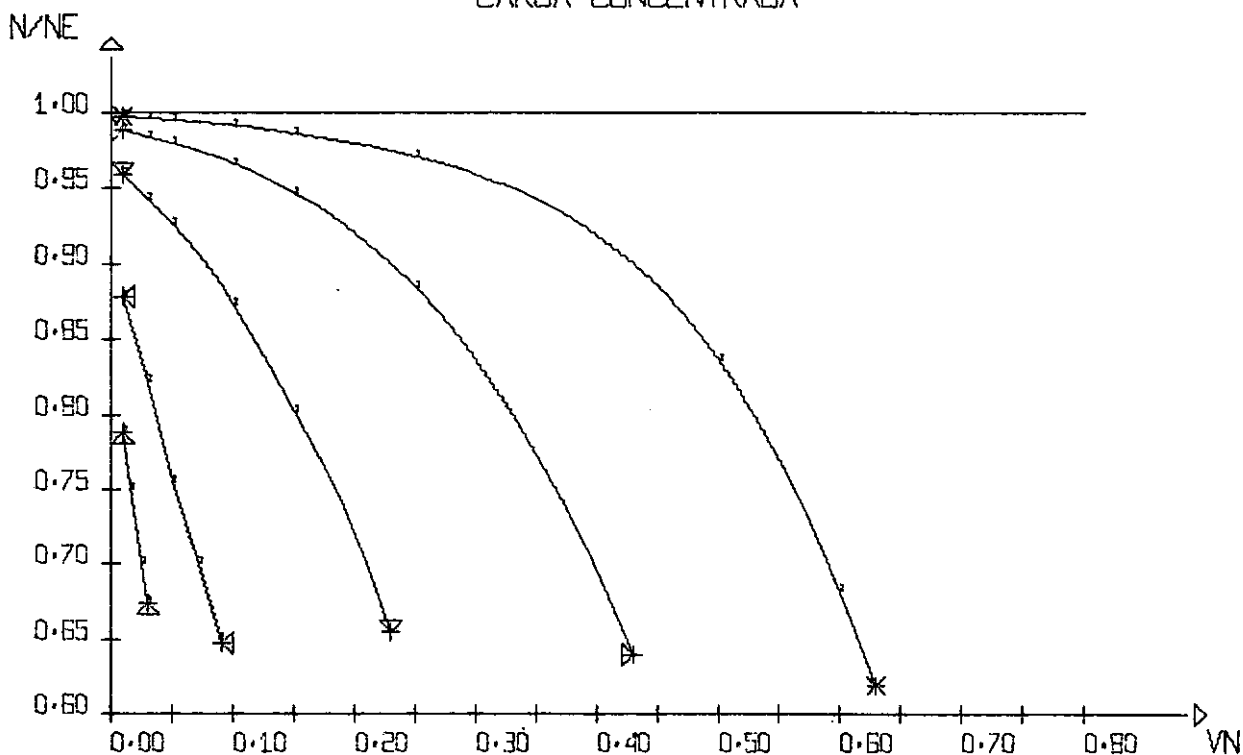
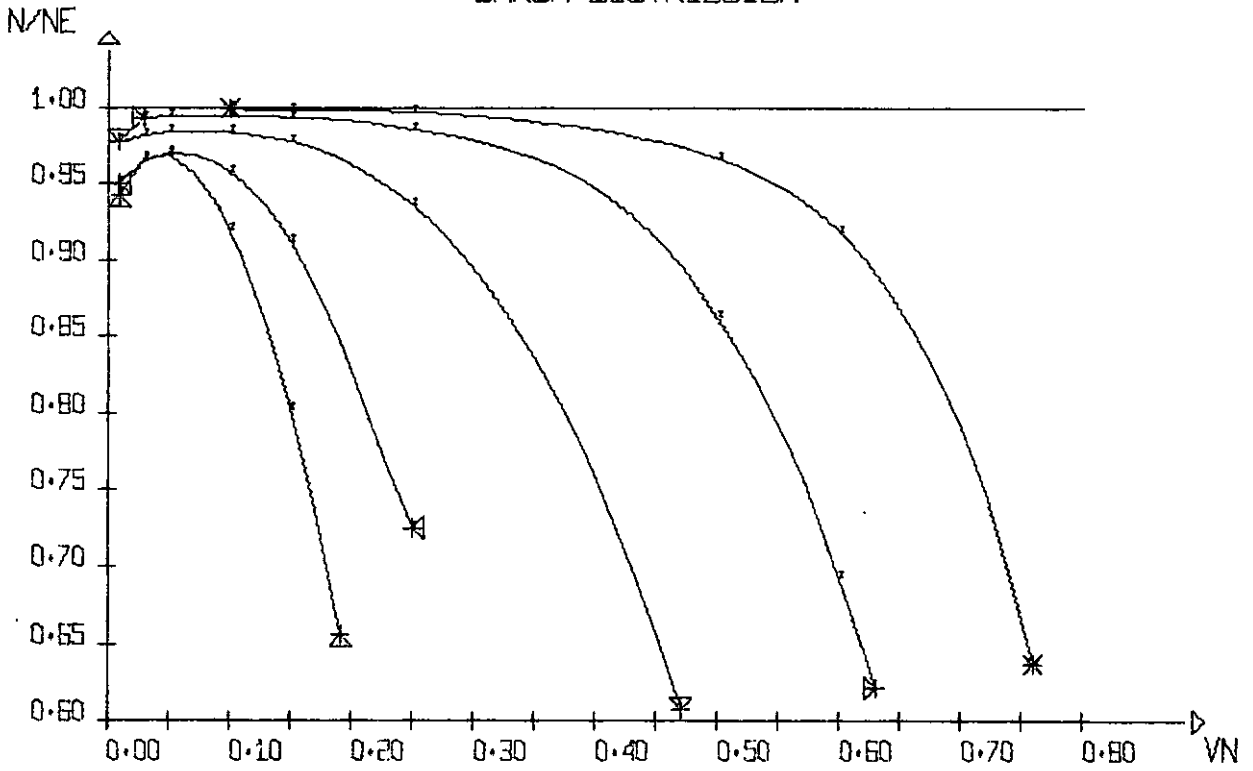


Figura 4.2.30

V = 0.1
 MISULA PARABOLICA
 CARGA DISTRIBUIDA



V = 0.2
 MISULA PARABOLICA
 CARGA DISTRIBUIDA

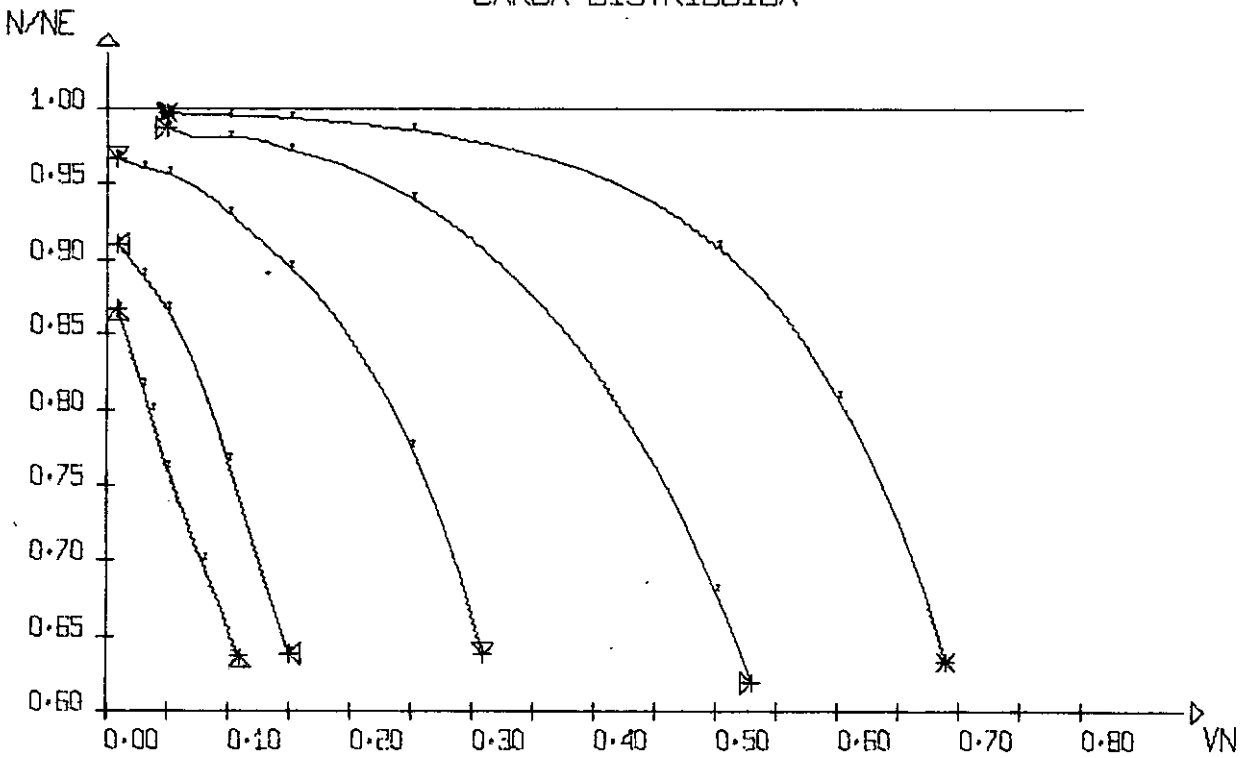
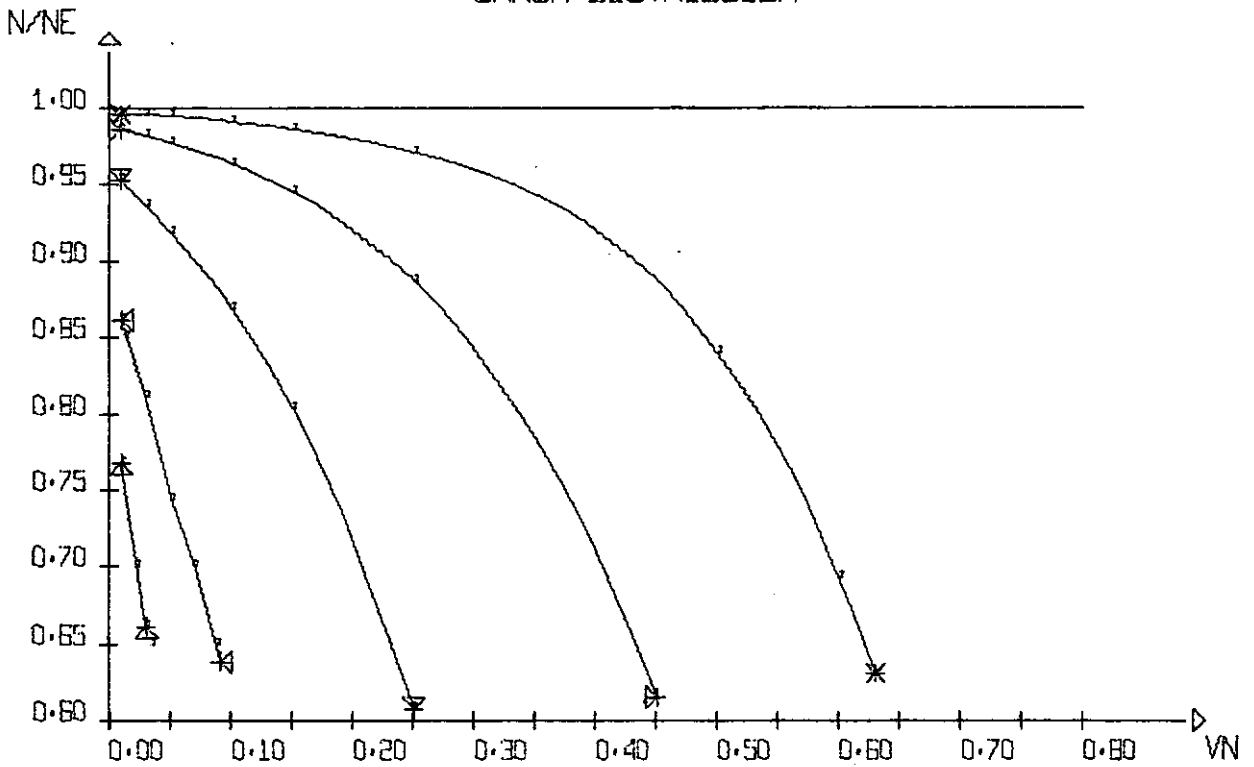


Figura 4.2.31

$V = 0.3$
 MISULA PARABOLICA
 CARGA DISTRIBUIDA



$V = 0.4$
 MISULA PARABOLICA
 CARGA DISTRIBUIDA

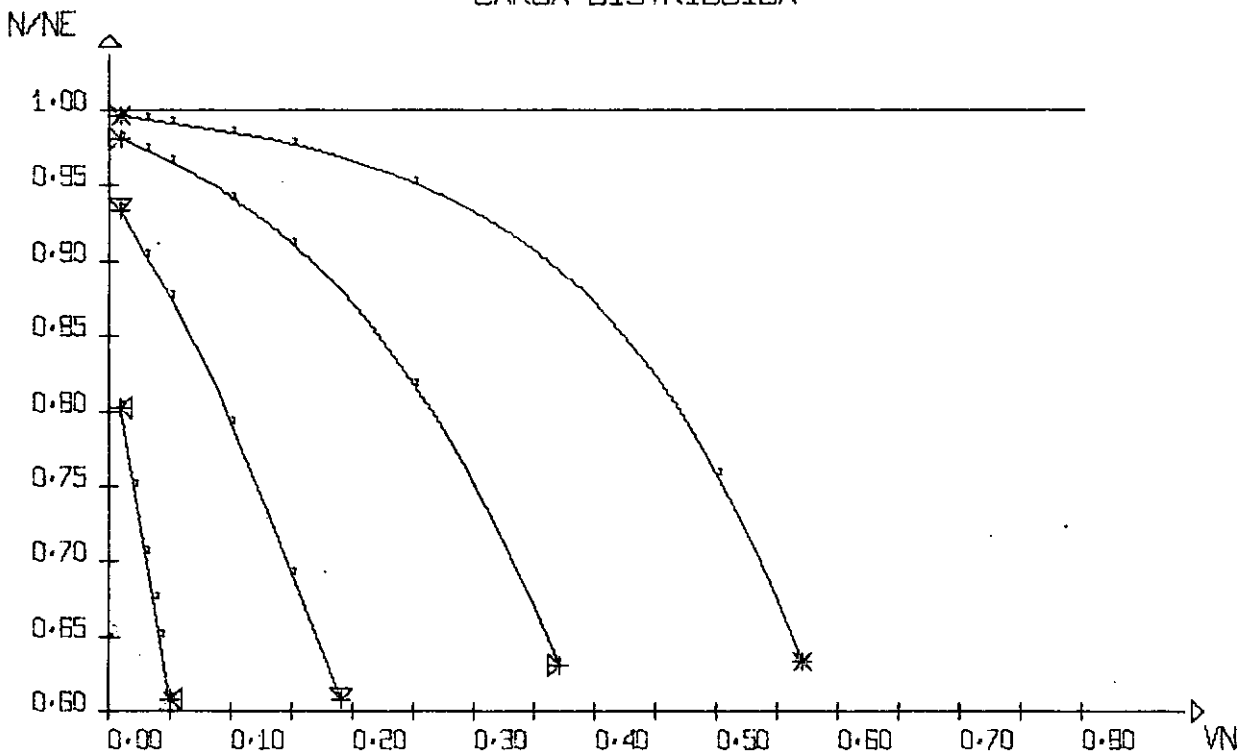


Figura 4.2.32

4.3 - Influência do Esforço Normal Decorrente de Carregamentos Verticais

Uma indicação de quando o esforço normal pode ser abandonado é dada por âbacos semelhantes aos anteriores. O eixo horizontal é o das relações entre inércia VN . O eixo vertical é o das relações entre as tensões TSN e TSM , indicadas nas figs. 4.3.c e 4.3.d. Tais tensões são devidas as resultantes de esforço normal e momento fletor, dos diagramas de tensões normais nas seções do engaste e do meio do vão, obtidas da análise do elemento pelo método dos elementos finitos (figs. 4.3.a e 4.3.b); admitindo-se que tais resultantes se distribuam de acordo com a hipótese das seções planas.

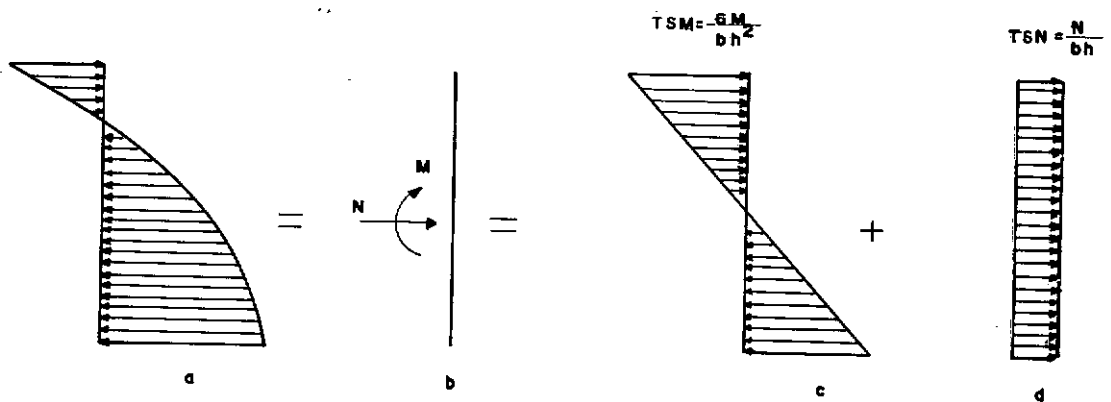


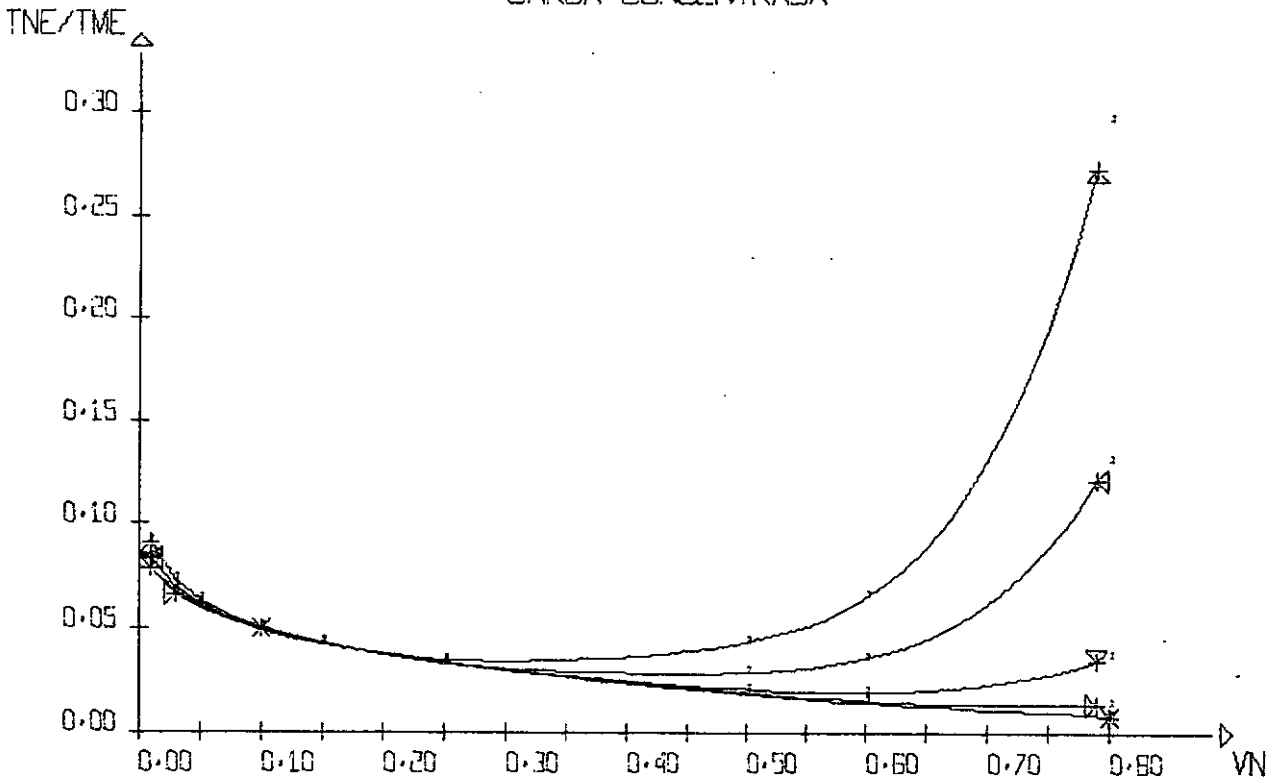
Fig. 4.3 - Substituição do diagrama de tensões normais decorrente da análise pelo método dos elementos finitos por um que tem a mesma resultante e obedece a hipótese das seções planas

Os âbacos obtidos estão indicados nas figs. 4.4.1 a 4.4.16, e correspondem as mesmas situações indicadas no item 4.4.2. A nomenclatura que indica o tipo de relação correspondente ao eixo vertical é a seguinte:

TNE/TME - refere-se a relação entre TSN e TSM para a seção do engaste.

TNM/TMM - refere-se a relação entre TSN e TSM para a seção do meio do vão.

V=0.1
MISILA RETA
CARGA CONCENTRADA



V=0.2
MISILA RETA
CARGA CONCENTRADA

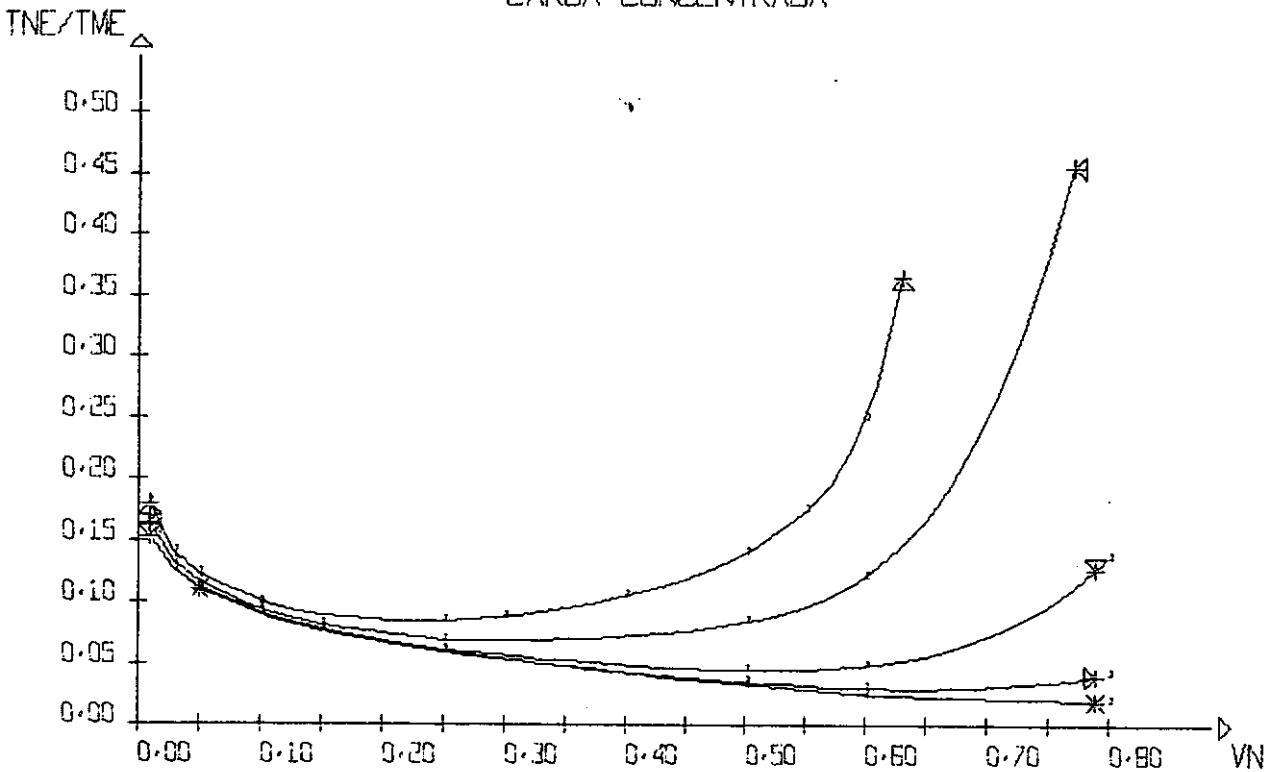
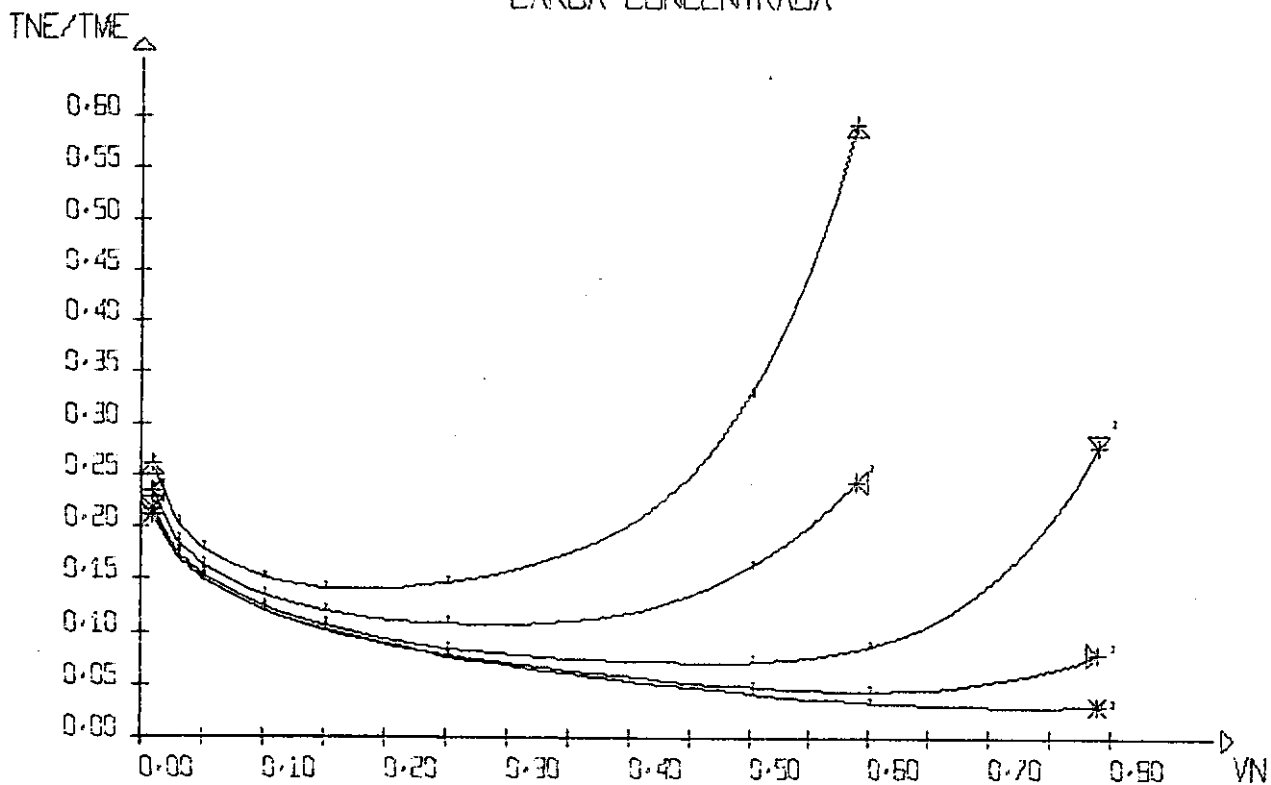


Figura 4.4.1

V=0.3
 MISULA RETA
 CARGA CONCENTRADA



V=0.4
 MISULA RETA
 CARGA CONCENTRADA

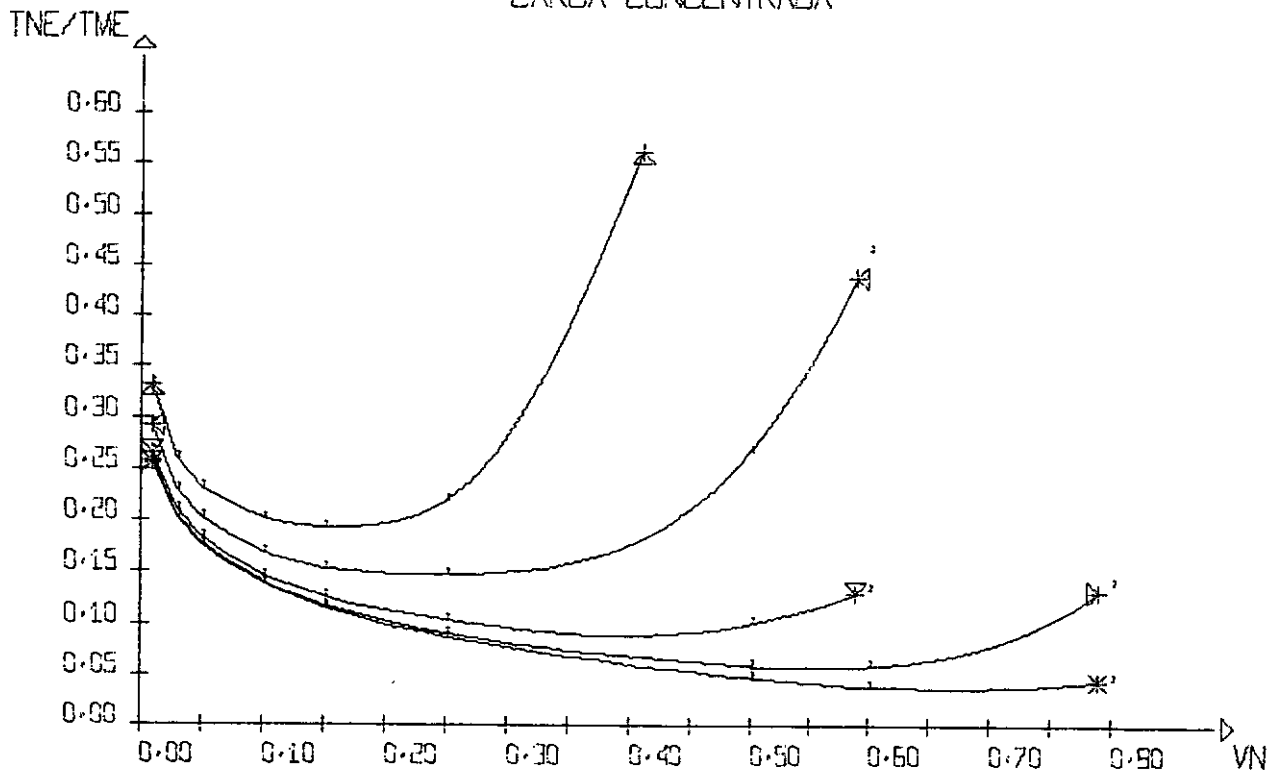
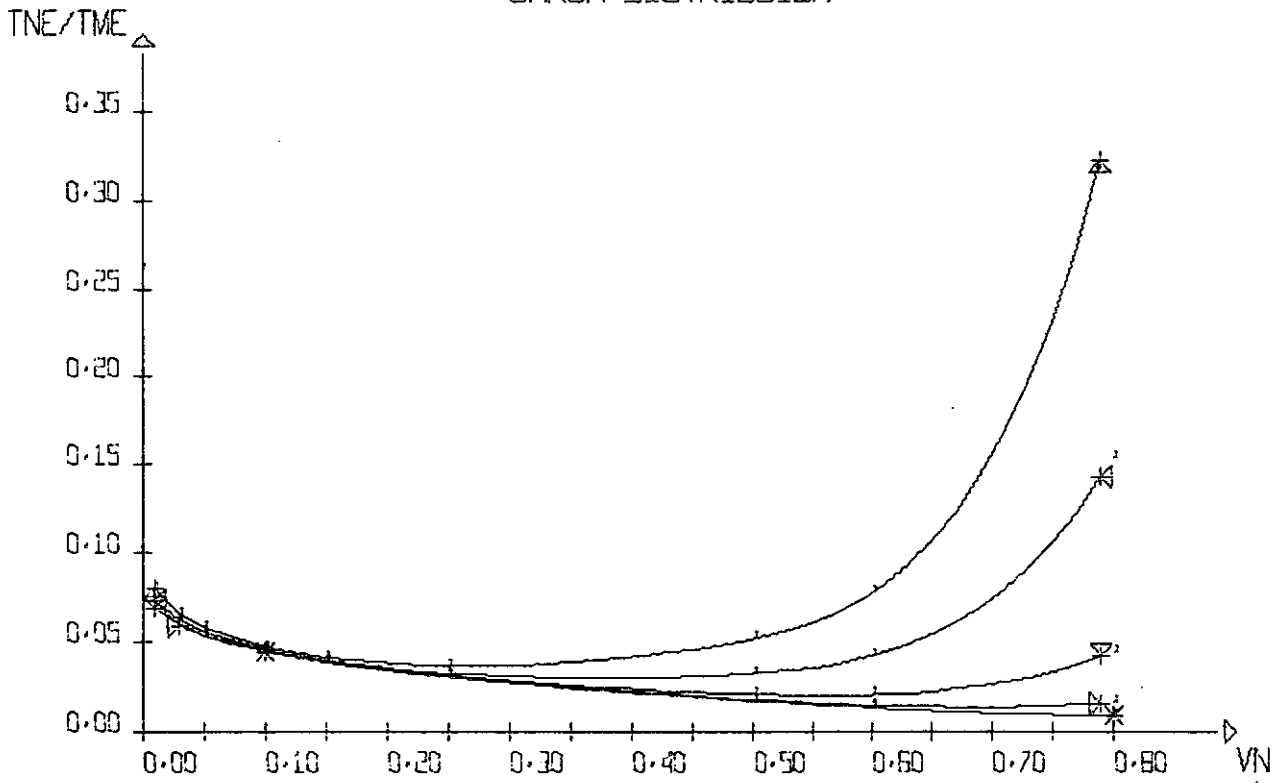


Figura 4.4.2

V=0.1
MISULA RETA
CARGA DISTRIBUIDA



V=0.2
MISULA RETA
CARGA DISTRIBUIDA

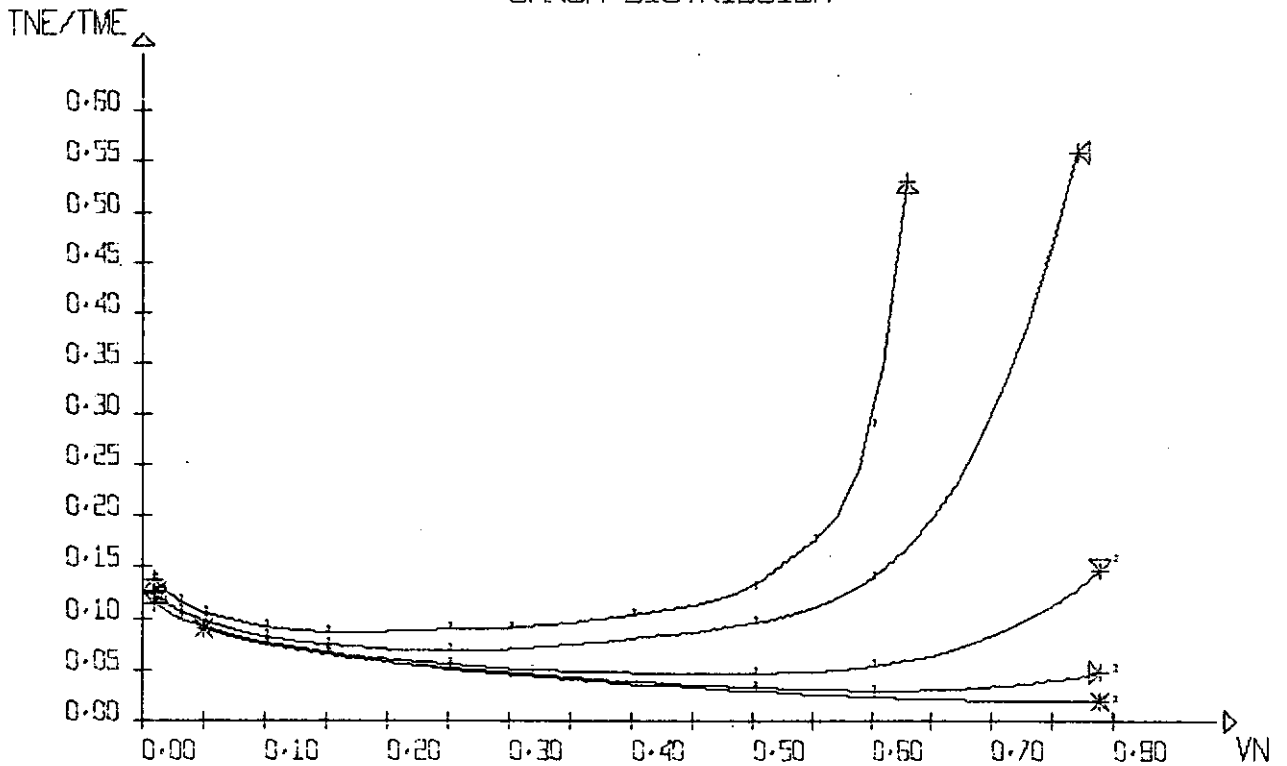
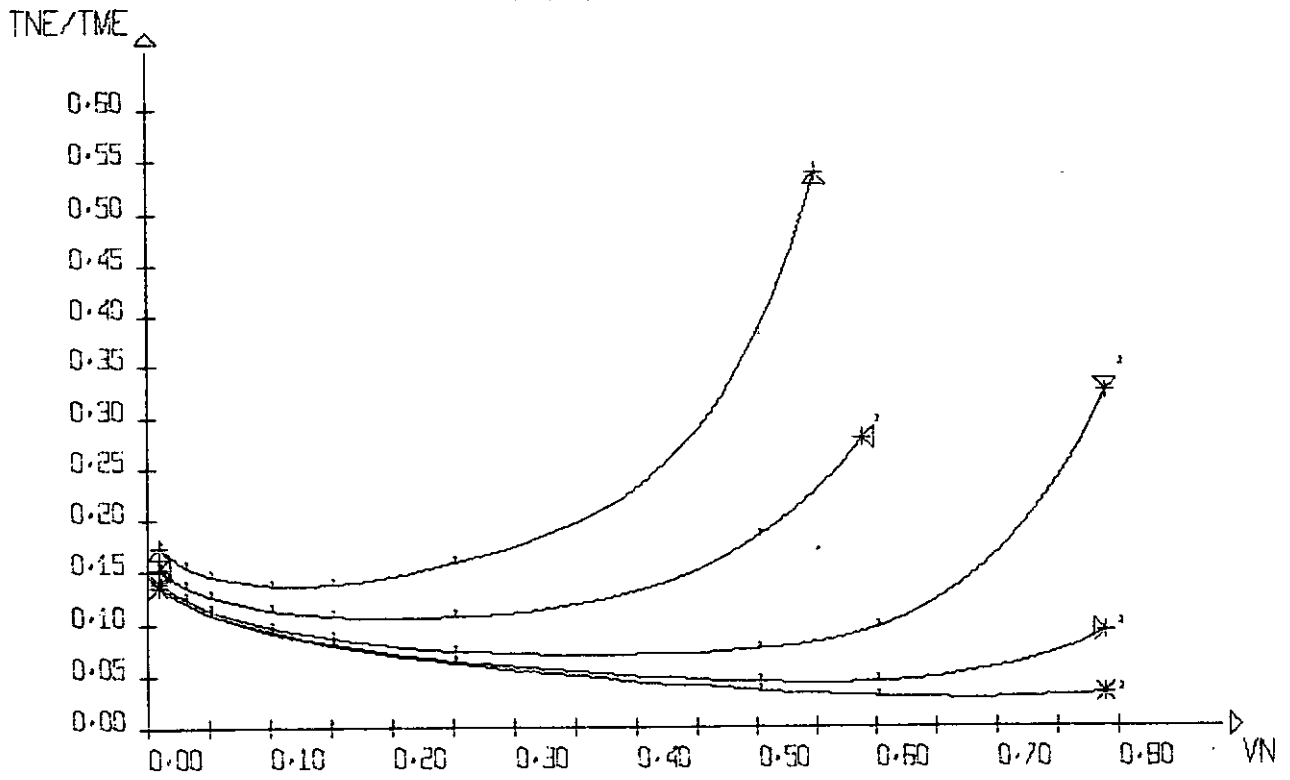


Figura 4.4.3

V=0.3
 MISULA RETA
 CARGA DISTRIBUIDA



V=0.4
 MISULA RETA
 CARGA DISTRIBUIDA

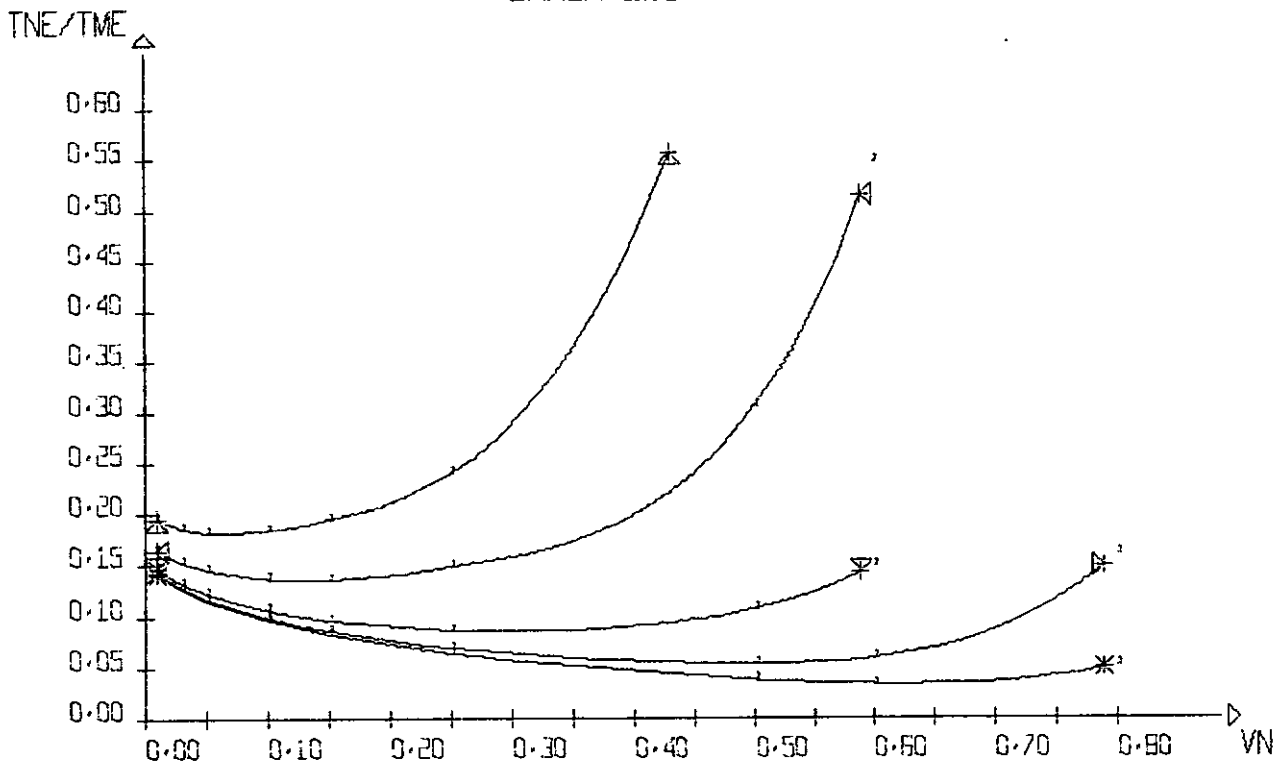
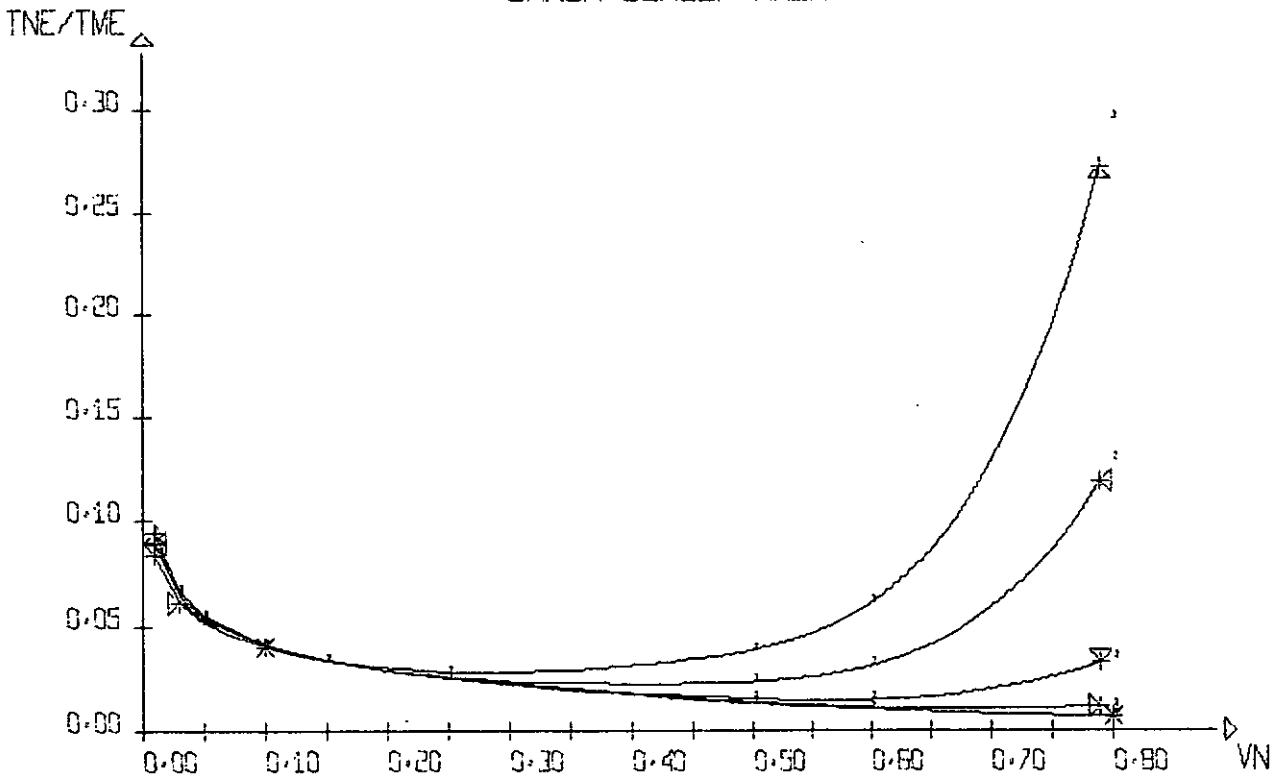


Figura 4.4.4

V=0.1
 MISILA PARABOLICA
 CARGA CONCENTRADA



V=0.2
 MISILA PARABOLICA
 CARGA CONCENTRADA

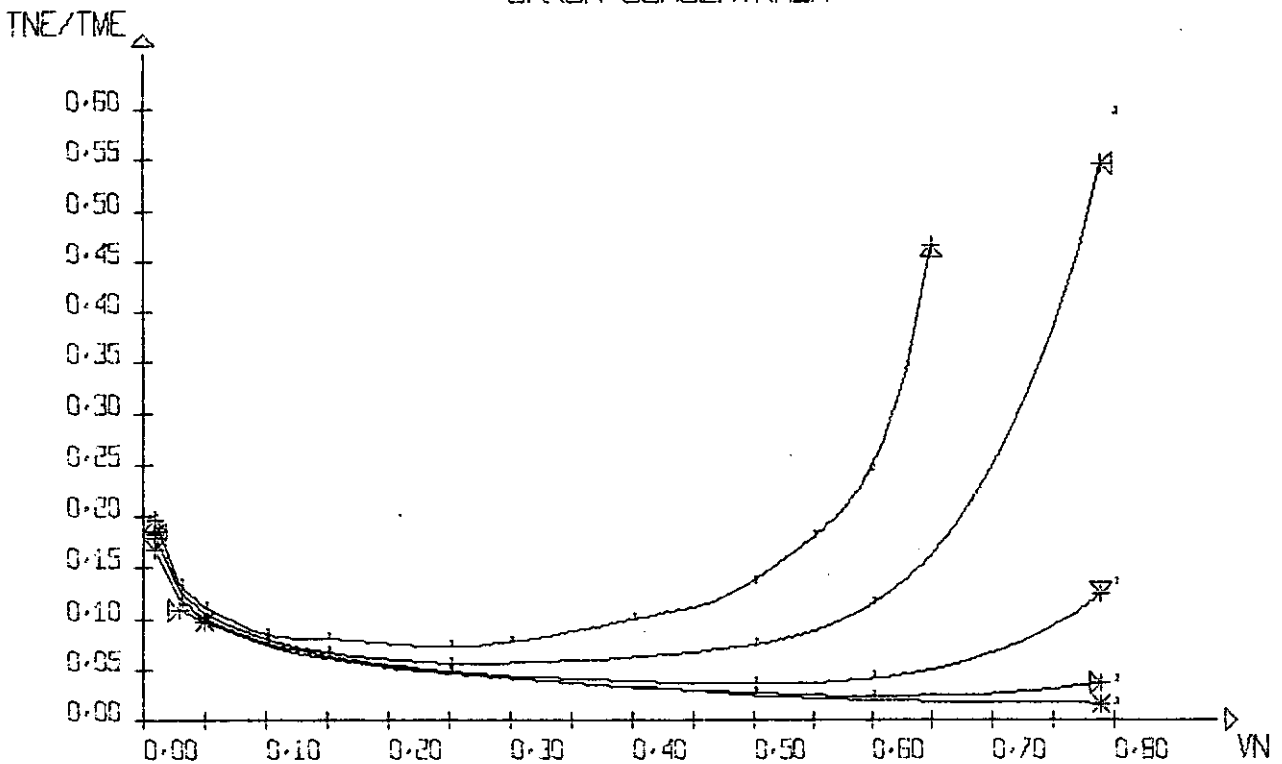
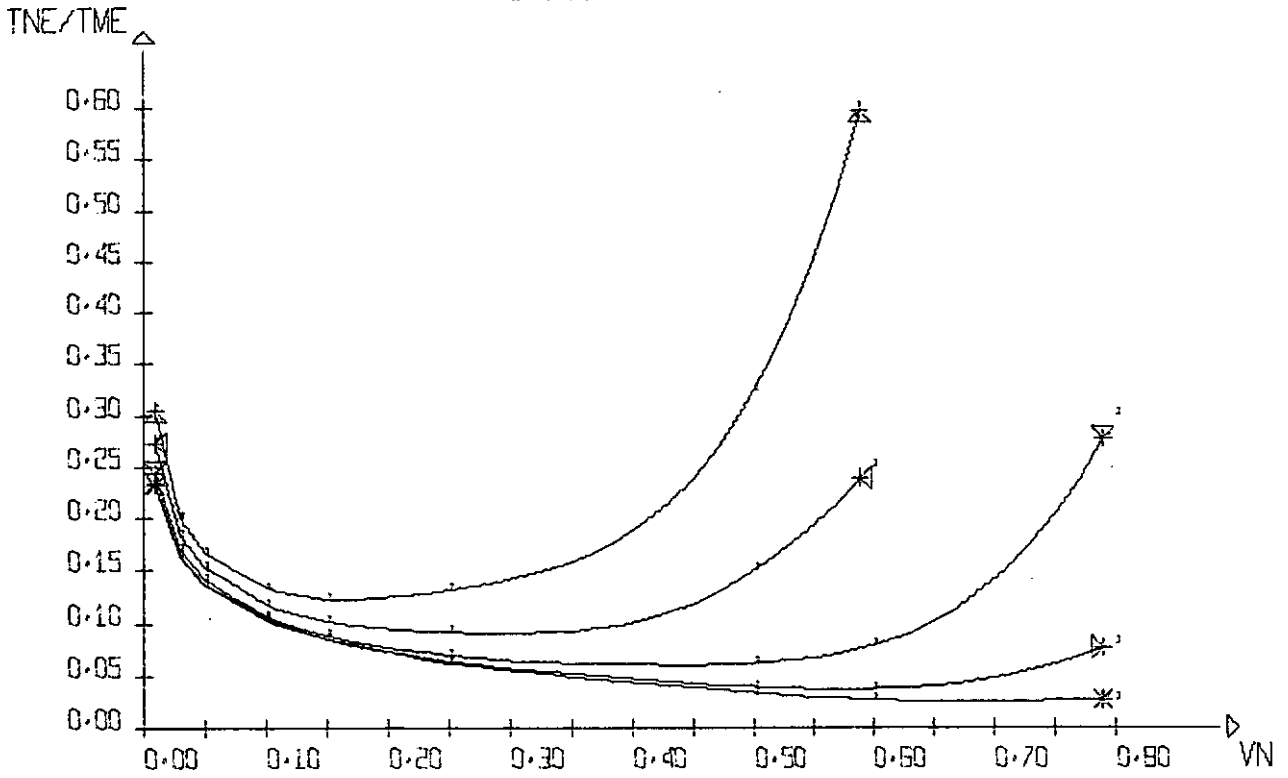


Figura 4.4.5

V=0.3
 MISULA PARABOLICA
 CARGA CONCENTRADA



V=0.4
 MISULA PARABOLICA
 CARGA CONCENTRADA

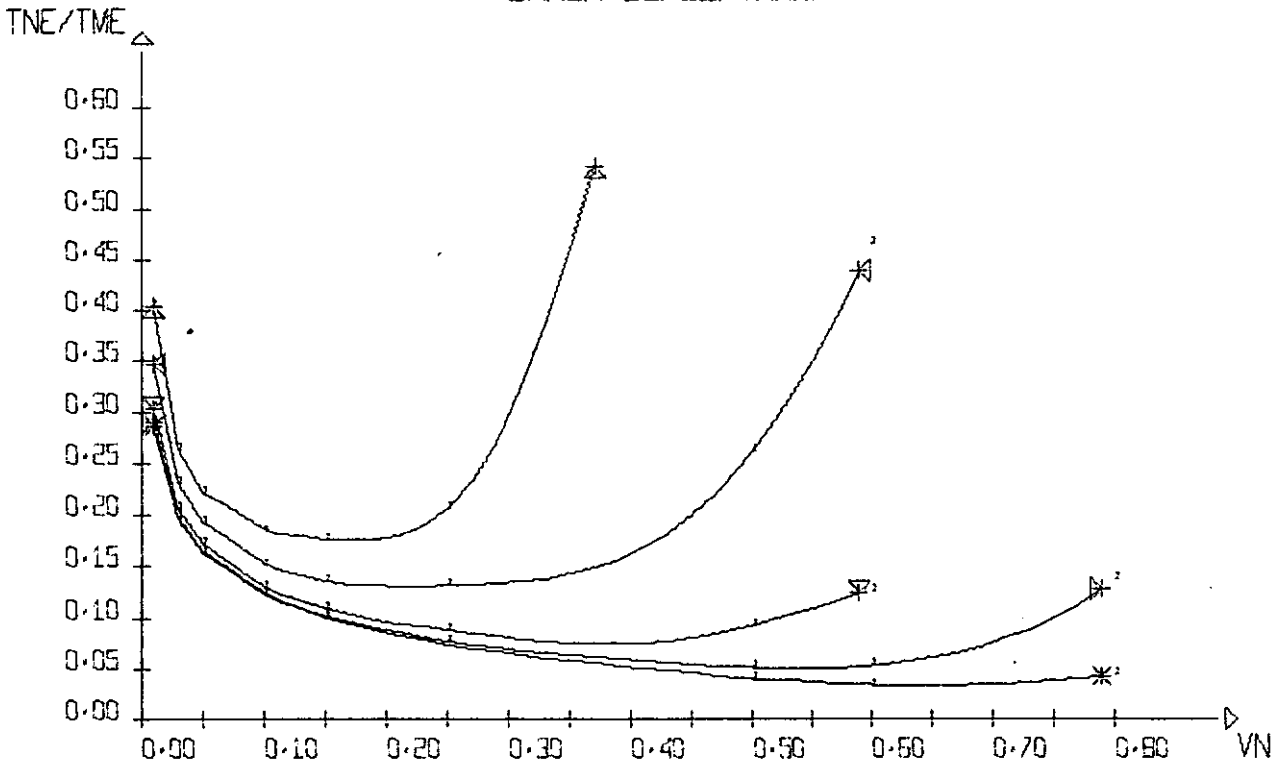
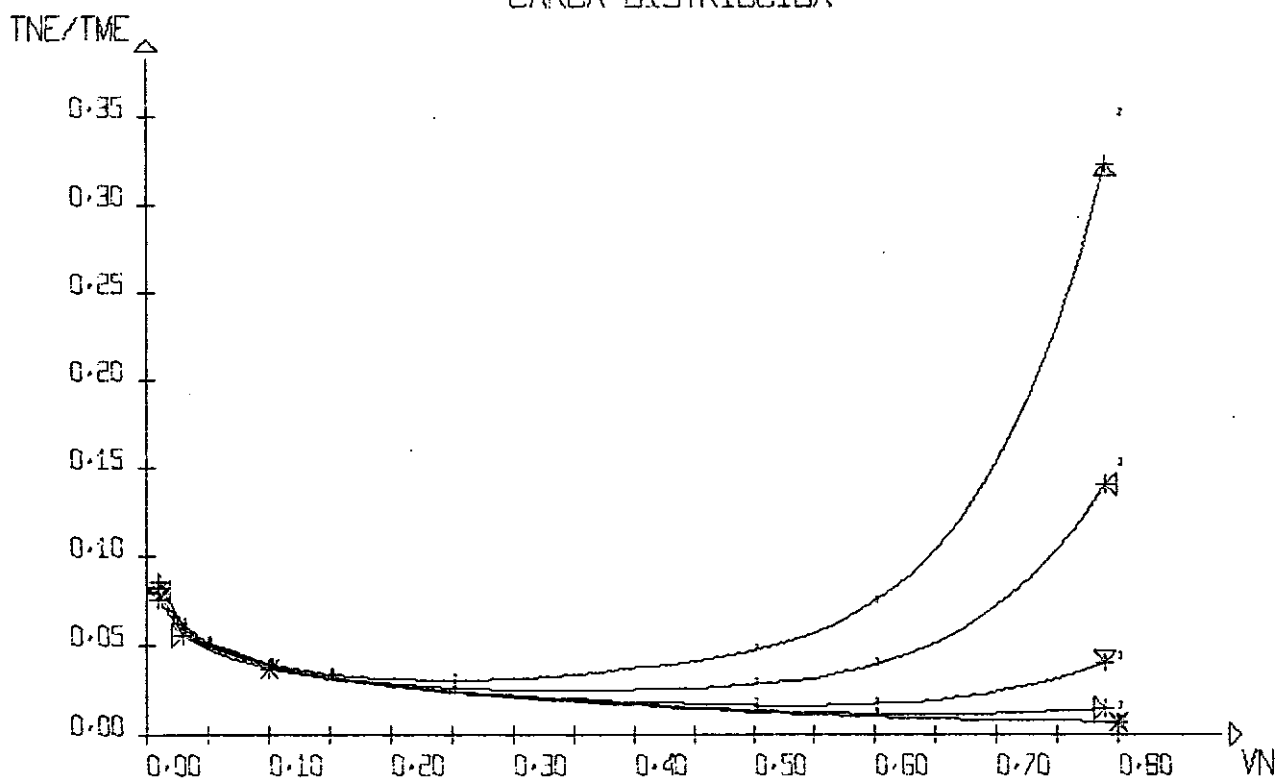


Figura 4.4.6

V=0.1
 MISULA PARABOLICA
 CARGA DISTRIBUIDA



V=0.2
 MISULA PARABOLICA
 CARGA DISTRIBUIDA

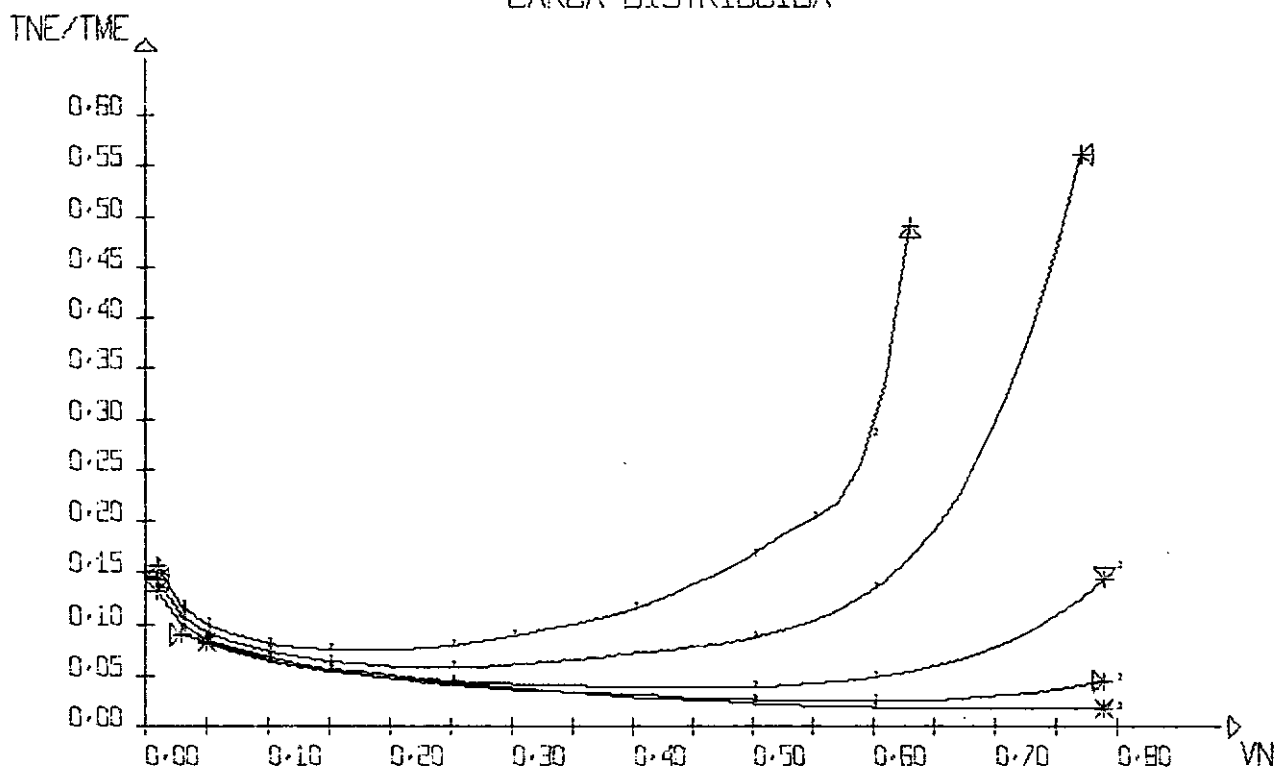
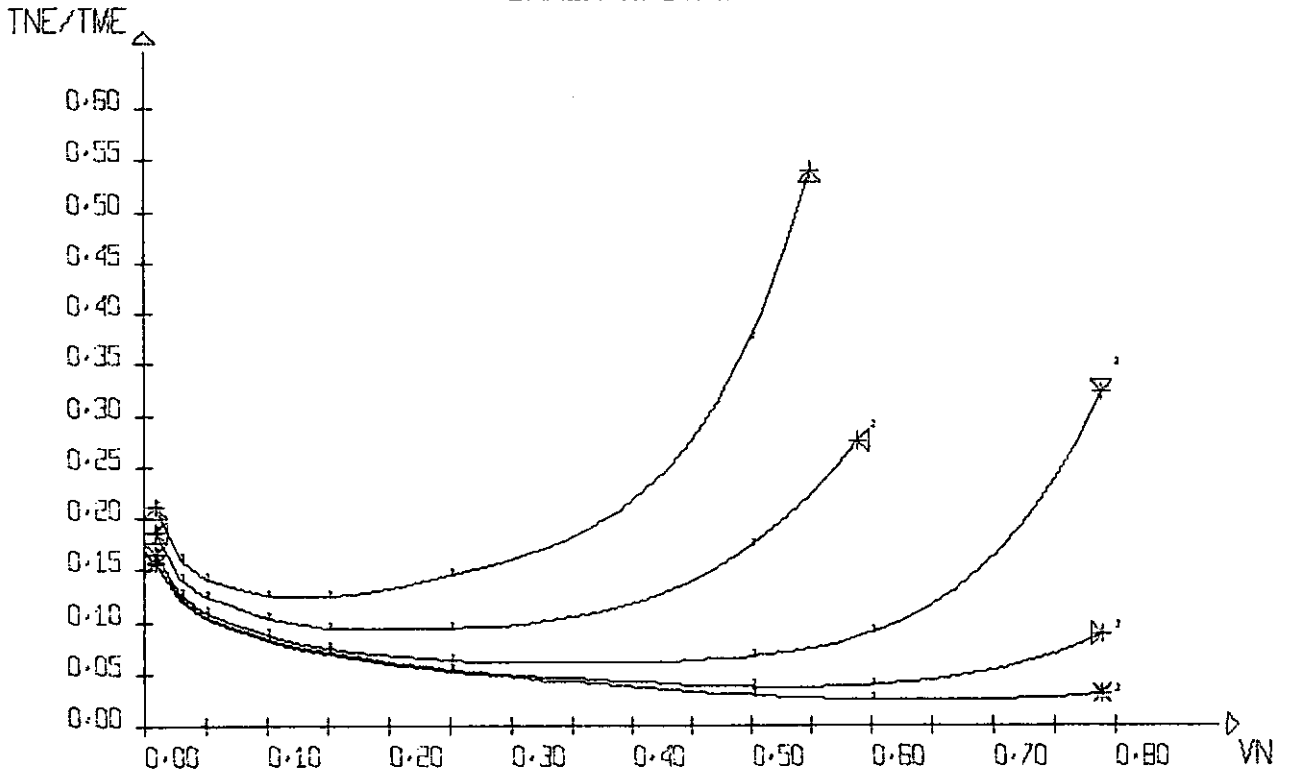


Figura 4.4.7

V=0.3
 MISULA PARABOLICA
 CARGA DISTRIBUIDA



V=0.4
 MISULA PARABOLICA
 CARGA DISTRIBUIDA

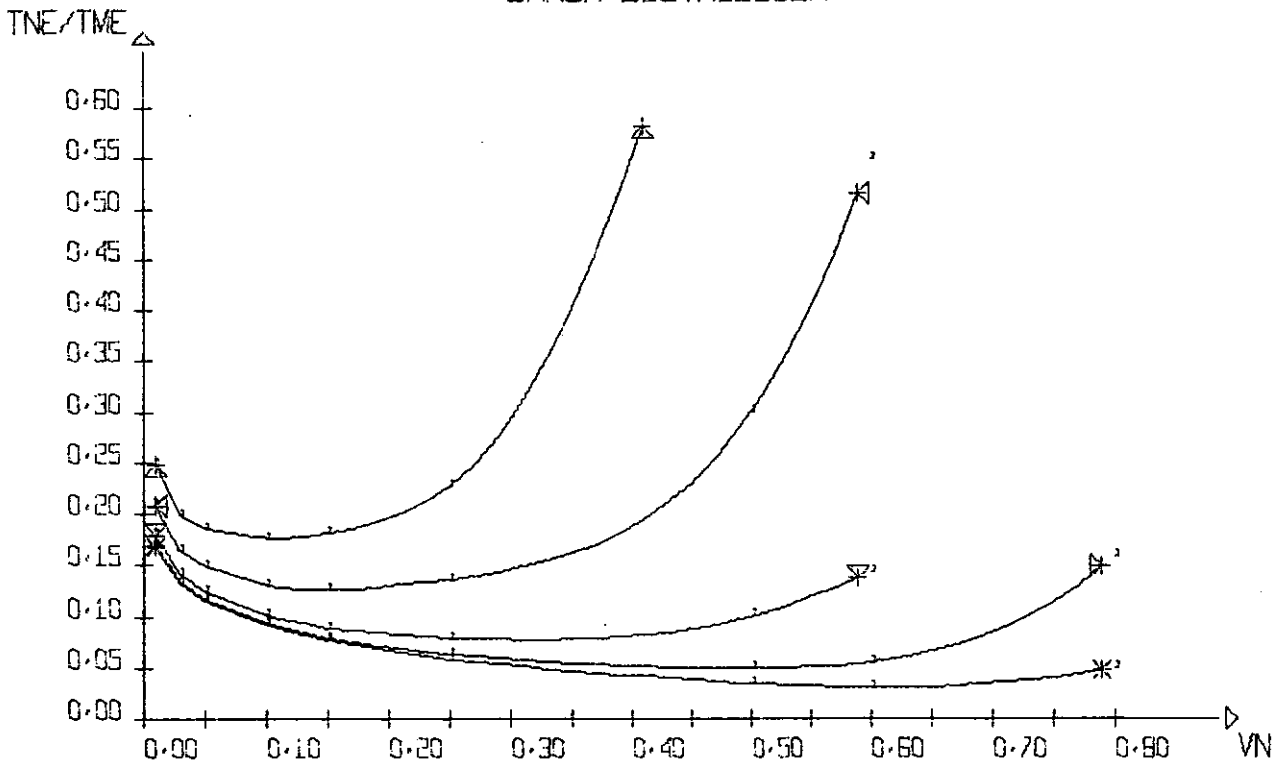
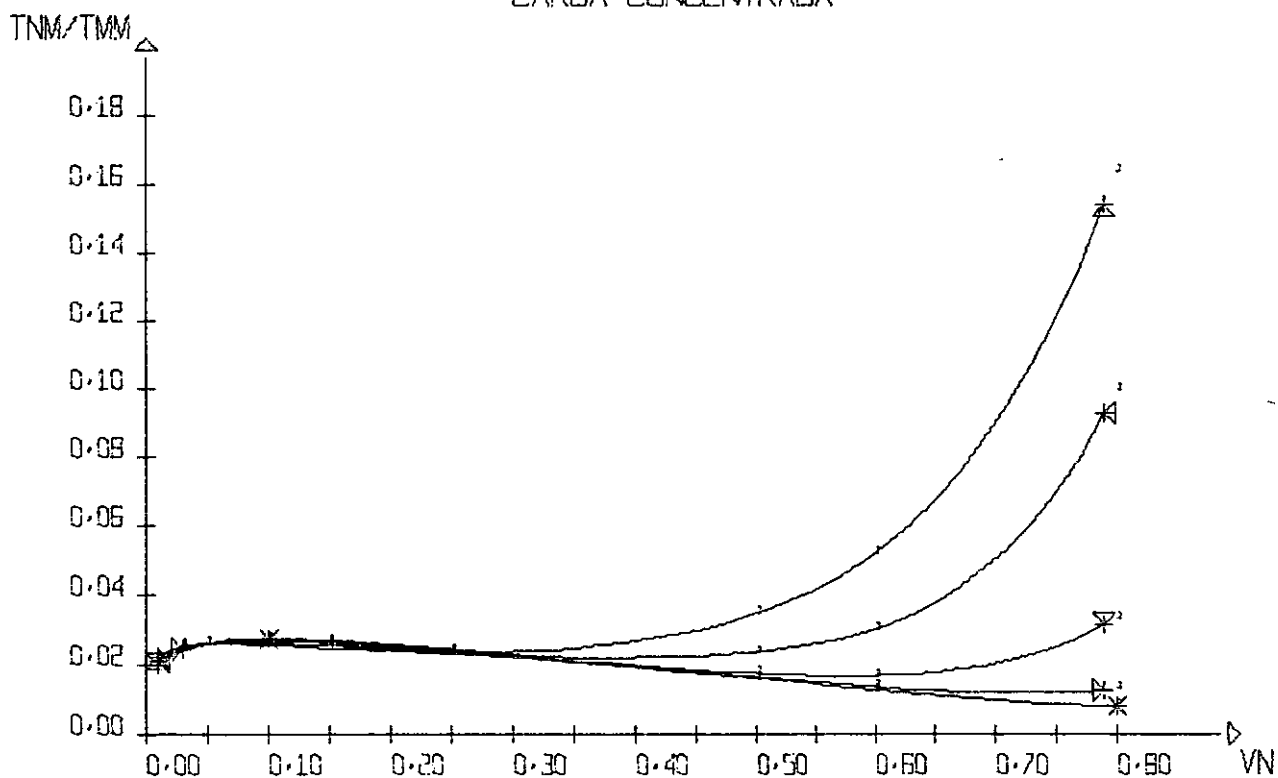


Figura 4.4.8

V=0.1
 MISULA RETA
 CARGA CONCENTRADA



V=0.2
 MISULA RETA
 CARGA CONCENTRADA

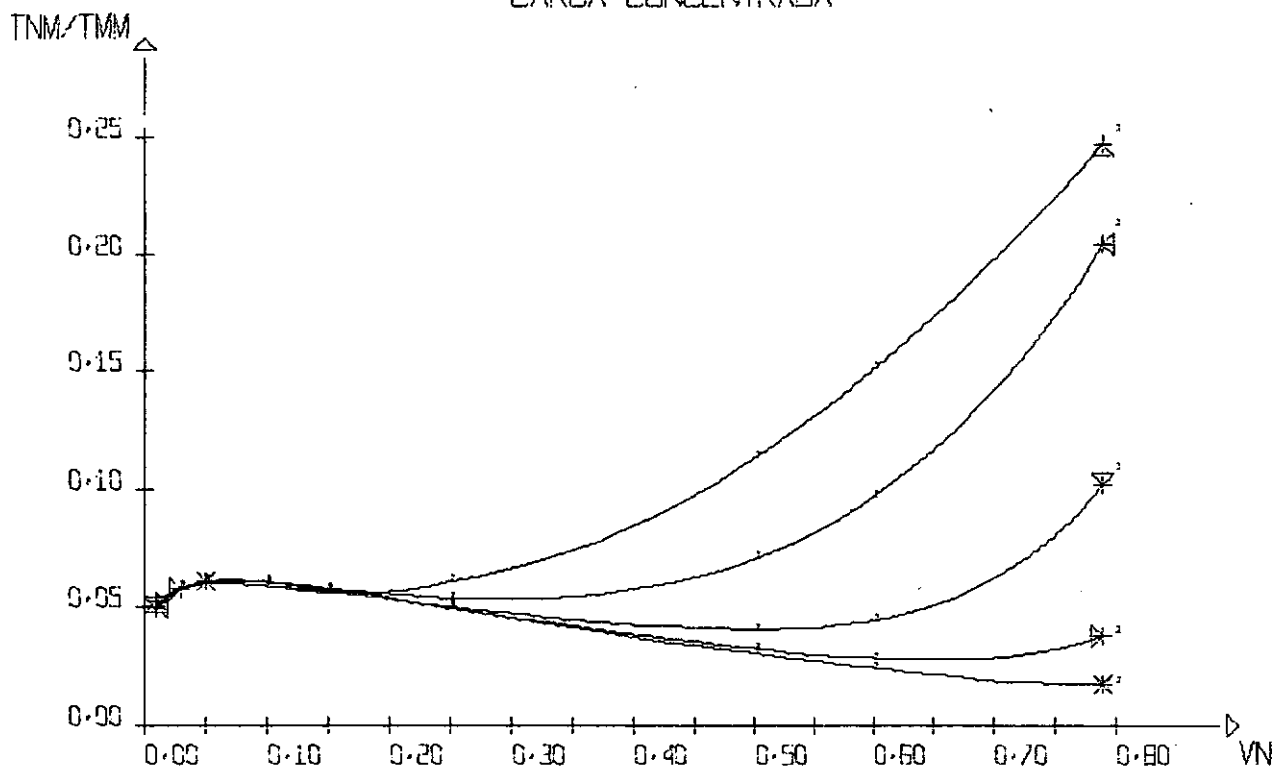
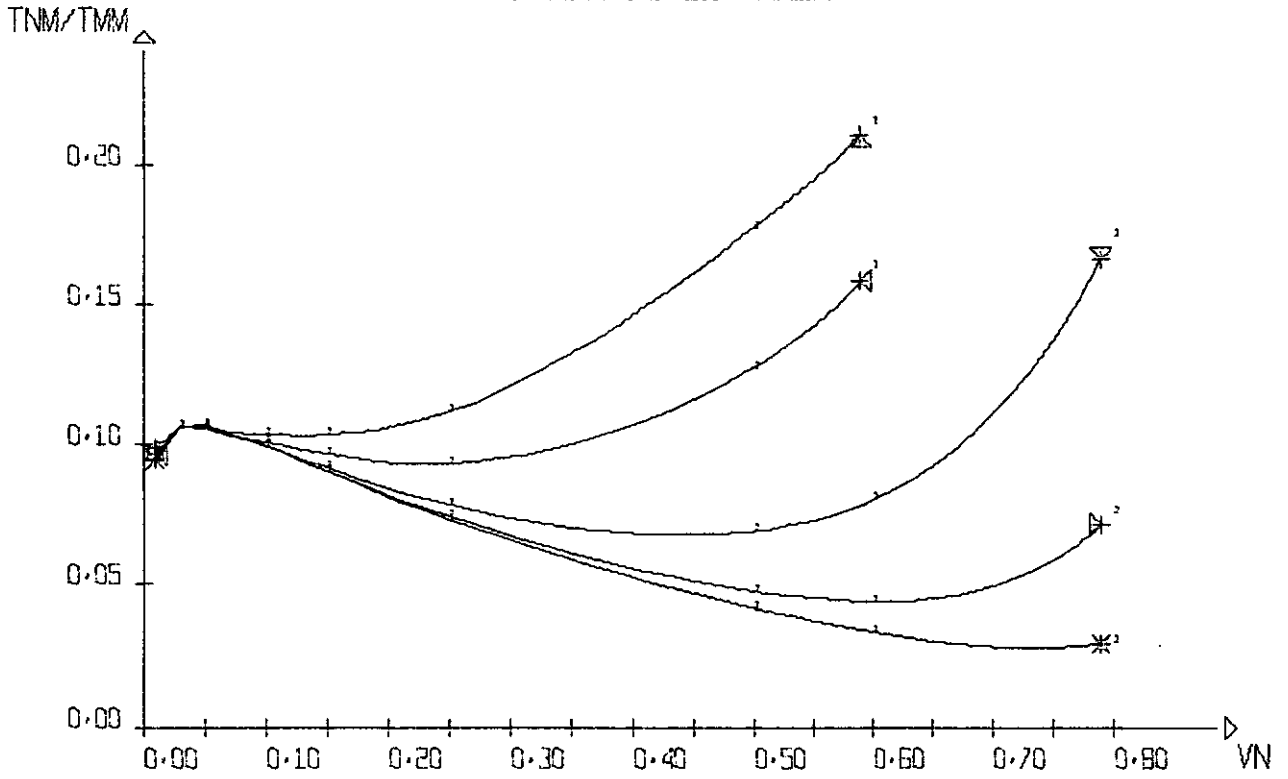


Figura 4.4.9

V=0.3
 MISULA RETA
 CARGA CONCENTRADA



V=0.4
 MISULA RETA
 CARGA CONCENTRADA

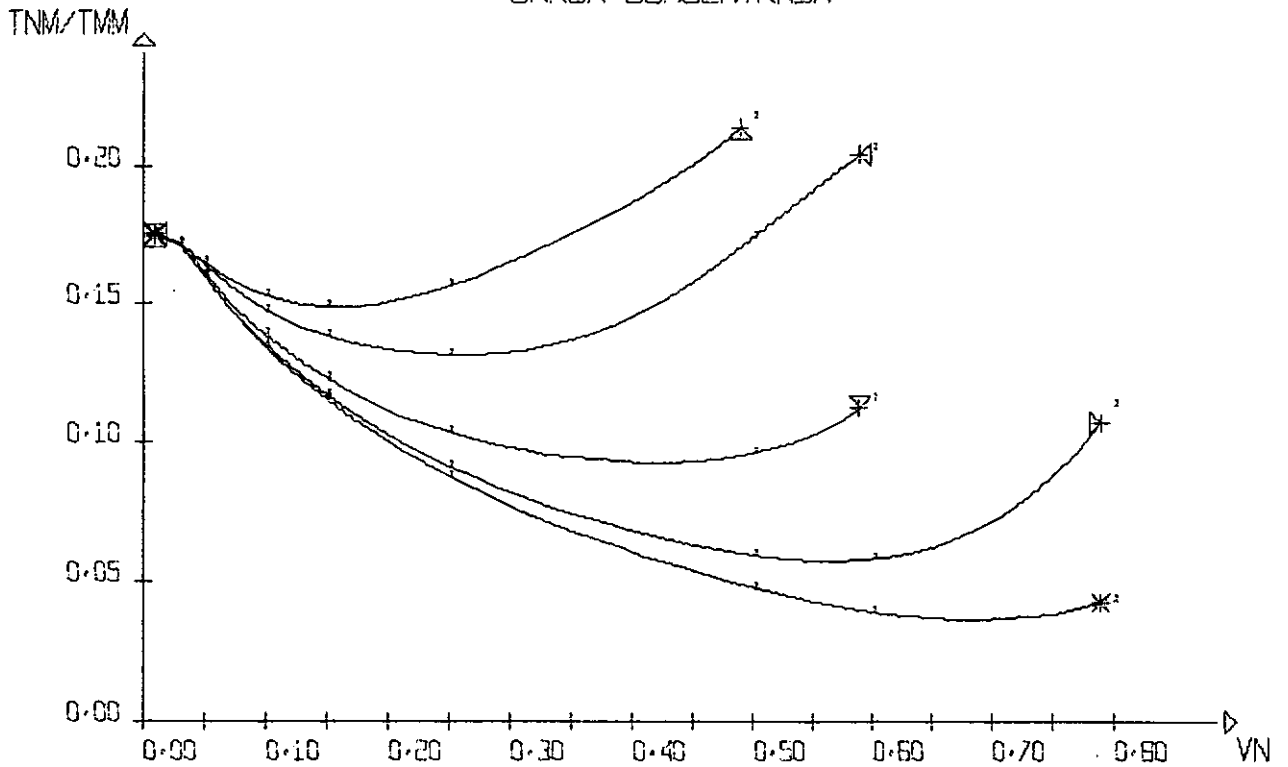
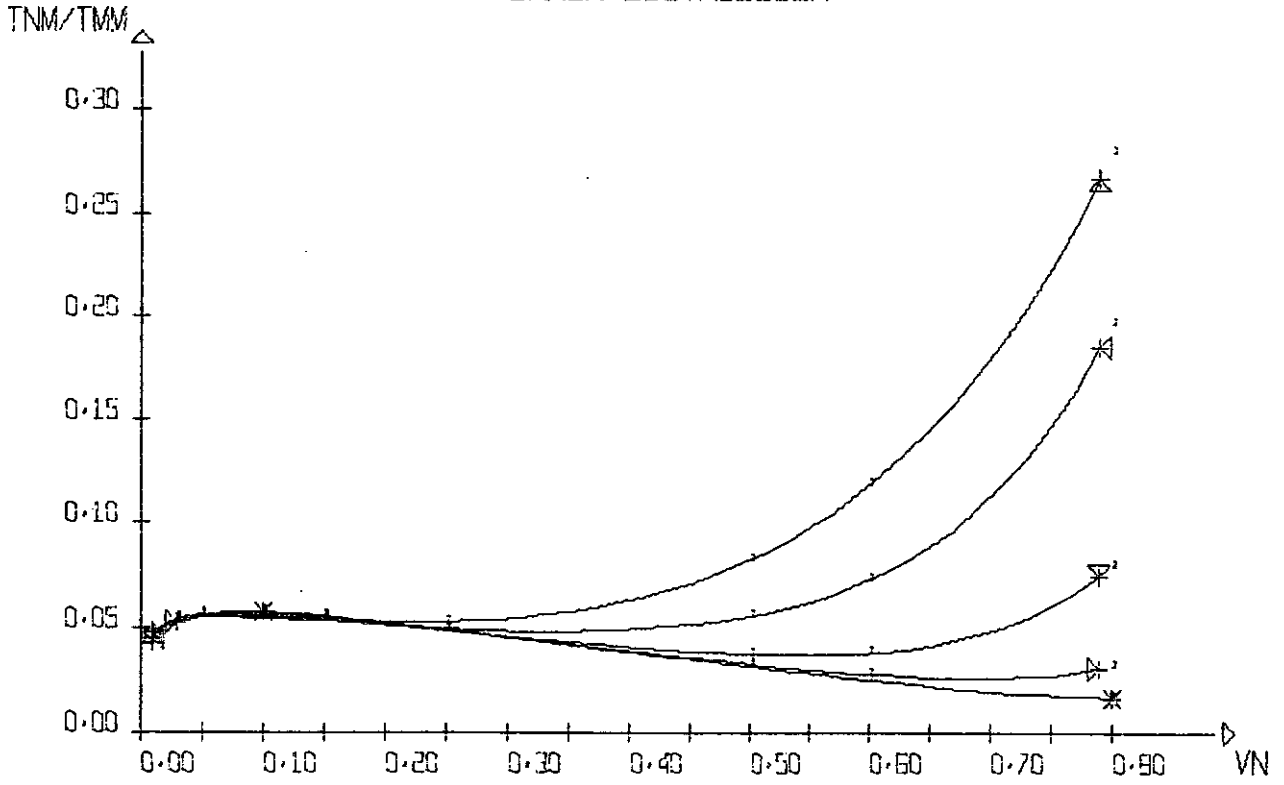


Figura 4.4.10

V=0.1
 MISILA RETA
 CARGA DISTRIBUIDA



V=0.2
 MISILA RETA
 CARGA DISTRIBUIDA

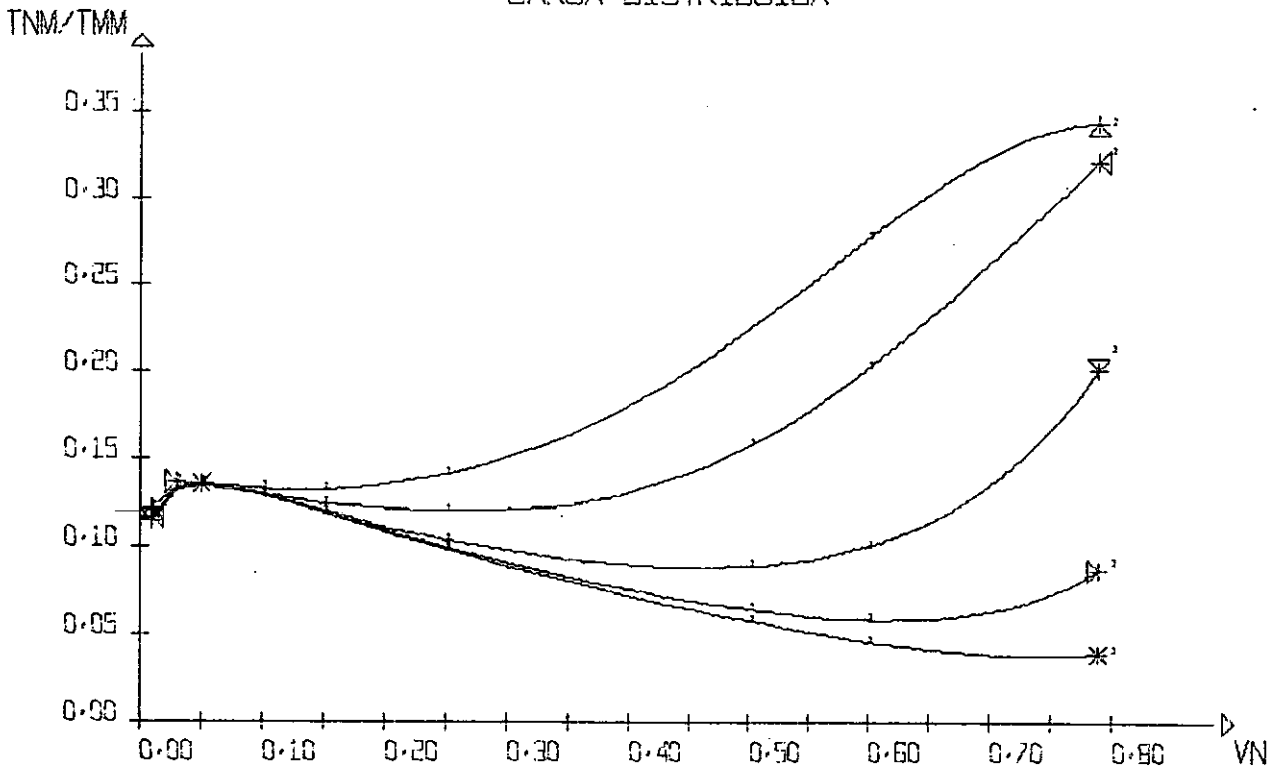
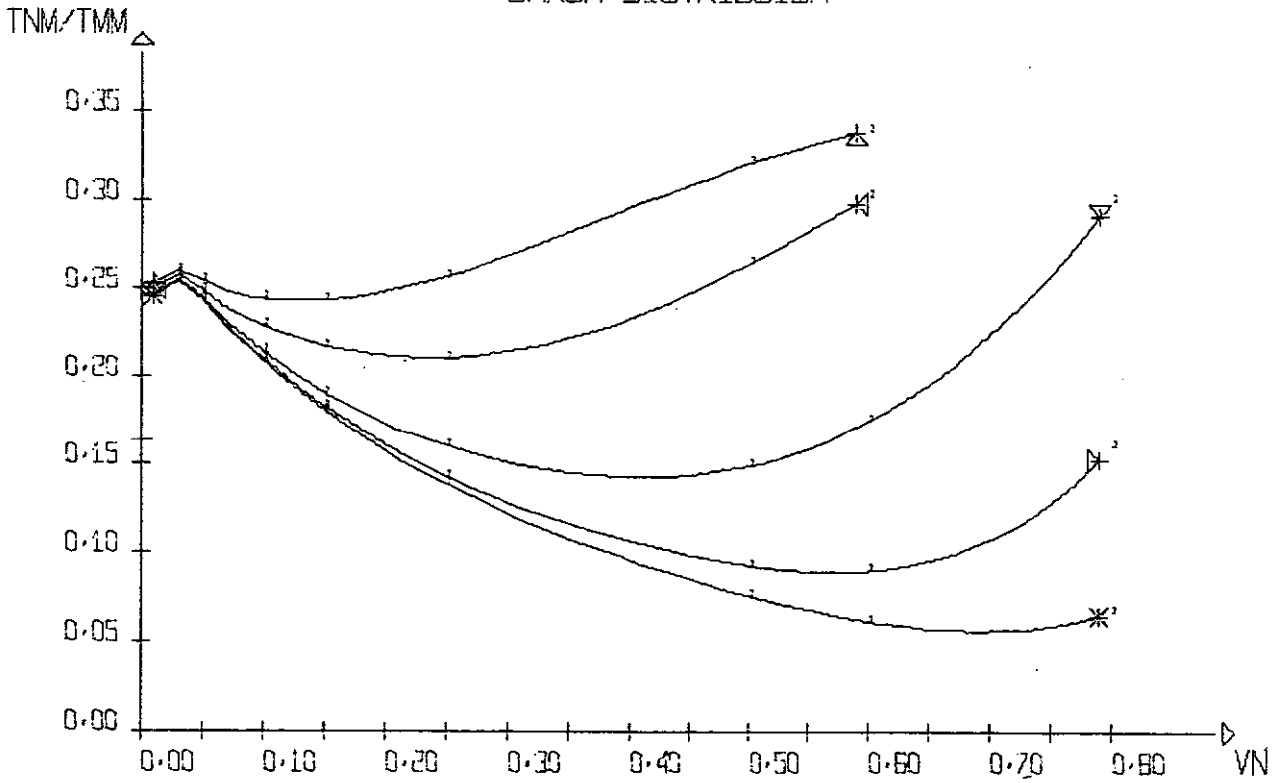


Figura 4.4.11

V=0.3
 MISULA RETA
 CARGA DISTRIBUIDA



V=0.4
 MISULA RETA
 CARGA DISTRIBUIDA

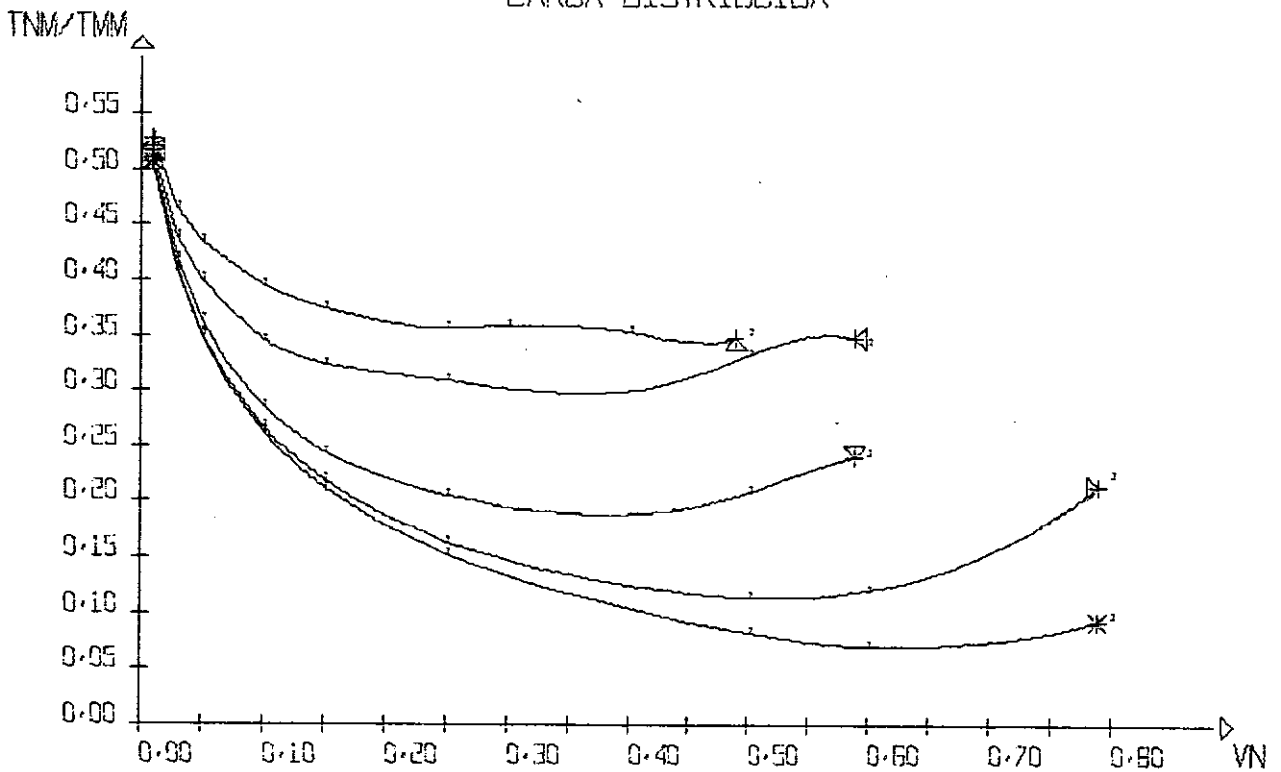
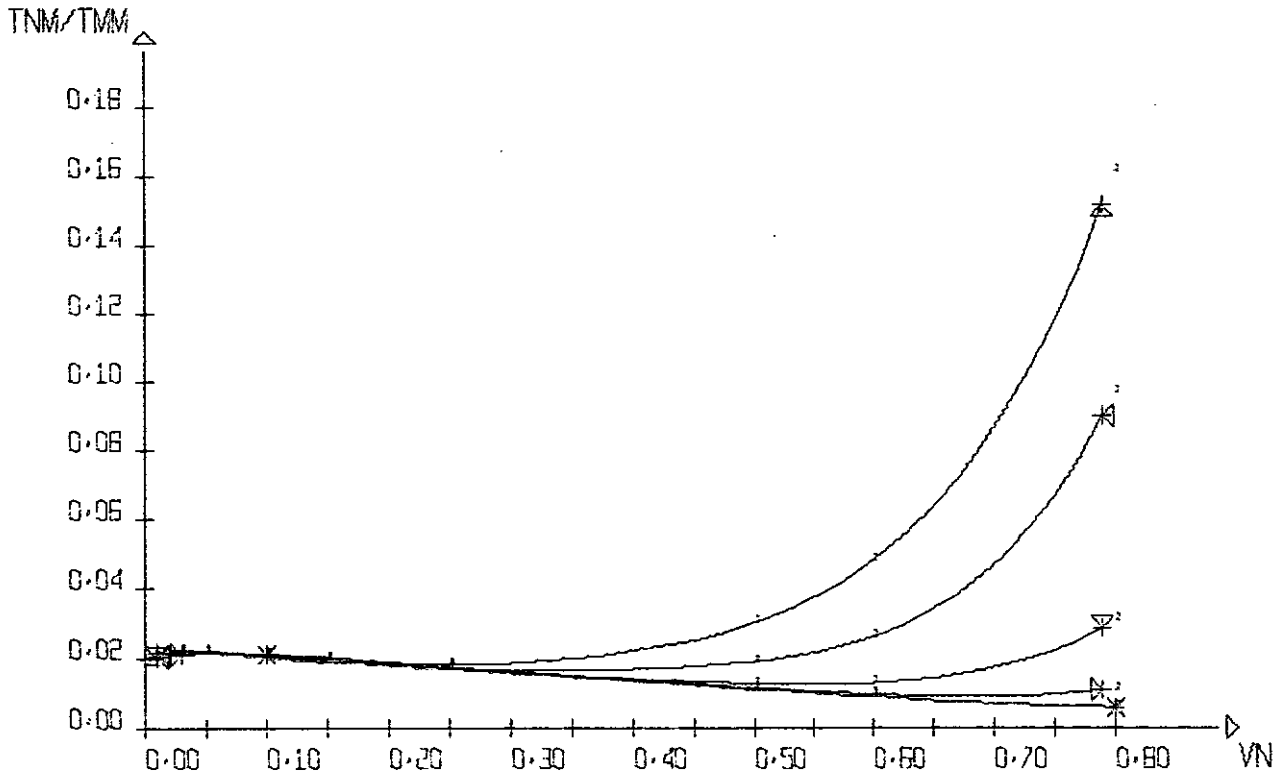


Figura 4.4.12

V=0.1
 MISULA PARABOLICA
 CARGA CONCENTRADA



V=0.2
 MISULA PARABOLICA
 CARGA CONCENTRADA

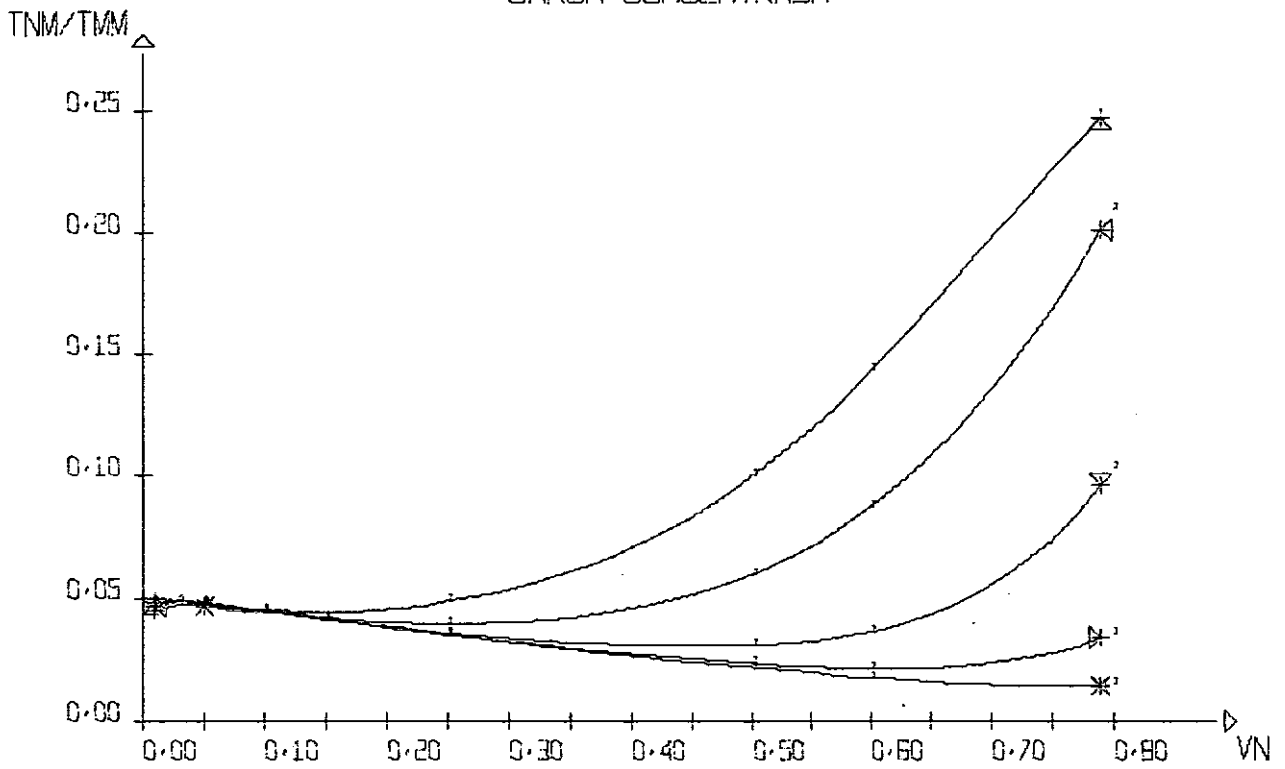
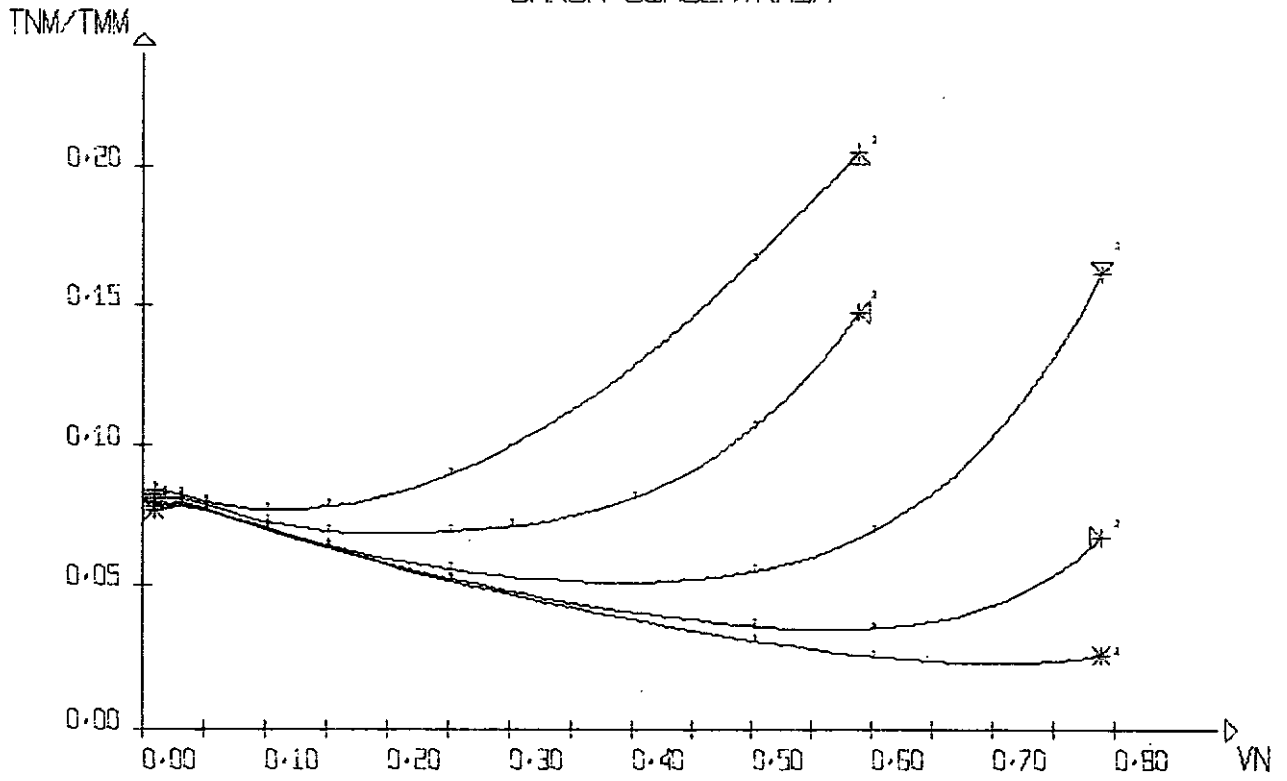


Figura 4.4.13

V=0.3
 MISULA PARABOLICA
 CARGA CONCENTRADA



V=0.4
 MISULA PARABOLICA
 CARGA CONCENTRADA

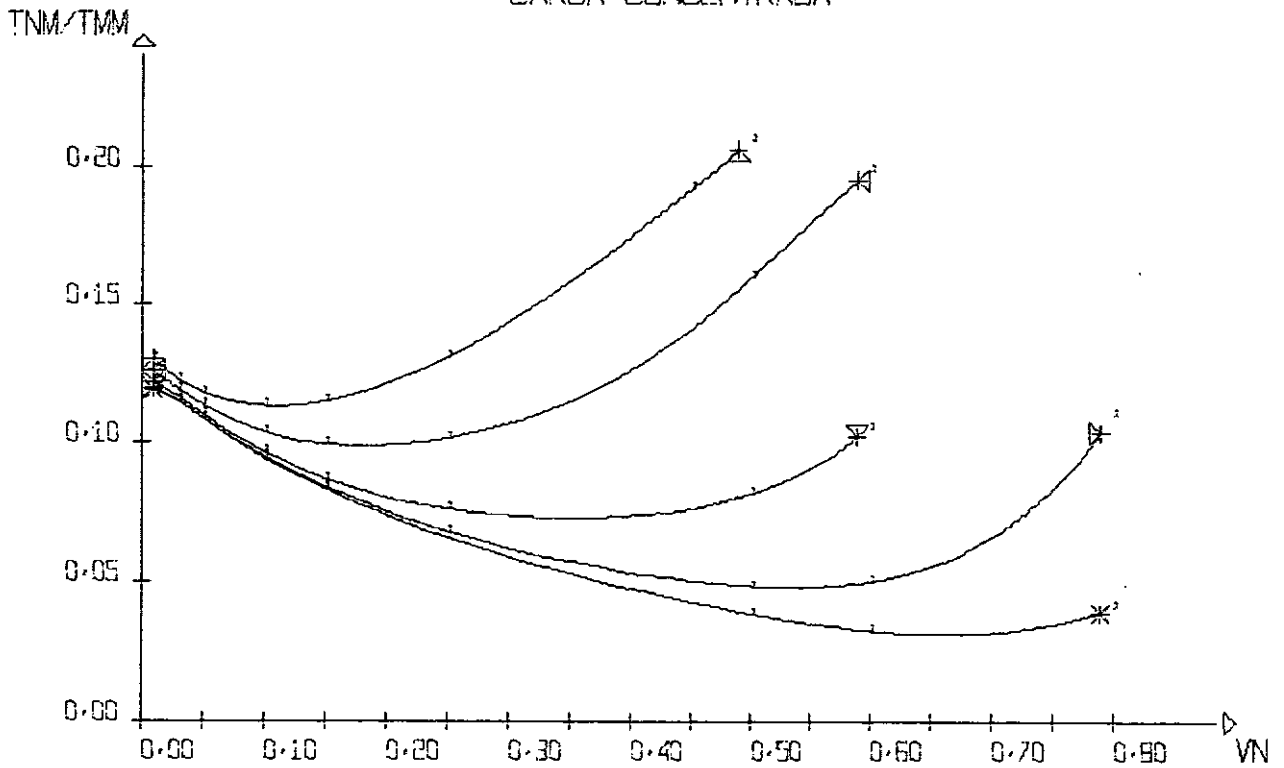
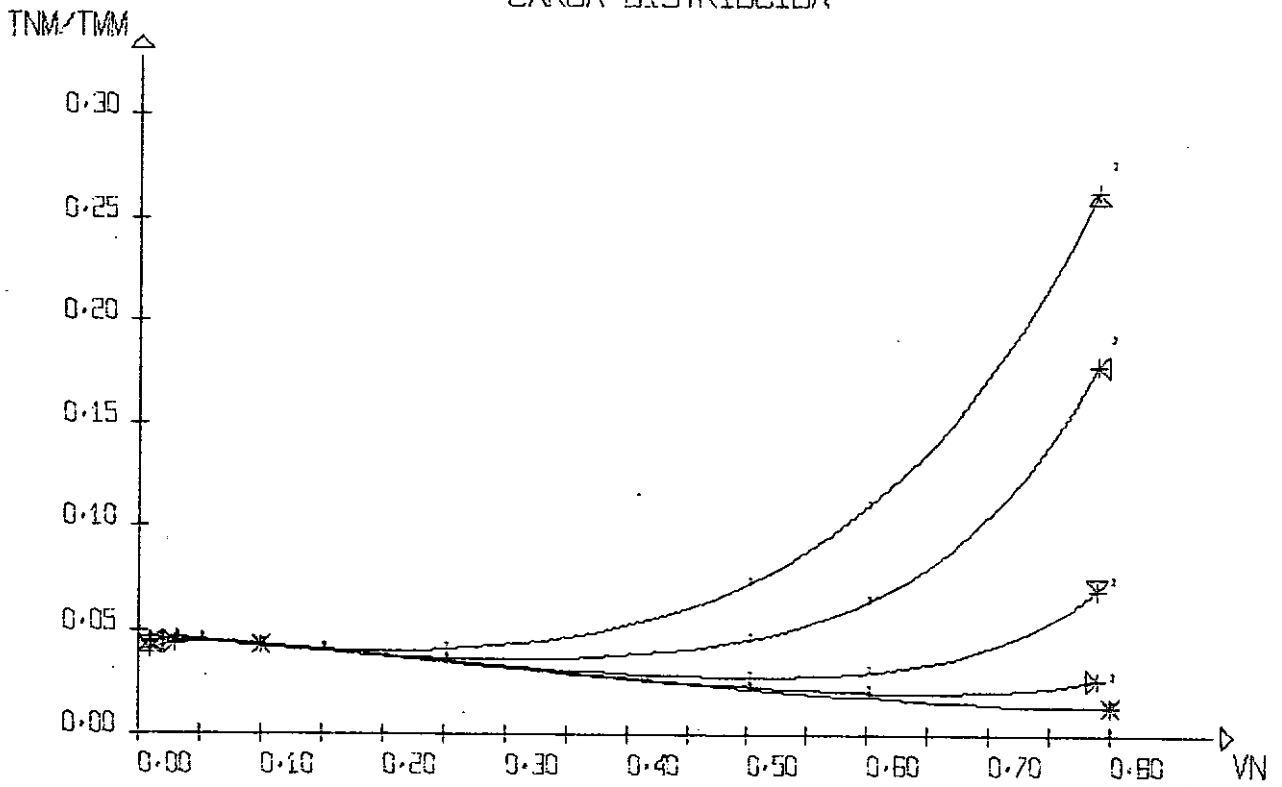


Figura 4.4.14

V=0.1
 MISULA PARABOLICA
 CARGA DISTRIBUIDA



V=0.2
 MISULA PARABOLICA
 CARGA DISTRIBUIDA

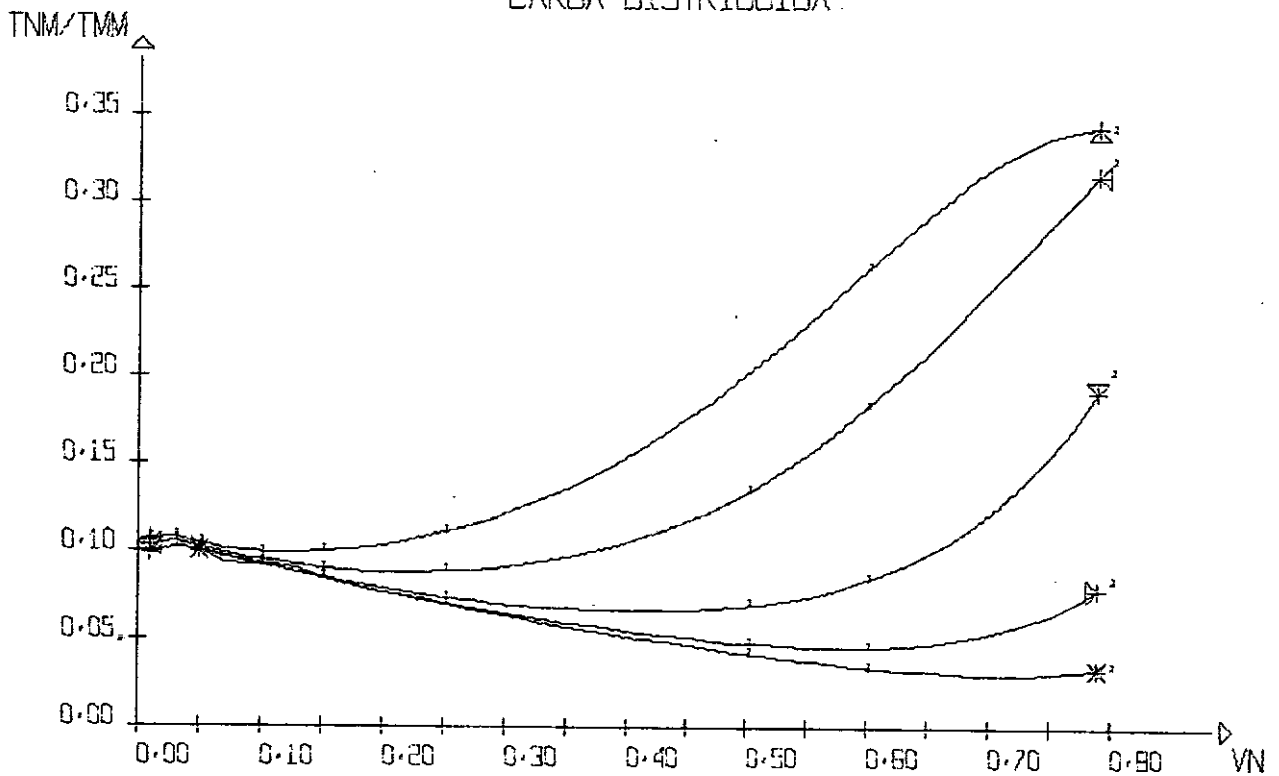
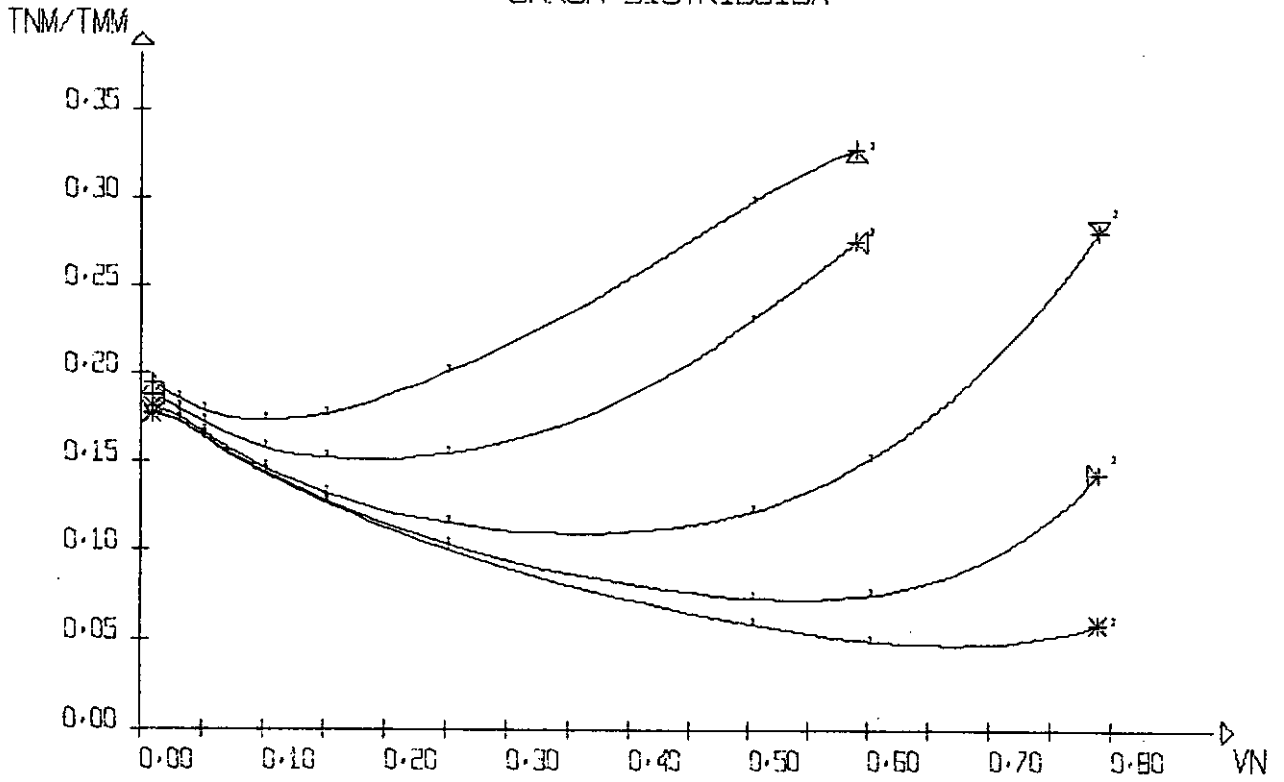


Figura 4.4.15

V=0.3
 MISULA PARABOLICA
 CARGA DISTRIBUIDA



V=0.4
 MISULA PARABOLICA
 CARGA DISTRIBUIDA

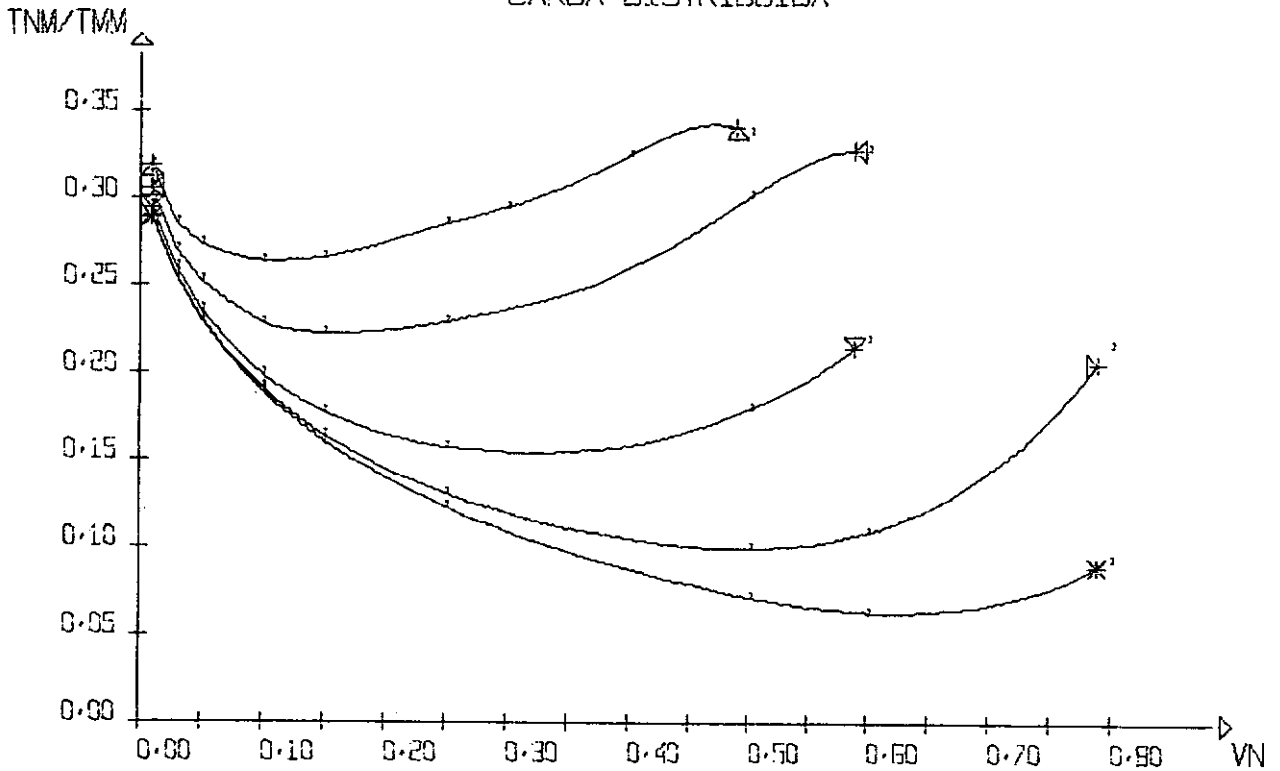
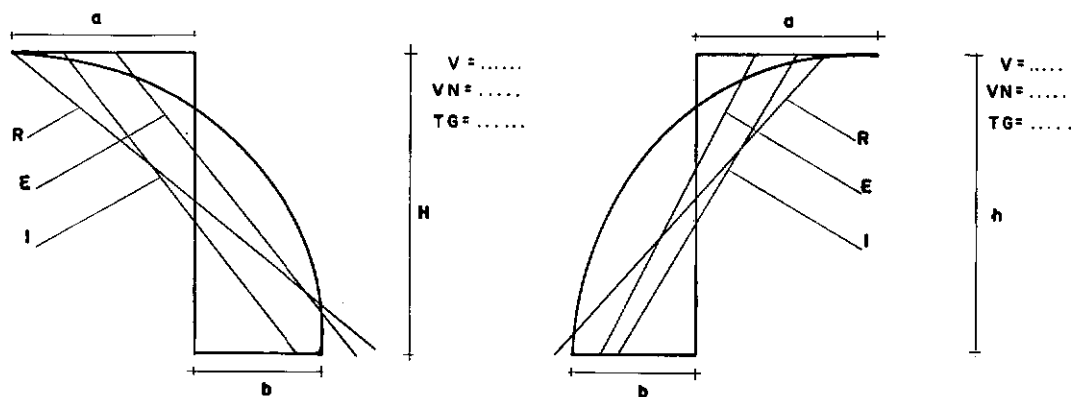


Figura 4.4.16

4.4 - Diagramas de Tensões Normais nas Seções do Engaste e do Meio do Vão

Para se verificar a validade da hipótese das seções planas estão apresentados diagramas de tensões normais nas seções do engaste e do meio do vão, para os valores das relações V , VN e $tg\alpha$ grifados no item 4.1 e para as situações de mísula e carregamento indicados no item 4.2, cujo aspecto é o da fig.4.5.



(a) seção do engaste

(b) seção do vão

Fig. 4.5 - Aspecto dos diagramas de tensões normais

Cada diagrama é identificado da seguinte maneira:

- R - diagrama de tensões normais segundo a consideração de eixo reto
- I - diagrama de tensões normais segundo a consideração de eixo passando pelos pontos médios das alturas
- E - diagrama de tensões normais devidos as resultantes na seção obtida da análise pelo método dos elementos finitos, e distribuídos de acordo com a hipótese das seções planas (item 4.3, fig. 4.3).

- O diagrama que não tem identificação é obtido da análise pelo método dos elementos finitos.

a e b são respectivamente as tensões superior e inferior do diagrama de tensões normais obtido da análise pelo método dos elementos finitos.

H e h são respectivamente as alturas das seções do engaste e do vão.

Estes diagramas estão apresentados nas figs. 4.6.1 a 4.

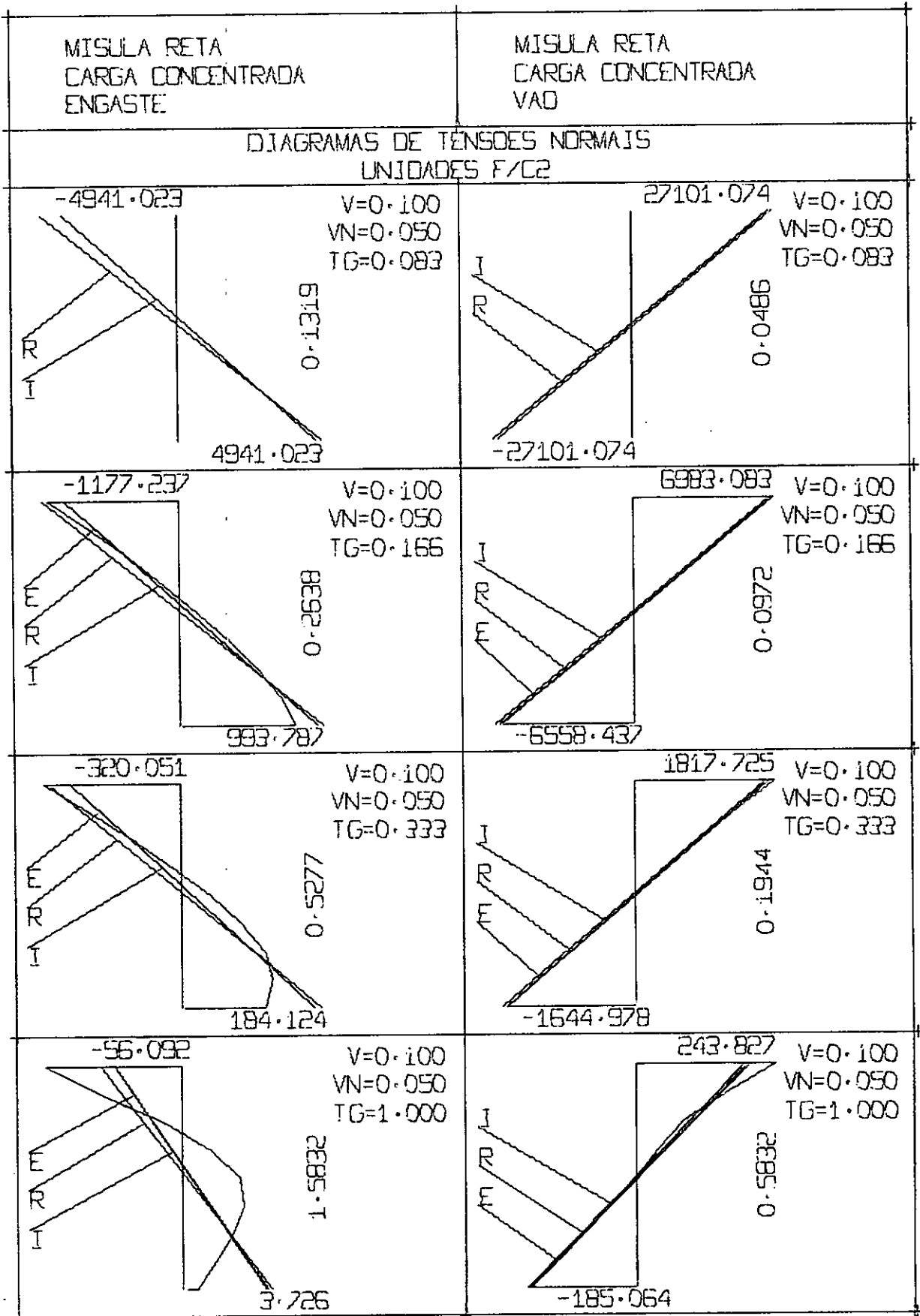


Figura 4.6.1

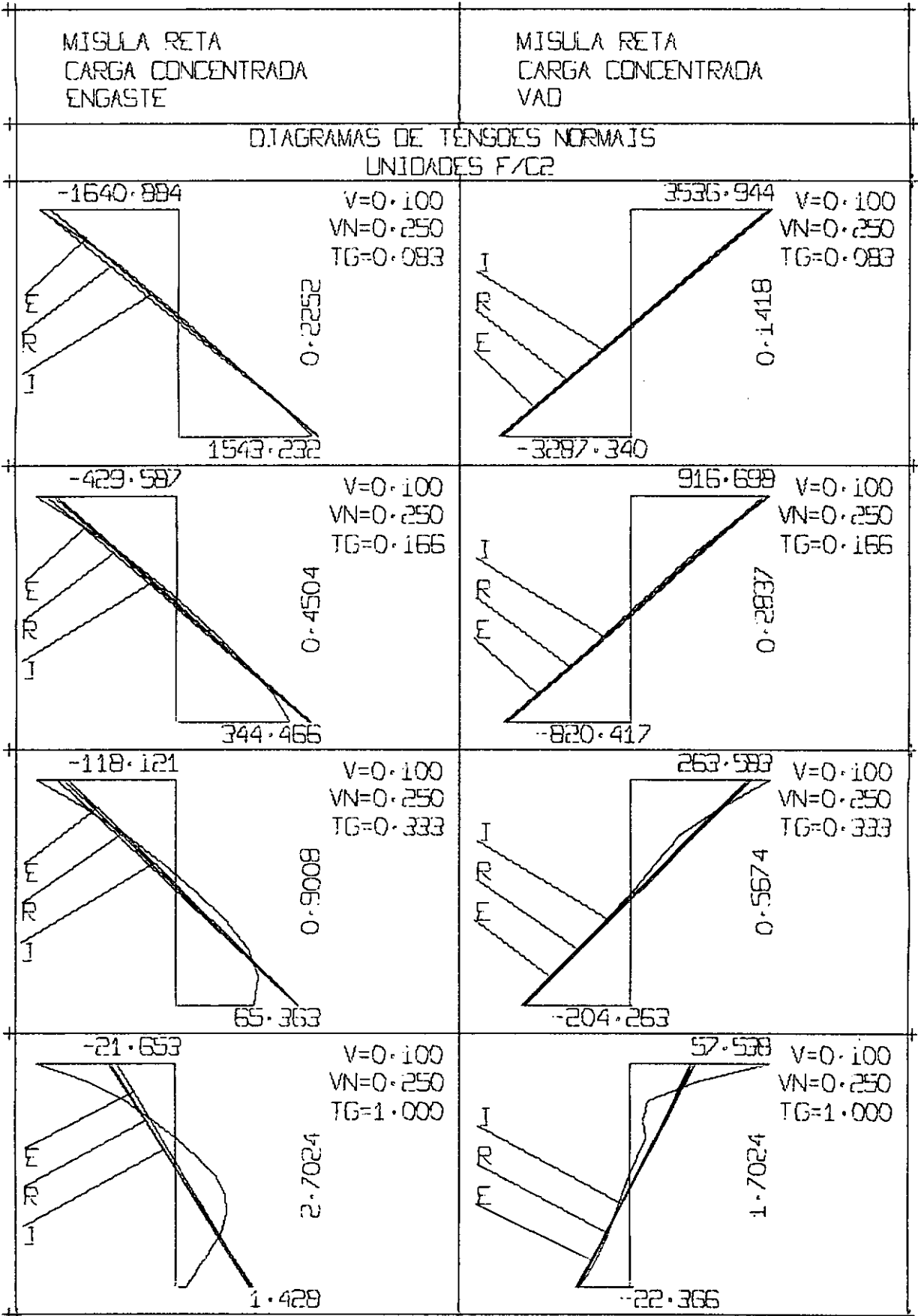


Figura 4.6.2

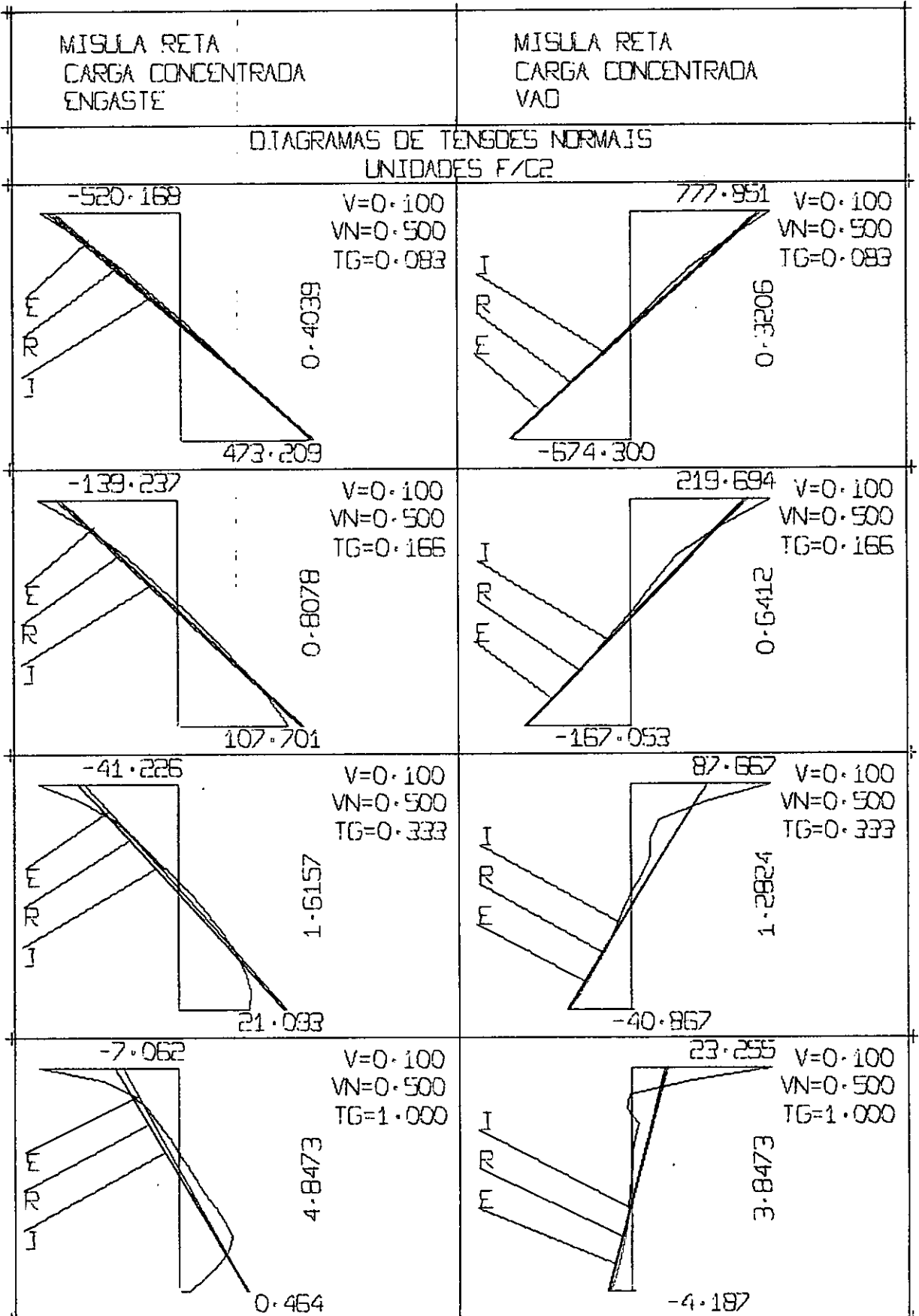


Figura 4.6.3

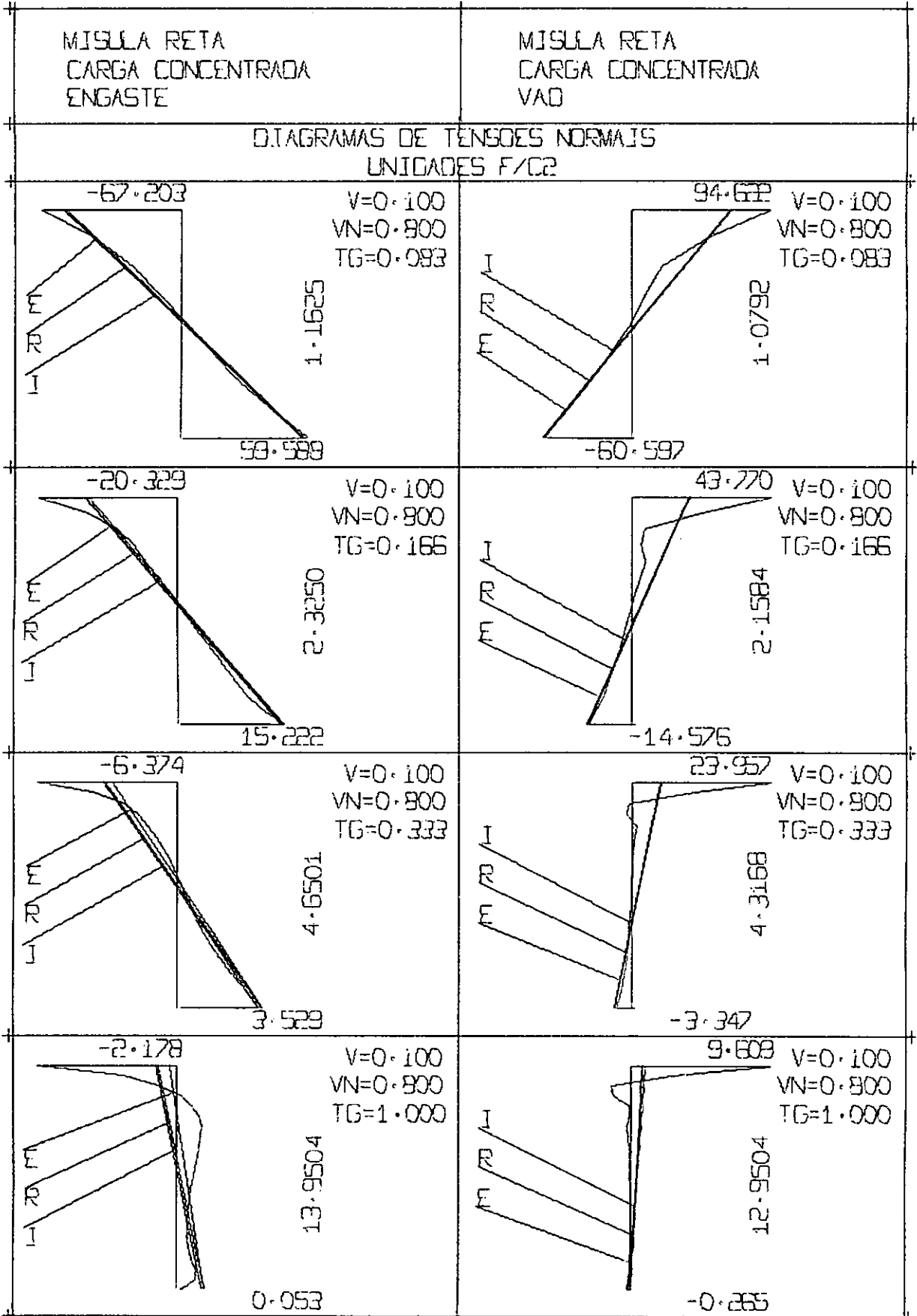


Figura 4.6.4

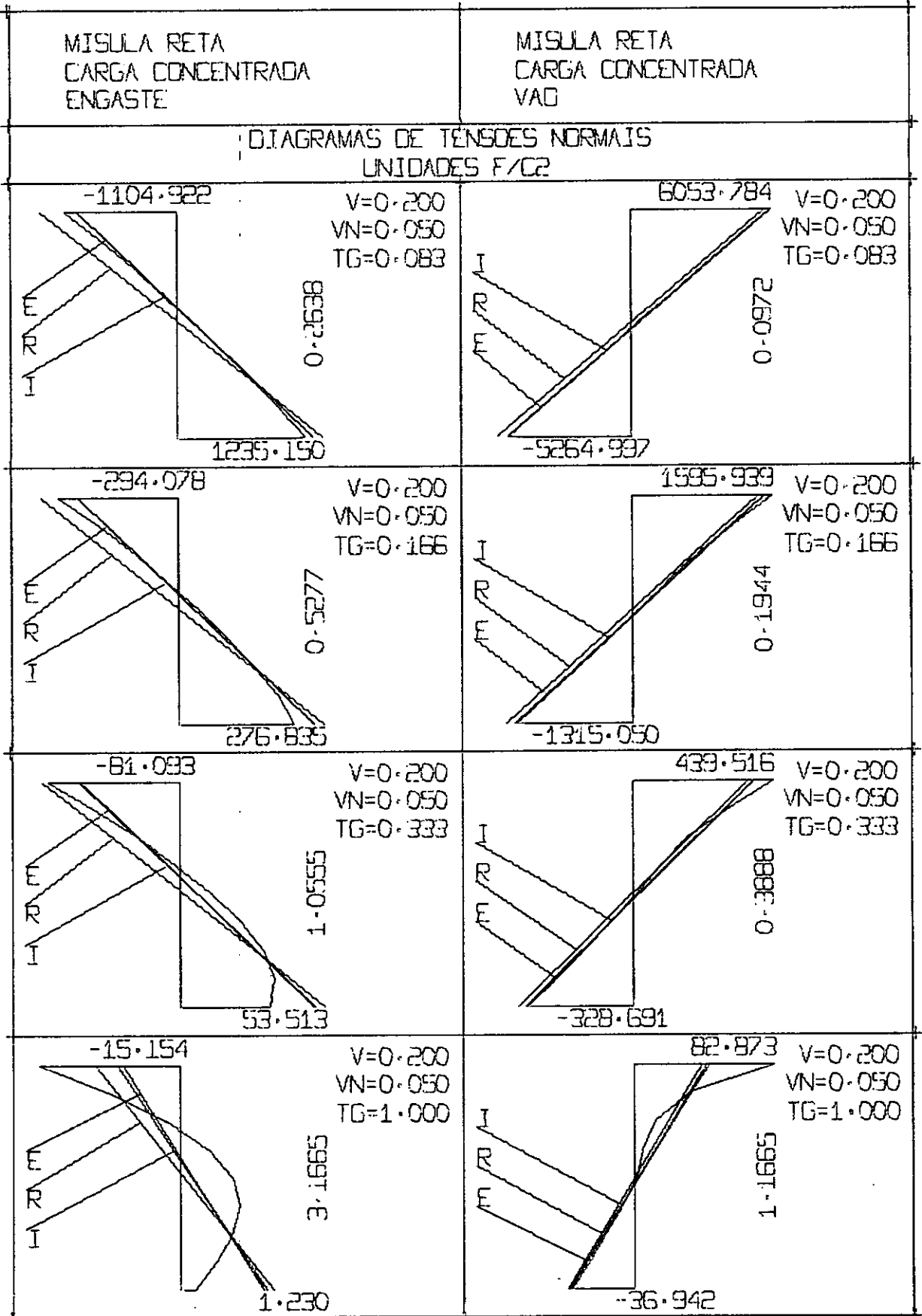


Figura 4.6.5

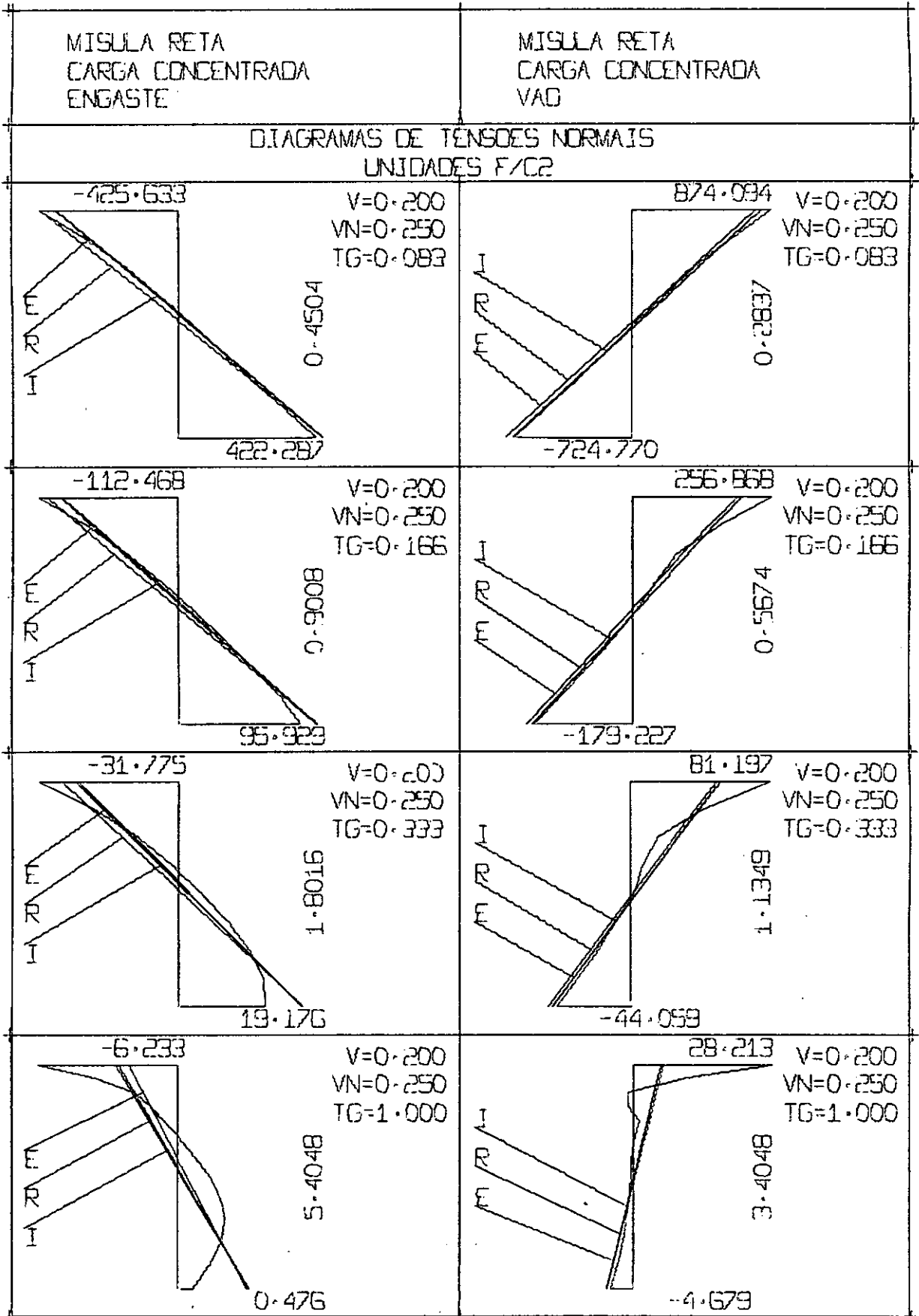


Figura 4.6.6

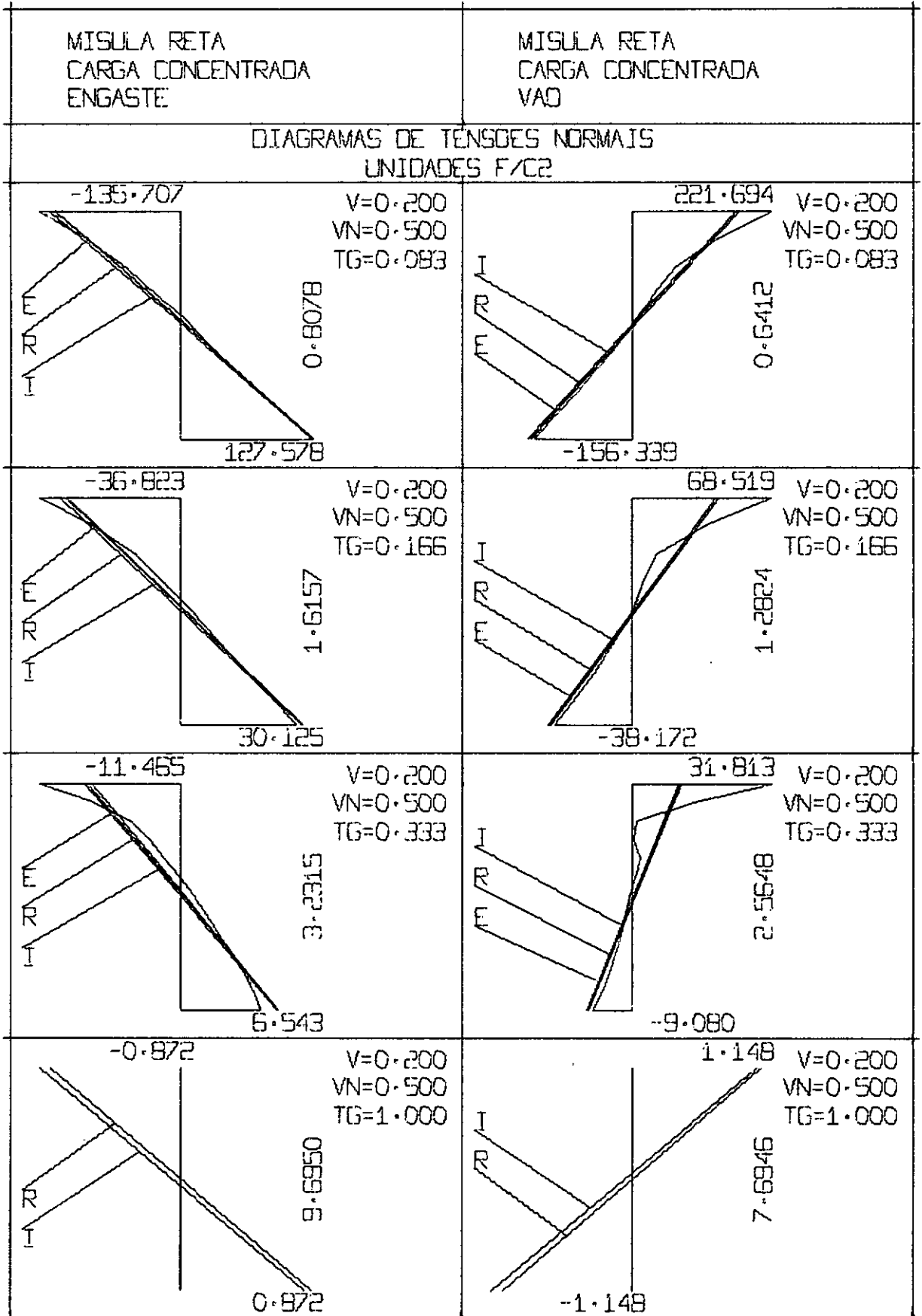


Figura 4.6.7

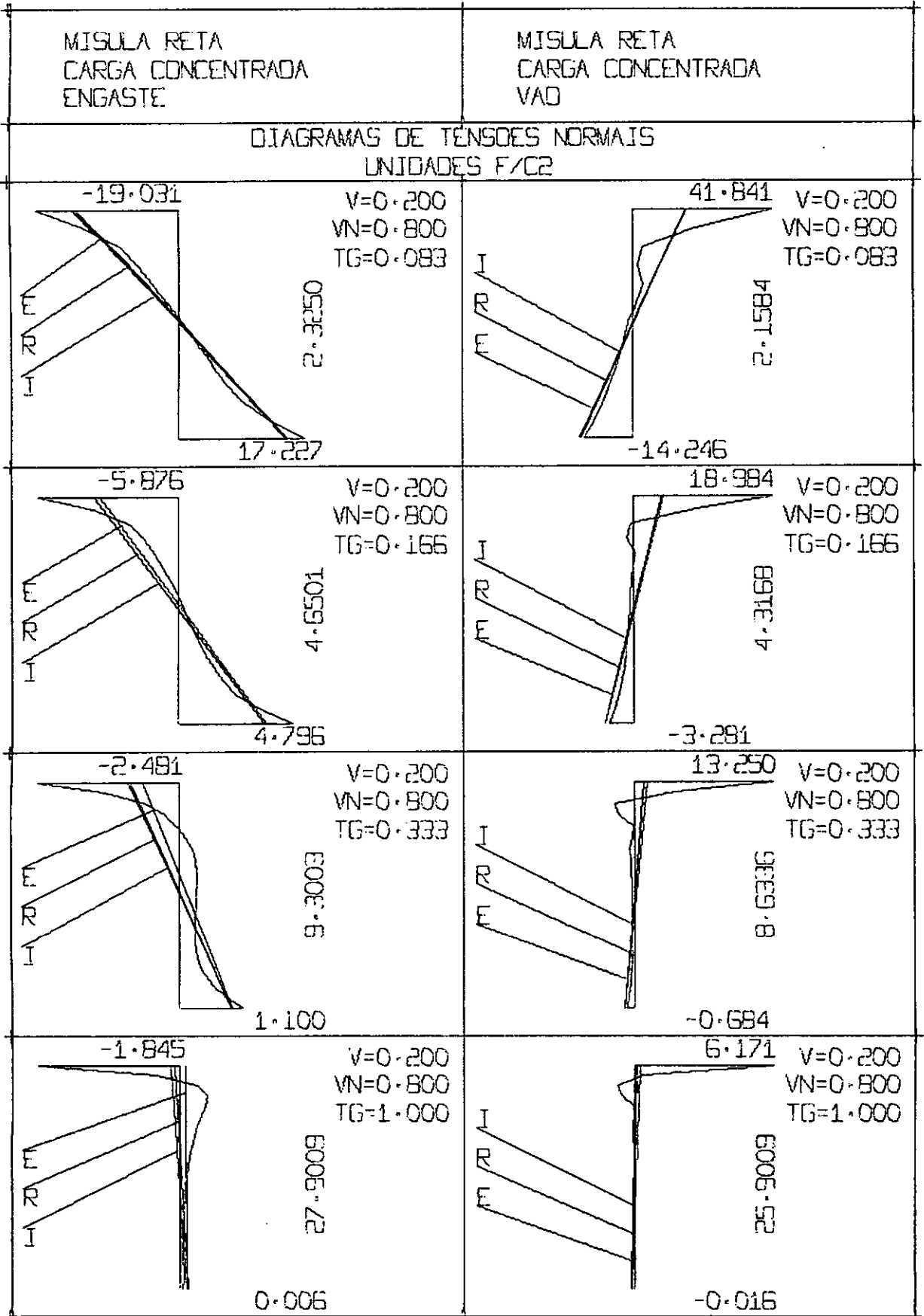


Figura 4.6.8

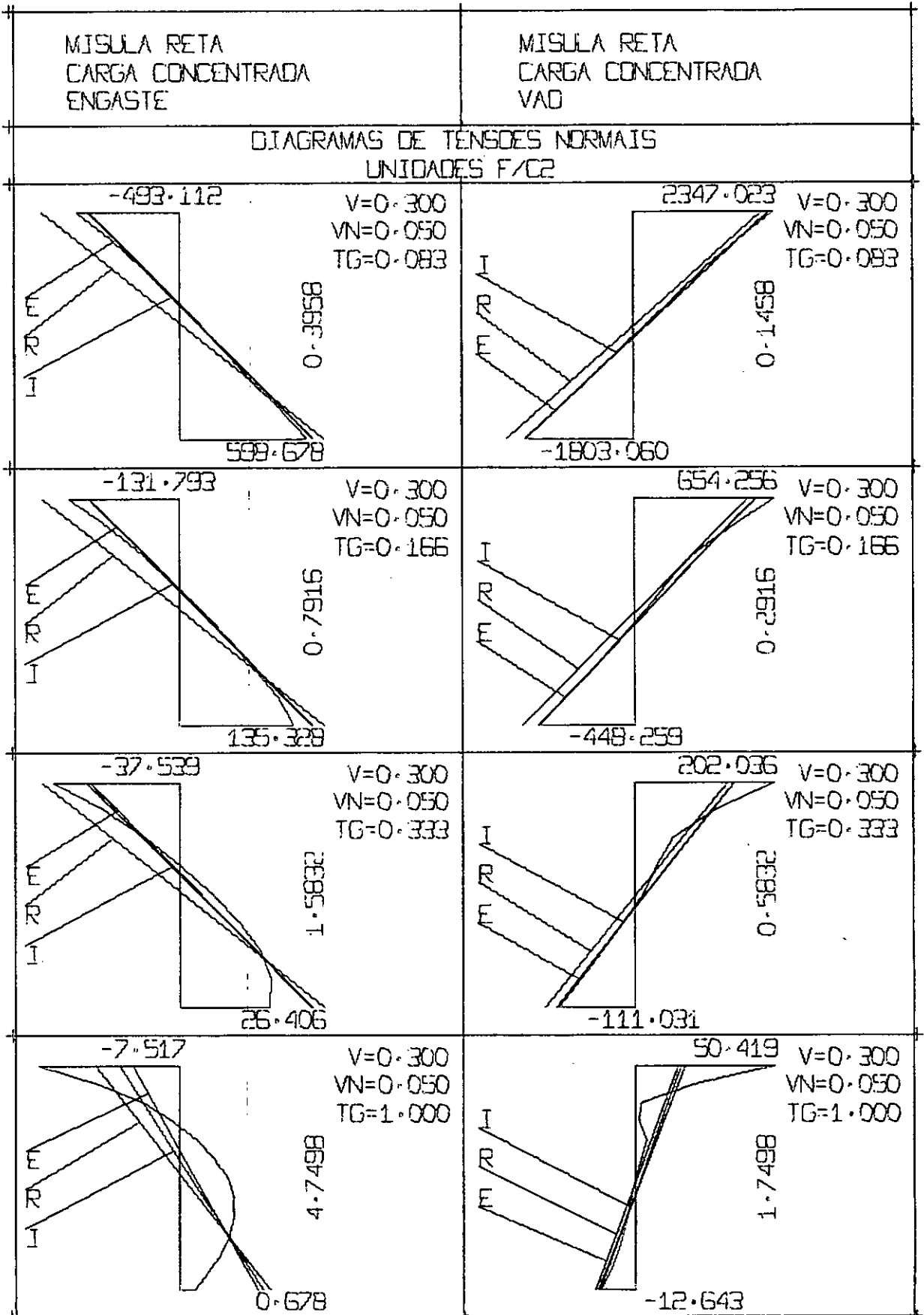


Figura 4.6.9

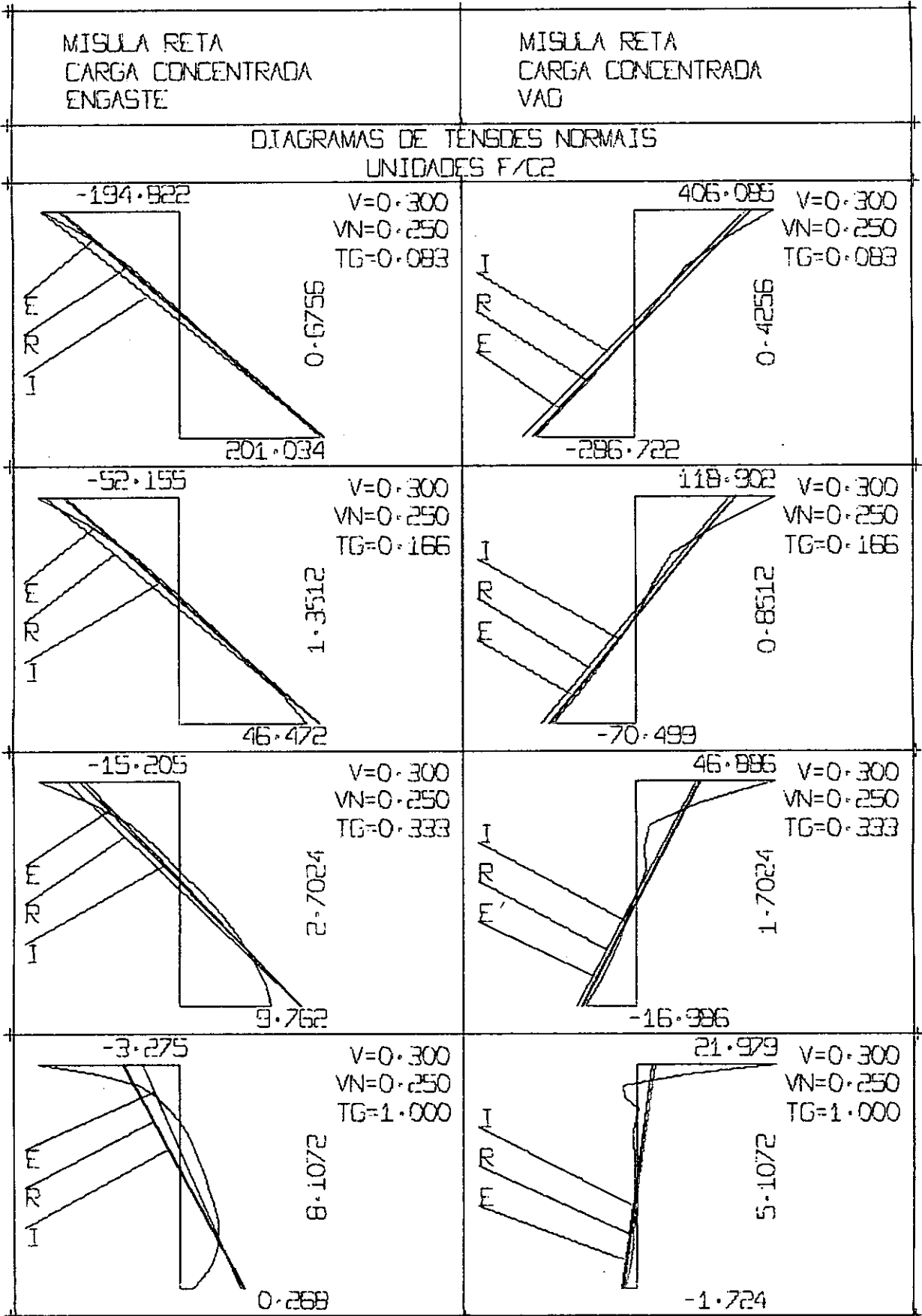


Figura 4.6.10

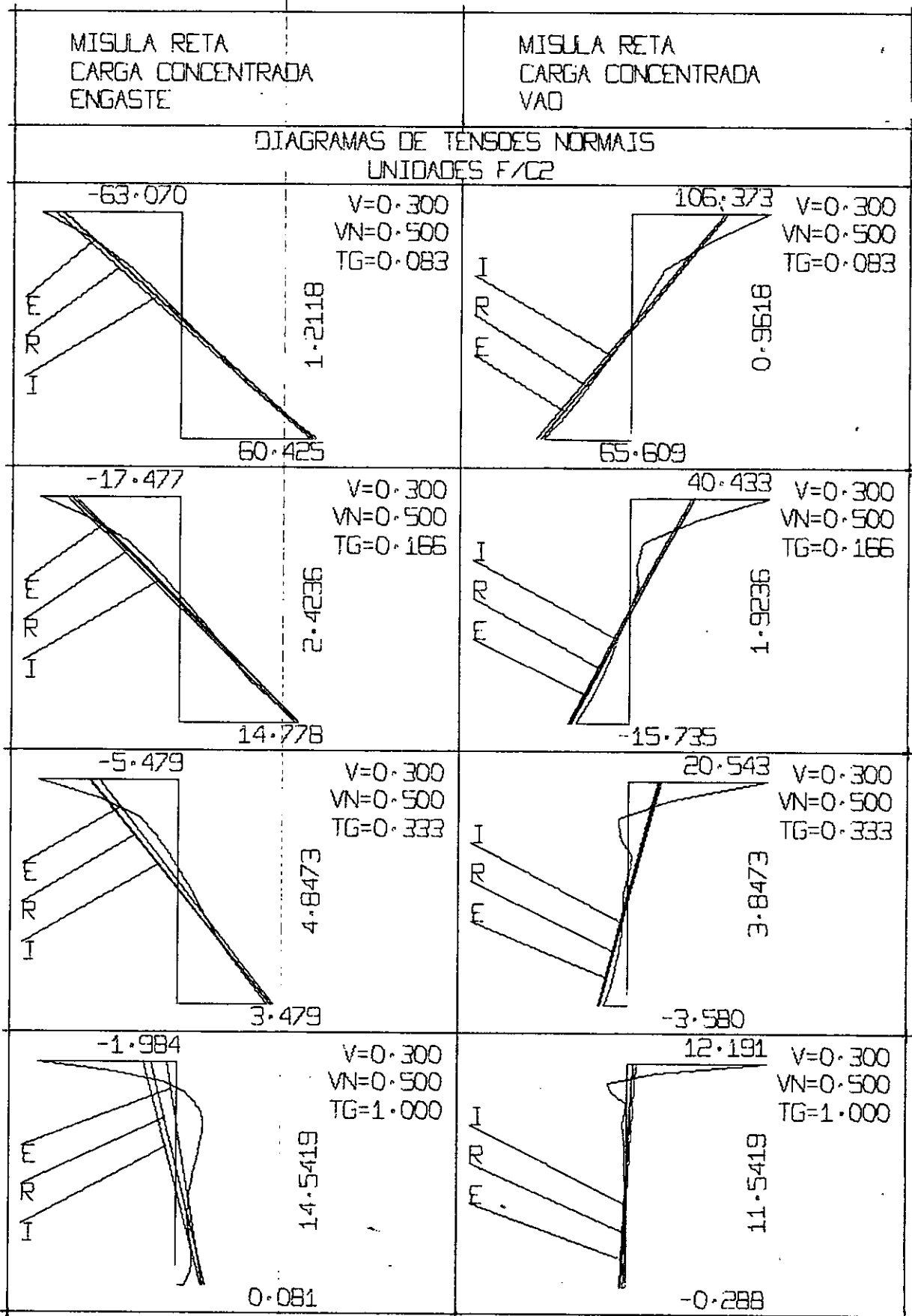


Figura 4.6.11

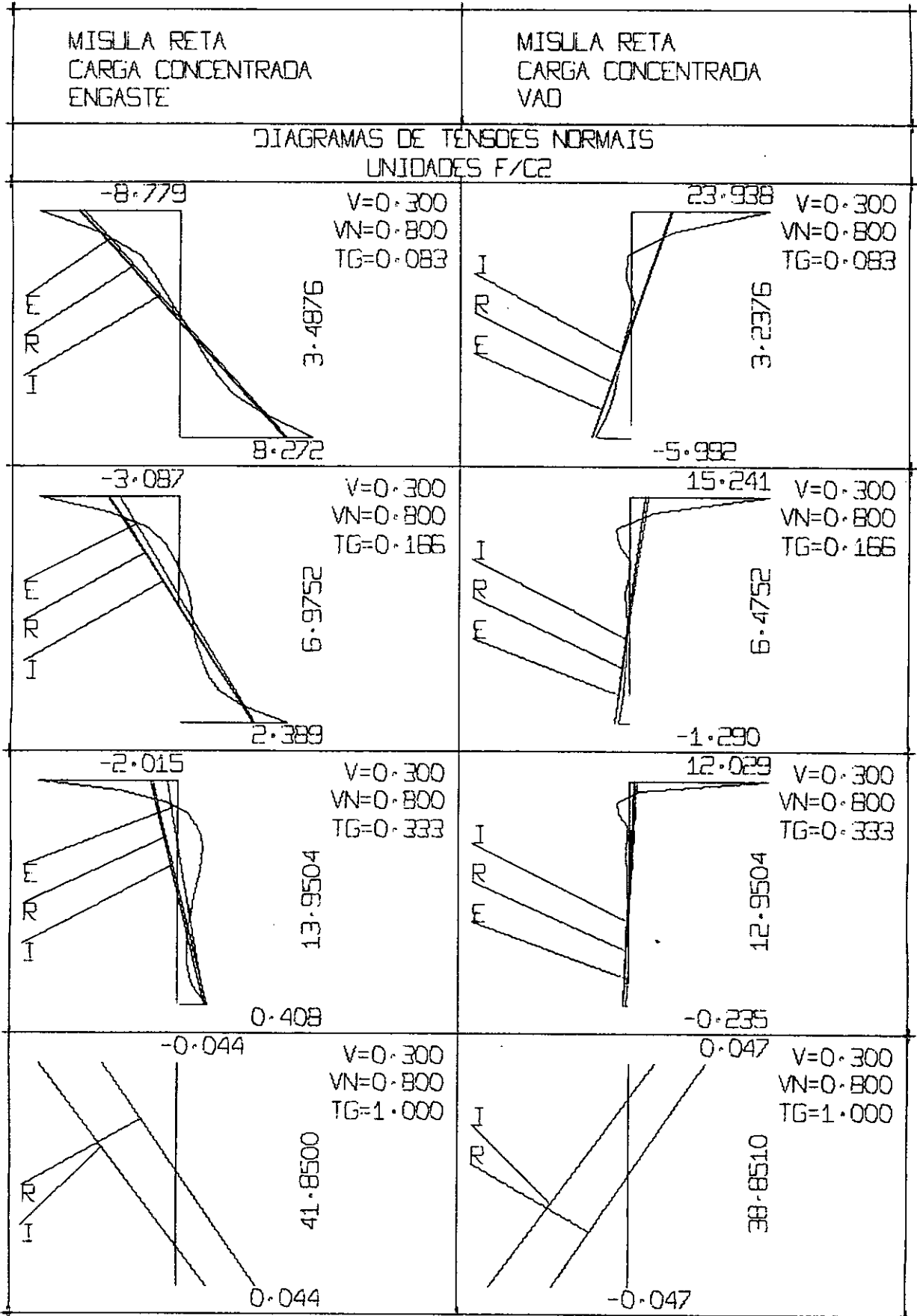


Figura 4.6.12

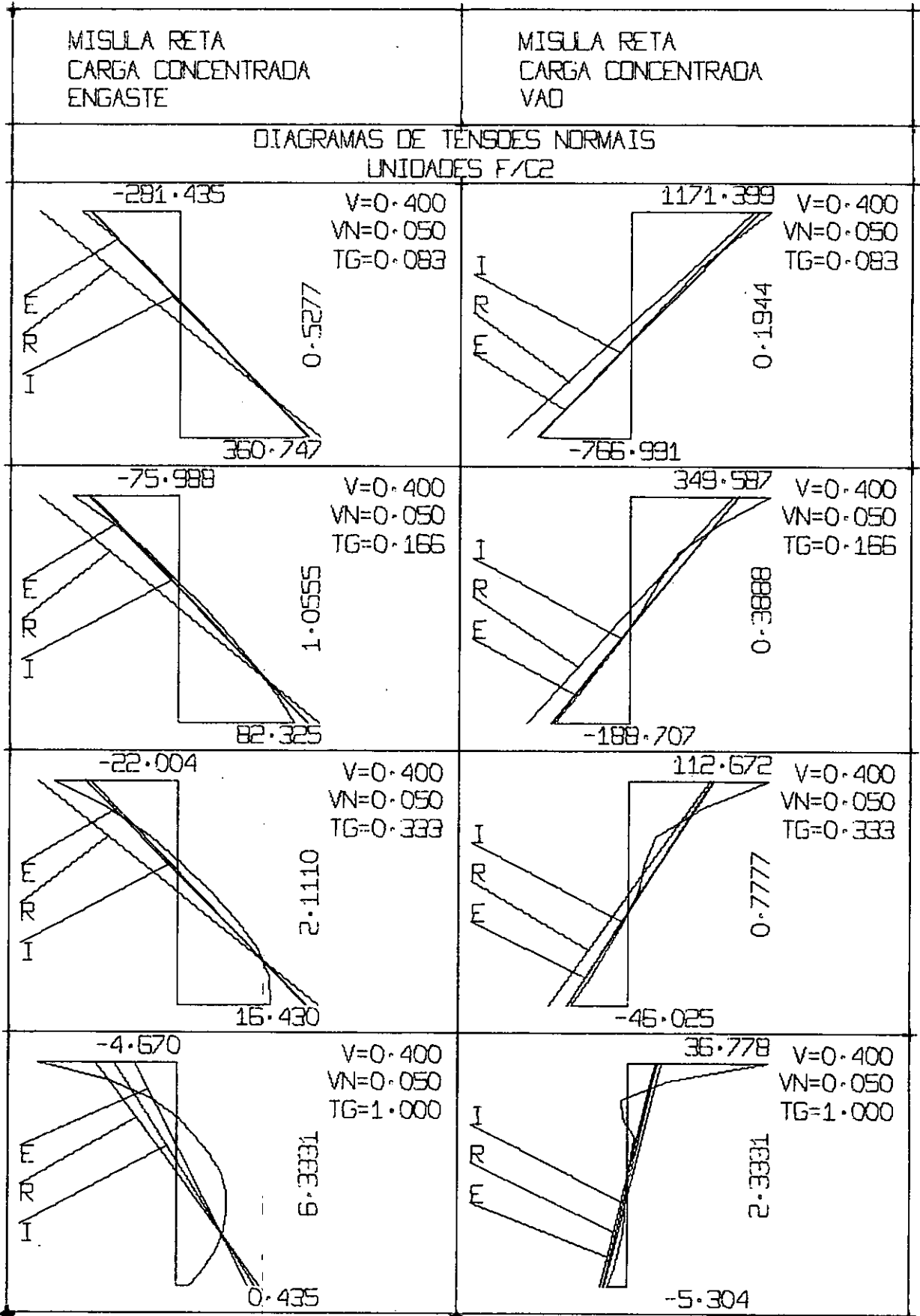


Figura 4.6.13

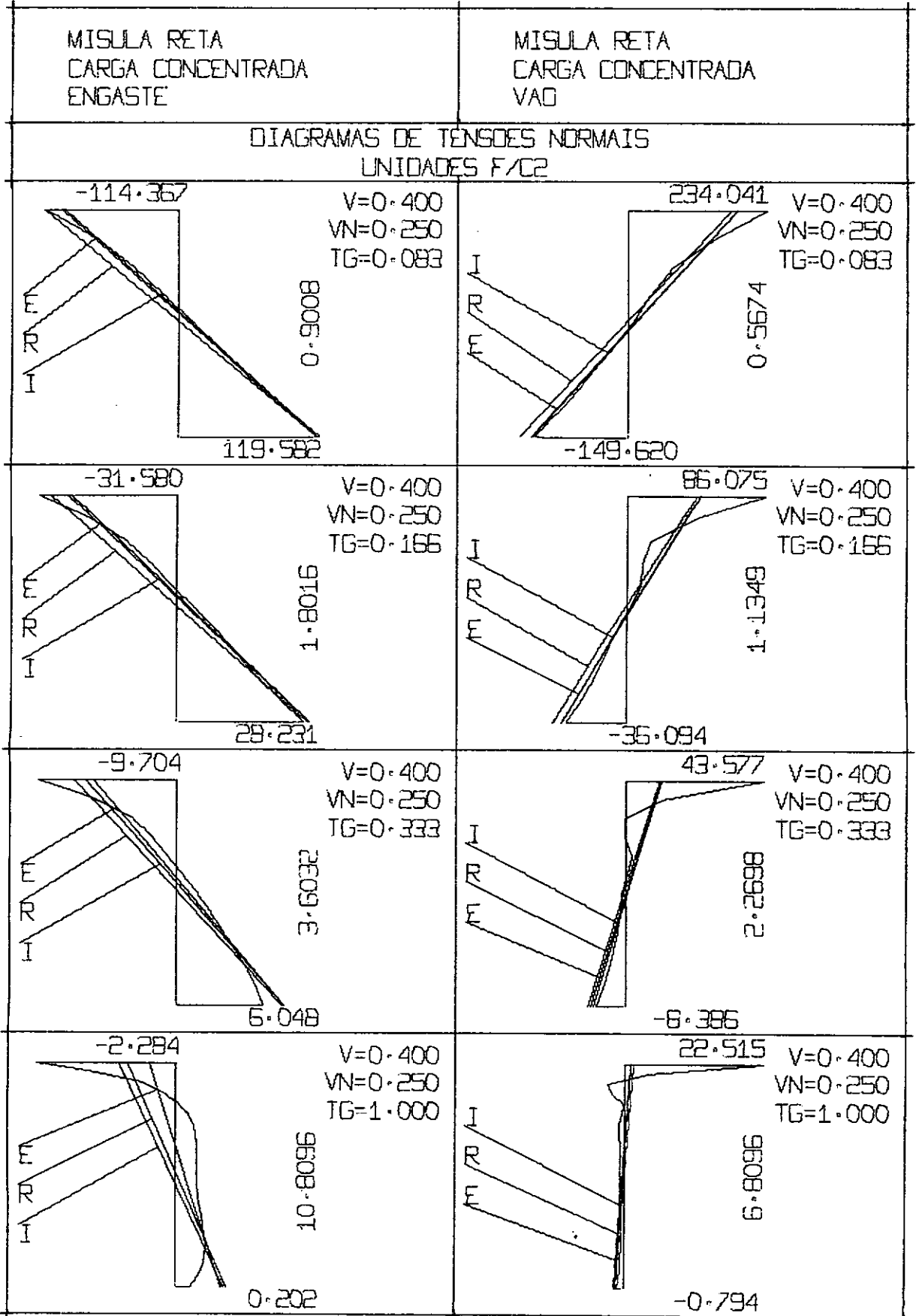


Figura 4.6.14

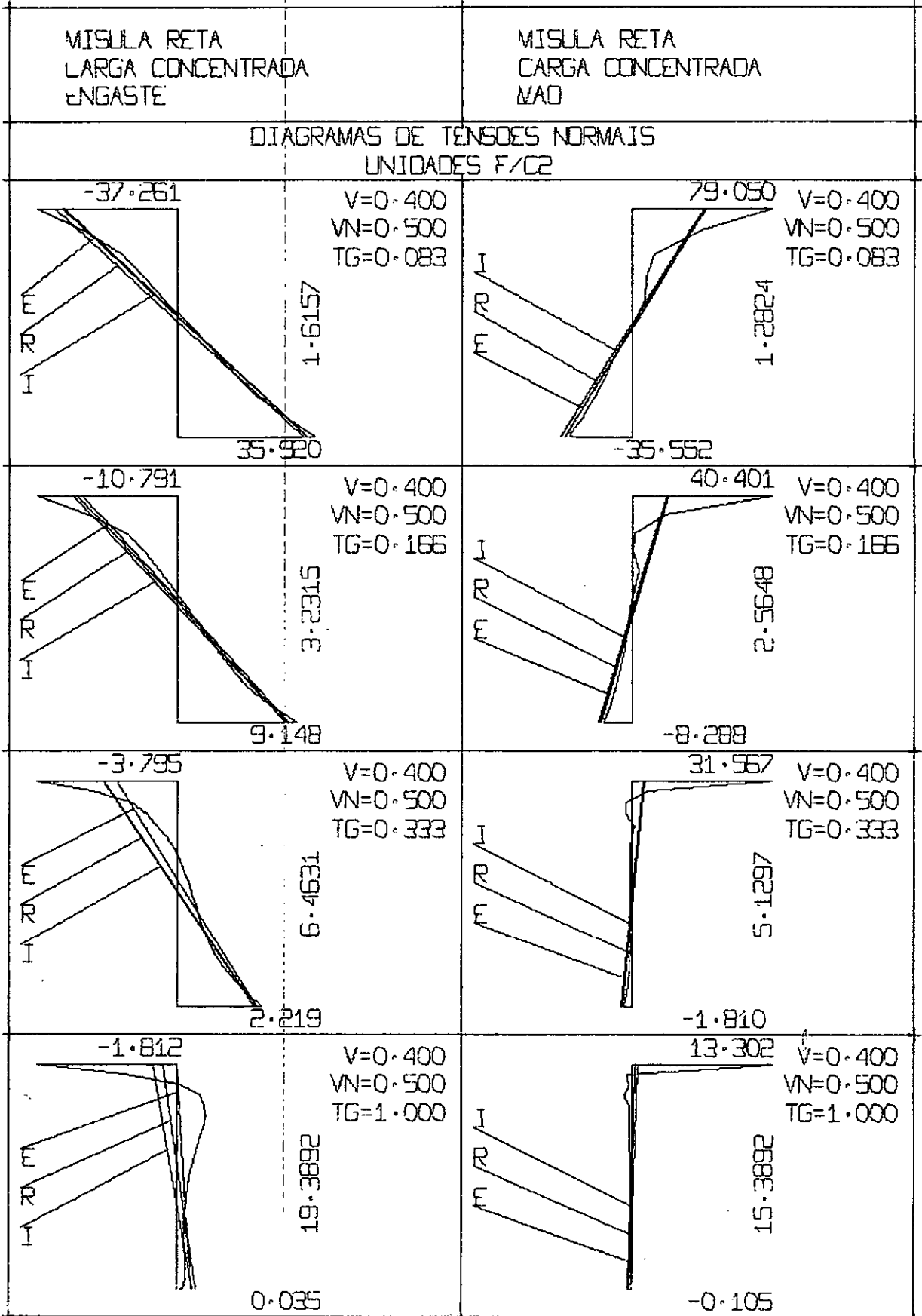


Figura 4.6.15

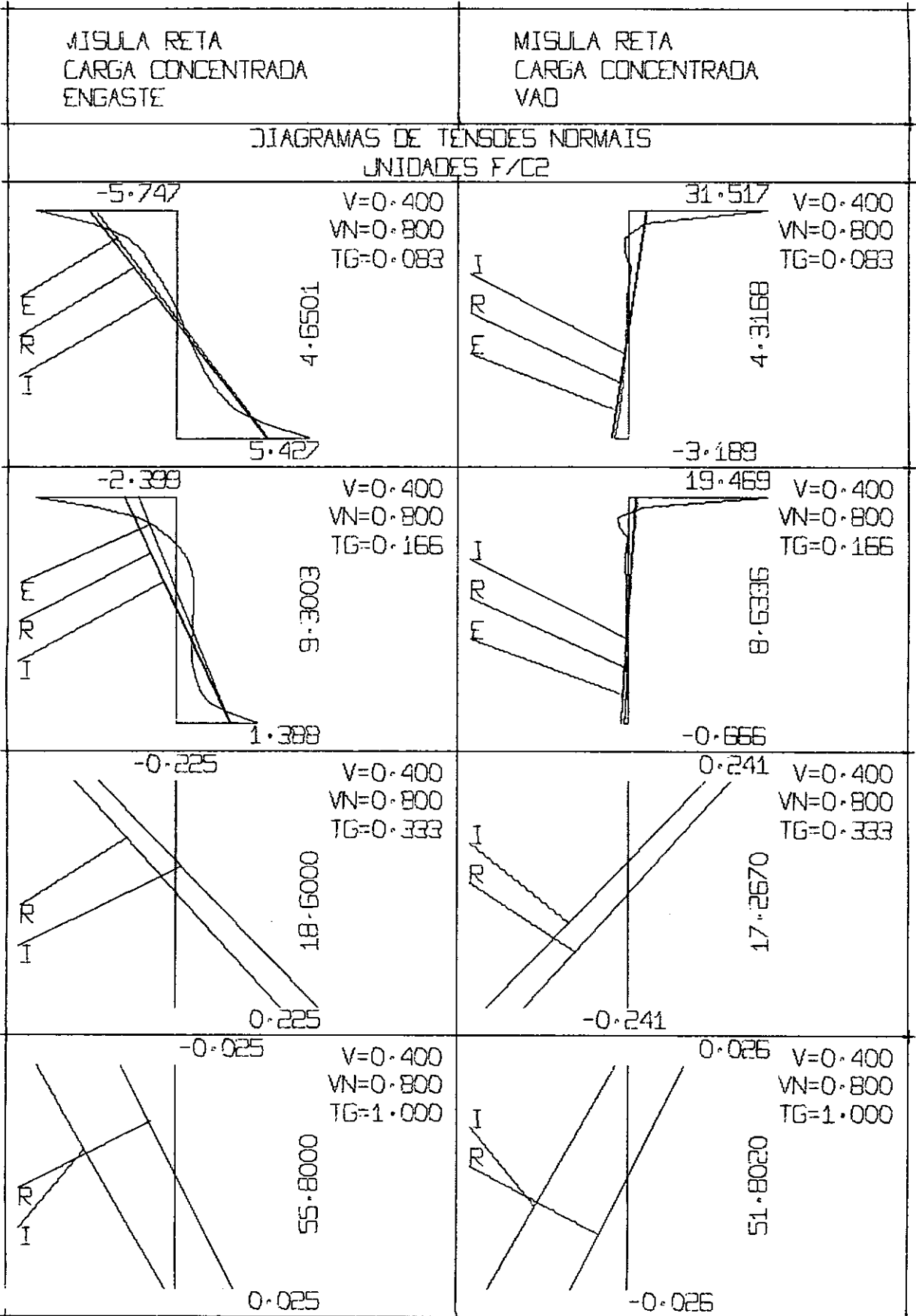


Figura 4.6.16

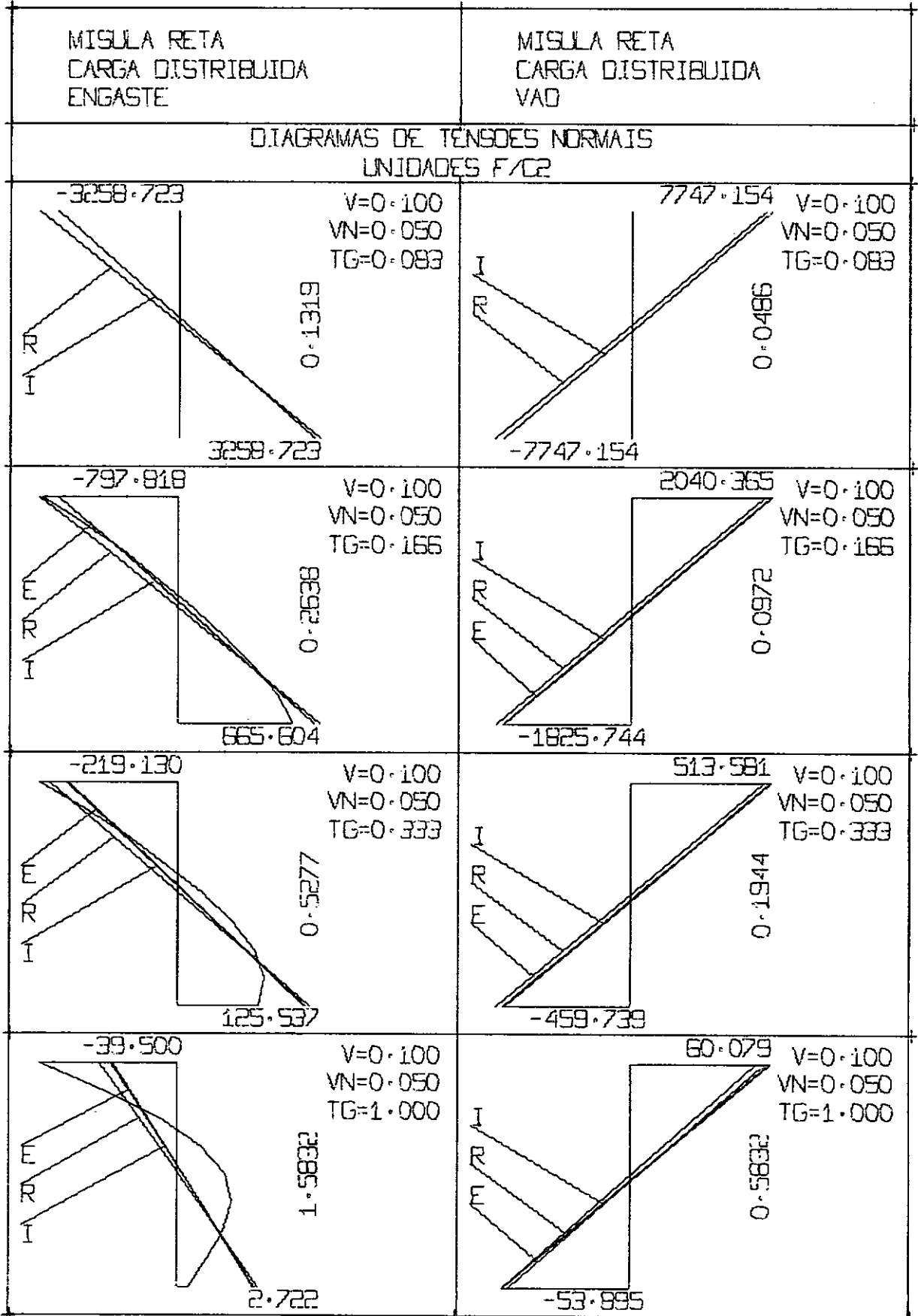


Figura 4.6.17

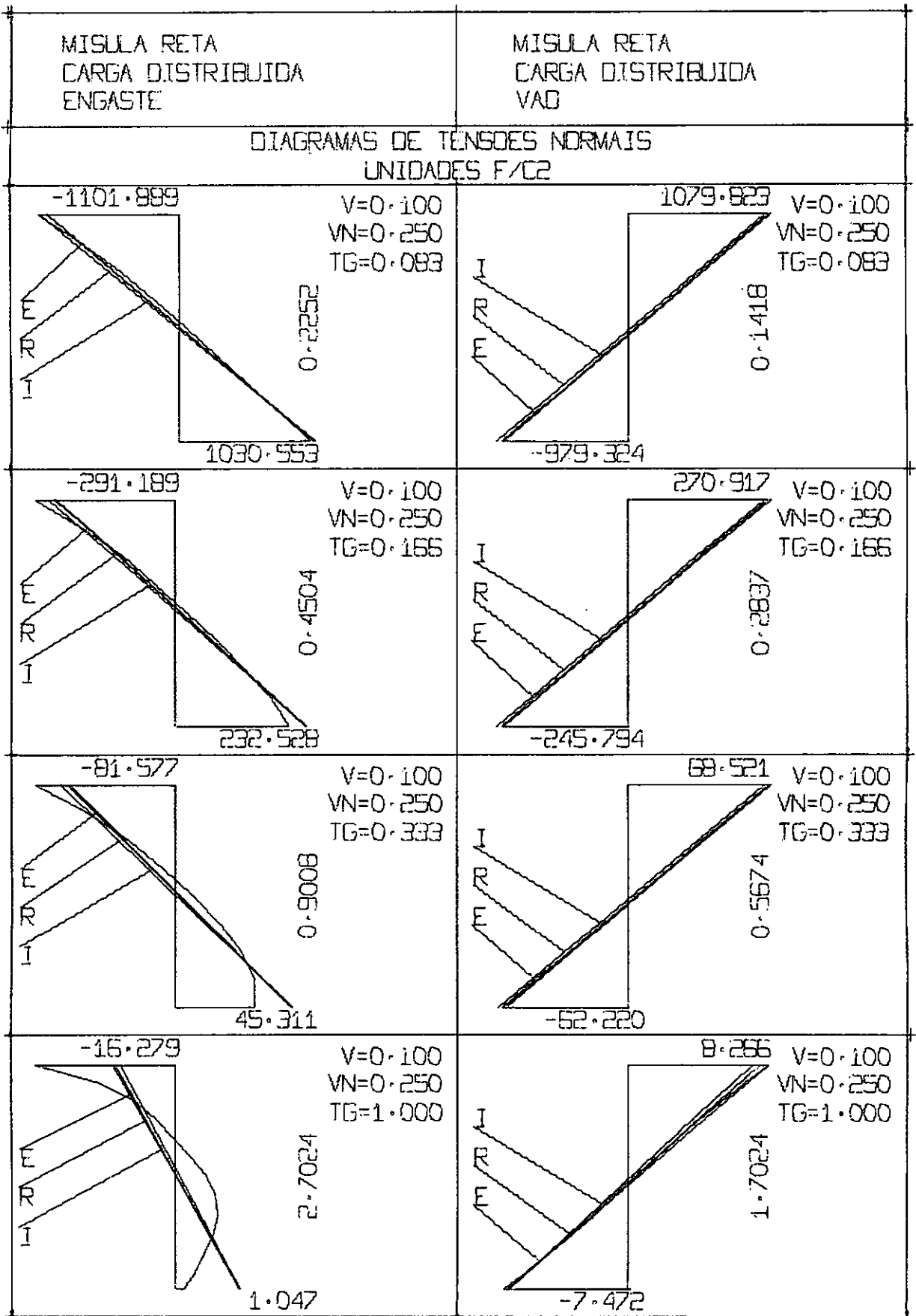


Figura 4.6.18

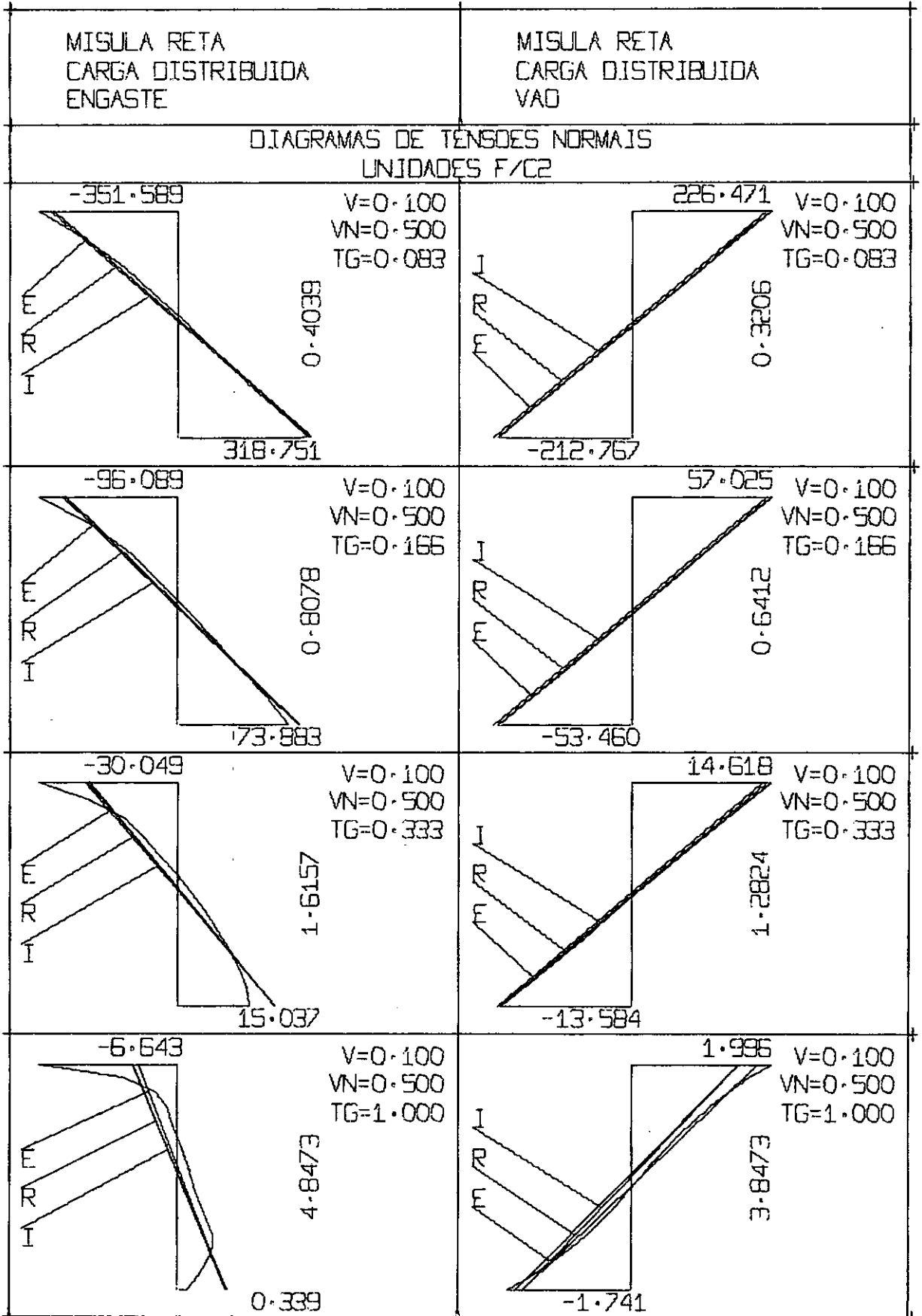


Figura 4.6.19

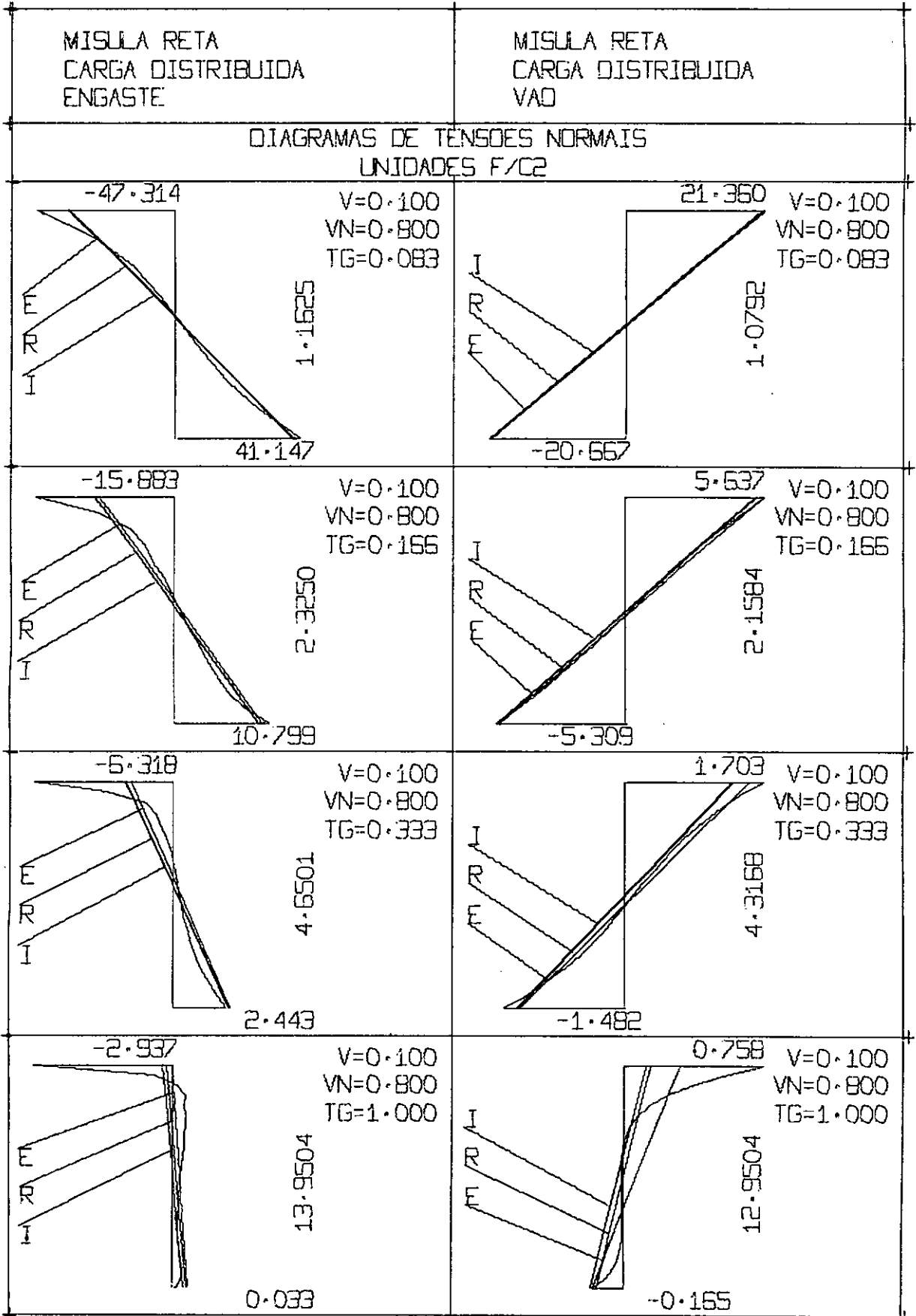


Figura 4.6.20

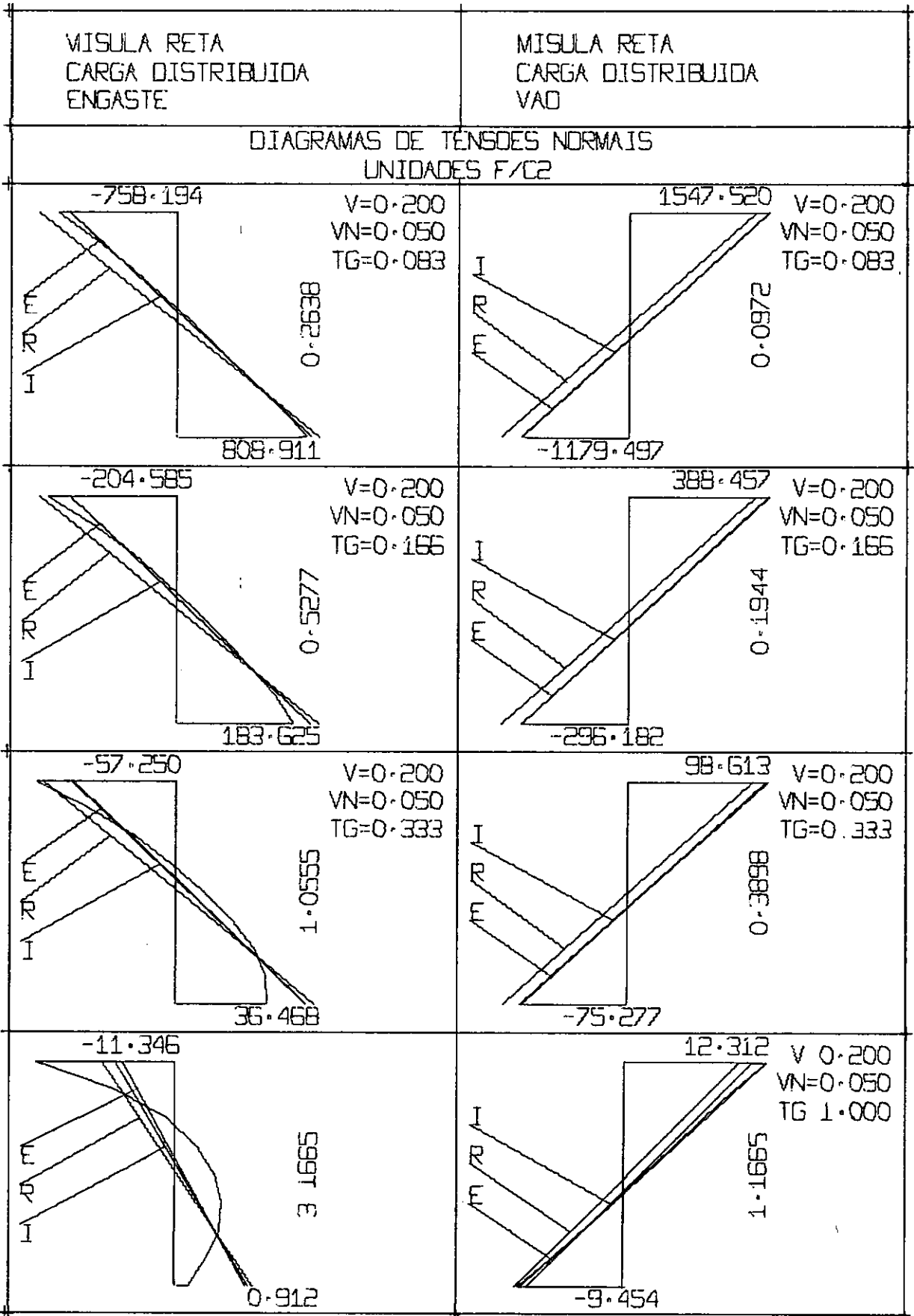


Figura 4.6.21

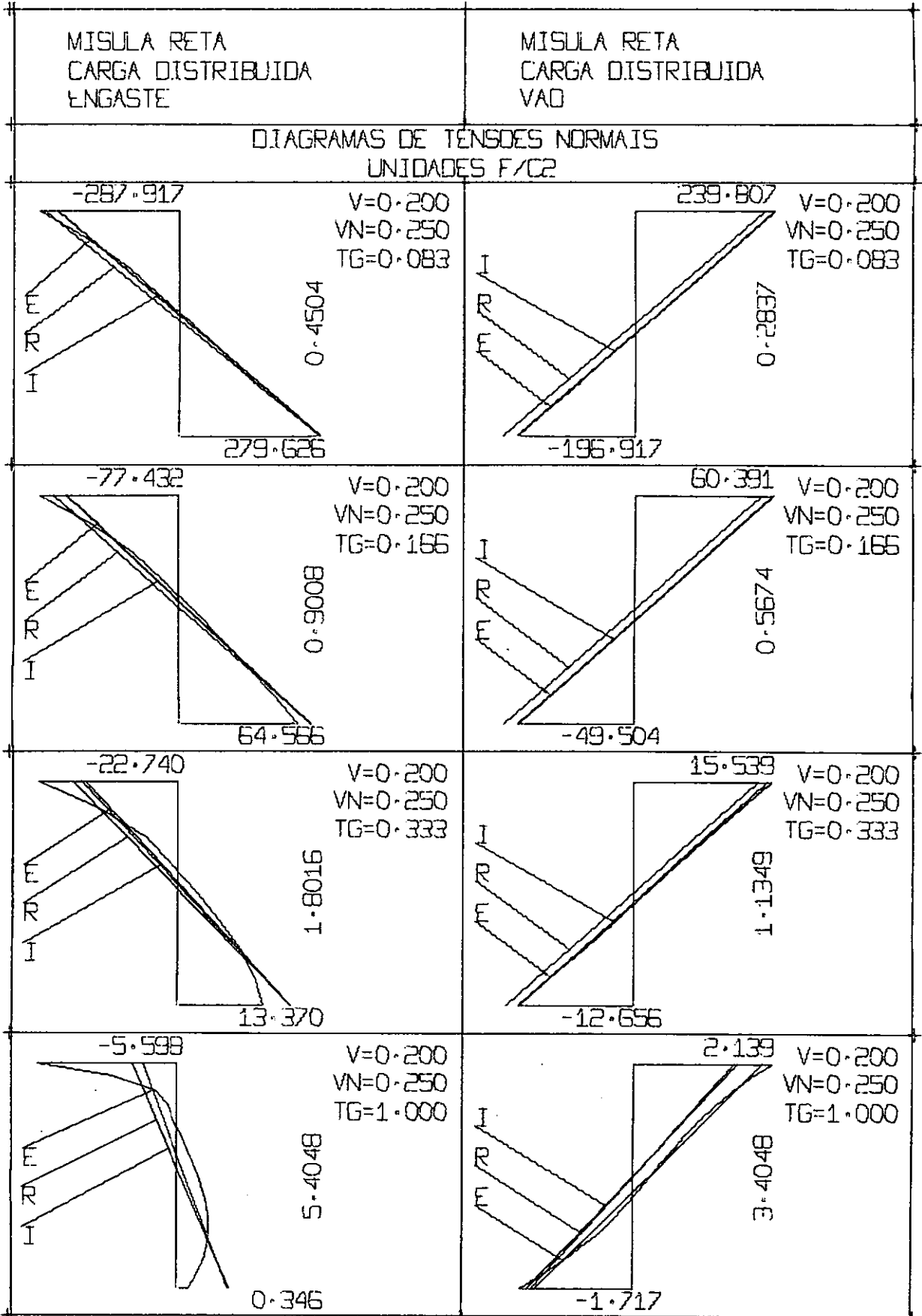


Figura 4.6.22

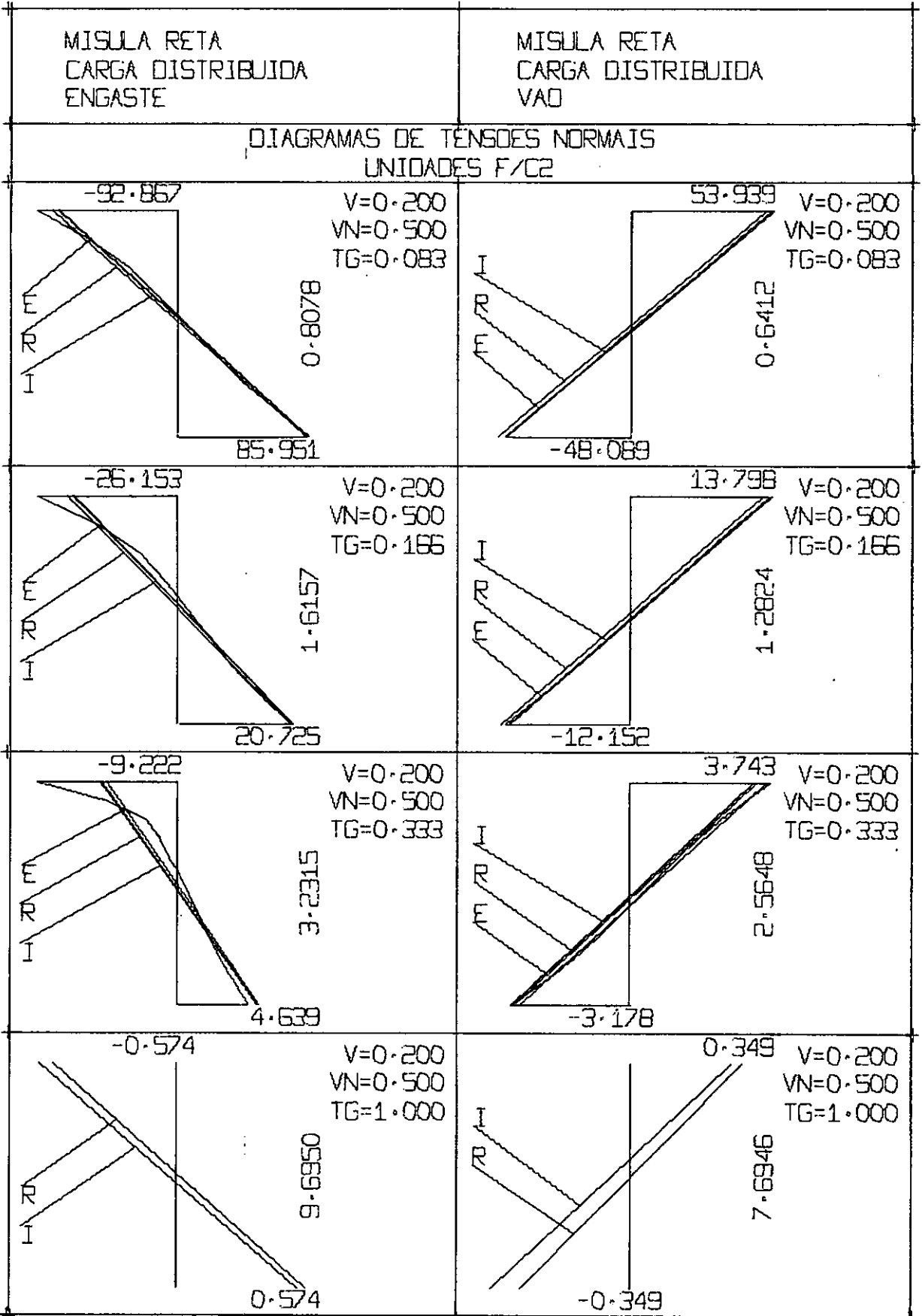


Figura 4.6.23

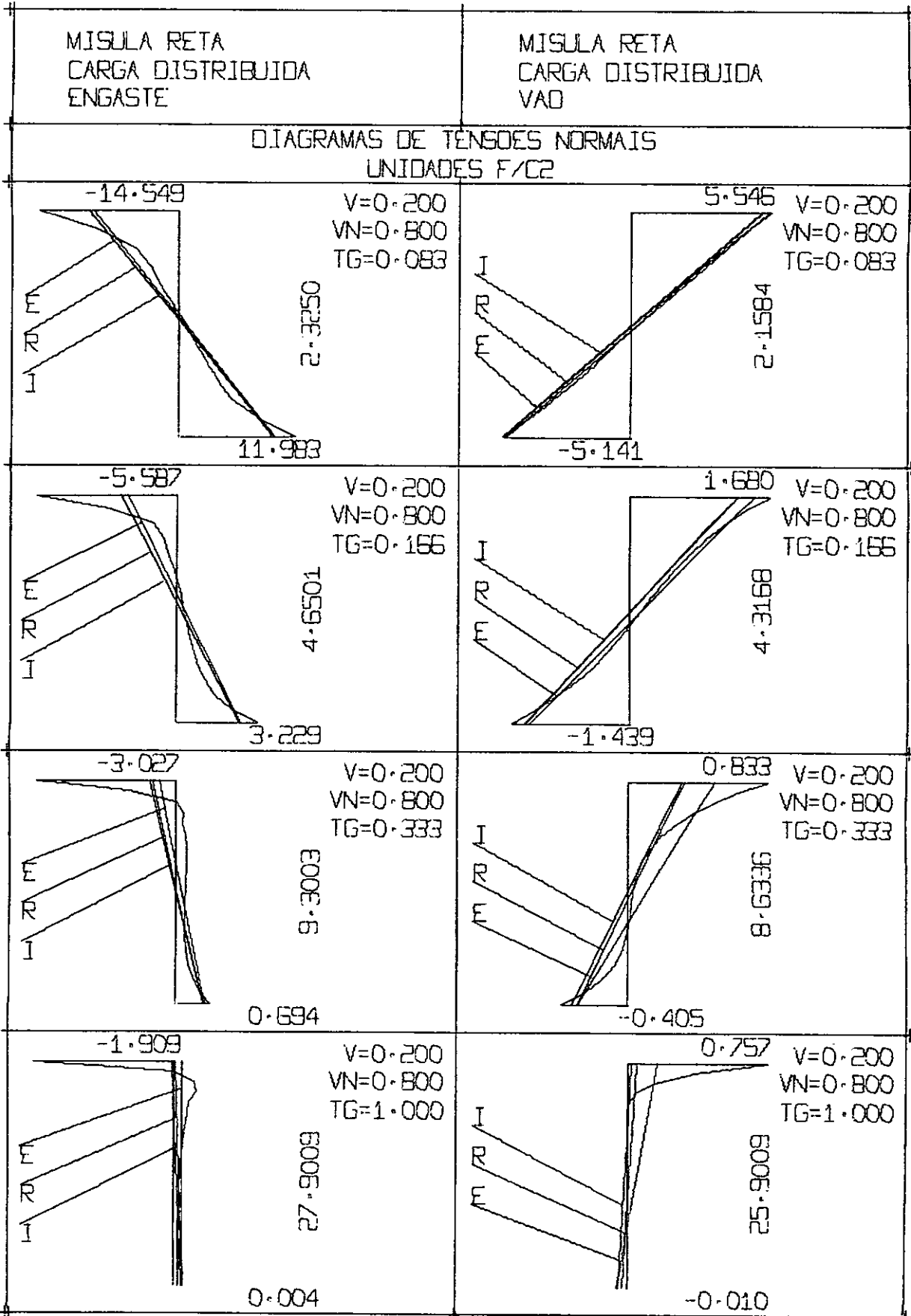


Figura 4.6.24

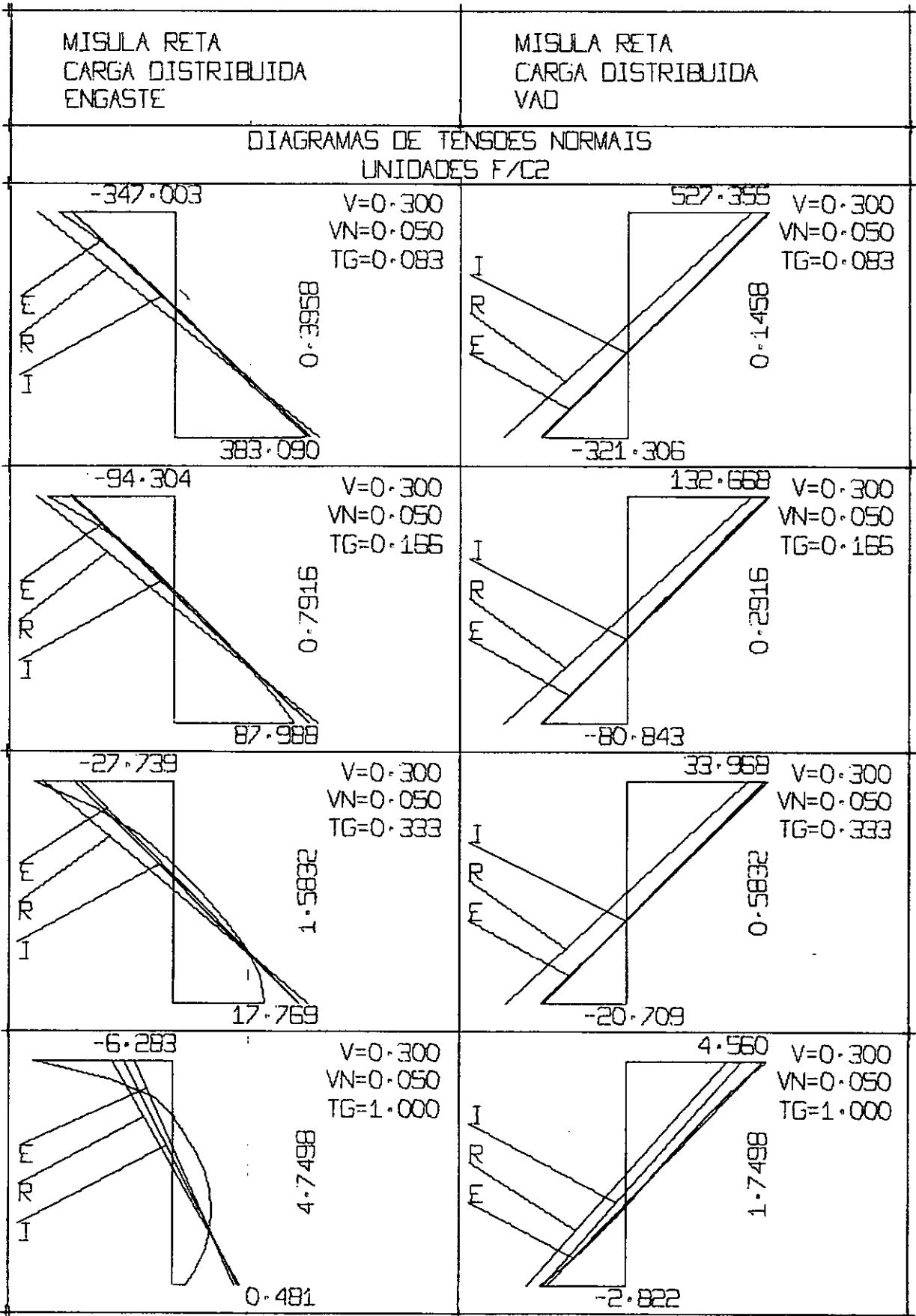


Figura 4.6.25

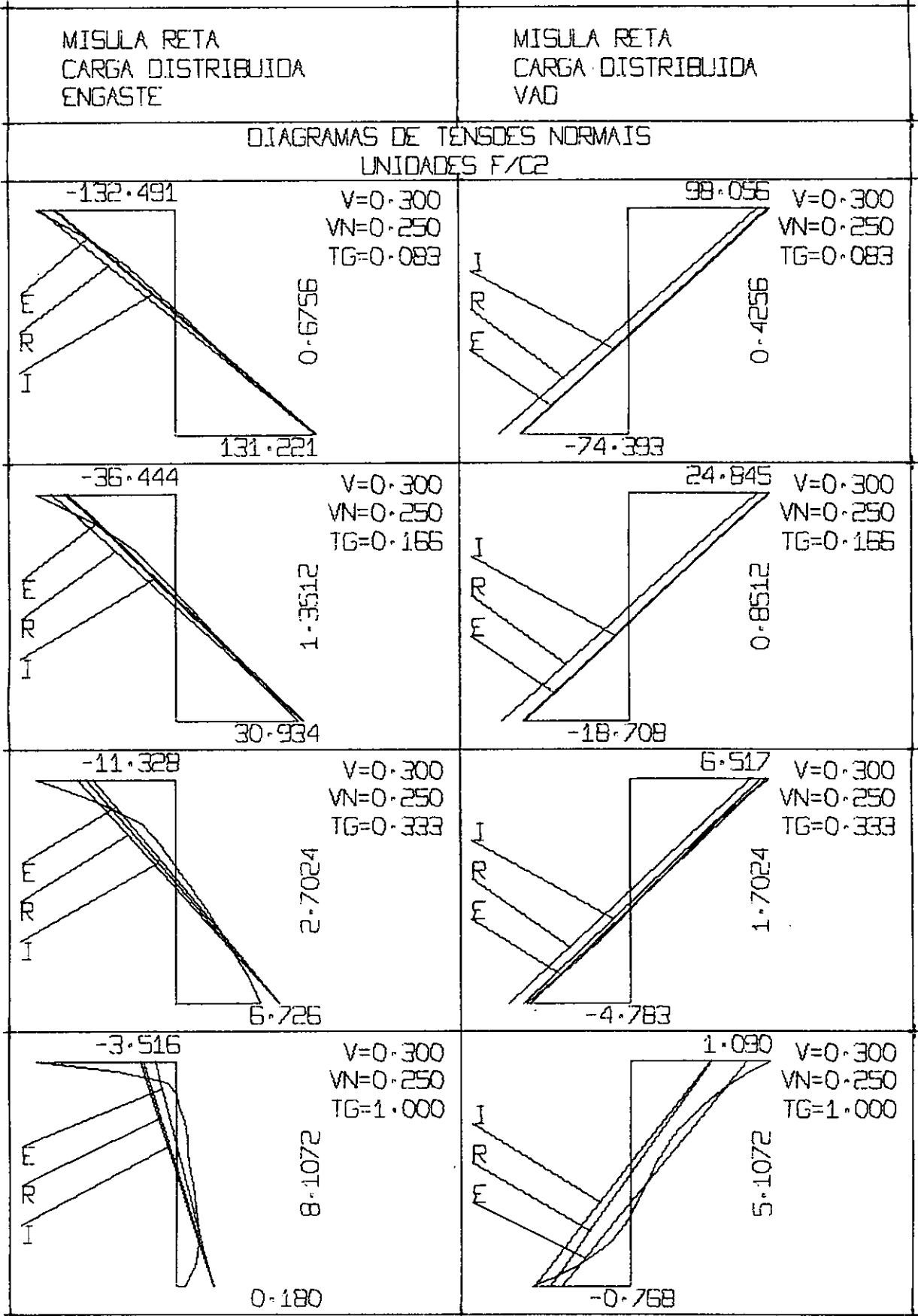


Figura 4.6.26

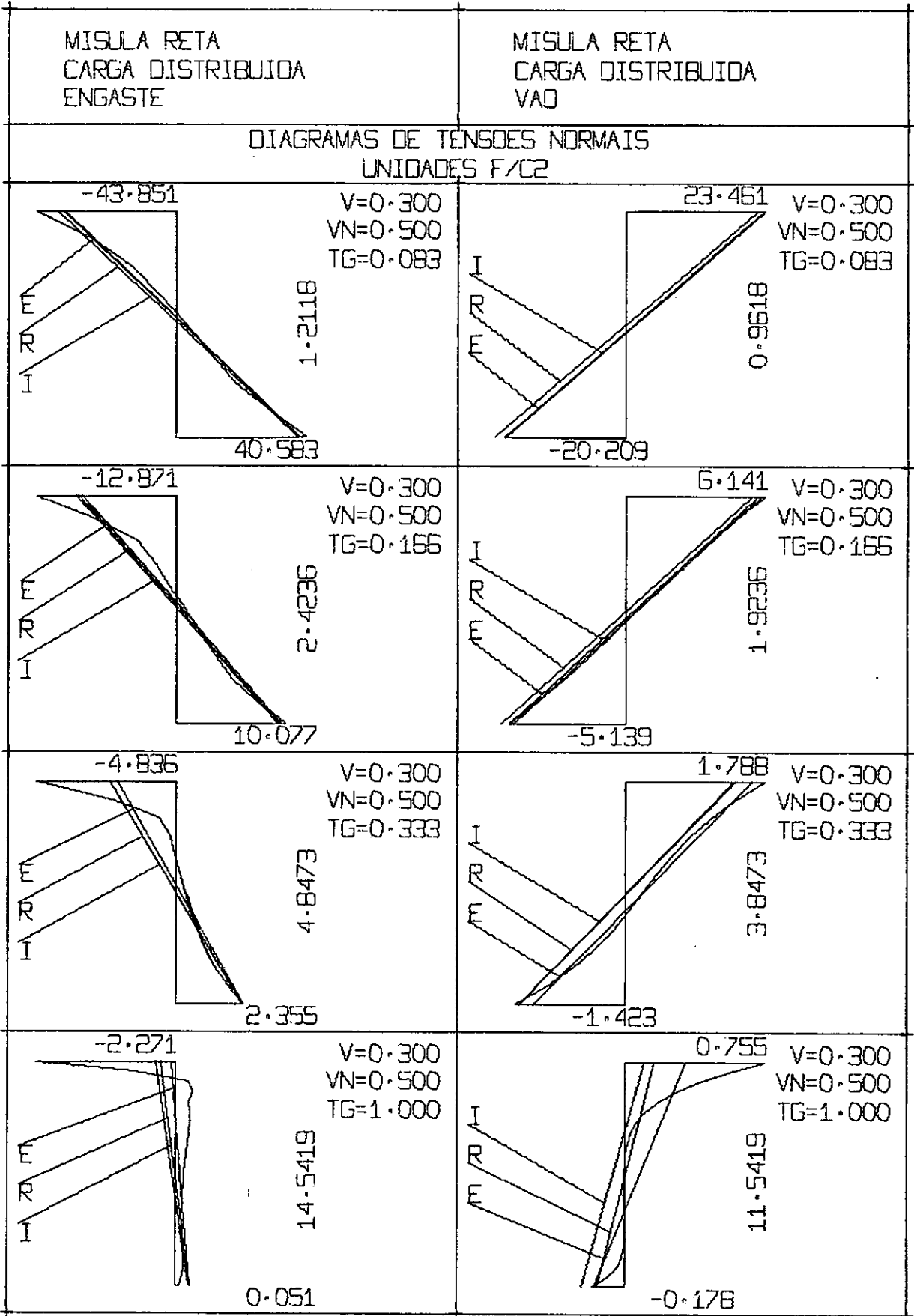


Figura 4.6.27

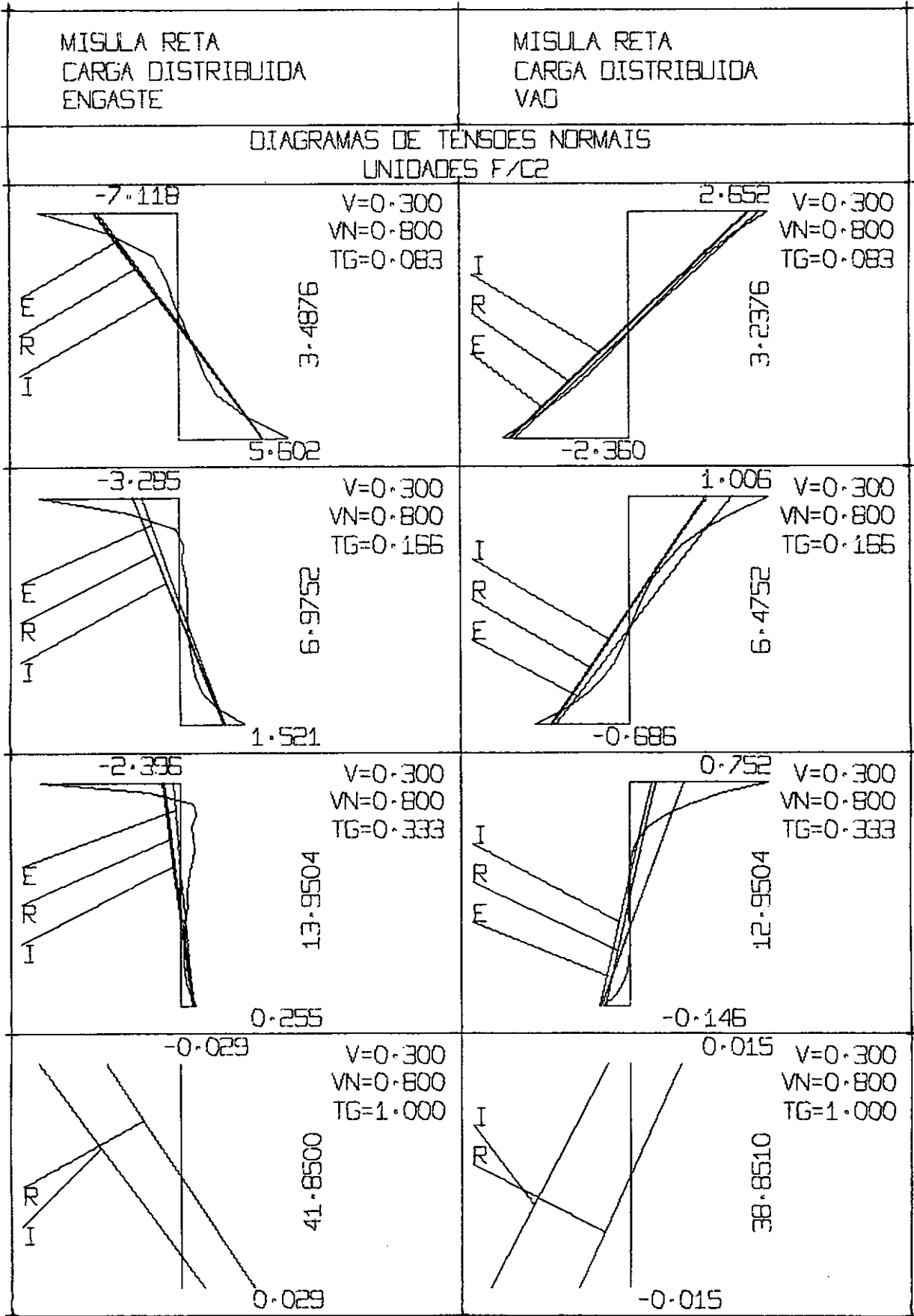


Figura 4.6.28

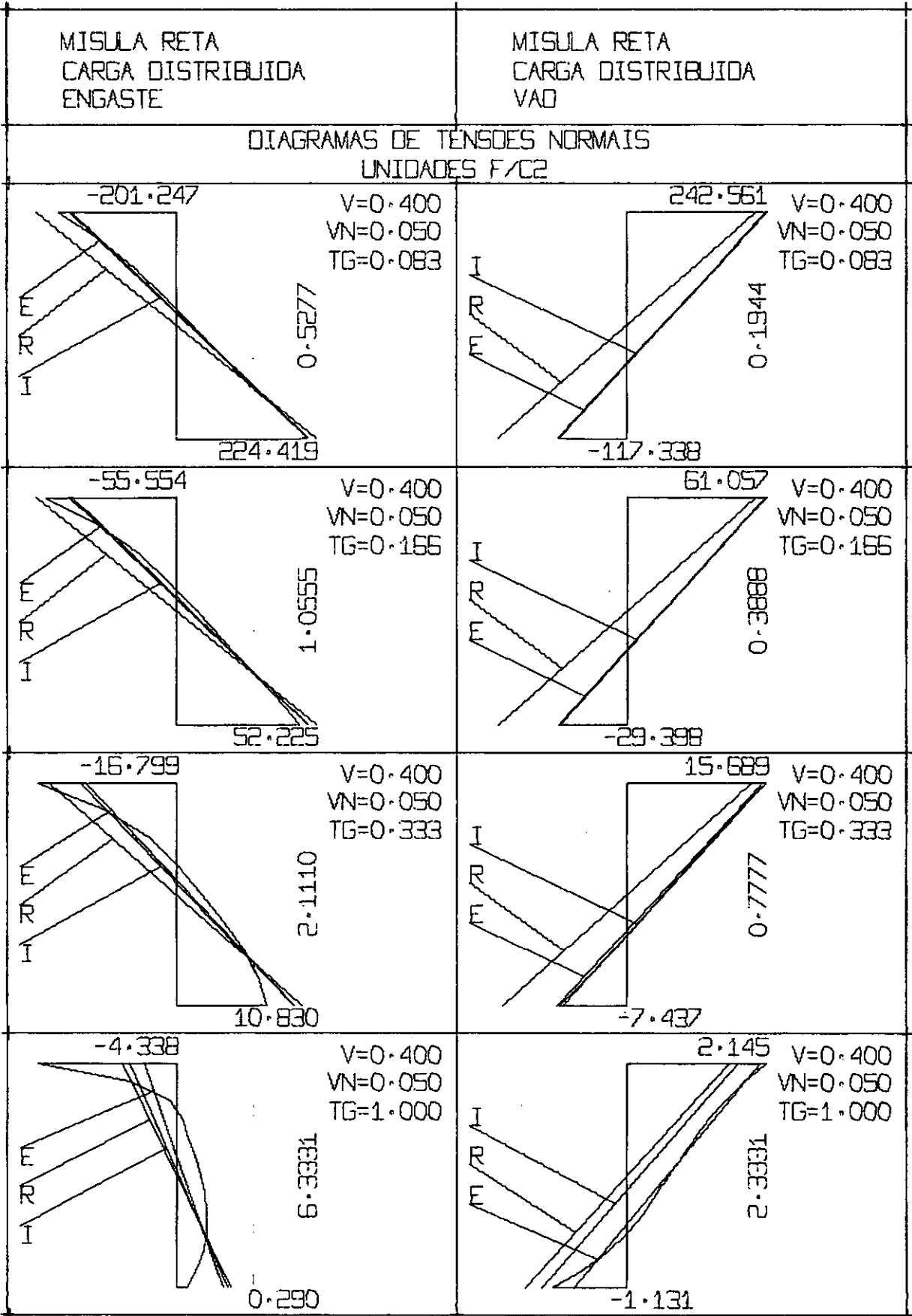


Figura 4.6.29

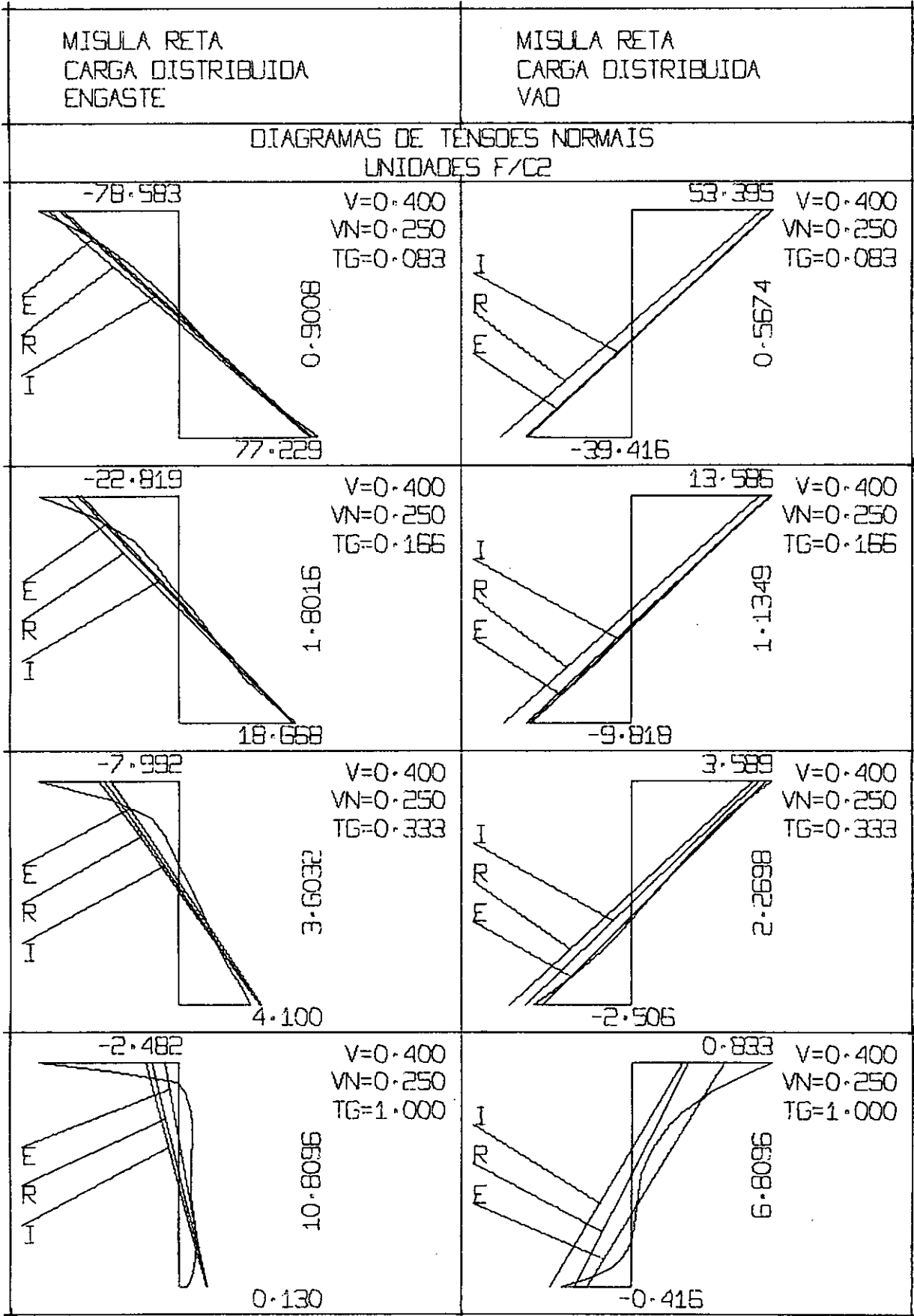


Figura 4.6.30

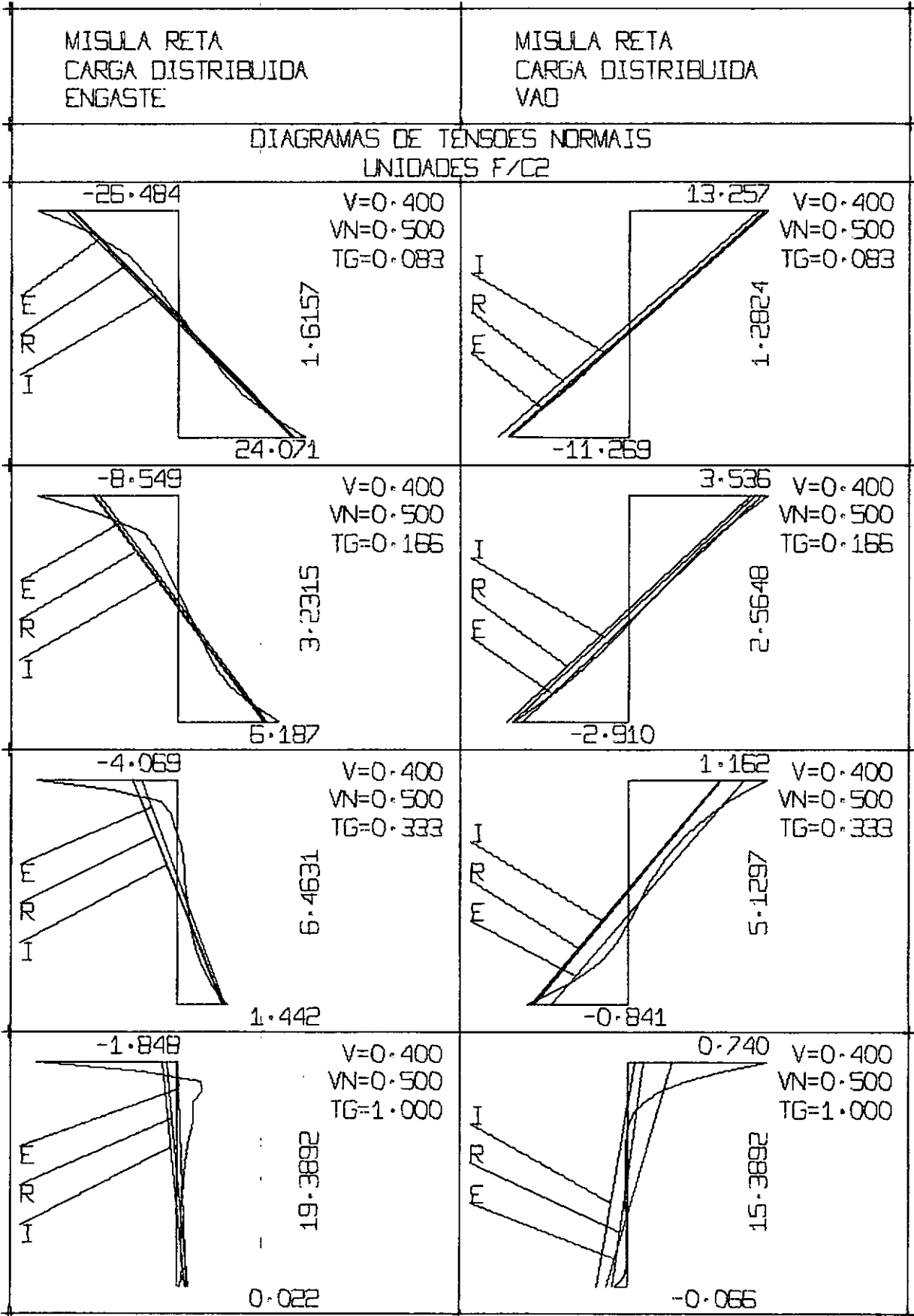


Figura 4.6.31

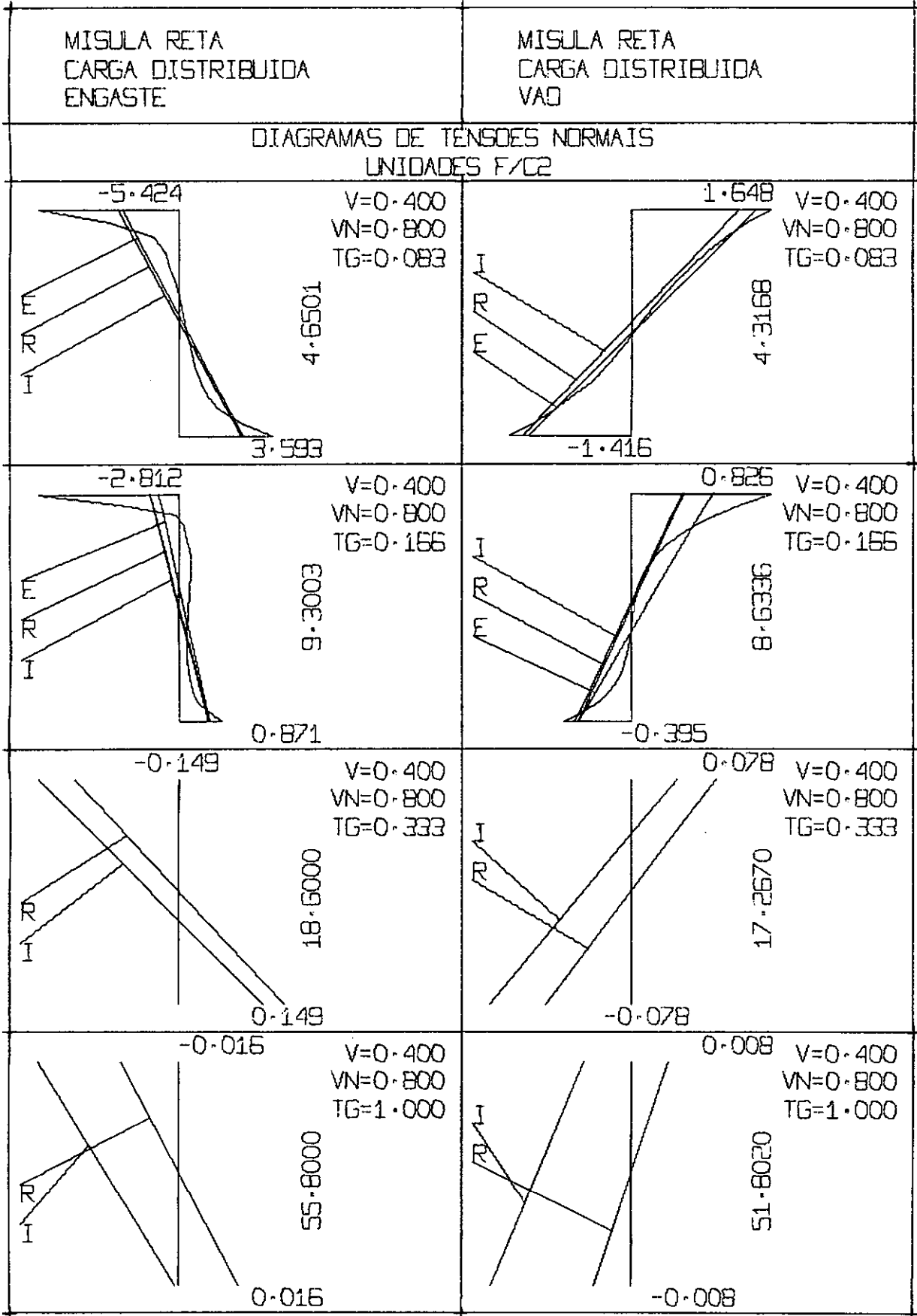


Figura 4.6.32

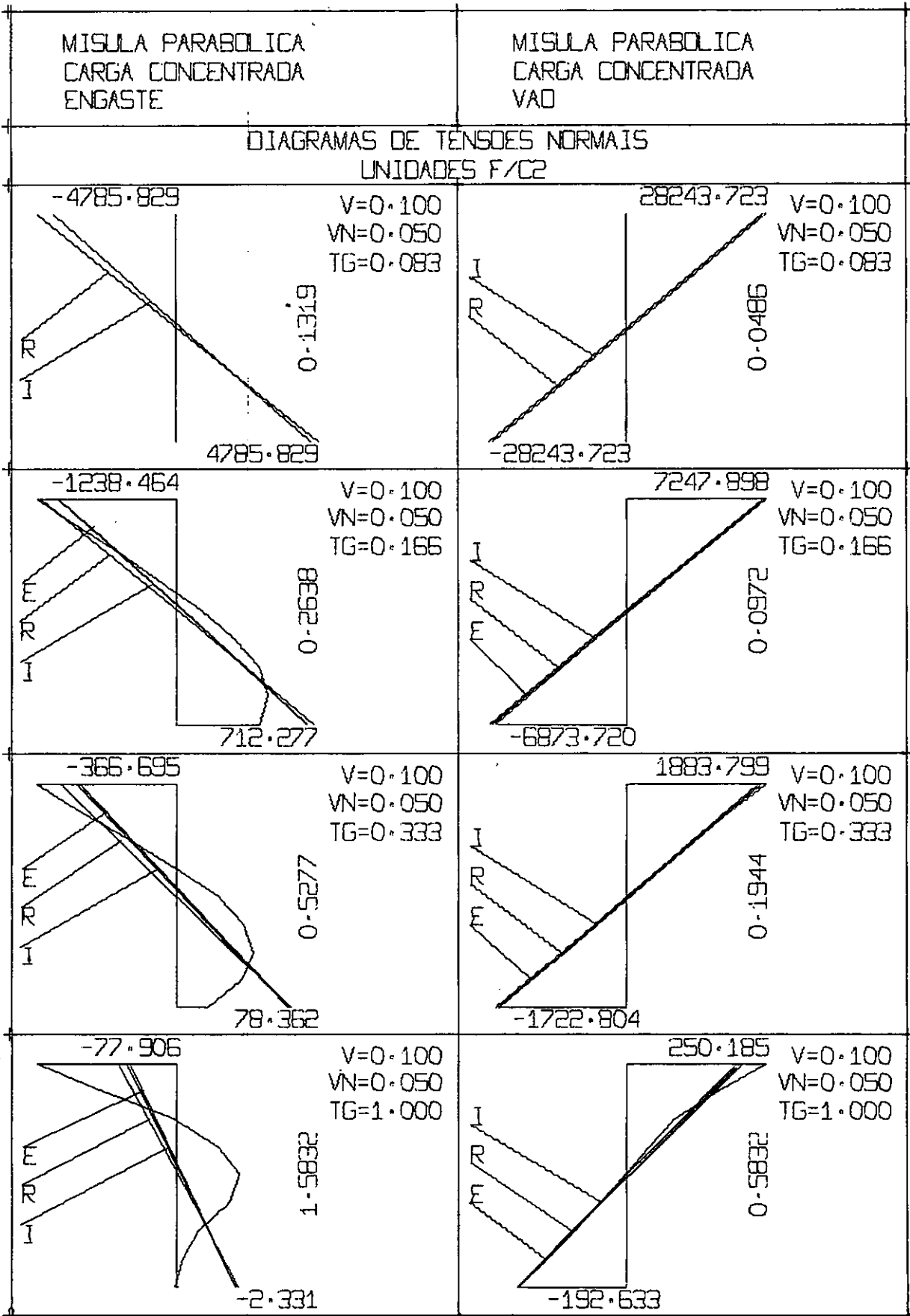


Figura 4.6.33

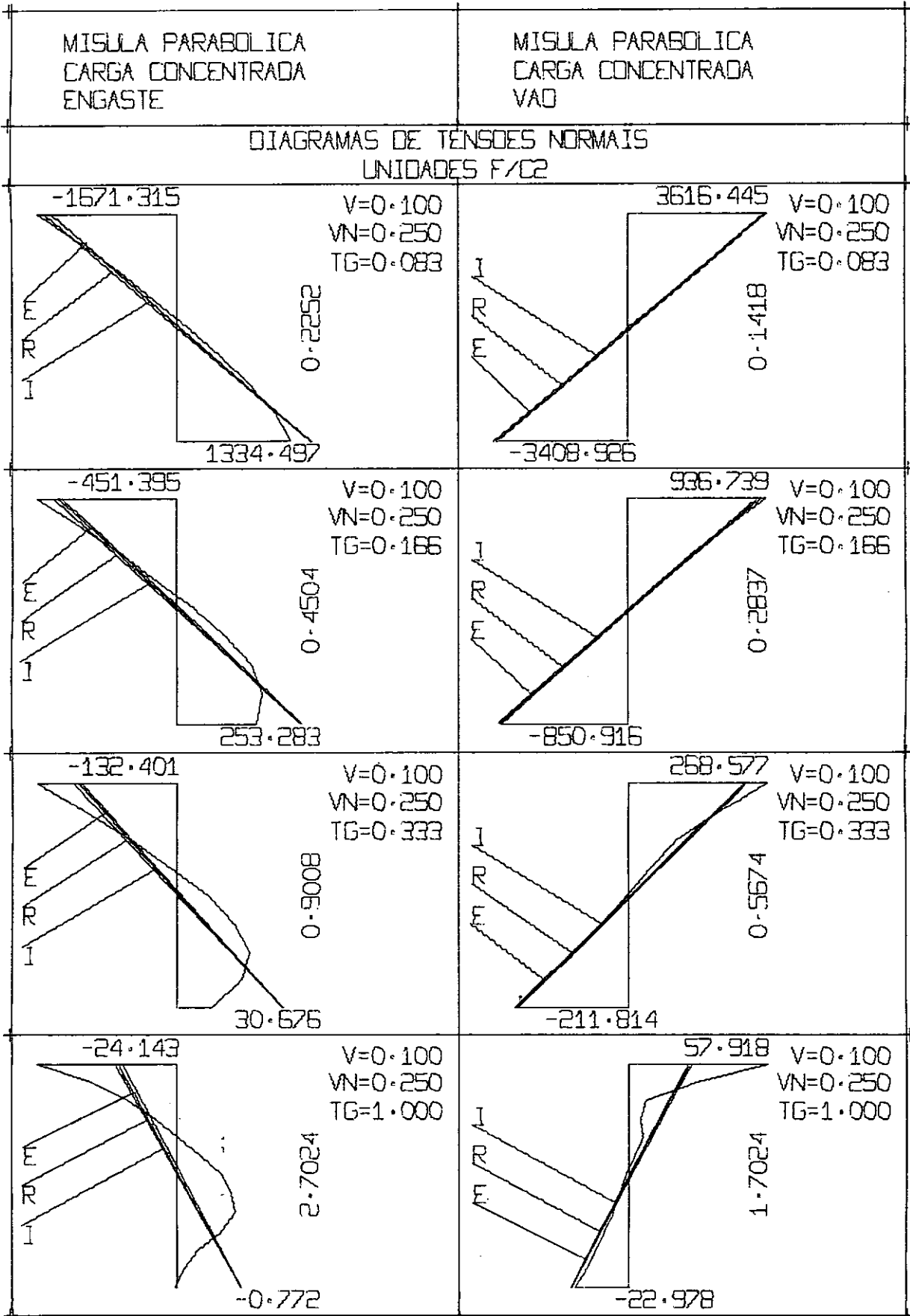


Figura 4.6.34

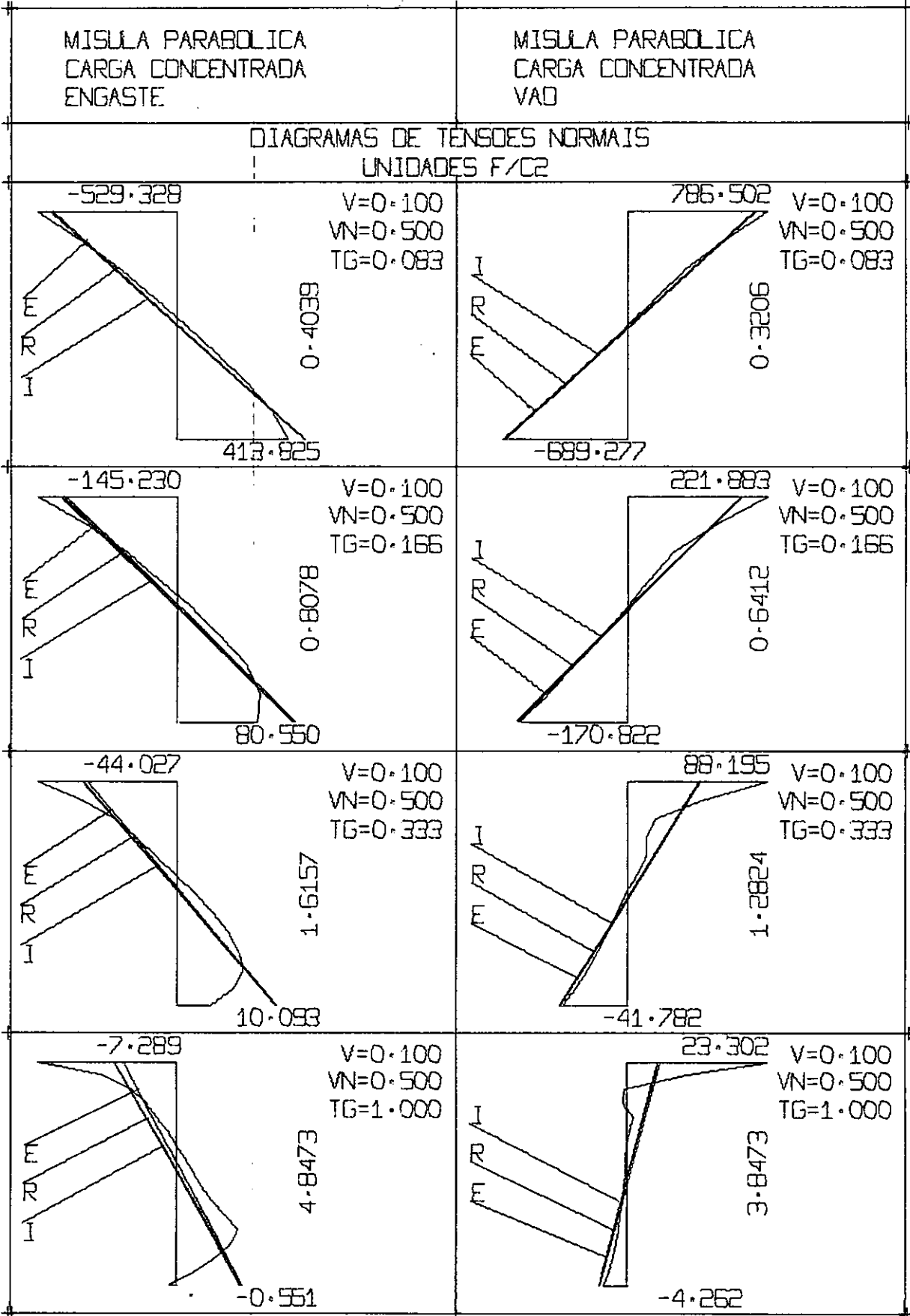


Figura 4.6.35

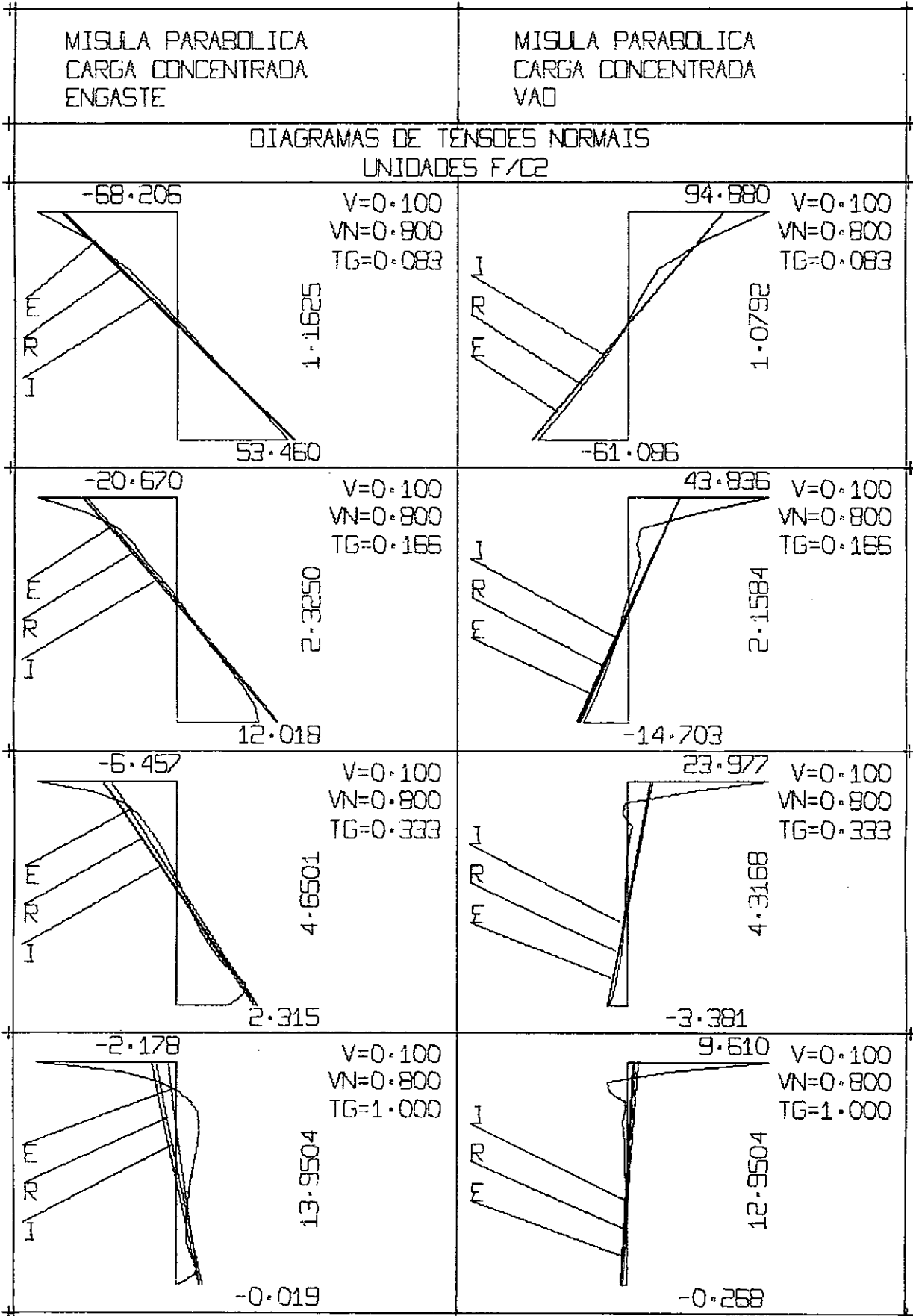


Figura 4.6.36

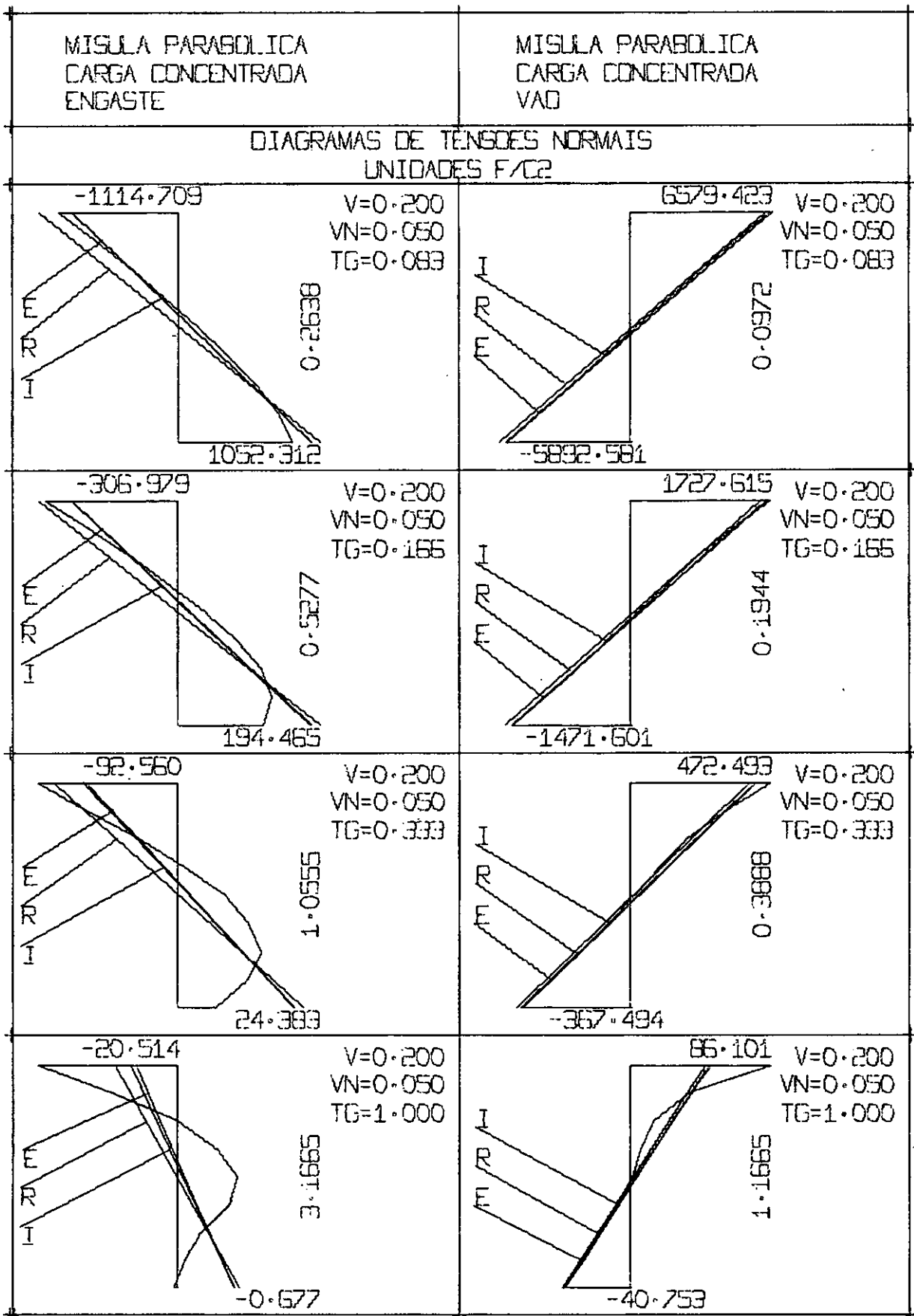


Figura 4.6.37

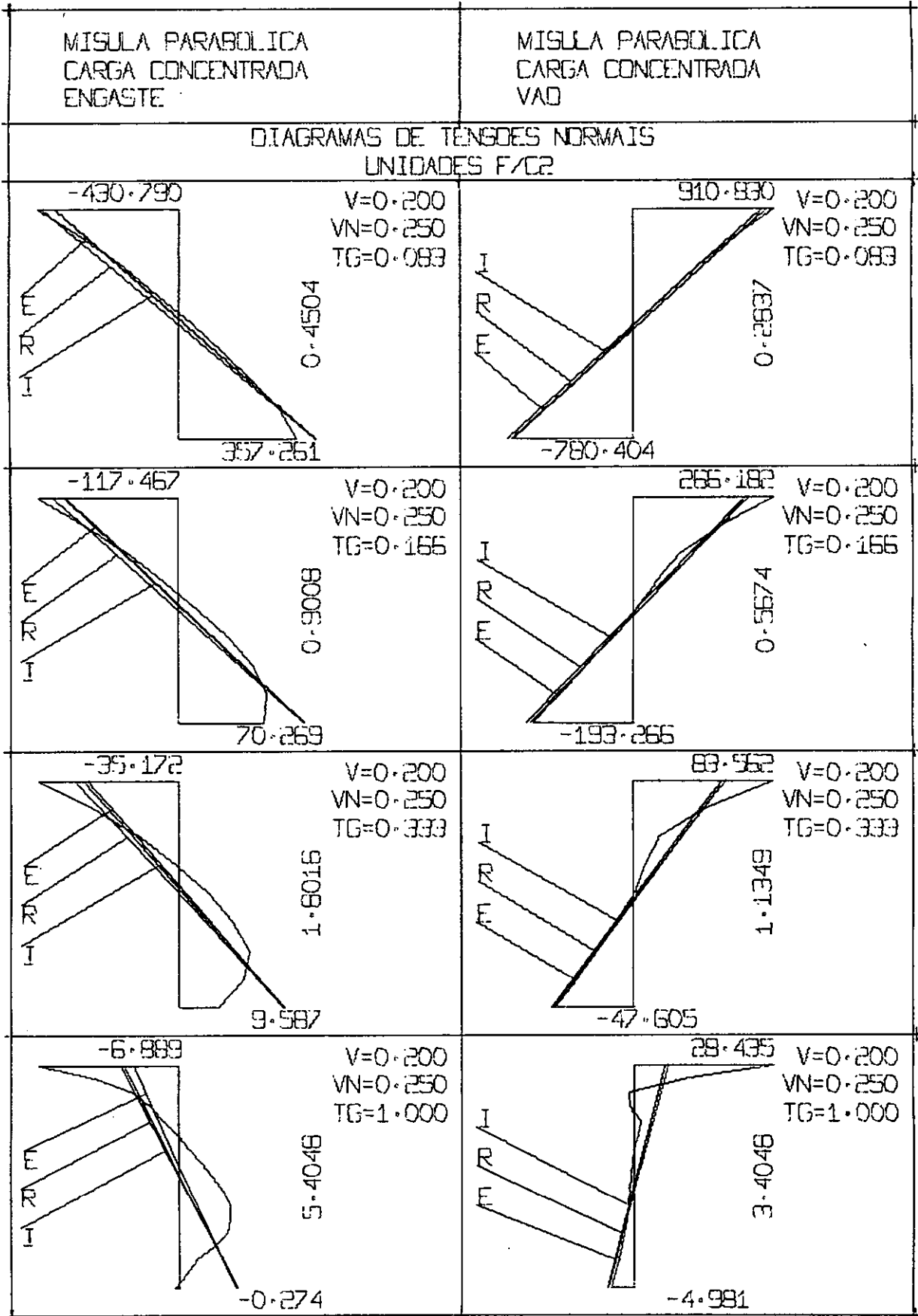


Figura 4.6.38

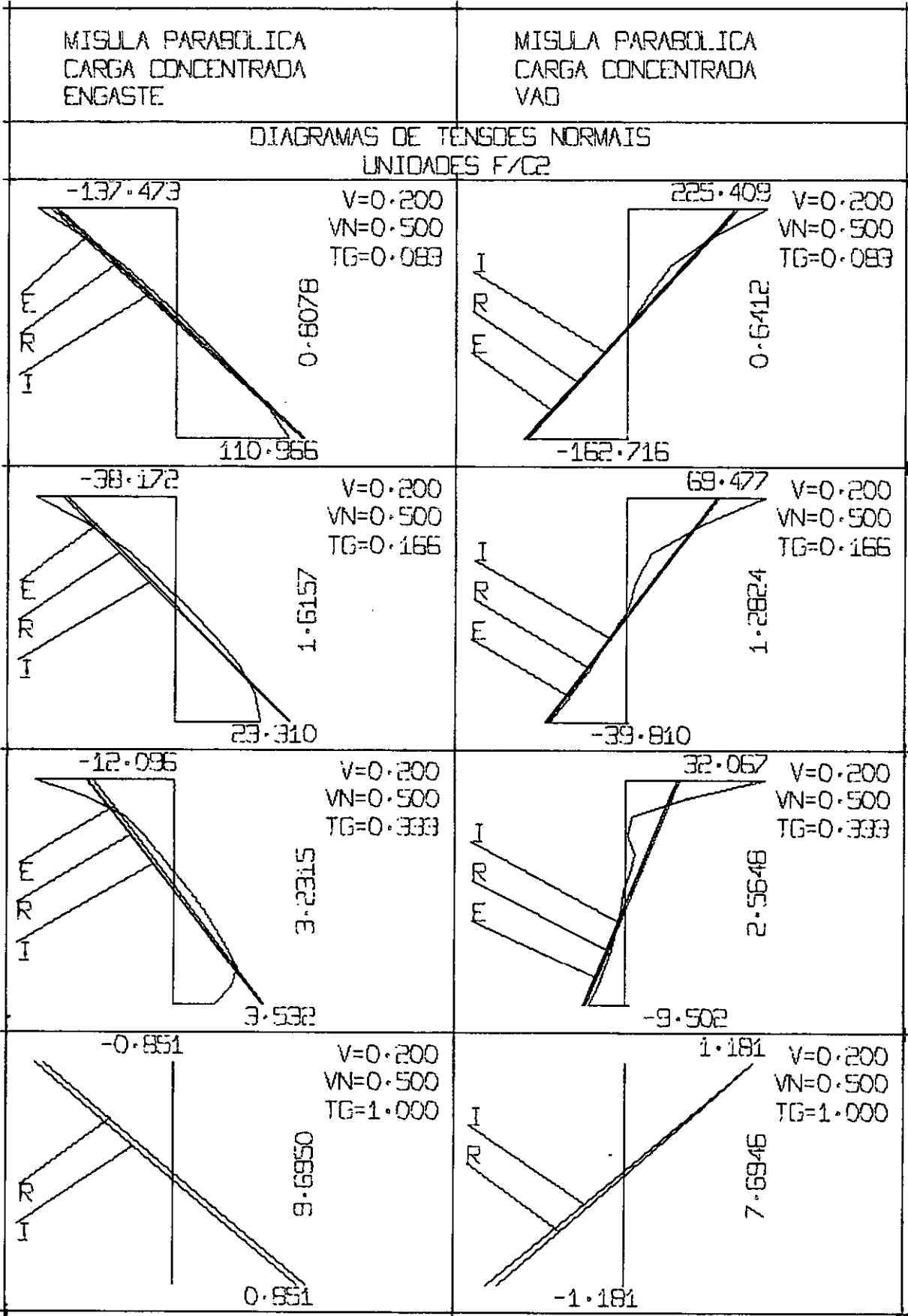


Figura 4.6.39

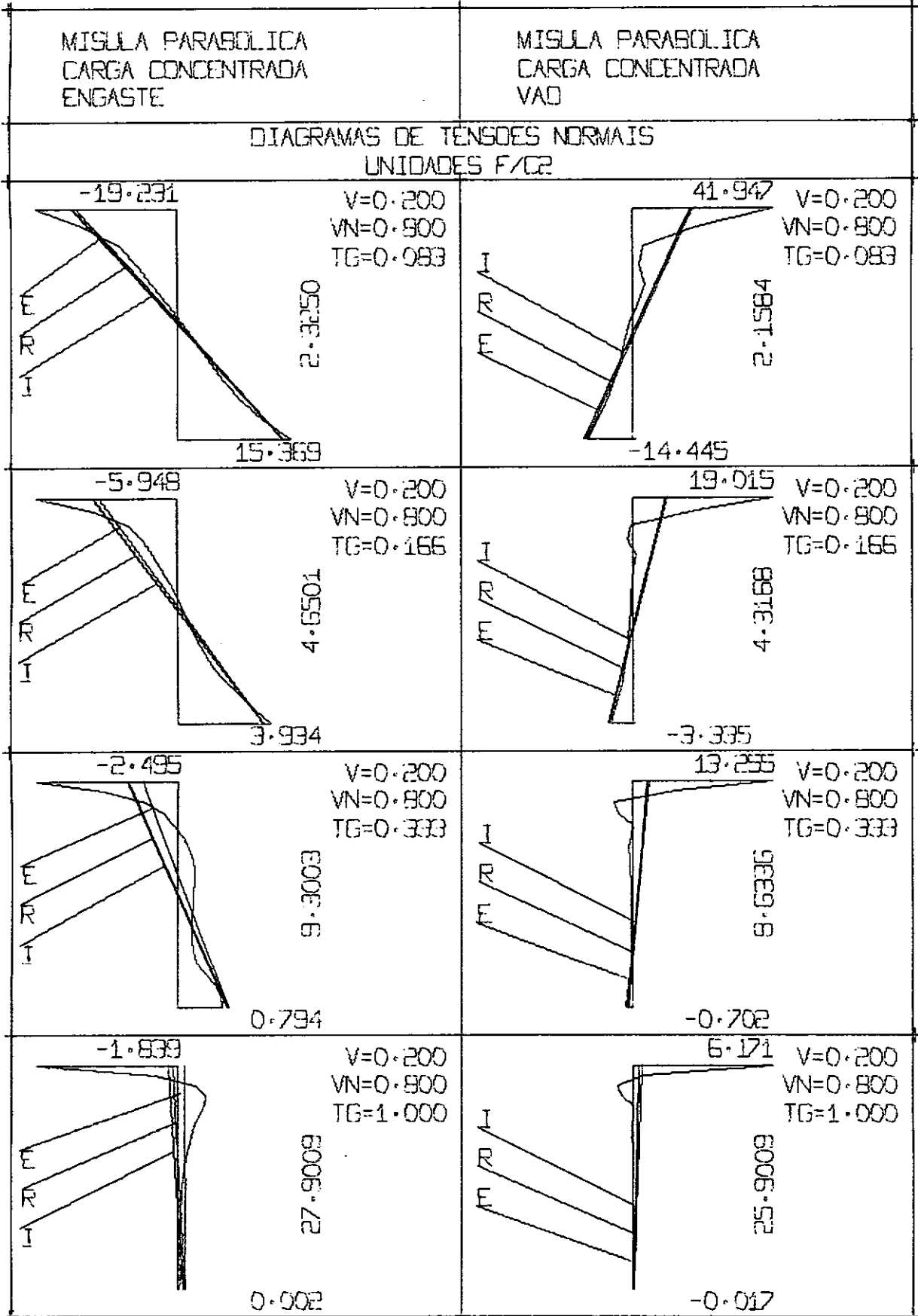


Figura 4.6.40

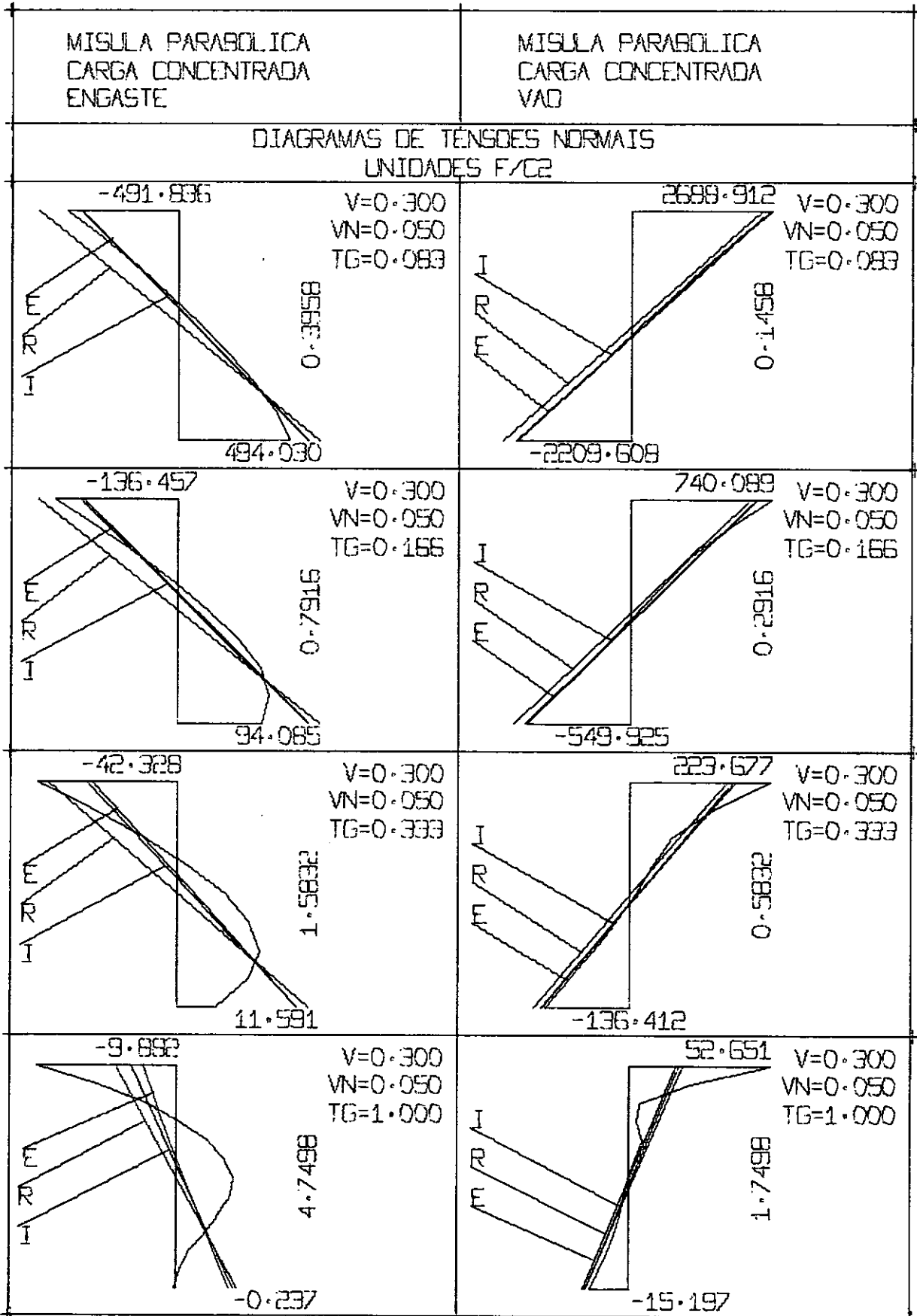


Figura 4.6.41

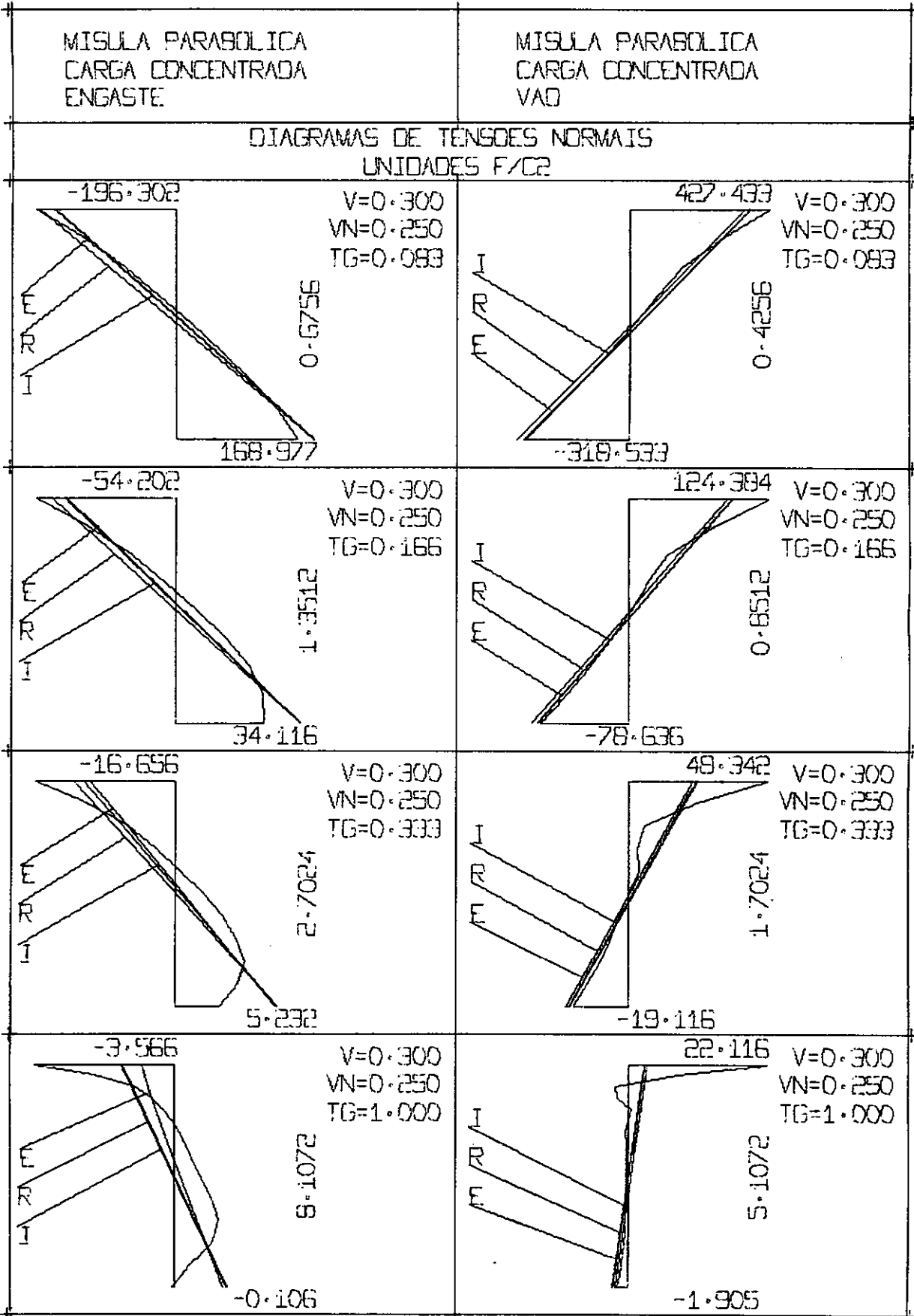


Figura 4.6.42

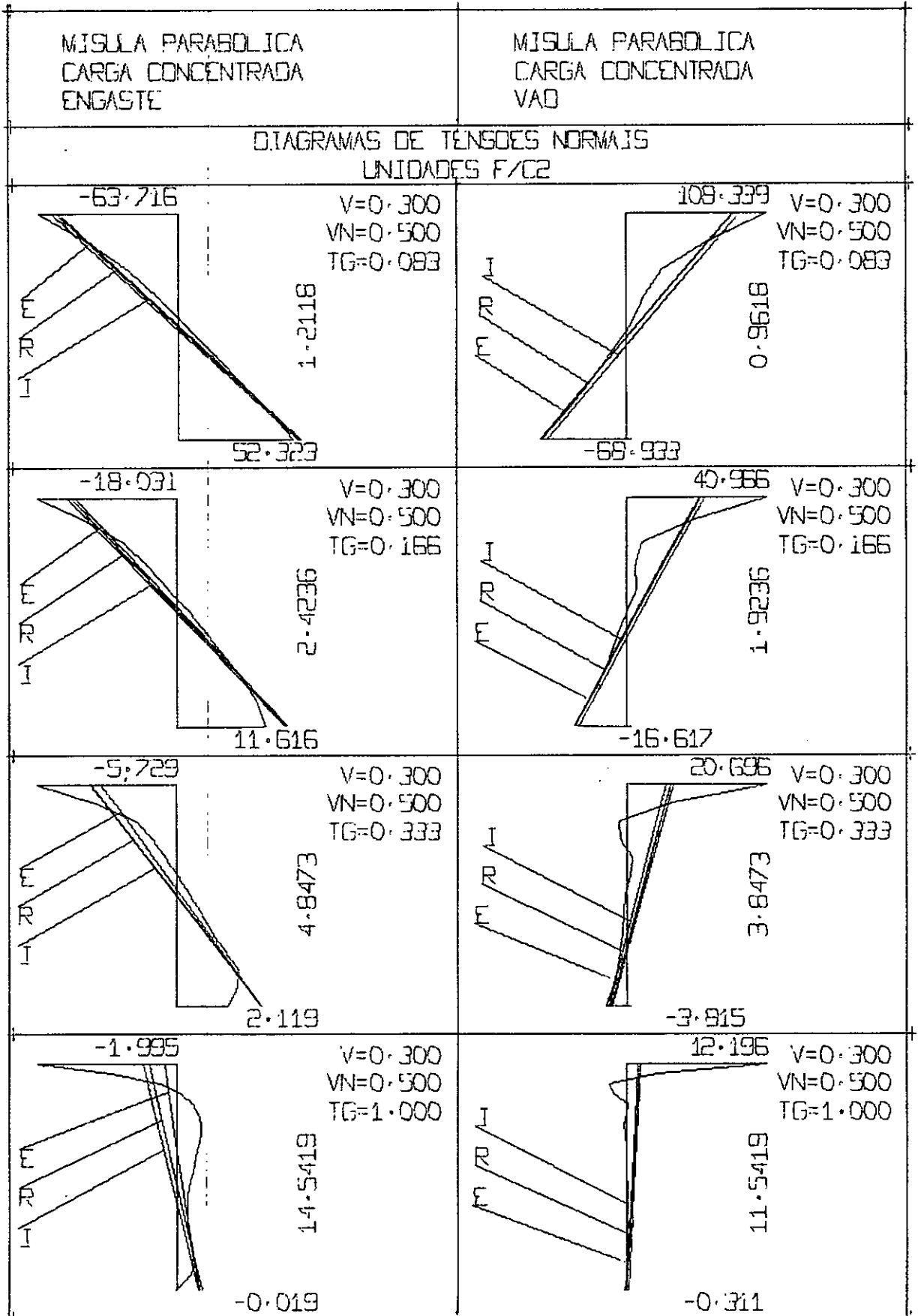


Figura 4.6.43

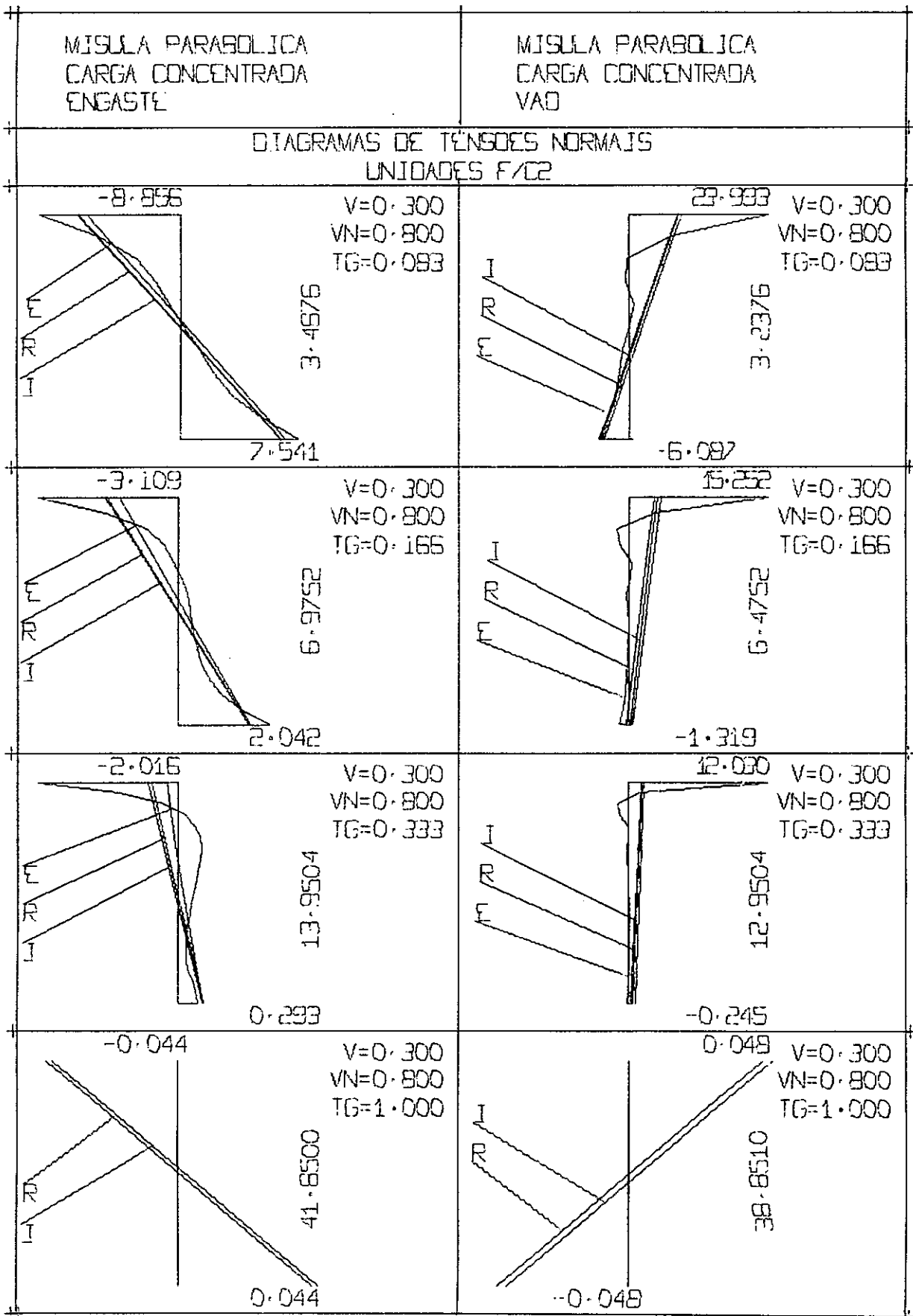


Figura 4.6.44

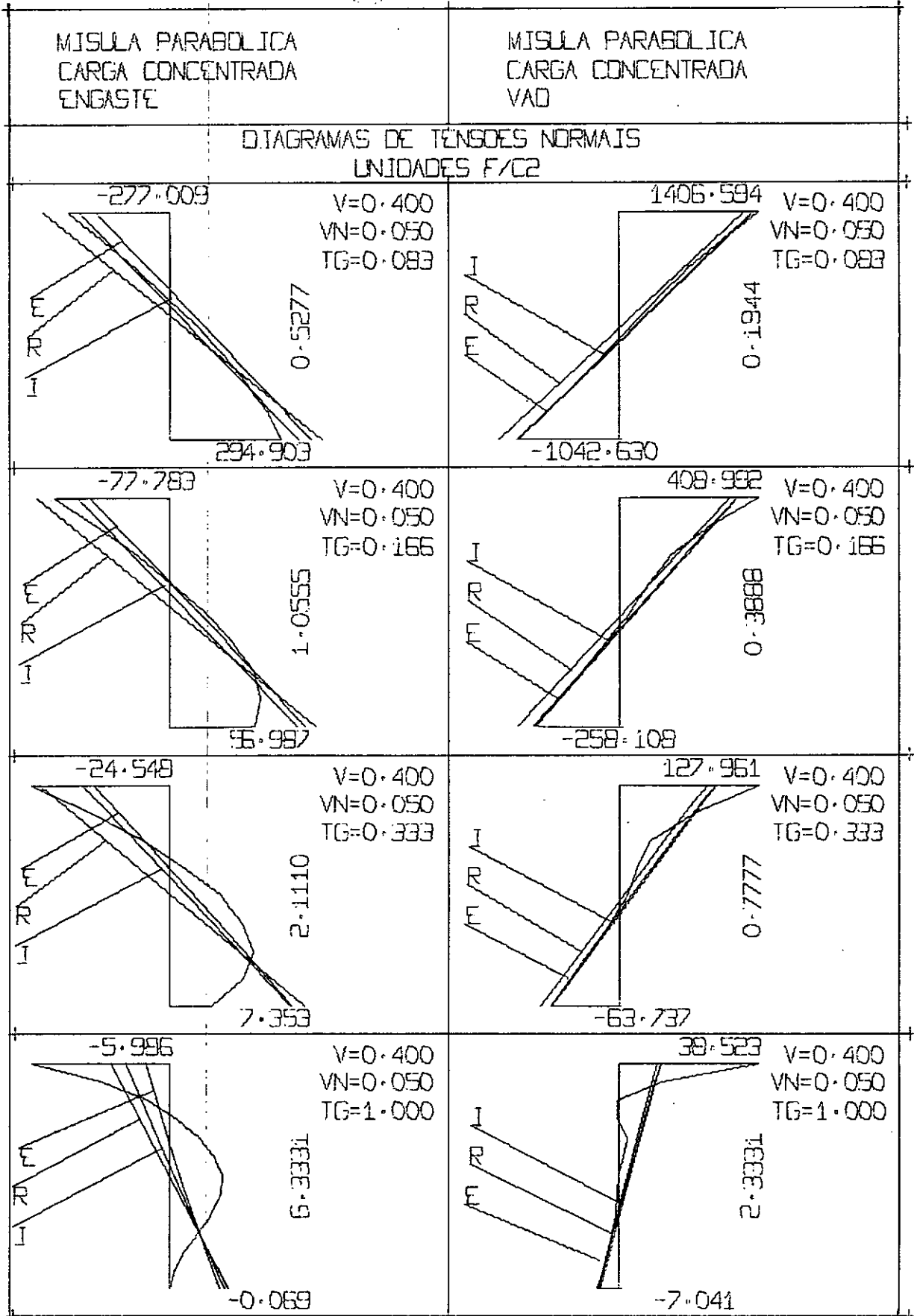


Figura 4.6.45

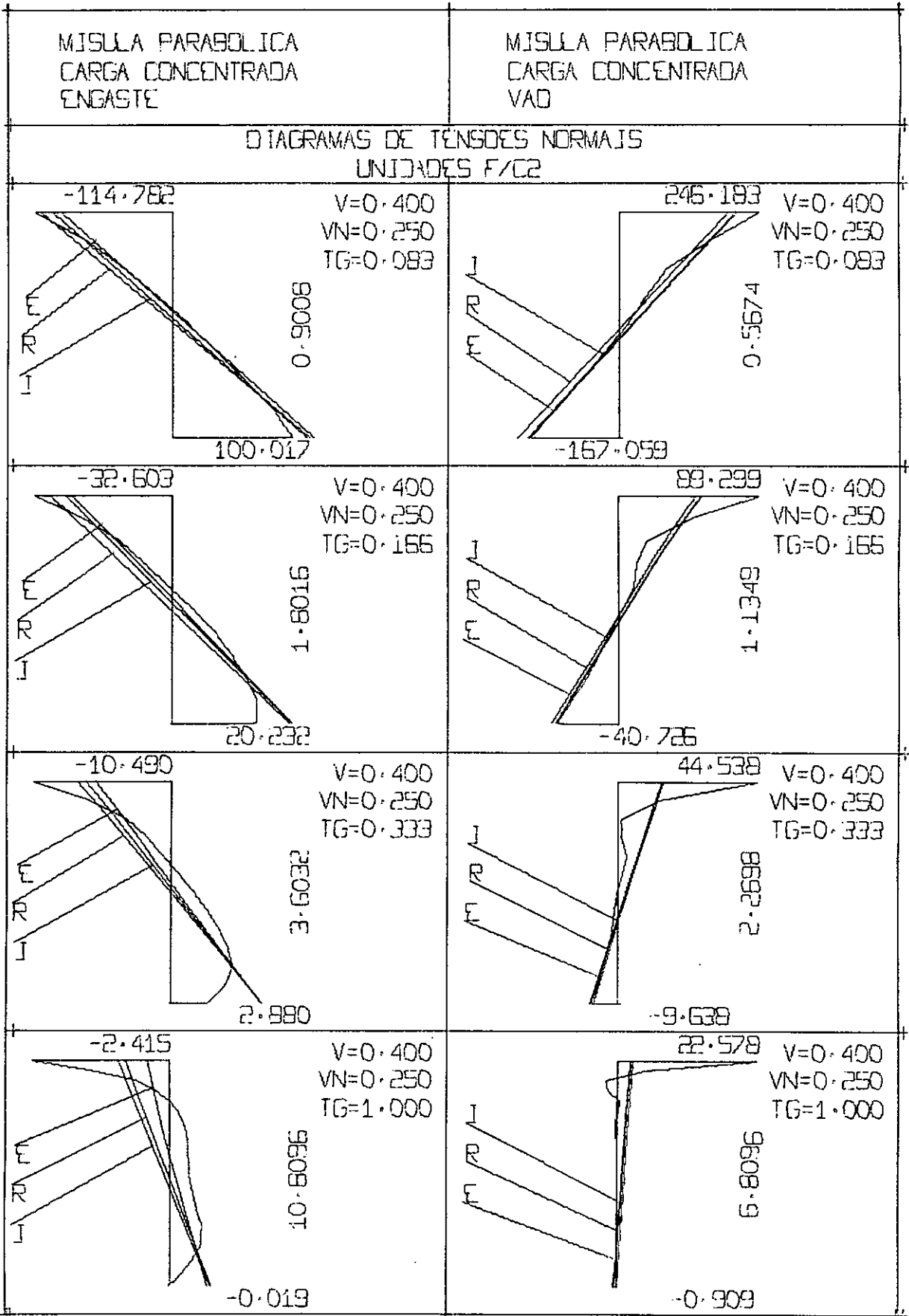


Figura 4.6.46

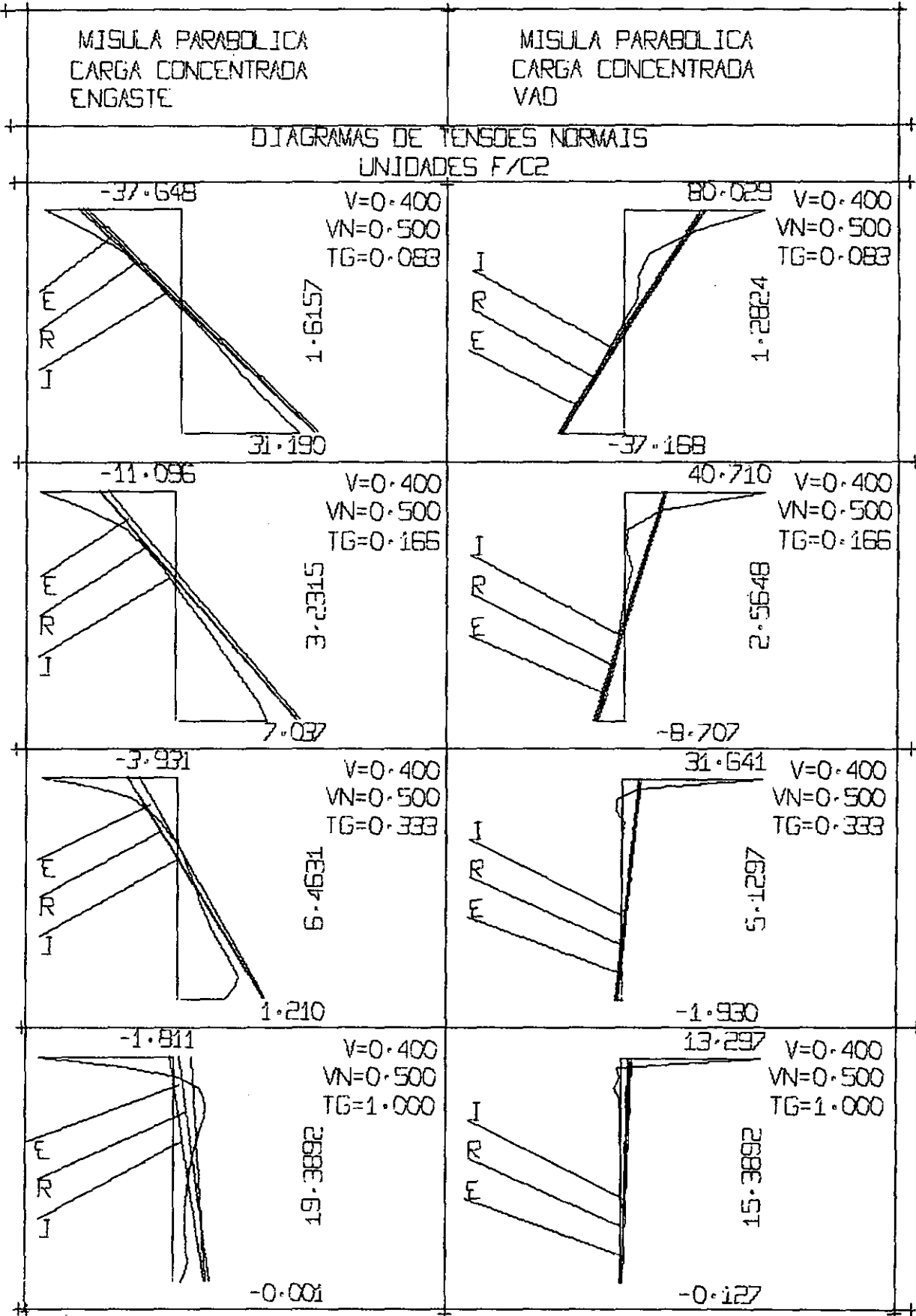


Figura 4.6.47

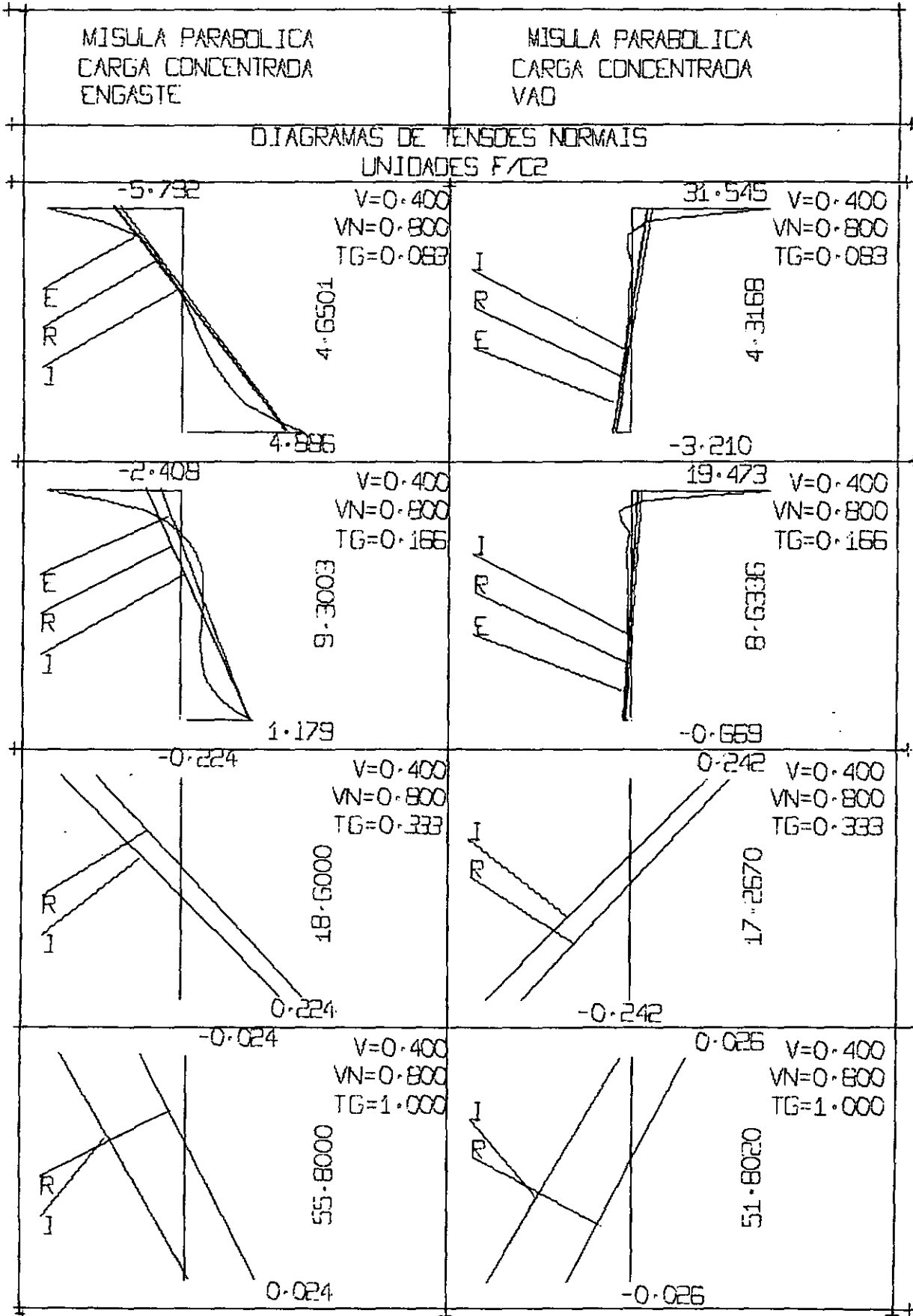


Figura 4.6.48

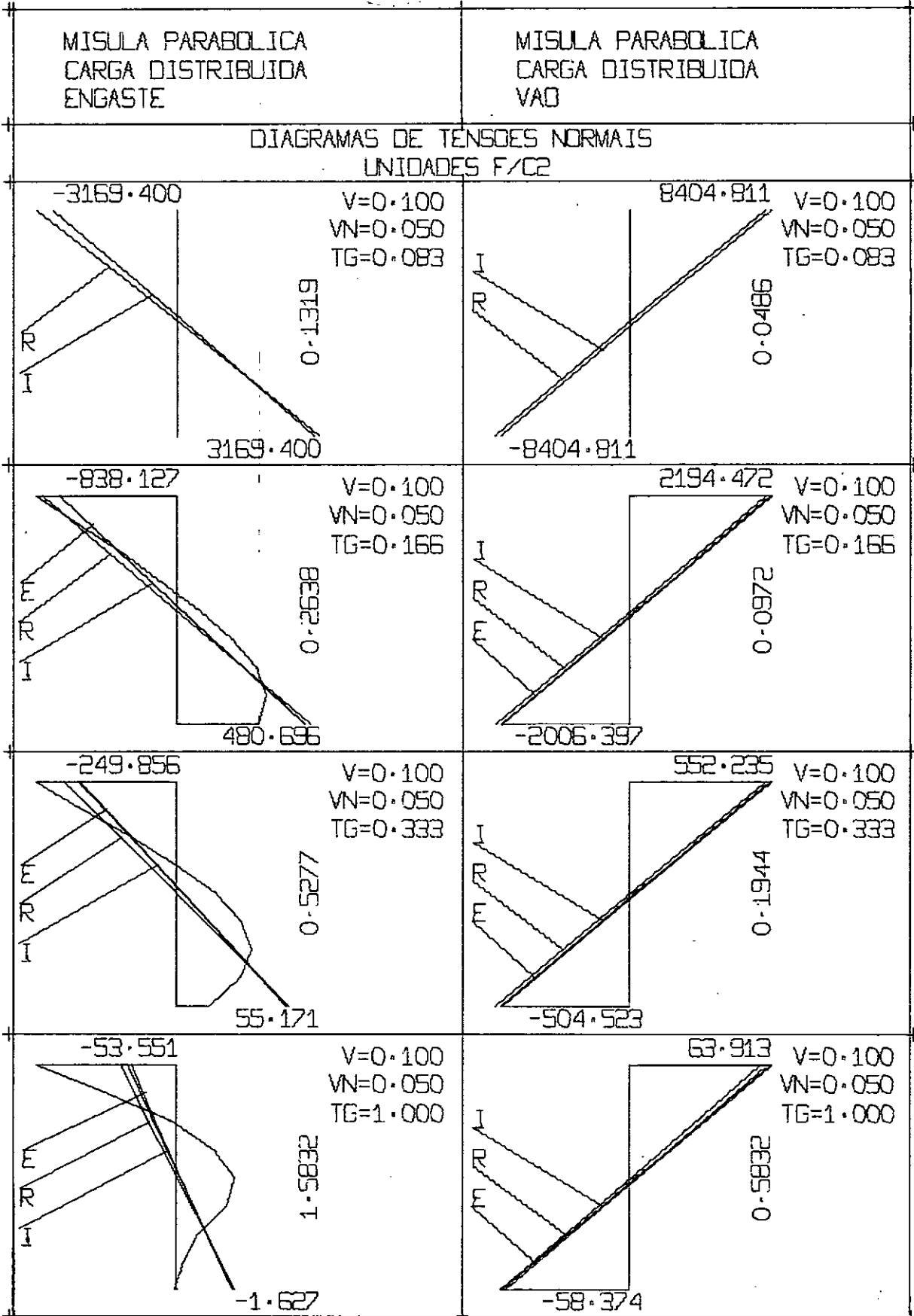


Figura 4.6.49

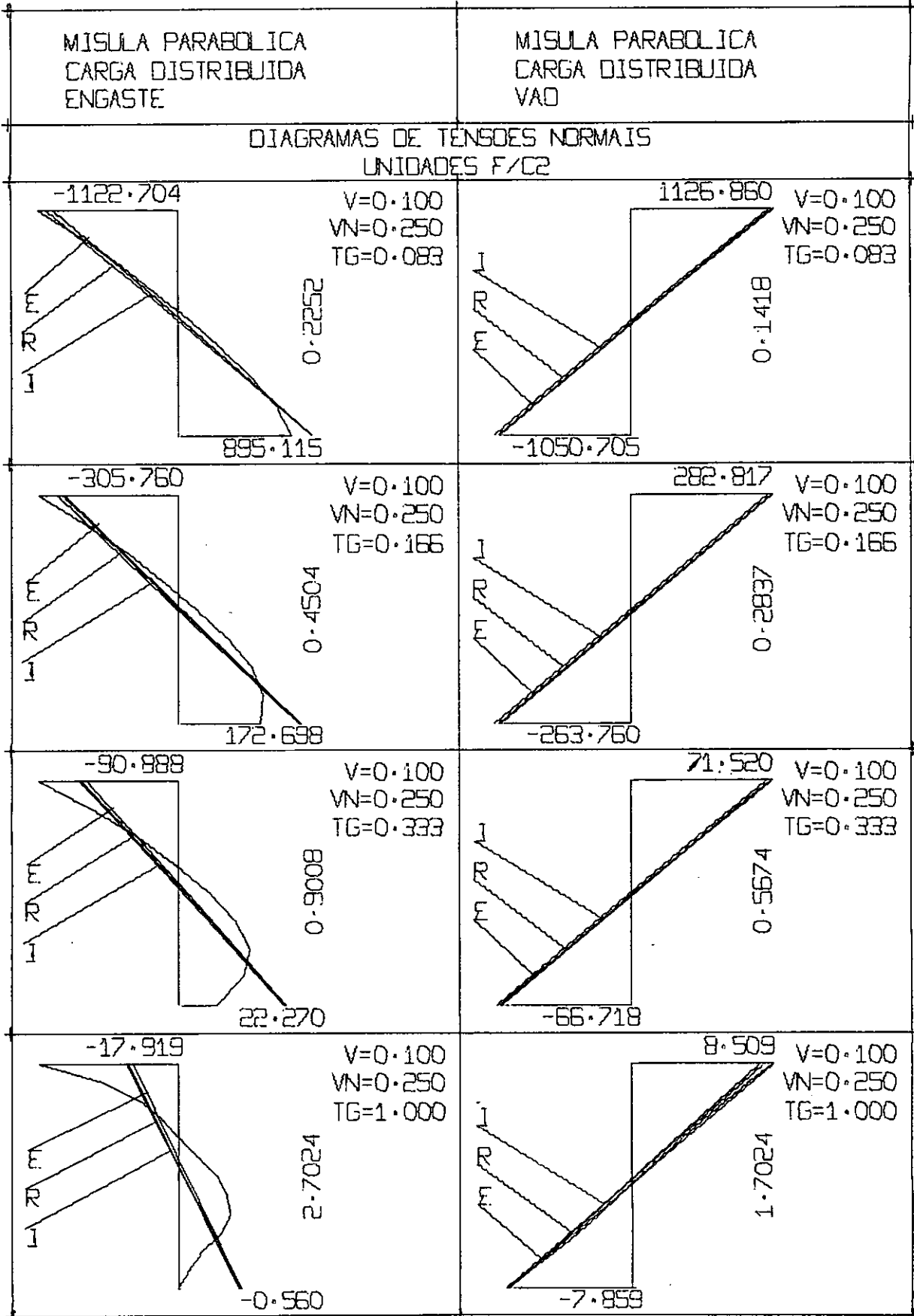


Figura 4.6.50

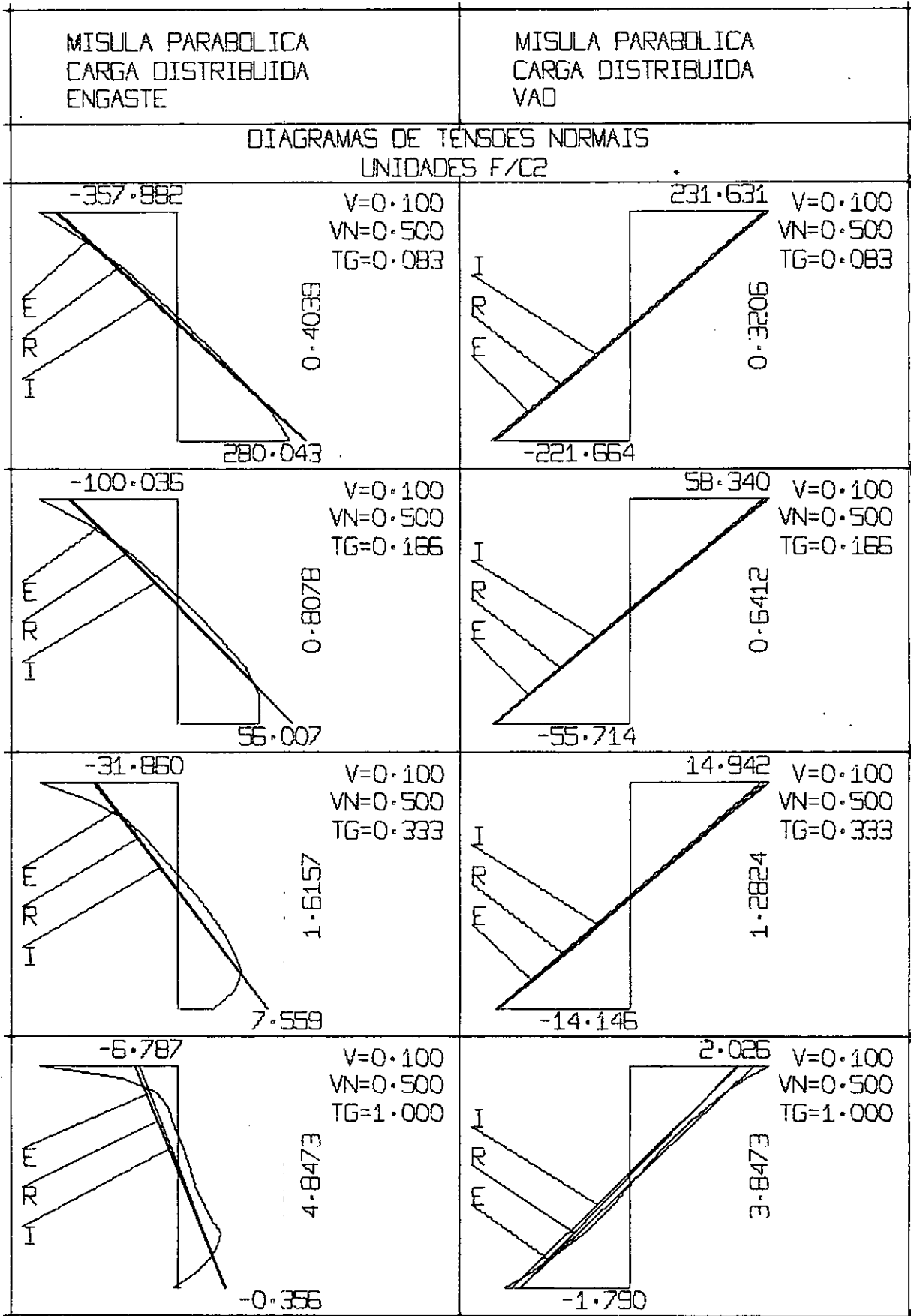


Figura 4.6.51

MISULA PARABOLICA
CARGA DISTRIBUIDA
ENGASTE

MISULA PARABOLICA
CARGA DISTRIBUIDA
VAO

DIAGRAMAS DE TENSÕES NORMAIS
UNIDADES F/C2

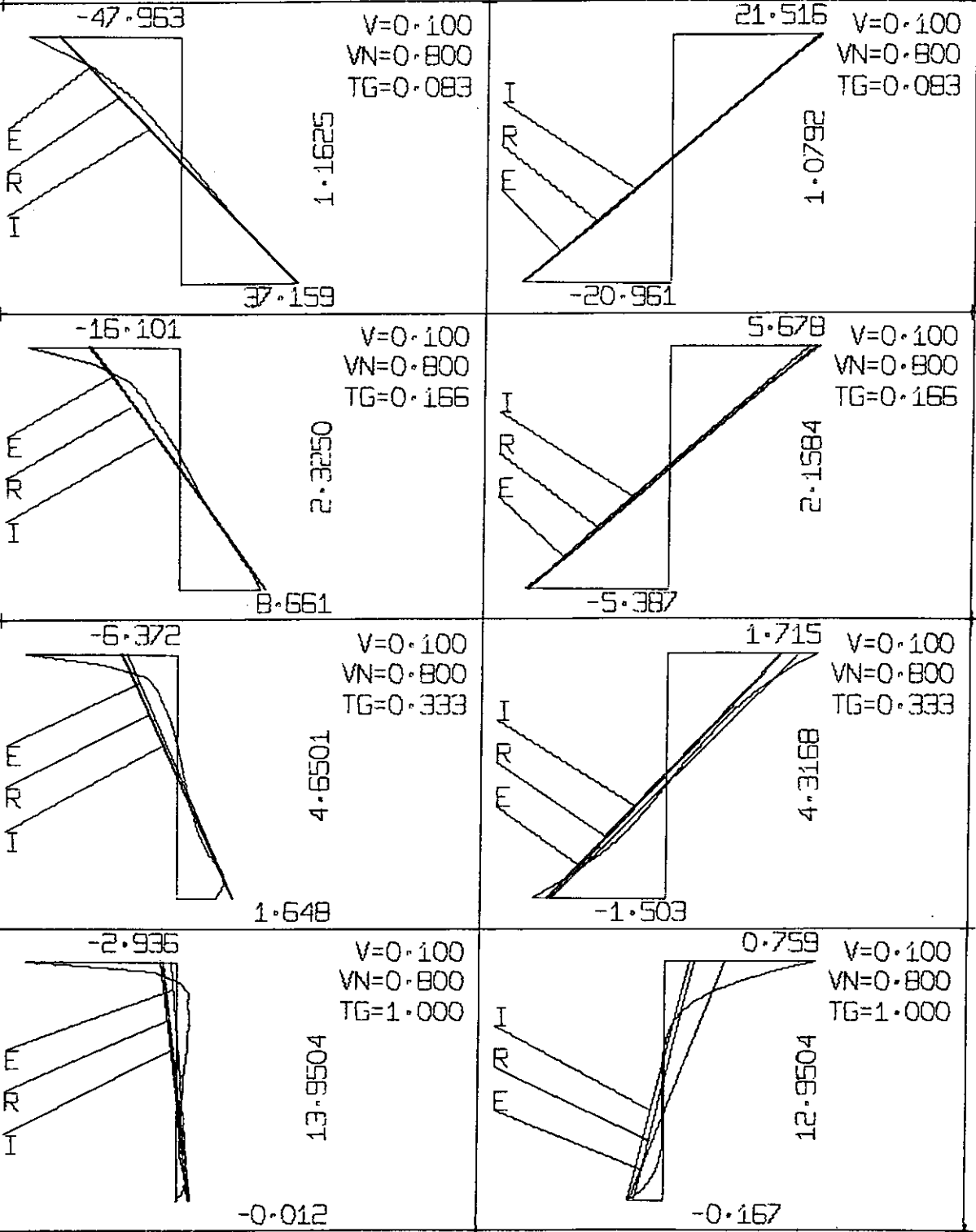


Figura 4.6.52

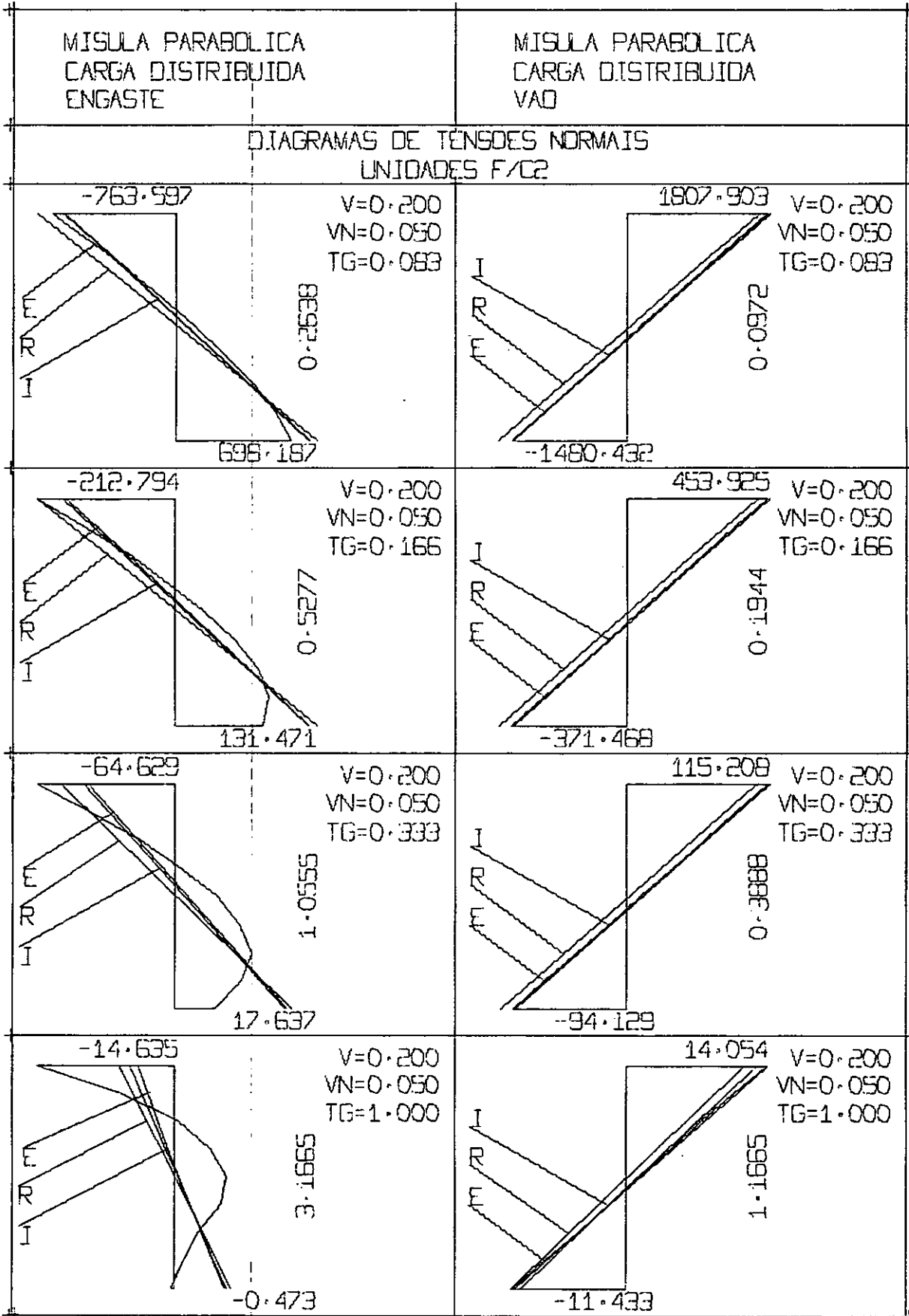


Figura 4.6.53

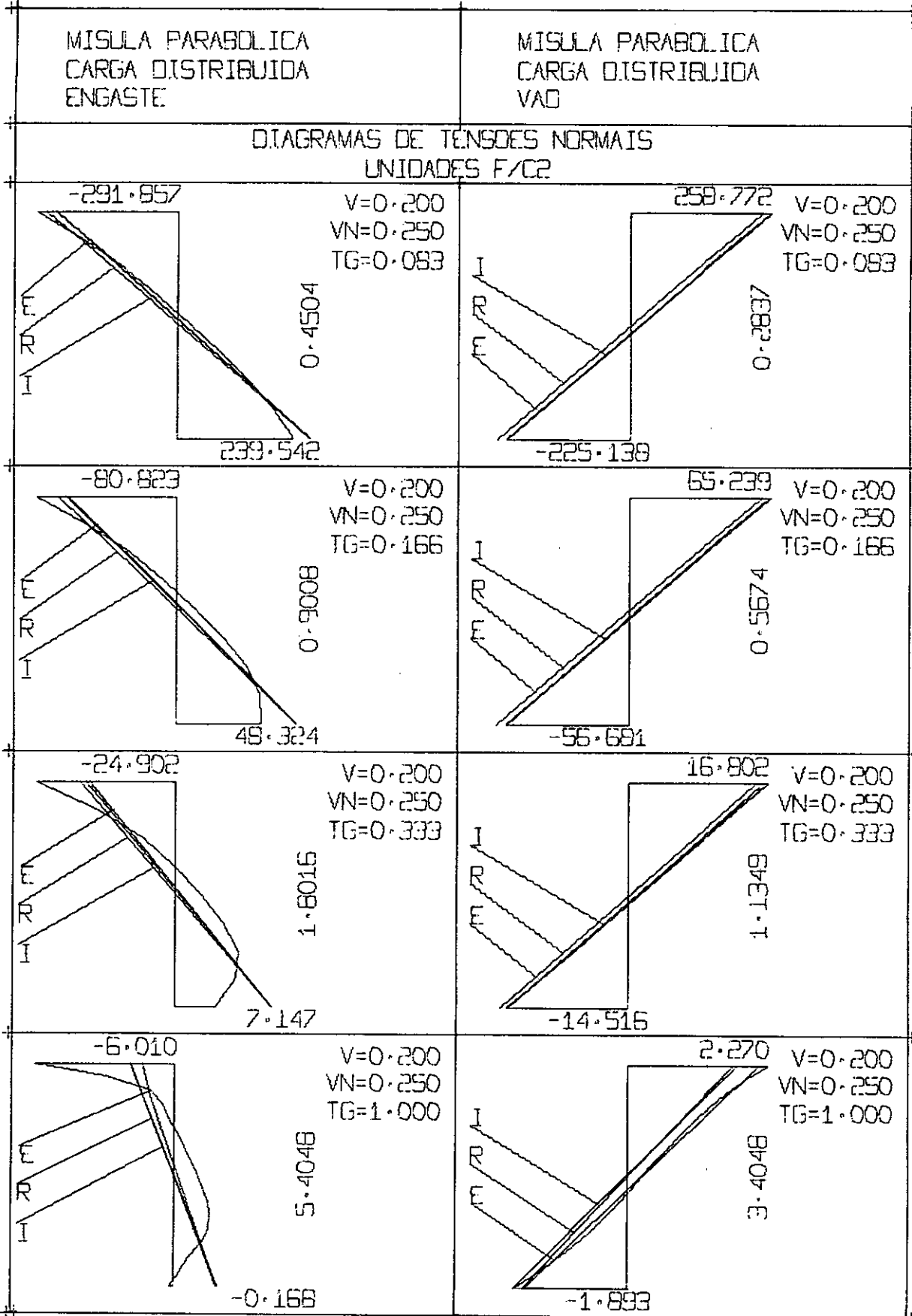


Figura 4.6.54

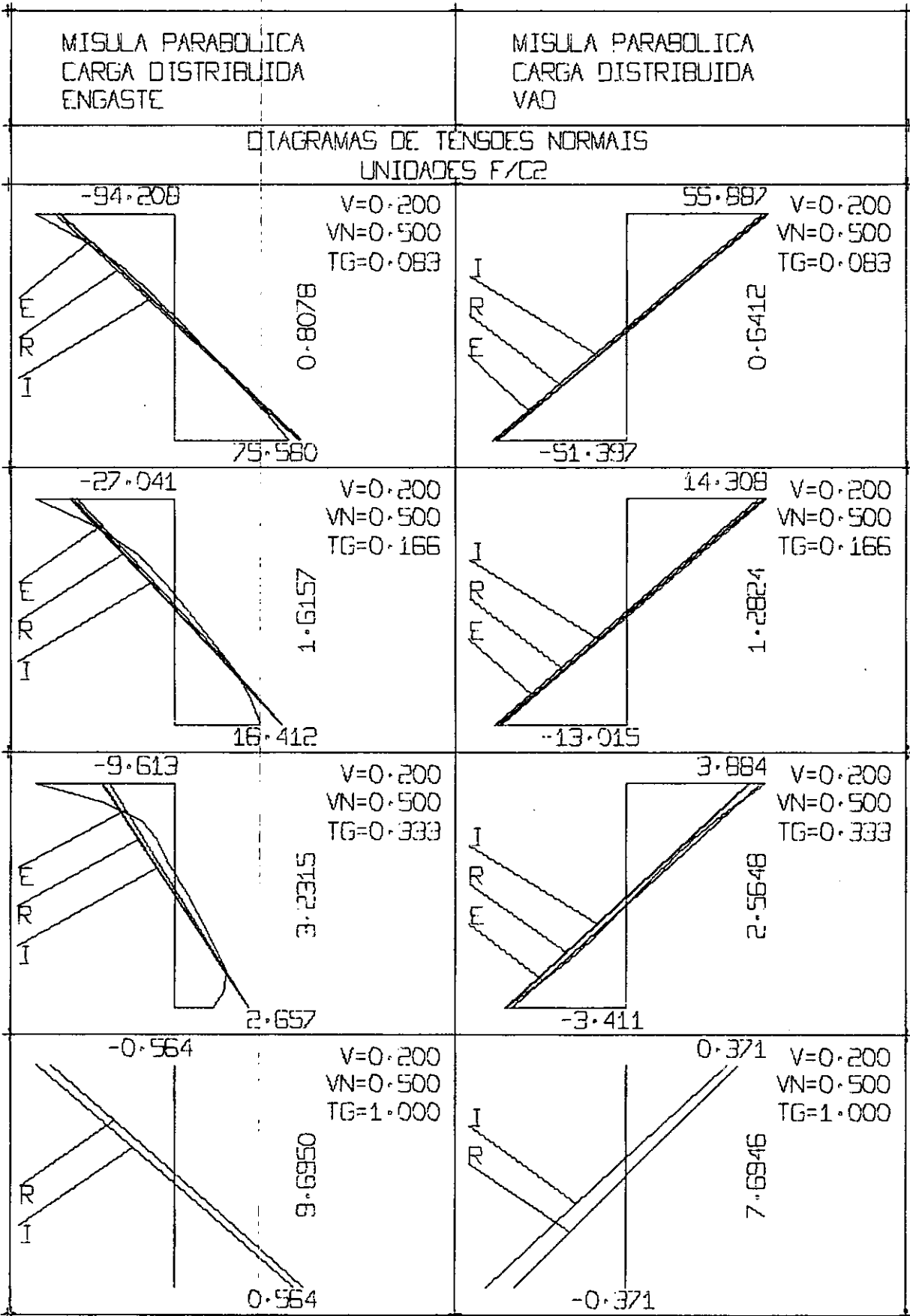


Figura 4.6.55

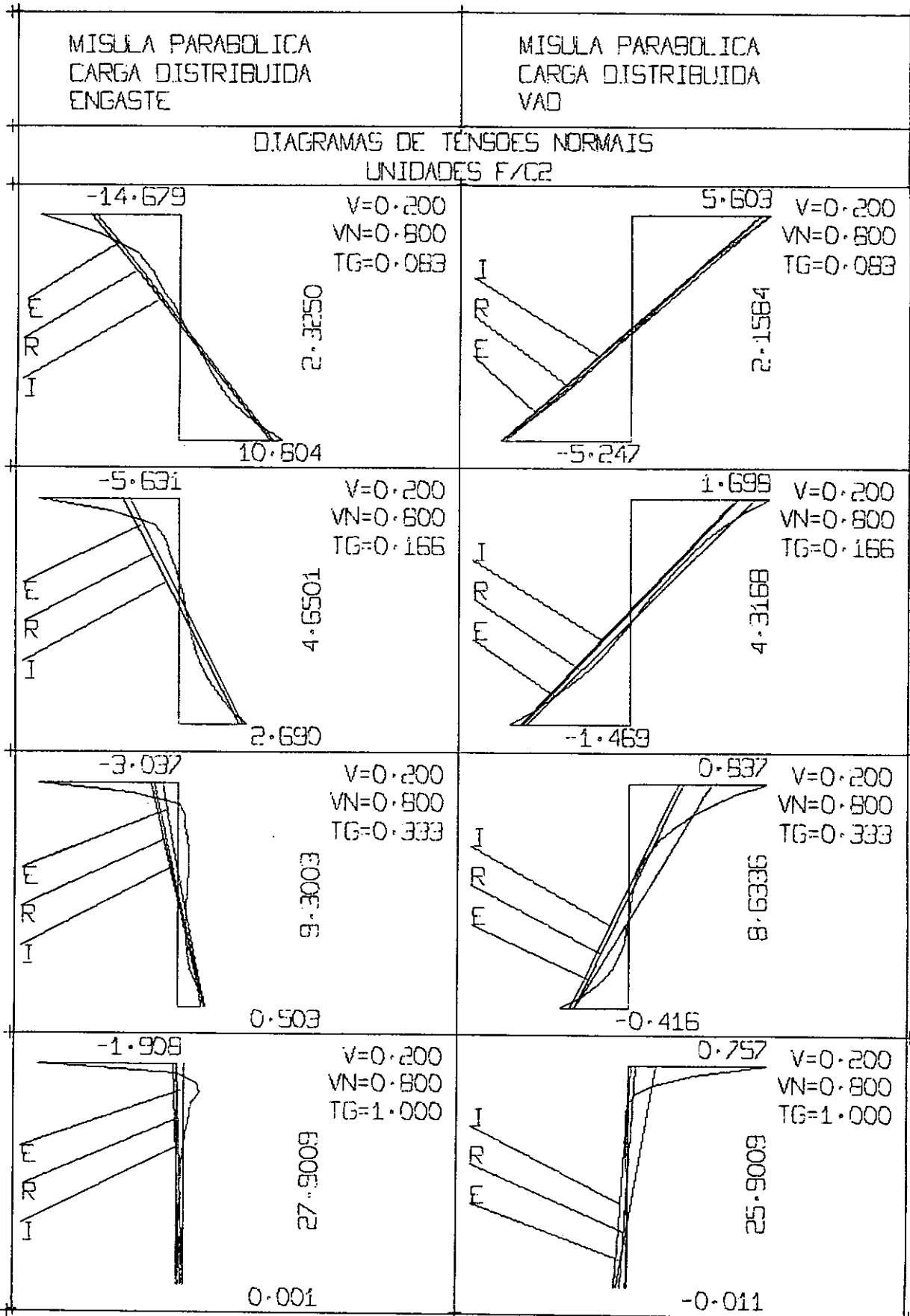


Figura 4.6.56

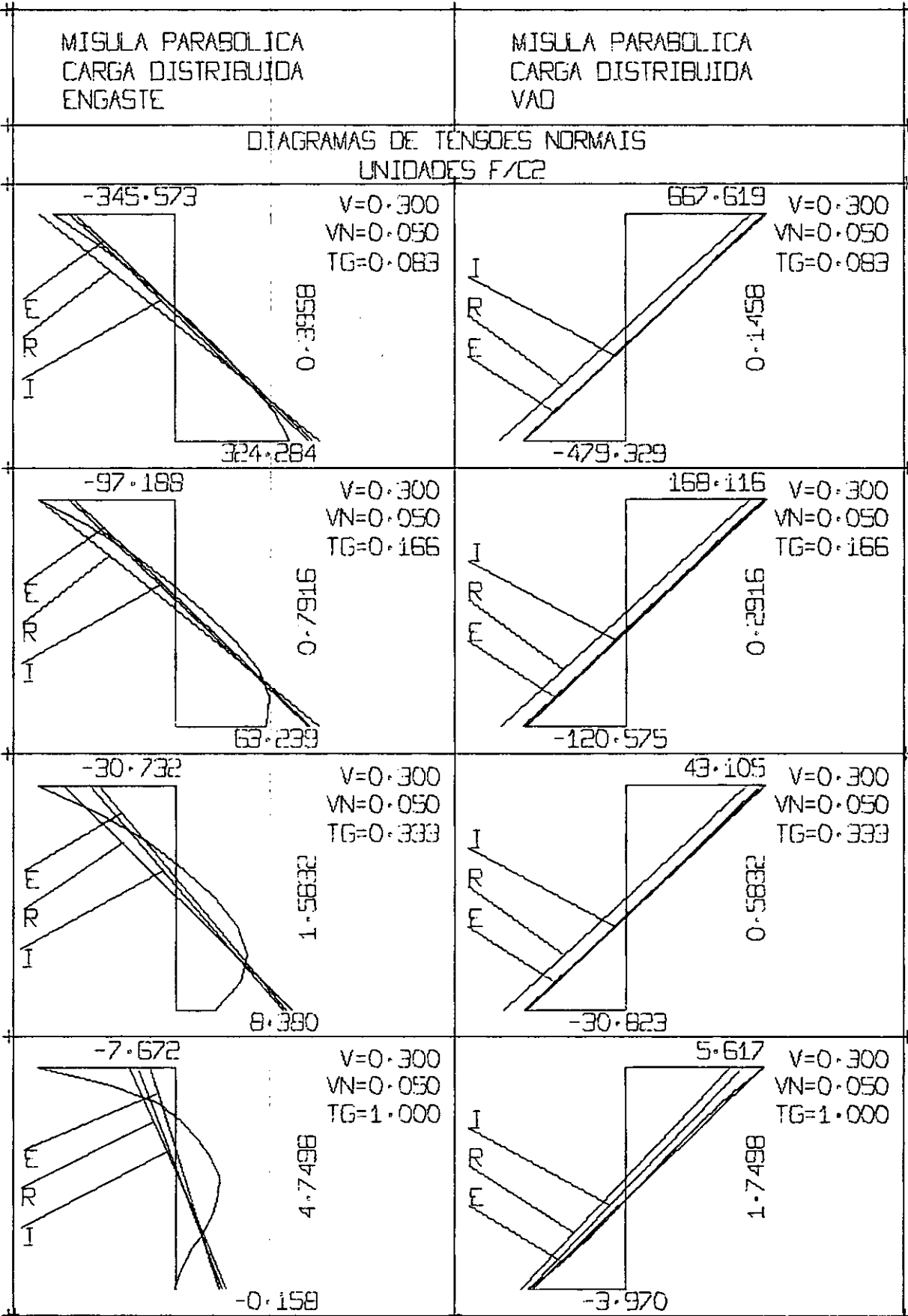


Figura 4.6.57

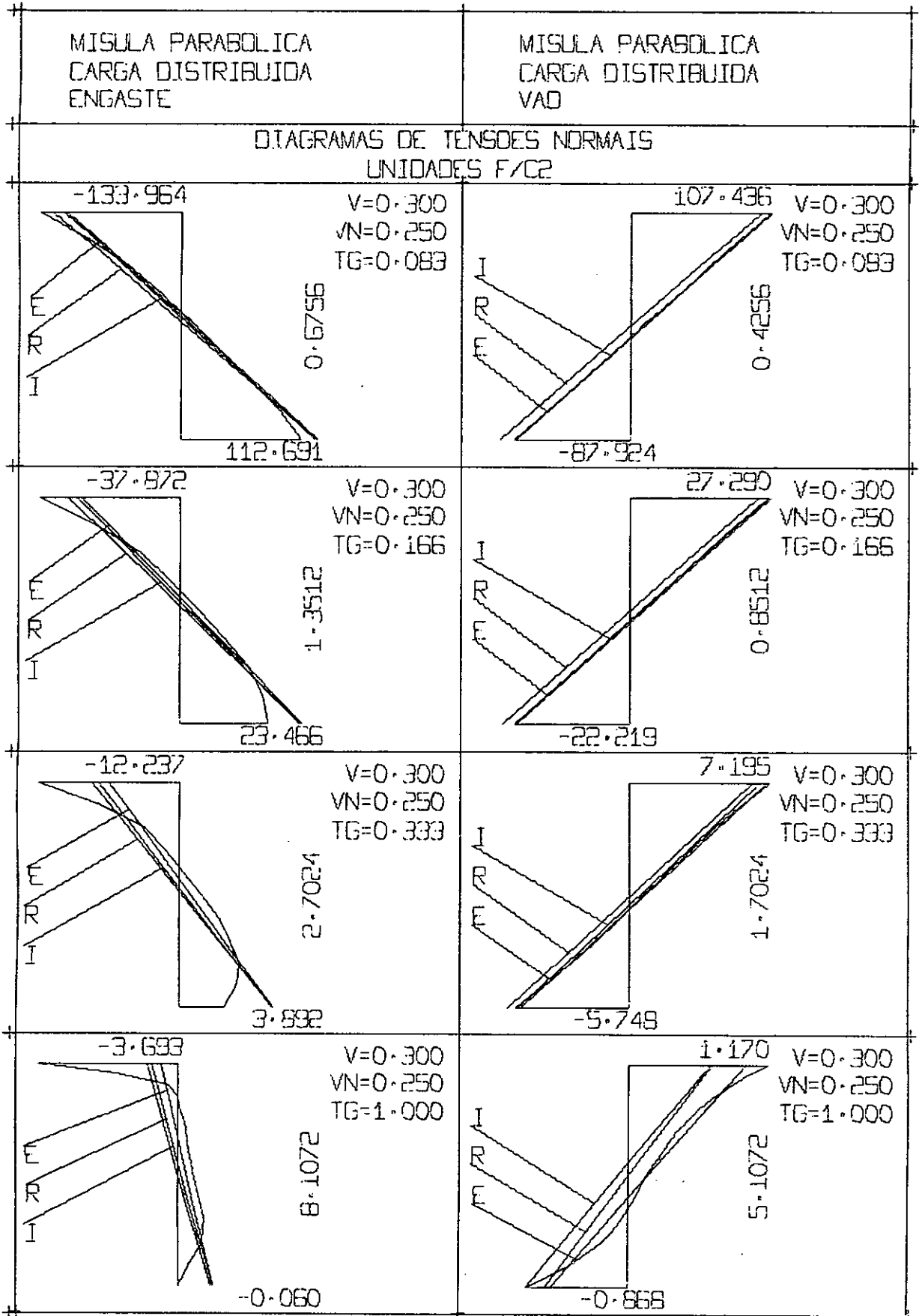


Figura 4.6.58

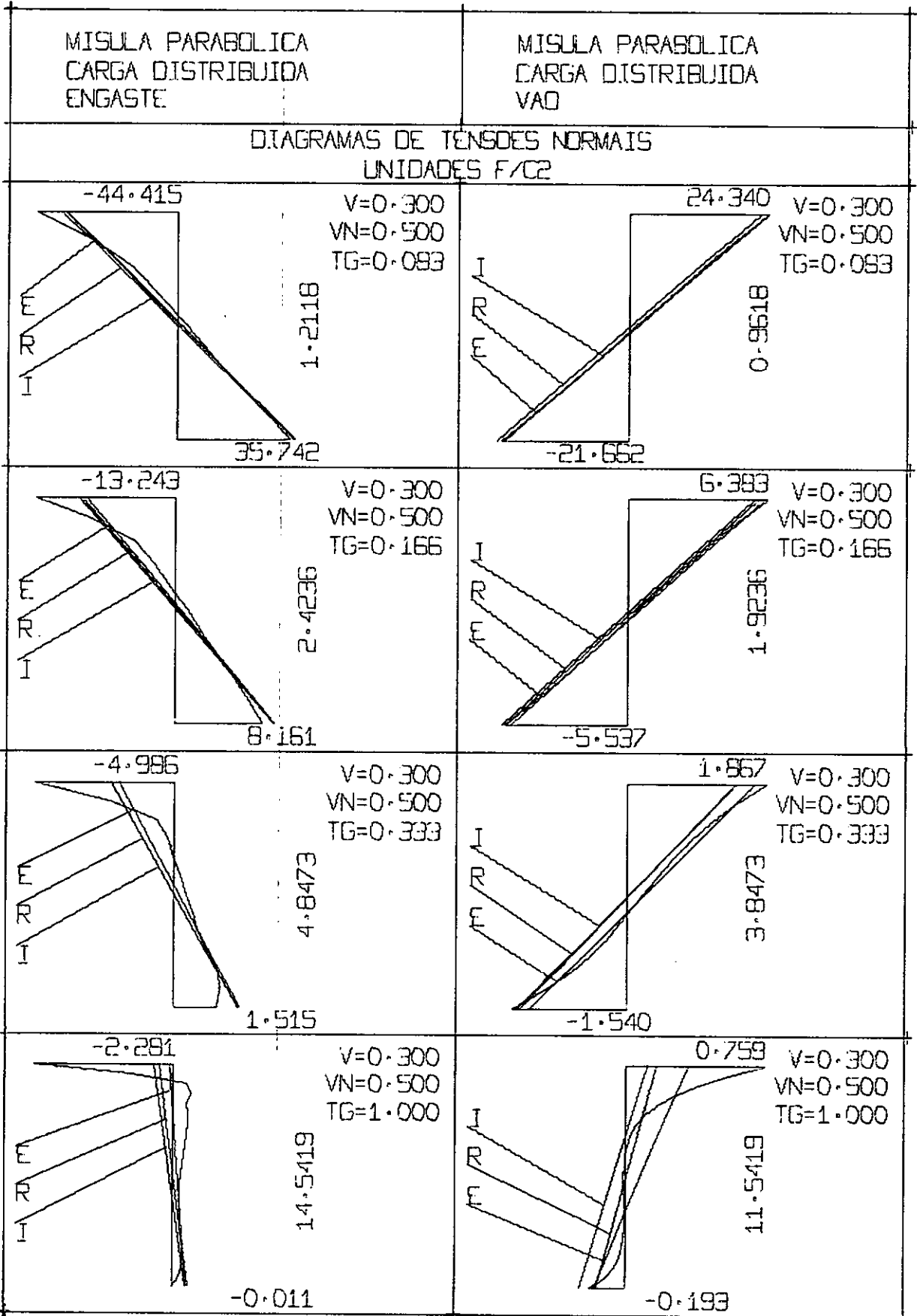


Figura 4.6.59

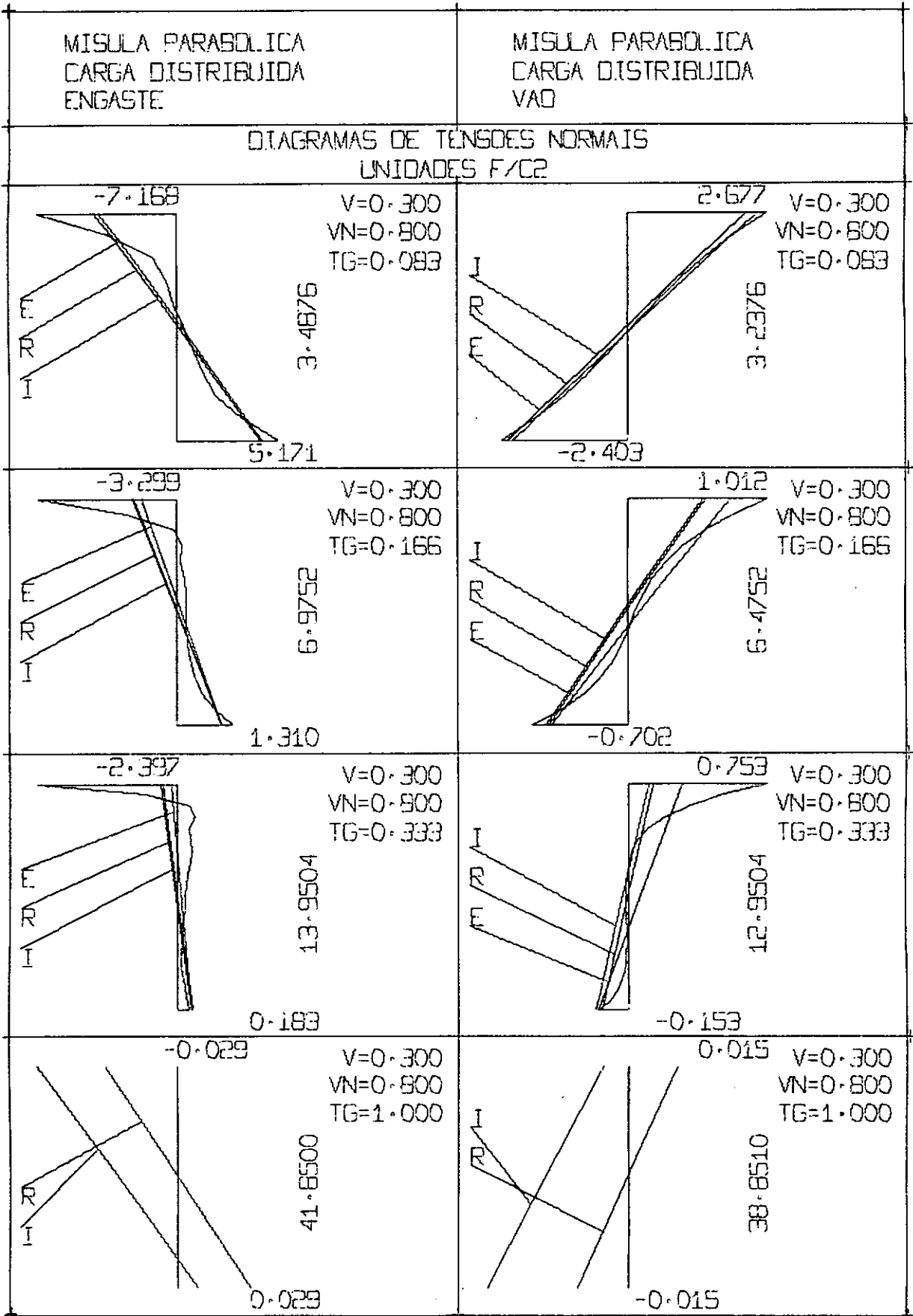


Figura 4.6.60

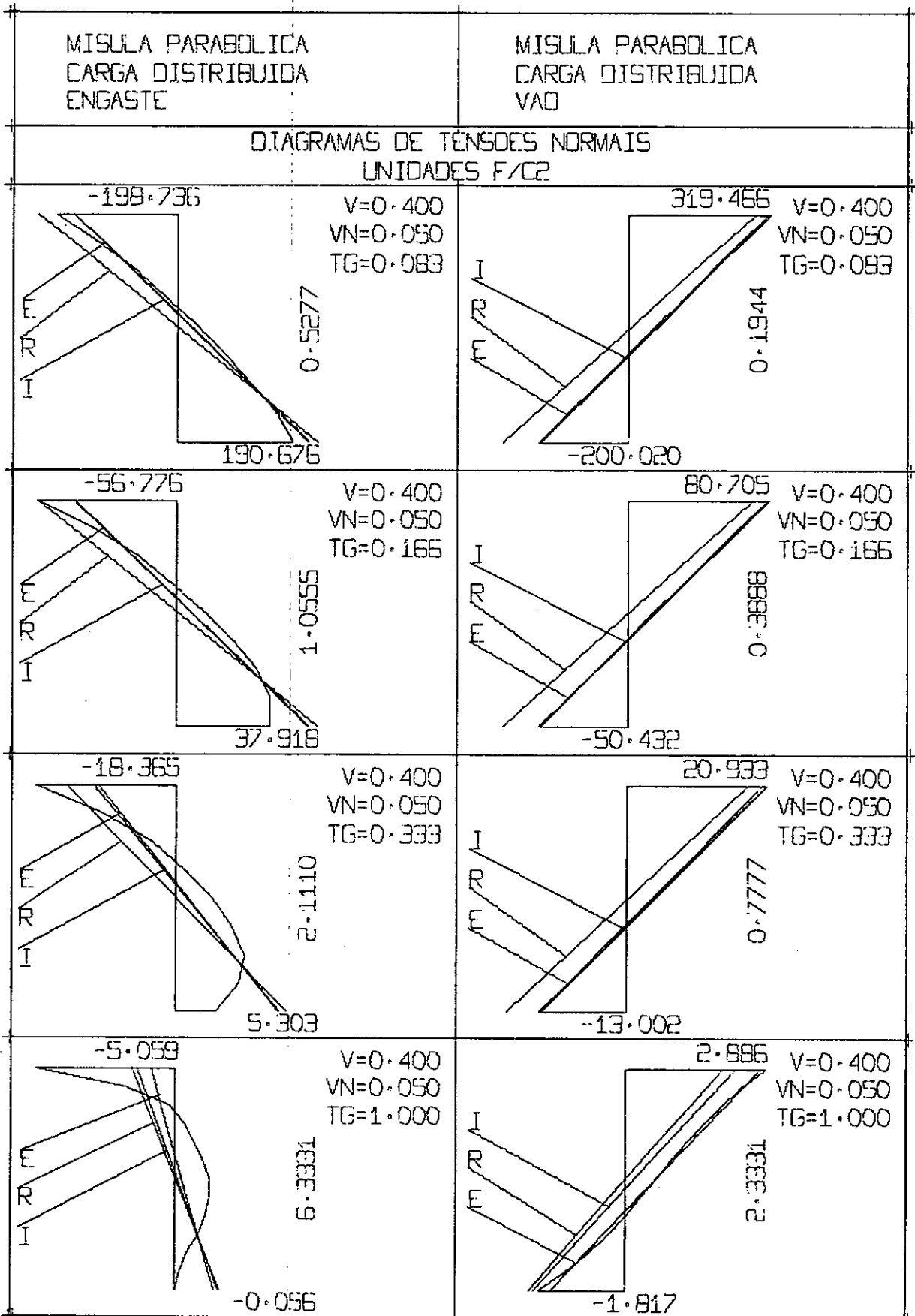


Figura 4.6.61

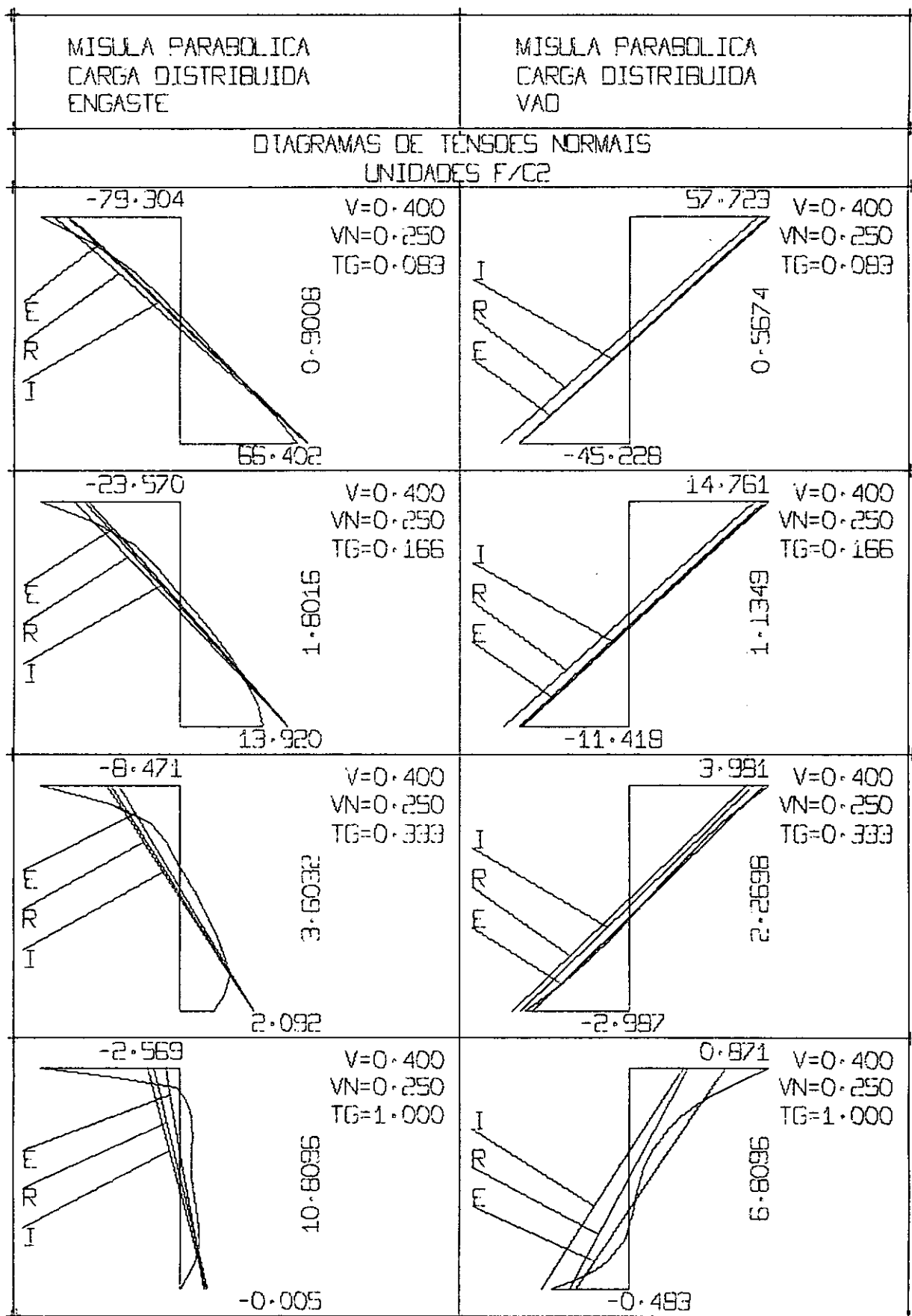


Figura 4.6.62

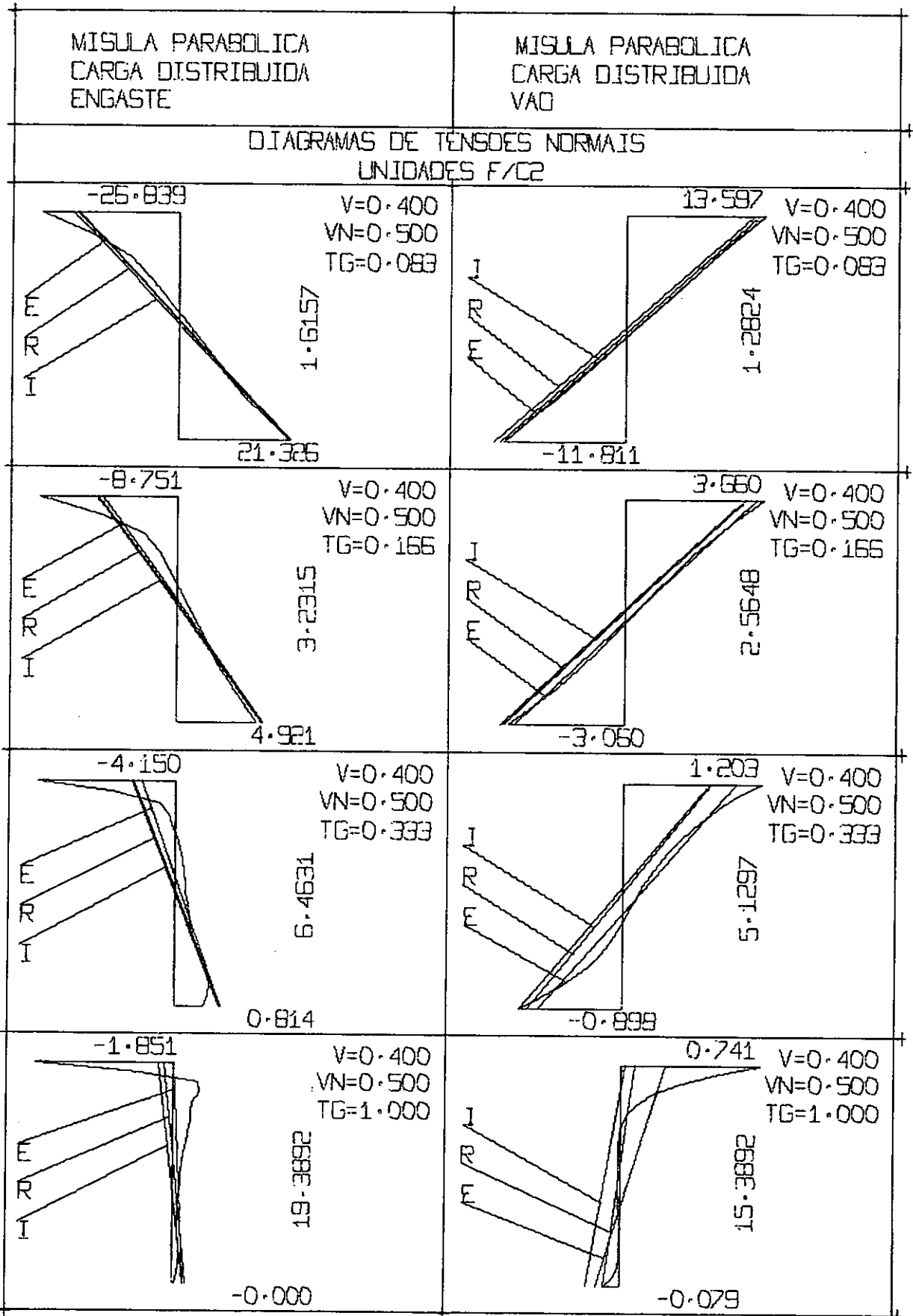


Figura 4.6.63

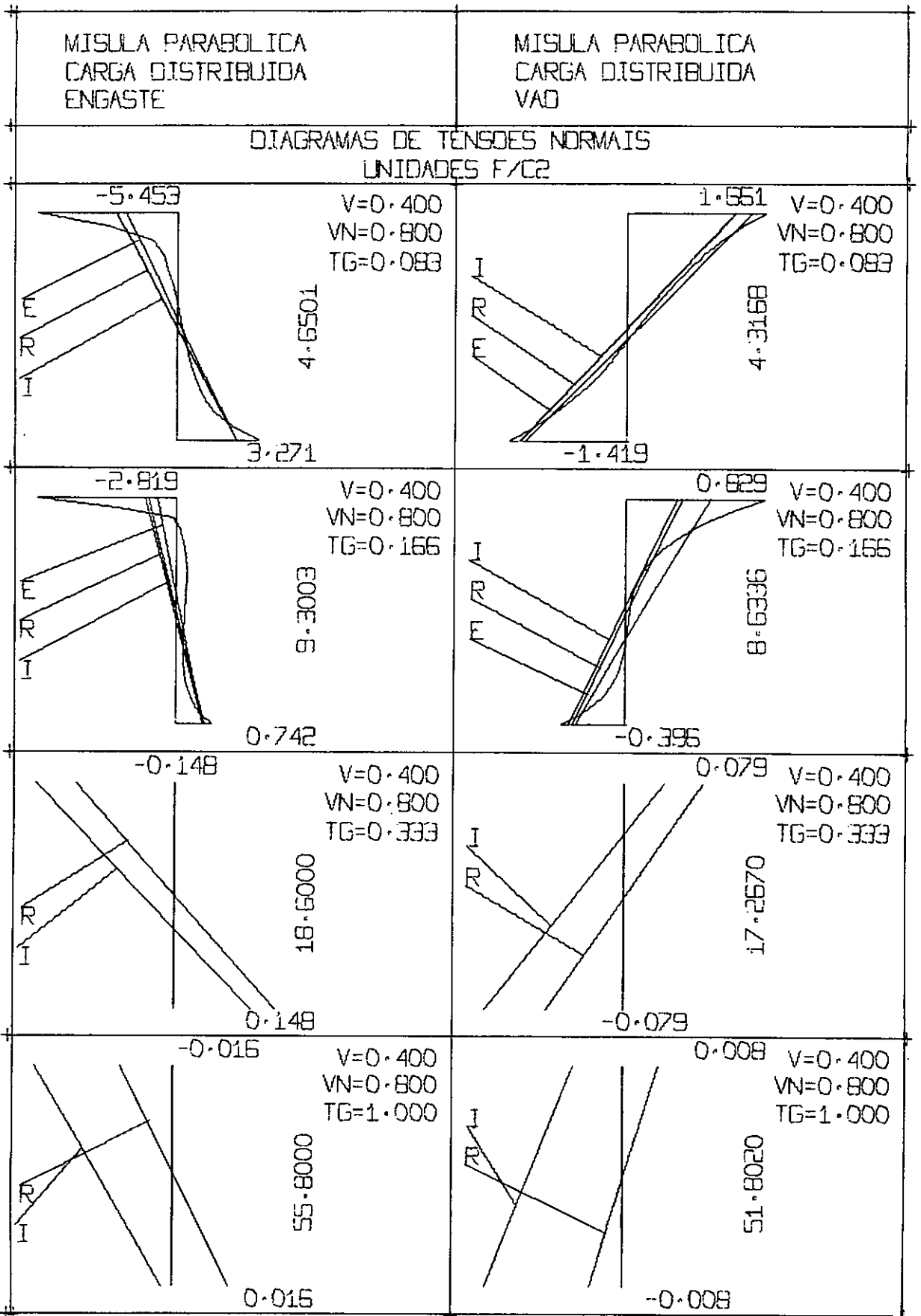


Figura 4.6.64

4.5 - Convergência dos Resultados Referentes a Análise pelo Método dos Elementos Finitos

A haste simétrica, biengastada foi analisada para as malhas indicadas nas figs. 1.5.a e 1.5.b, sucessivamente refinadas, até que duas análises consecutivas fornecessem resultados suficientemente próximos. Destas análises pôde-se observar o seguinte:

- a) os resultados para deslocamentos convergem para poucos graus de liberdade.
- b) os resultados para tensões convergem para muitos graus de liberdade, em comparação com a convergência dos resultados para deslocamentos. Foram feitas análises para até 1300 graus de liberdade.
- c) para dois elementos, um com m̄sula reta e o outro com m̄sula parabólica, com o mesmo comprimento e mesmas relações V , V_N e $\text{tg}\alpha$, os resultados para tensões convergem mais rapidamente no elemento com m̄sula reta.

CAPÍTULO 5CONCLUSÕES

a) A partir dos âbacos apresentados nos itens 4.2 (figs. 4.2.1 a 4.2.32) e 4.3 (figs. 4.4.1 a 4.4.16) pode-se delimitar para cada valor de V , regiões em um par de eixos cartesianos, para as quais as relações indicadas nos quadros 4.1 referente a hipótese de eixo reto, ou nos quadros 4.2 referente a hipótese de eixo passando pelos pontos médios das alturas se situem em um certo intervalo. O eixo horizontal é o das relações VN e o vertical o de $t\alpha$ (figs. 5.1 e 5.2).

| | V=.10 | | |
|--------------------|---------------------------|--------------------------|------------|
| critério \ relação | ① | ② | ③ |
| M/MEE | ≥ 1 ; ≤ 1.10 | ≥ 1 . | ≥ 1 . |
| M/MEM | $\geq .95$ ≤ 1 . | $\geq .95$ | $\geq .95$ |
| D/DEM | $\geq .70$ ≤ 1 . | $\geq .70$ ≤ 1 . | $\geq .35$ |
| TNE/TME | $\leq .08$ | $\leq .10$ | $\leq .10$ |
| TNM/TMM | $\leq .06$ | $\leq .06$ | $\leq .10$ |

a) associado a fig. 5.1.a

| | V=.20 | | |
|--------------------|---------------------------|---------------------------|------------|
| critério \ relação | ① | ② | ③ |
| M/MEE | ≥ 1 ; ≤ 1.10 | ≥ 1 . | ≥ 1 . |
| M/MEM | $\geq .95$ ≤ 1.03 | $\geq .95$ | $\geq .95$ |
| D/DEM | $\geq .70$ ≤ 1.10 | $\geq .70$ ≤ 1.10 | $\geq .25$ |
| TNE/TME | $\leq .12$ | $\leq .20$ | $\leq .20$ |
| TNM/TMM | $\leq .12$ | $\leq .14$ | $\leq .20$ |

b) associado a fig. 5.1.b

| | | V=.30 | | |
|---------------------|---------------------------|---------------------------|------------|--|
| critério relação | ① | ② | ③ | |
| M/MEE | $\geq 1.$ ≤ 1.10 | $\geq 1.$ | $\geq 1.$ | |
| M/MEM | $\geq .95$ ≤ 1.10 | $\geq .95$ | $\geq .95$ | |
| D/DEM | $\geq .70$ ≤ 1.20 | $\geq .70$ ≤ 1.20 | $\geq .20$ | |
| TNE/TME | $\leq .16$ | $\leq .25$ | $\leq .25$ | |
| TNM/TMM | $\leq .16$ | $\leq .25$ | $\leq .25$ | |

c) associado a fig. 5.1.c

| | | V=.40 | | | |
|---------------------|---------------------------|------------|------------|------------|--|
| critério relação | ① | ② | ③ | ④ | |
| M/MEE | $\geq 1.$ ≤ 1.10 | $\geq 1.$ | $\geq 1.$ | $\geq 1.$ | |
| M/MEM | $\geq .95$ ≤ 1.10 | $\geq .95$ | $\geq .95$ | $\geq .95$ | |
| D/DEM | $\geq .70$ ≤ 1.20 | $\geq .70$ | $\geq .20$ | $\geq .70$ | |
| TNE/TME | $\leq .20$ | $\leq .25$ | $\leq .25$ | $\leq .50$ | |
| TNM/TMM | $\leq .20$ | $\leq .25$ | $\leq .25$ | $\leq .50$ | |

d) associado a fig. 5.1.d

Quadro 5.1 - Intervalos para hipótese de eixo reto associados a fig. 5.1

| | | V=.10 | | |
|---------------------|---------------------------|--------------------------|-------------------------|--|
| critério relação | ① | ② | ③ | |
| M/MEE | $\geq 1.$ ≤ 1.05 | $\geq 1.$ ≤ 1.05 | $\geq 1.$ | |
| M/MEM | $\geq .95$ $\leq 1.$ | $\geq .95$ $\leq 1.$ | $\geq .95$ $\leq 1.$ | |
| D/DEM | $\geq .70$ $\leq 1.$ | $\geq .70$ $\leq 1.$ | $\geq .35$ | |
| N/NE | $\geq .70$ ≤ 1.05 | $\geq .10$ | $\geq -.400$ | |
| TNE/TME | $\leq .10$ | $\leq .10$ | $\leq .10$ | |
| TNM/TMM | $\leq .06$ | $\leq .10$ | $\leq .10$ | |

a) associado a fig. 5.2.a

| | | V=.20 | | |
|---------------------|---------------------------|---------------------------|-------------|--|
| critério relação | ① | ② | ③ | |
| M/MEE | $\geq 1.$ ≤ 1.10 | $\geq 1.$ ≤ 1.10 | $\geq 1.$ | |
| M/MEM | $\geq .95$ ≤ 1.05 | $\geq .95$ ≤ 1.05 | $\geq .95$ | |
| D/DEM | $\geq .70$ $\leq 1.$ | $\geq .70$ ≤ 1.10 | $\geq .25$ | |
| N/NE | $\geq .70$ ≤ 1.10 | $\geq .25$ | $\geq -.15$ | |
| TNE/TME | $\leq .20$ | $\leq .20$ | $\leq .20$ | |
| TNM/TMM | $\leq .14$ | $\leq .20$ | $\leq .20$ | |

b) associado a fig. 5.2.b

| | | V = .30 | | |
|---------------------|---------------------------|---------------------------|------------|--|
| critério relação | | | | |
| | ① | ② | ③ | |
| M/MEE | $\geq 1.$ ≤ 1.10 | $\geq 1.$ ≤ 1.10 | $\geq 1.$ | |
| M/MEM | $\geq .95$ ≤ 1.05 | $\geq .95$ ≤ 1.05 | $\geq .95$ | |
| D/DEM | $\geq .70$ ≤ 1.20 | $\geq .70$ ≤ 1.20 | $\geq .20$ | |
| N/NE | $\geq .70$ $\leq 1.$ | $\geq .10$ | ≥ -40 | |
| TNE/TME | $\leq .25$ | $\leq .25$ | $\leq .25$ | |
| TNM/TMM | $\leq .25$ | $\leq .25$ | $\leq .25$ | |

c) associado a fig. 5.2.c

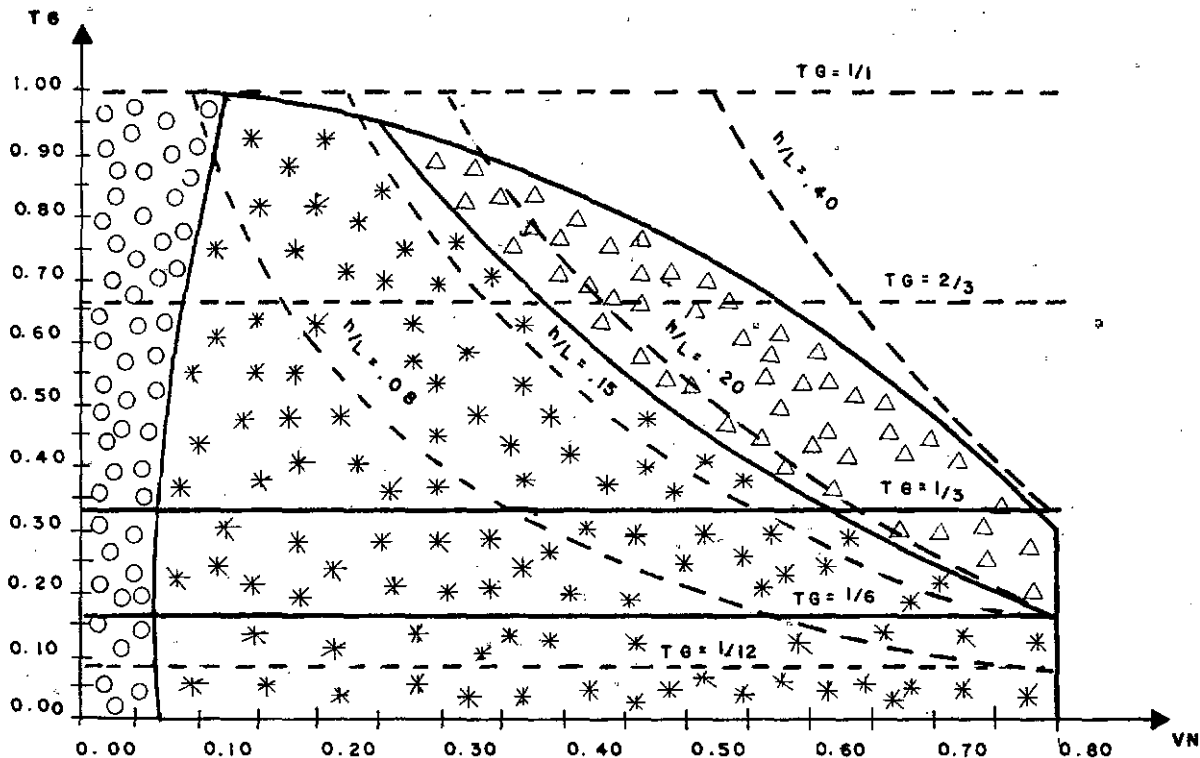
| | | V = .40 | | | |
|-----------------------------------|---------------------------|-------------------------|-------------------------|---------------------------|-------------|
| critério relação | | | | ② | ③ |
| | ① | | | | |
| M/MEE | $\geq 1.$ ≤ 1.10 | | | $\geq 1.$ | $\geq 1.$ |
| M/MEM | $\geq .95$ ≤ 1.05 | | | $\geq .95$ ≤ 1.05 | $\geq .95$ |
| D/DEM | $\geq .70$ ≤ 1.50 | | | $\geq .70$ ≤ 1.50 | $\geq .20$ |
| N/NE | $\geq .95$ $\leq 1.$ | $\geq .90$ $\leq 1.$ | $\geq .80$ $\leq 1.$ | $\geq .50$ | $\geq -.70$ |
| TNE/TME | $\leq .50$ | $\leq .40$ | $\leq .30$ | $\leq .50$ | $\leq .50$ |
| TNM/TMM | $\leq .50$ | $\leq .40$ | $\leq .30$ | $\leq .50$ | $\leq .50$ |
| | a | b | c | | |
| pode ocorrer uma das três colunas | | | | | |

d) associado a fig. 5.2.d

Quadro 5.2 - Intervalos para a hipótese de eixo passando pelos pontos médios das alturas associados a fig. 5.2



V = 0.10
EIXO RETO



- 1- HIPÓTESE DE EIXO RETO PARA O CRITÉRIO ① DO QUADRO 5.1. d
- 2- HIPÓTESE DE EIXO RETO PARA O CRITÉRIO ② DO QUADRO 5.1. d
- 3- HIPÓTESE DE EIXO RETO PARA O CRITÉRIO ③ DO QUADRO 5.1. d

- * * 1, 2 E 3 ACEITÁVEIS
- ○ 2 E 3 ACEITÁVEIS
- △ △ 3 ACEITÁVEL

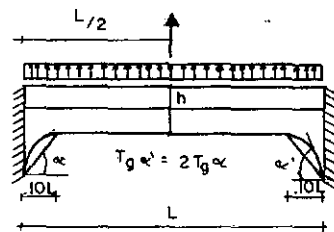
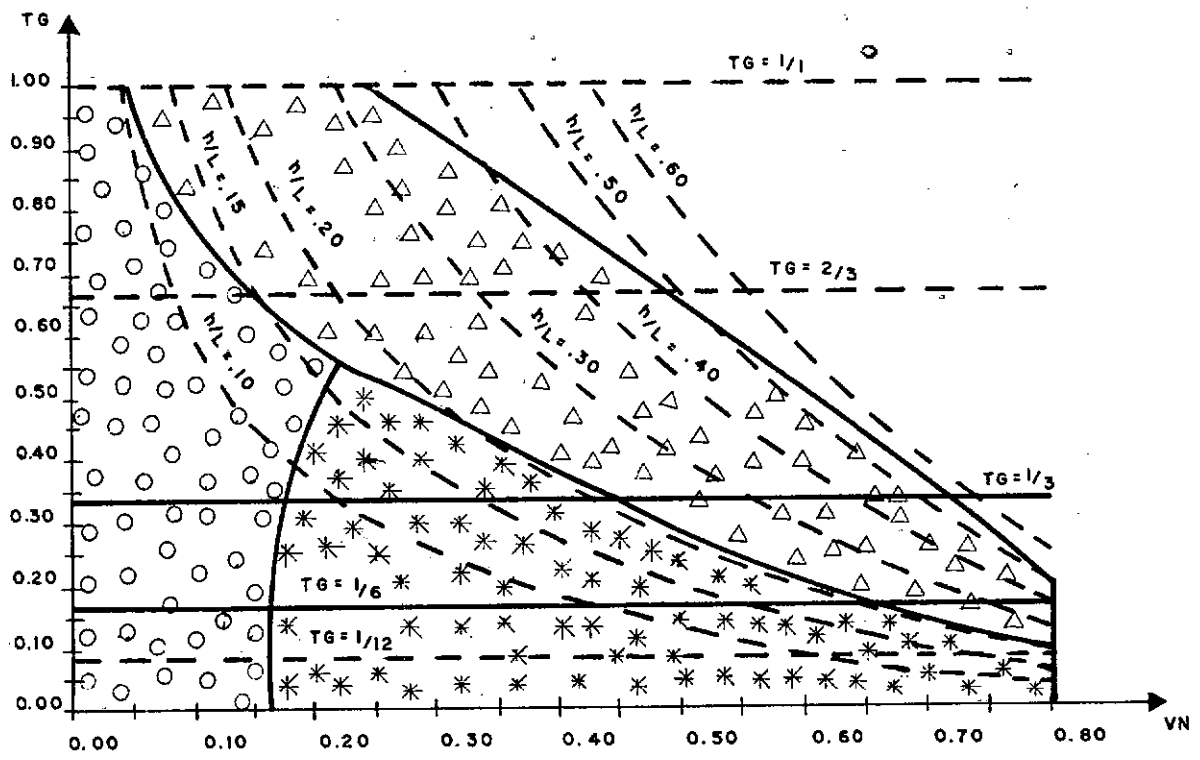


FIG. 5.1. d - REGIÕES ACEITÁVEIS PARA OS CRITÉRIOS DEFINIDOS NO QUADRO 5.1. d PARA A HIPÓTESE DE EIXO RETO

V = 0.20
EIXO RETO



- 1 - HIPÓTESE DE EIXO RETO PARA O CRITÉRIO ① DO QUADRO 5.1.b
- 2 - HIPÓTESE DE EIXO RETO PARA O CRITÉRIO ② DO QUADRO 5.1.b
- 3 - HIPÓTESE DE EIXO RETO PARA O CRITÉRIO ③ DO QUADRO 5.1.b

* * 1, 2 E 3 ACEITÁVEIS
 * * 2 E 3 ACEITÁVEIS
 ○ ○ ○ ○ 3 ACEITÁVEL
 △ △ 3 ACEITÁVEL

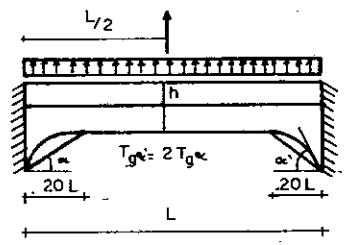
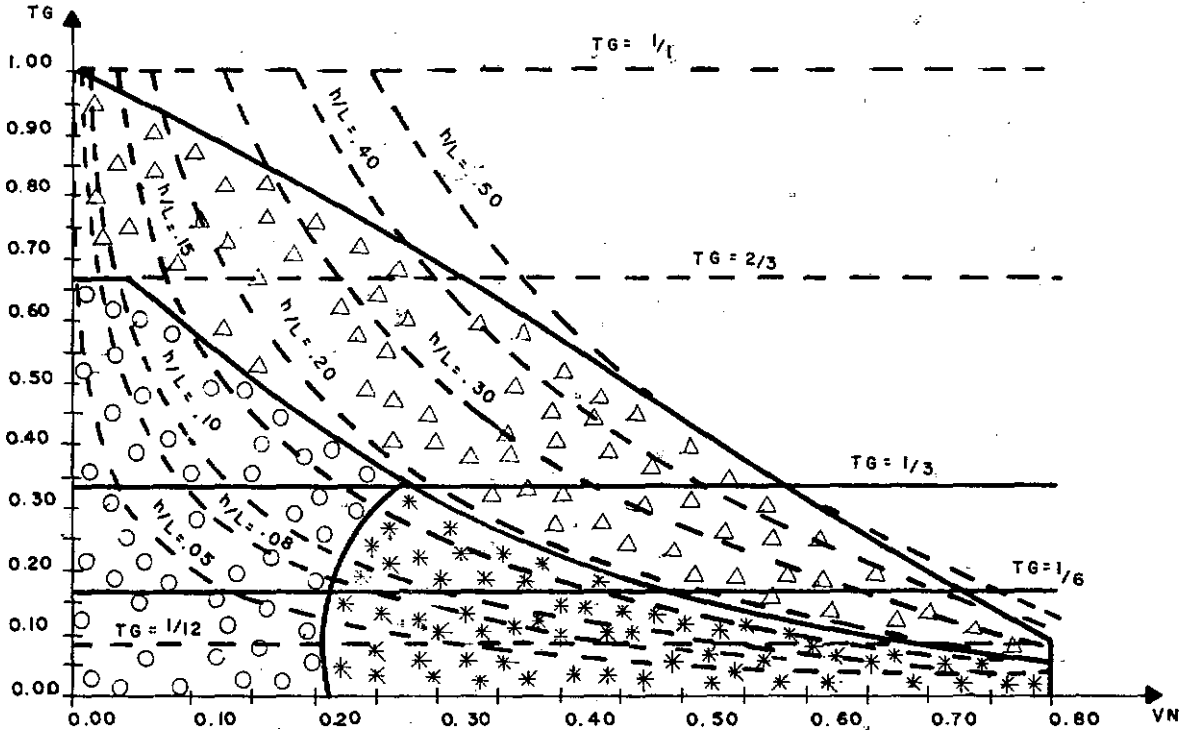


FIG. 5.1.b - REGIÕES ACEITÁVEIS PARA OS CRITÉRIOS DEFINIDOS NO QUADRO 5.1.b PARA A HIPÓTESE DE EIXO RETO

V = 0.30
EIXO RETO



- 1- HIPÓTESE DE EIXO RETO PARA O CRITÉRIO ① DO QUADRO 5.1.C
- 2- HIPÓTESE DE EIXO RETO PARA O CRITÉRIO ② DO QUADRO 5.1.C
- 3- HIPÓTESE DE EIXO RETO PARA O CRITÉRIO ③ DO QUADRO 5.1.C

- * * 1, 2 E 3 ACEITÁVEIS
- o o 2 E 3 ACEITÁVEIS
- Δ Δ 3 ACEITÁVEL

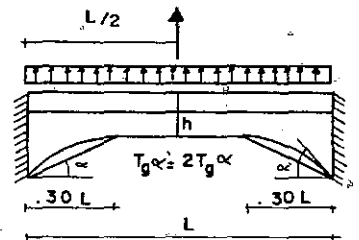
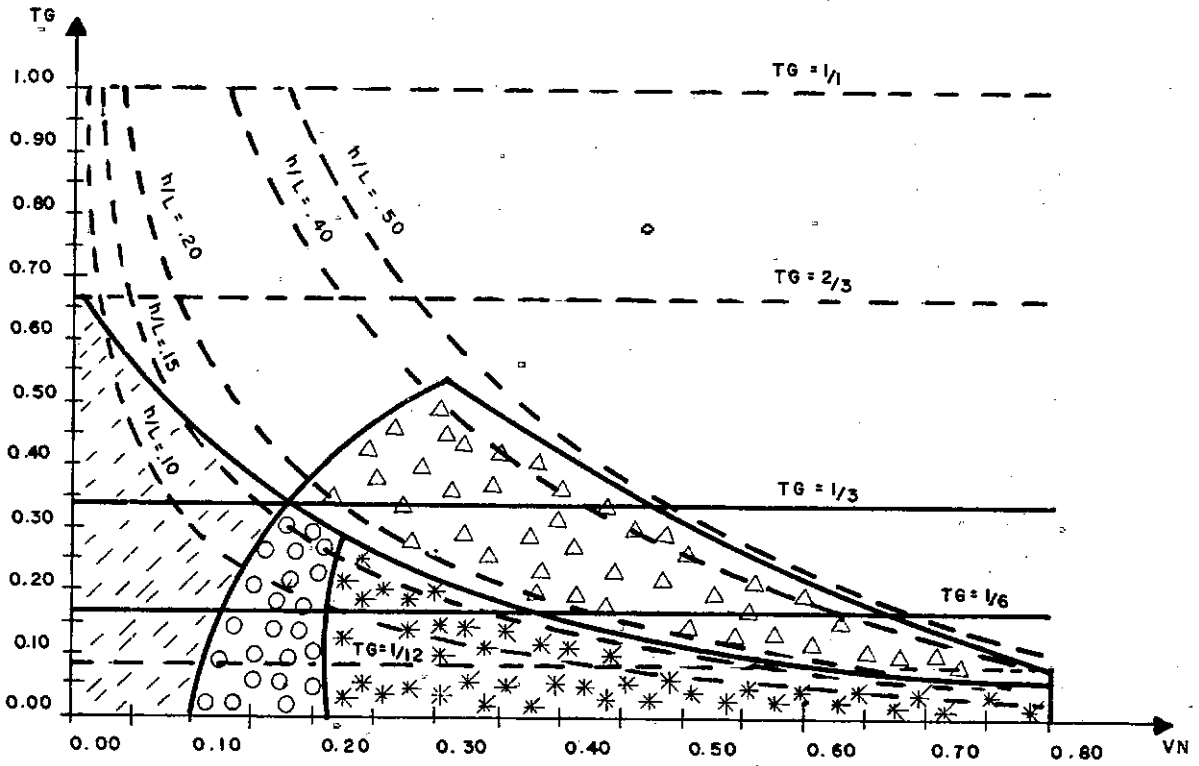


FIG. 5.1.C - REGIÕES ACEITÁVEIS PARA OS CRITÉRIOS DEFINIDOS NO QUADRO 5.1.C
PARA A HIPÓTESE DE EIXO RETO.

V = 0.40
EIXO RETO



- 1- HIPÓTESE DE EIXO RETO PARA O CRITÉRIO ① DO QUADRO 5.1.d
- 2- HIPÓTESE DE EIXO RETO PARA O CRITÉRIO ② DO QUADRO 5.1.d
- 3- HIPÓTESE DE EIXO RETO PARA O CRITÉRIO ③ DO QUADRO 5.1.d
- 4- HIPÓTESE DE EIXO RETO PARA O CRITÉRIO ④ DO QUADRO 5.1.d

- * * 1, 2, 3 E 4 ACEITÁVEIS
- * * 2, 3 E 4 ACEITÁVEIS
- ○ ○ ○ 4 ACEITÁVEL
- △ △ △ 3 ACEITÁVEL

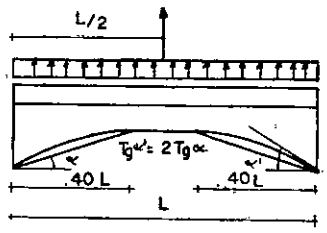
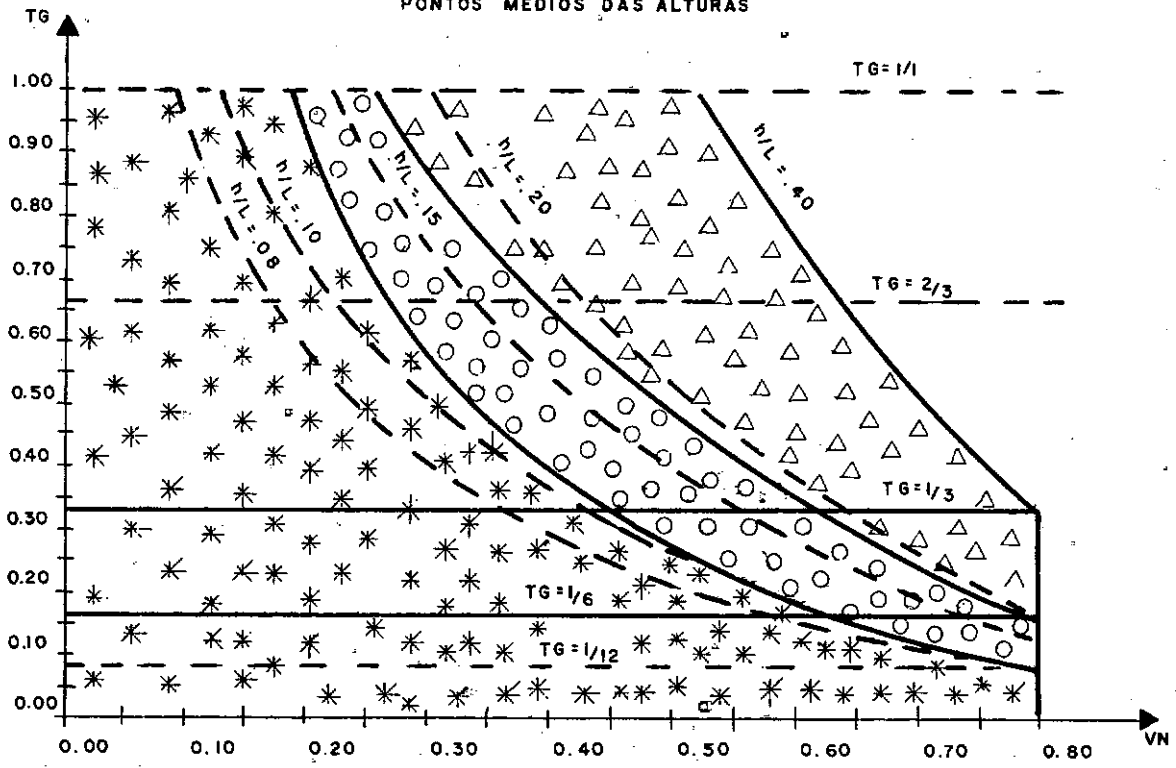


FIG. 5.1.d - REGIÕES ACEITÁVEIS PARA OS CRITÉRIOS DEFINIDOS NO QUADRO 5.1.d PARA A HIPÓTESE DE EIXO RETO.

V = 0.10
 EIXO PASSANDO PELOS
 PONTOS MÉDIOS DAS ALTURAS



- 1- HIPÓTESE DE EIXO PASSANDO PELOS PONTOS MÉDIOS DAS ALTURAS PARA O CRITÉRIO ① DO QUADRO 5.2.a
- 2- HIPÓTESE DE EIXO PASSANDO PELOS PONTOS MÉDIOS DAS ALTURAS PARA O CRITÉRIO ② DO QUADRO 5.2.a
- 3- HIPÓTESE DE EIXO PASSANDO PELOS PONTOS MÉDIOS DAS ALTURAS PARA O CRITÉRIO ③ DO QUADRO 5.2.a

- * * * 1, 2 E 3 ACEITÁVEIS
- ○ ○ 2 E 3 ACEITÁVEIS
- △ △ △ 3 ACEITÁVEL

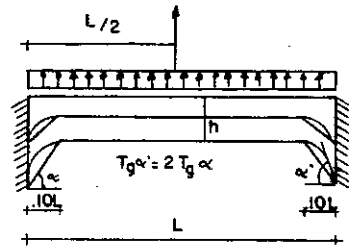
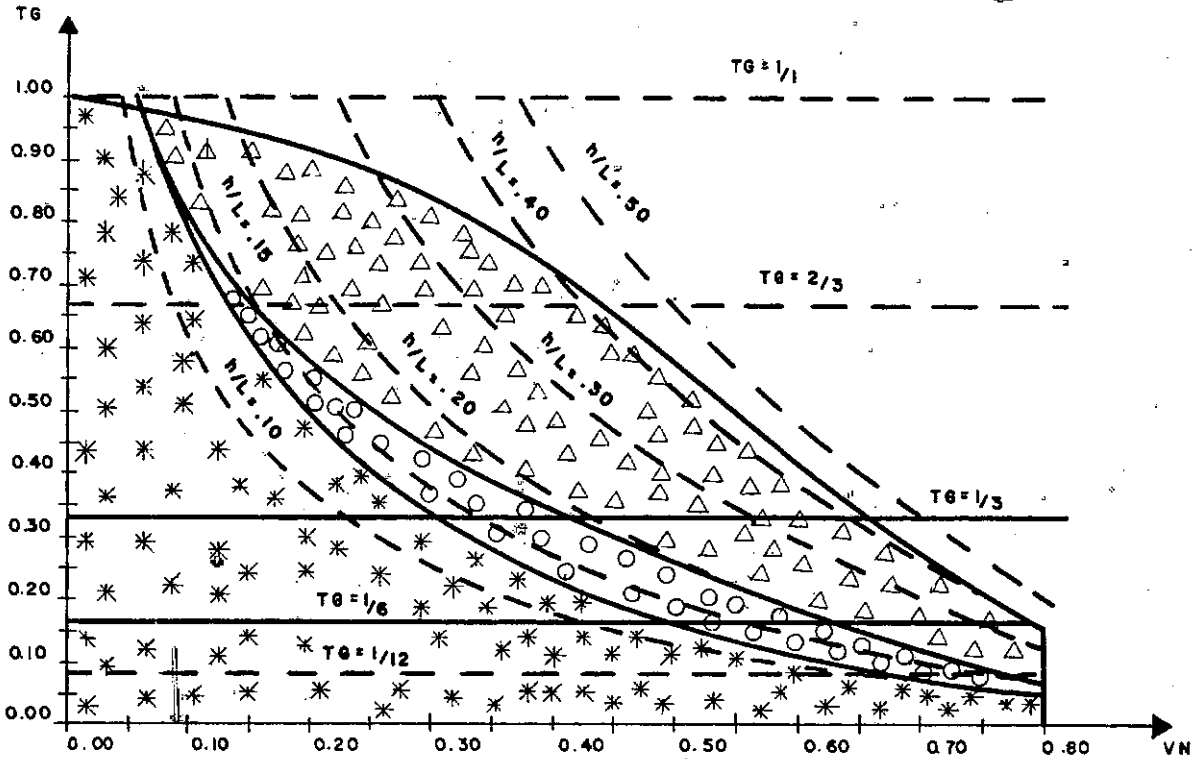


FIG. 5.2.a - REGIÕES ACEITÁVEIS PARA OS CRITÉRIOS DEFINIDOS NO QUADRO 5.2.a PARA A HIPÓTESE DE EIXO PASSANDO PELOS PONTOS MÉDIOS DAS ALTURAS.

$V = 0.20$

EIXO PASSANDO PELOS
PONTOS MÉDIOS DAS ALTURAS



1- HIPÓTESE DE EIXO PASSANDO PELOS PONTOS MÉDIOS DAS ALTURAS PARA O CRITÉRIO ① DO QUADRO 5.2. b

2- HIPÓTESE DE EIXO PASSANDO PELOS PONTOS MÉDIOS DAS ALTURAS PARA O CRITÉRIO ② DO QUADRO 5.2. b

3- HIPÓTESE DE EIXO PASSANDO PELOS PONTOS MÉDIOS DAS ALTURAS PARA O CRITÉRIO ③ DO QUADRO 5.2. b

* * * 1, 2 E 3 ACEITÁVEIS

o o o 2 E 3 ACEITÁVEIS

Δ Δ 3 ACEITÁVEL

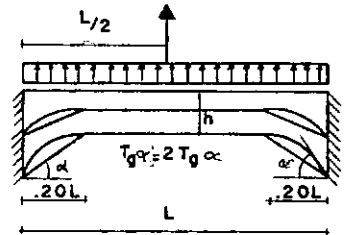
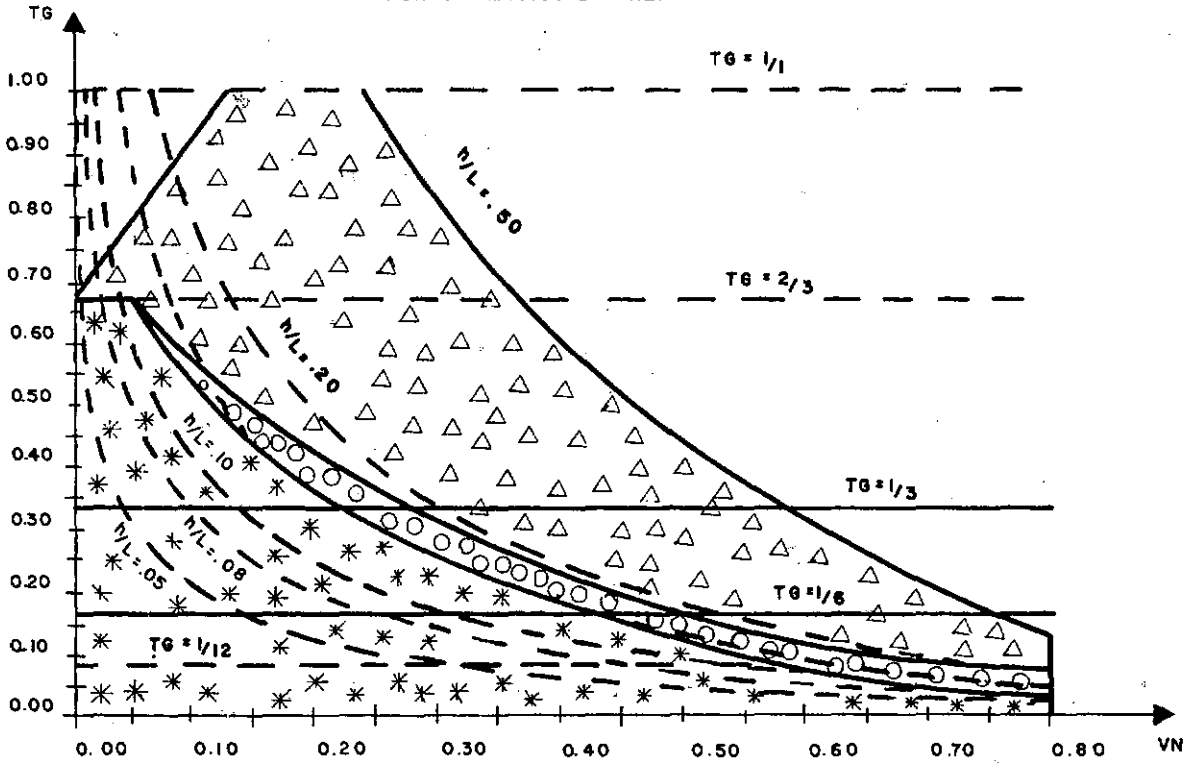


FIG. 5.2. b - REGIÕES ACEITÁVEIS PARA OS CRITÉRIOS DEFINIDOS NO QUADRO 5.2. b PARA A HIPÓTESE DE EIXO PASSANDO PELOS PONTOS MÉDIOS DAS ALTURAS.



V = 0.50

EIXO PASSANDO PELOS
PONTOS MÉDIOS DAS ALTURAS



1- HIPÓTESE DE EIXO PASSANDO PELOS PONTOS MÉDIOS DAS ALTURAS PARA O CRITÉRIO ① DO QUADRO 5.2.c

2- HIPÓTESE DE EIXO PASSANDO PELOS PONTOS MÉDIOS DAS ALTURAS PARA O CRITÉRIO ② DO QUADRO 5.2.c

3- HIPÓTESE DE EIXO PASSANDO PELOS PONTOS MÉDIOS DAS ALTURAS PARA O CRITÉRIO ③ DO QUADRO 5.2.c

* * 1, 2 E 3 ACEITÁVEIS
* *

○ ○ ○ ○ 2 E 3 ACEITÁVEIS

△ △ 3 ACEITÁVEL
△ △

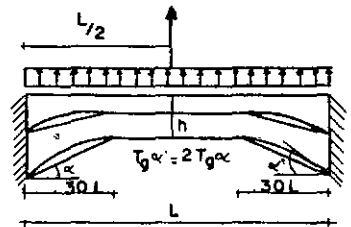
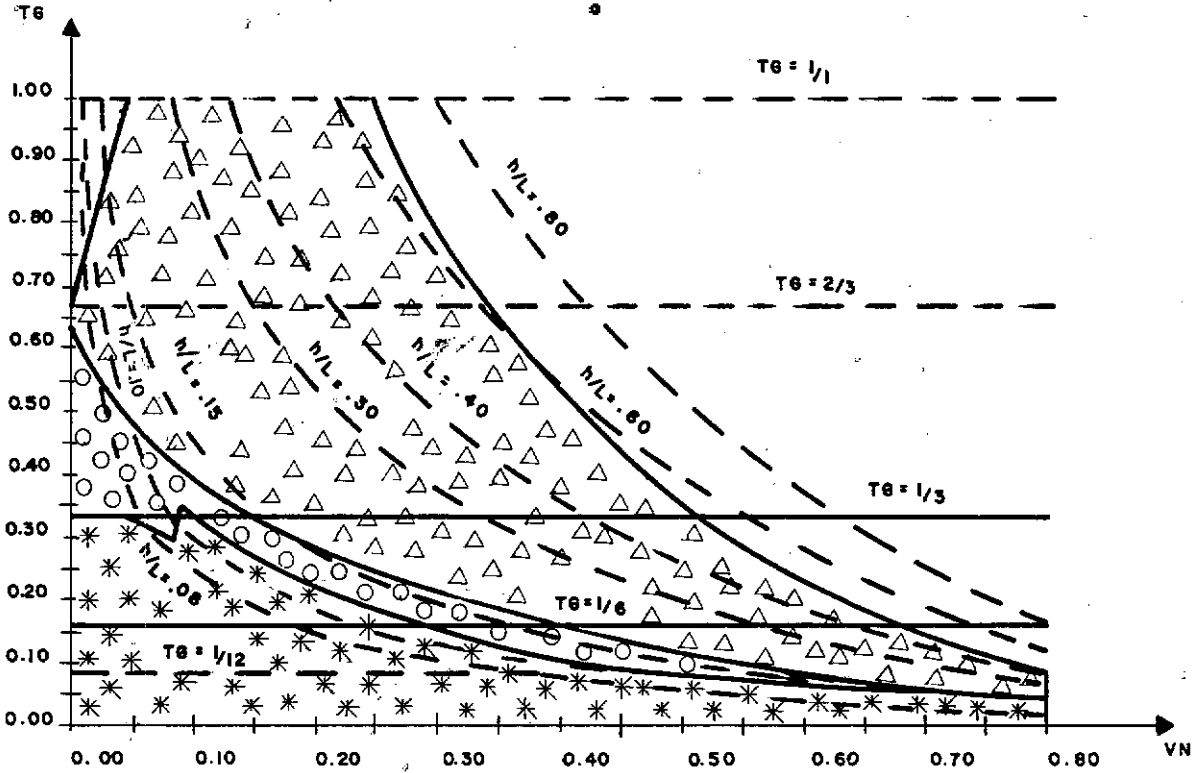


FIG. 5.2.c - REGIÕES ACEITÁVEIS PARA OS CRITÉRIOS DEFINIDOS NO QUADRO 5.2.c PARA A HIPÓTESE DE EIXO PASSANDO PELOS PONTOS MÉDIOS DAS ALTURAS.

V = 0,40

EIXO PASSANDO PELOS
PONTOS MÉDIOS DAS ALTURAS



1- HIPÓTESE DE EIXO PASSANDO PELOS PONTOS MÉDIOS DAS ALTURAS PARA O CRITÉRIO ① DO QUADRO 5.2.d

2- HIPÓTESE DE EIXO PASSANDO PELOS PONTOS MÉDIOS DAS ALTURAS PARA O CRITÉRIO ② DO QUADRO 5.2.d

3- HIPÓTESE DE EIXO PASSANDO PELOS PONTOS MÉDIOS DAS ALTURAS PARA O CRITÉRIO ③ DO QUADRO 5.2.d

- * * 1, 2 E 3 ACEITÁVEIS
- ○ 2 E 3 ACEITÁVEIS
- △ △ 3 ACEITÁVEL

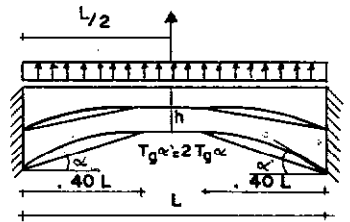


FIG. 5.2.d - REGIÕES ACEITÁVEIS PARA OS CRITÉRIOS DEFINIDOS NO QUADRO 5.2.d PARA A HIPÓTESE DE EIXO PASSANDO PELOS PONTOS MÉDIOS DAS ALTURAS.

b) A inspeção dos diagramas de tensões normais apresentadas no item 4.4 (figs. 4.4.1 a 4.4.64) confirma a limitação $tg\alpha \leq 1/3$ recomendada no Capítulo 2 item A.9 da NB-1.

c) Com relação a hipótese de eixo reto adotar $tg\alpha \leq 1/3$ e $h/L \leq .20$ (relação menor altura vão) implica na aceitação das relações indicadas no quadro abaixo para resultantes e deslocamentos:

| relações \ V | VN \geq .20 | | | | |
|--------------|-------------------------|---------------------------|---------------------------|------------|------------|
| | .10 | .20 | .30 | .40 | .40 |
| M/MEE | $\geq 1.$ | $\geq 1.$ | $\geq 1.$ | $\geq 1.$ | $\geq 1.$ |
| M/MEM | $\geq .95$ | $\geq .95$ | $\geq .95$ | $\geq .95$ | $\geq .95$ |
| D/DEM | $\geq .70$ $\leq 1.$ | $\geq .70$ ≤ 1.10 | $\geq .70$ ≤ 1.20 | $\geq .70$ | $\geq .70$ |
| TNE/TME | $\leq .10$ | $\leq .20$ | $\leq .25$ | $\leq .50$ | $\leq .25$ |
| TNM/TMM | $\leq .06$ | $\leq .14$ | $\leq .25$ | $\leq .50$ | $\leq .25$ |

No quadro acima, pode-se ter ainda conforme indicado na última coluna, TNE/TME e TNM/TMM menores que .25, para $V = .40$, desde que se adote a hipótese de eixo reto somente para valores de VN maiores que .20.

d) Em resumo deve ser observado então, quando se faz a análise do elemento com mísula para a consideração de eixo reto, o seguinte:

d.1 - Apenas elementos para os quais $tg\alpha \leq 1/3$ e $h/l \leq .50$ (relação altura/vão entre pontos de momento nulo conforme

| relação \ V | .10 | .20 | .30 | .40 | | |
|-------------|---------------------------|---------------------------|---------------------------|-----------------------------------|-------------------------|-------------------------|
| M/MEĒ | $\geq 1.$ ≤ 1.05 | $\geq 1.$ ≤ 1.10 | ≥ 1 ≤ 1.10 | $\geq 1.$ ≤ 1.10 | | |
| M/MEM | $\geq .95$ $\leq 1.$ | $\geq .95$ ≤ 1.05 | $\geq .95$ ≤ 1.05 | $\geq .95$ ≤ 1.05 | | |
| D/DEM | $\geq .70$ $\leq 1.$ | $\geq .70$ $\leq 1.$ | $\geq .70$ ≤ 1.20 | $\geq .70$ ≤ 1.50 | | |
| N/NE | $\geq .70$ ≤ 1.05 | $\geq .70$ ≤ 1.10 | $\geq .70$ $\leq 1.$ | $\geq .95$ $\leq 1.$ | $\geq .90$ $\leq 1.$ | $\geq .80$ $\leq 1.$ |
| TNE/TME | $\leq .10$ | $\leq .20$ | $\leq .25$ | $\leq .50$ | $\leq .40$ | $\leq .30$ |
| TNM/TMM | $\leq .06$ | $\leq .14$ | $\leq .25$ | $\leq .50$ | $\leq .40$ | $\leq .30$ |
| | | | | a | b | c |
| | | | | pode ocorrer uma das três colunas | | |

indicado na fig. I.1 devem ser analisados para esta hipótese. (Dentro destes limites pode-se considerar a hipótese das seções planas aceitável).

d.2 - Analisar este elemento para $h/L \leq .20$ (menor altura/vão) implica em aceitar as relações indicadas no item c. Se, ao contrário, $h/L > .20$ as relações anteriormente referidas devem ser obtidas a partir da fig. 5.1, associada ao quadro 5.1, conforme indicado no item a.

e) Para o mesmo elemento analisado, os resultados para a consideração de eixo inclinado são melhores que os obtidos pela consideração de eixo reto.

f) Para elemento com mísula cuja relação menor altura vão não ultrapasse os limites indicados abaixo, a hipótese de eixo inclinado conduz a resultados bastante próximos dos obtidos da análise do elemento pelo método dos elementos finitos.

$$V = .10 - h/L \leq .10$$

$$V = .20 - h/L \leq .10$$

$$V = .30 - h/L \leq .13$$

$$V = .40 - h/L \leq .13$$

A obediência dos limites indicados acima para h/L e o fato de se adotar $tg\alpha \leq 1/3$ conduziria as seguintes relações:

APENDICE AMANUAL DE ENTRADA DO PROGRAMAA.1 - Manual de Entrada

| Nº de ordem | nº de cartões | VARIÁVEIS | Formato |
|--|---------------|--|---------------------|
| 1 | 1 | NE | I10 |
| 2 | 1 | Comentários | colunas 2 a 55 |
| 3 | 1 | M,NJ,NR,NRJ,E,MV,MRID | 4I10,F10.0, 2I10 |
| 4 | NJ | J, X(J), Y(J) | I10,2F10.0 |
| 5 | M | I,NEL(I,1),NEL(I,2),AX(I),IZ(I) | 3I10,2F10.0 |
| 6 | MV | I,IV(I),V1(I),V2(I),VN1(I),VN2(I) | 2I10,4F10.0 |
| 7 | MRID | I,ASM(I,1),ASM(I,2),AMS(I,3), AMS(I,4),AMS(I,5),ASM(I,6) | I8,6E12.5 |
| 8 | NRJ | K,RL(3K-2),RL(3K-1),RL(3K) | 4I10 |
| 9 | 1 | NLS | I10 |
| 10 | 1 | NL,NLJ,NLML,NLMC | 4I10 |
| 11 | NLJ | K,A(3K-2),A(3K-1),A(3K) | I10,6F10.0 |
| 12 | NLML | I,(AML(I,IK),IK=1,6 | I10,6F10.0 |
| Para cada elemento dos NLMC carregados | | | |
| 13 | 1 | I,NCCI,NCDI | 3I10 |
| 14 | NCCI | PY(J),PX(J),DA(J) | 3F10.0 |
| 15 | a) NCDI | para elementos de seção constante QEY(J),QEX(J),QDY(J),QDX(J),DA(J), DB(J) | 6F10.0 |
| | b) 1 | para elementos com misula QY,QX | 2F10.0 |
| 16 | 1 | NE | I10 |

A.2 - Comentários

1. NE - número da estrutura a ser analisada
2. As colunas 2 a 55 deste cartão são reservadas para comentários
3. M - número de elementos da estrutura
 - NJ - número de nós da estrutura
 - NR - número total de restrições
 - NRJ - número de nós restringidos
 - E - módulo de elasticidade longitudinal
 - MV - número de elementos com m̄sula reta ou parab̄lica
 - MRID- número de elementos cuja matriz de rigidez é li-
da
4. Para cada n̄o deve ser fornecido:
 - J - número do n̄o
 - X(J) - abcissa do n̄o em relação aos eixos globais
 - Y(J) - ordenada do n̄o em relação aos eixos globais
5. Para cada elemento deve ser fornecido:
 - I - número do elemento
 - NEL(I,1) - número do n̄o inicial (n̄o j) do elemento
 - NEL(I,2) - número do n̄o final (n̄o K) do elemento
 - AX(I) - área da seção transversal do elemento de
seção constante ou do trecho central dos e-
lementos com m̄sula reta ou parab̄lica
 - IZ(I) - momento de in̄rcia com relação ao eixo ZM
(ou Z) do elemento de seção constante ou do
trecho central dos elementos com m̄sula re-
ta ou parab̄lica

Se a matriz de rigidez do elemento \bar{e} for fornecida, nas colunas correspondentes a $AX(I)$ deve ser perfurado um número real negativo, por exemplo -1.. As colunas correspondentes a $IZ(I)$ podem ser deixadas em branco.

6. Para cada elemento com m̄sula reta ou parab̄lica deve ser fornecido:

I - número do elemento

IV(I) - Índice que indica o tipo do elemento:

IV(I) = 1 elemento com m̄sula reta

IV(I) = 2 elemento com m̄sula parab̄lica

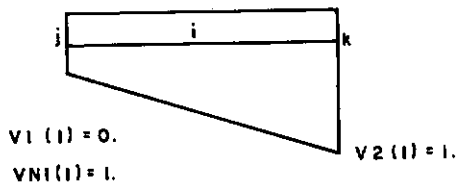
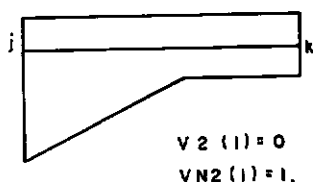
V1(I) - relação entre o comprimento da m̄sula adjacente ao n̄o inicial (n̄o J) e o comprimento total do elemento

V2(I) - relação entre o comprimento da m̄sula adjacente ao n̄o final (n̄o K) e o comprimento total do elemento

VN1(I) - relação entre o momento de in̄rcia do trecho de sēção constante e o momento de in̄rcia do extremo correspondente ao n̄o inicial (n̄o J)

VN2(I) - relação entre o momento de in̄rcia do trecho de sēção constante e o momento de in̄rcia do extremo correspondente ao n̄o final (n̄o K)

A seguir estão indicados como considerar os valores das relações V e VN para elementos que não conhemham m̄sulas nos dois extremos.



7. Para cada elemento cuja matriz de rigidez \bar{e} lida devem ser fornecidos:

I - número do elemento

ASM(I,-) são os coeficientes de rigidez indicados abaixo

ASM(I,1) \rightarrow SM(4,4)

ASM(I,2) \rightarrow SM(5,4)

ASM(I,3) \rightarrow SM(5,5)

ASM(I,4) \rightarrow SM(6,4)

ASM(I,5) \rightarrow SM(6,5)

ASM(I,6) \rightarrow SM(6,6)

8. Para cada nó que tem pelo menos uma de suas direções restringida deve ser fornecido:

K - número do nó

RL(3K-2), RL(3K-1), RL(3K) indicam respectivamente quais os deslocamentos (translações nas direções X e Y, e rotação) do nó K que são restringidos, da seguinte maneira:

RL = 0 indica que não há restrição ao deslocamento

RL = 1 indica que o deslocamento é impedido

9. NLS - número de carregamentos aplicados

10. NL - número do carregamento

NLJ - número de nós carregados em pelo menos uma direção

NLML - número de elementos para os quais as ações de engastamento perfeito são lidas

NLMC - número de elementos carregados

11. Para cada nó carregado em pelo menos uma direção deve ser fornecido:

K - número do nó

A(3K-2) - força que atua na direção X

A(3K-1) - força que atua na direção Y

A(3K) - momento

12. Para cada elemento nos quais as ações de engastamento perfeito são lidas deve ser fornecido:

I - número do elemento

AML(I,IK), IK = 1,6 - ações de engastamento perfeito referidas aos eixos XM, YM e ZM, nas direções de 1 a 6 do elemento

13. Para cada elemento carregado deve ser fornecido:

I - número do elemento

NCCI - número de cargas concentradas no elemento

NCDI - número de cargas distribuídas no elemento

14. Para cada carga concentrada no elemento deve ser fornecido:

PY(J) - componente da carga concentrada na direção YM

PX(J) - componente da carga concentrada na direção XM

DA(J) - distância do nó inicial (nó j) ao ponto de aplicação da carga concentrada.

15. Para cada carga distribuída no elemento deve ser fornecido:

a) elementos com seção constante:

QEY(J) - componente da carga distribuída, na direção de YM, adjacente ao nó inicial (nó j)

QEX(J) - componente da carga distribuída, na direção XM, adjacente ao nó inicial (nó j)

QDY(J) - componente da carga distribuída, na direção de YM, adjacente ao nó final (nó K)

QDX(J) - componente da carga distribuída, na direção de XM, adjacente ao nó final (nó K)

DA(J) - distância da carga distribuída a extremidade j

DB(J) - distância da carga distribuída a extremidade K

b) elementos com m̄sula reta ou parab̄lica:

QY - componente da carga uniformemente distribuída total na direção YM

QX - componente da carga uniformemente distribuída total na direção XM

16. É lido novamente o número da estrutura NE. Este cartão se em branco ou com zero perfurado na coluna 10 encerra a análise. Caso contrário o ciclo já indicado deve ser percorrido para a nova estrutura.

Deve ser observado ainda, que, exceto para o cartão de comentários, os cartões não necessários devem ser suprimidos, e as colunas não necessárias deixadas em branco.

APÊNDICE B

LISTAGEM DO PROGRAMA

```
FILE      8=CARTOES;UNIT=READER
FILE      5=IMPRESS,UNIT=PRINTER
FILE      1=WEL,UNIT=DISKPACK,AREA=100,RECORD=42
SUBROUTINE MONTW(I,UBW,NEL,RL,CRL,LSB,SMD,S)
```

```
C      SUBROTINA QUE MONTA A MATRIZ DE RIGIDEZ GLOBAL
```

```
      INTEGER RL(150),CRL(150),UBW
      DIMENSION SMD(6,6),S(147,21),NEL(100,2)
      DO 1 M=1,2
      DO 1 K=1,2
      DO 1 J=1,3
      J1=3*(NEL(I,M)-1)+J
      JE=3*(M-1)+J
      DO 1 IP=1,3
      IB=3*(NEL(I,K)-1)+IP
      IE=3*(K-1)+IP
      JB=J1-IB+1
      IF(JB)1,1,2
2 CONTINUE
      IF(RL(IB))3,3,1
3 IF(RL(J1))4,4,1
4 CONTINUE
      ITEMP=0
      DO 5 IKI=IB,J1
5 ITEMP=RL(IKI)+ITEMP
      JB=JB-ITEMP
      IB=IB-CRL(IB)
      IF(JB-UBW)6,6,7
7 UBW=JB
      IF(LSB-UBW)9,6,6
9 WRITE(5,10)
      STOP
10 FORMAT(1X,'FOI ULTRAPASSADA A LARGURA MAXIMA DE SEMIBANDA')
6 S(IB,JB)=S(IB,JB)+SMD(IE,JE)
1 CONTINUE
      RETURN
      END
```

SUBROUTINE DEBAW(N,UBW,S,ICO)

C SUBROTINA PARA DECOMPOSICAO DA MATRIZ DE RIGIDEZ 'S' NUMA MATRIZ
C FAIXA TRIANGULAR SUPERIOR QUE MULTIPLICADA PELA SUA TRANSPONSTA
C FORNECE 'S'

```
INTEGER P,Q,UBW
DIMENSION S(147,21)
ICO=0
DO 11 I=1,N
P=N-I+1
IF(UBW-P)1,2,2
1 P=UBW
2 DO 11 J=1,P
Q=UBW-J
IF(-I-1-Q)3,4,4
3 Q=I-1
4 SUM=S(I,J)
IF(Q-1)13,12,12
12 DO 5 K=1,Q
IK=I-K
JK=J+K
5 SUM=SUM-S(IK,K+I)*S(IK,JK)
13 IF(J-1)10,6,10
6 IF(SUM-G.C01)7,7,9
7 WRITE(5,8)I,SUM
8 FORMAT(//1X,'ELEMENTO NA DIAGONAL',I5,'E PEQUENO E IGUAL A',E15.6)
ICO=1
RETURN
9 TEMP=1./SQRT(SUM)
S(I,J)=TEMP
GO TO 11
10 S(I;J)=SUM*TEMP
11 CONTINUE
RETURN
END
```

SUBROUTINE SBANW(N,UBW,U,B,X)

C SUBROTINA PARA CALCULO DOS DESLOCAMENTOS A PARTIR DA MATRIZ FAIXA
C TRIANGULAR SUPRIOR OBTIDA PELA DEBAW

```
INTEGER UBW
DIMENSION U(147,21),X(147),B(147)
DO 1 I=1,N
  J=I-UBW+1
  IF(I+1-UBW)2,2,3
2 J=1
3 SUM=B(I)
  L=I-1
  IF(L-J)1,9,9
9 DO 4 K=J,L
  IK=I-K+1
4 SUM=SUM-U(K,IK)*X(K)
1 X(I)=SUM*U(I,1)
  DO 5 L=1,N
  I=N-L+1
  J=I+UBW-1
  IF(J-N)6,6,7
7 J=N
6 SUM=X(I)
  IP=I+1
  IF(J-IP)5,10,10
10 DO 8 K=IP,J
  KI=K-I+1
8 SUM=SUM-U(I,KI)*X(K)
5 X(I)=SUM*U(I,1)
RETURN
END
```


SUBROUTINE RGDIV(I,AX,L,E,IZ,SM)

C SUBROTINA PARA OBTENCAO DA MATRIZ DE RIGIDEZ DE ELEMENTO DE EIXO
C RETO DE SECAO CCNSTANTE

REAL L(100), IZ(100)
DIMENSION AX(100); SM(6,6)

C ZERAGEM DA MATRIZ SM

DO 25 J=1,6
DO 25 K=1,6
25 SM(J,K)=0.
SM(1,1)=E*AX(I)/L(I)
SM(2,2)=12.*E*IZ(I)/L(I)**3
SM(3,2)=6.*E*IZ(I)/L(I)**2
SM(3,3)=4.*E*IZ(I)/L(I)
SM(4,1)=-SM(1,1)
SM(4,4)=SM(1,1)
SM(5,2)=-SM(2,2)
SM(5,3)=-SM(3,2)
SM(5,5)=SM(2,2)
SM(6,2)=SM(3,2)
SM(6,3)=SM(3,3)/2.
SM(6,5)=SM(5,3)
SM(6,6)=SM(3,3)
DO 26 J=1,6
DO 26 K=1,J
26 SM(K,J)=SM(J,K)
RETURN
END

SUBROUTINE KINW(I;IV,VN1,VN2,KS)

C SUBROTINA QUE CALCULA AS CONSTANTES
C KS(1,1),KS(1,2),KS(1,3),KS(1,5),KS(2,1),KS(2,2),KS(2,3),KS(2,5)
C IV=0 ELEMENTO COM SECAO CONSTANTE
C IV=1 ELEMENTO COM MISULA RETA
C IV=2 ELEMENTO COM MISULA PARABOLICA
C VN1,VN2=RELAÇOES ENTRE MOMENTOS DE INERCIA DO TRECHO DE ALTURA
C CONSTANTE E DAS EXTREMIDADES (MENOR QUE 0.90,SE MAIOR SERA
C ASSUMIDO O VALOR 1.)
C V1,V2=COMPRIMENTOS RELATIVOS DOS TRECHOS COM MISULA
C FORMULAS DE ALBERT STRASSNER--*--SISTEMAS ESTATICAMENTE
C INDETERMINADOS

REAL KS(2,6)
DIMENSION IV(100),VN1(100),VN2(100)
DO 1 K=1,2
DO 1 J=1,6
1 KS(K,J)=0.
CC1=(1./VN1(I)**(1./3.))-1.
CC2=(1./VN2(I)**(1./3.))-1.
DEL1=(CC1+1.)**2
DEL2=(CC2+1.)**2
IF(IV(I)-1)2,3,4
3 CONTINUE

C VARIACAO LINEAR DA ALTURA DA SECAO (IV=1)

IF(VN1(I)-0.90)5,5,6
5 KS(1,1)=(CC1+2.)/(2.*DEL1)
KS(1,2)=1./(2.*DEL1)
KS(1,3)=(1./CC1**3)*(ALOG(CC1+1.))-CC1*(3.*CC1+2.)/(2.*DEL1)
KS(1,5)=ALOG(CC1+1.)/CC1
6 IF(VN2(I)-0.90)7,7,11
7 KS(2,1)=(CC2+2.)/(2.*DEL2)
KS(2,2)=1./(2.*DEL2)
KS(2,3)=(1./CC2**3)*(ALOG(CC2+1.))-CC2*(3.*CC2+2.)/(2.*DEL2)
KS(2,5)=ALOG(CC2+1.)/CC2

GO TO 11
4 CONTINUE

C VARIACAO PARABOLICA DA ALTURA DA SECAO (IV=2)

IF(VN1(I)-0.90)8,8,9
8 KS(1,1)=((5.+3.*CC1)/DEL1+3.*ATAN(SQRT(CC1))/SQRT(CC1))/8.
KS(1,2)=(CC1+2.)/(4.*DEL1)
KS(1,3)=((CC1-1.)/(CC1*DEL1)+ATAN(SQRT(CC1))/(CC1*SQRT(CC1)))/8.
KS(1,5)=ATAN(SQRT(CC1))/SQRT(CC1)
9 IF(VN2(I)-0.90)10;10,11
10 KS(2,1)=((5.+3.*CC2)/DEL2+3.*ATAN(SQRT(CC2))/SQRT(CC2))/8.
KS(2,2)=(CC2+2.)/(4.*DEL2)
KS(2,3)=((CC2-1.)/(CC2*DEL2)+ATAN(SQRT(CC2))/(CC2*SQRT(CC2)))/8.
KS(2,5)=ATAN(SQRT(CC2))/SQRT(CC2)
11 IF(VN1(I)-0.90)13;13,12
12 KS(1,1)=1.
KS(1,2)=1.
KS(1,3)=1.
KS(1,5)=1.
13 IF(VN2(I)-0.90)2,2,15
15 KS(2,1)=1.
KS(2,2)=1.
KS(2,3)=1.
KS(2,5)=1.
2 CONTINUE
RETURN
END

SUBROUTINE FINW(I;V1,V2,KS,FI33,FI44,FI36,FI66)

C ESTA SUBROTINA CALCULA OS FATORES DE CORRECAO FI33,FI44,FI36,FI66
C DOS COEFICIENTES DA MATRIZ DE FLEXIBILIDADE DE UMA HASTE RETA COM
C MISULA RETA OU PARABOLICA PARA AS ROTACOES ASSOCIADAS A MOMENTOS
C NAS EXTREMIDADES
C AS CONSTANTES KS SAO FORNECIDAS PELA SUBROTINA KINW

```
REAL KS(2,6)
DIMENSION V1(100),V2(100)
A1=1.-KS(1,1)
B1=1.-2.*KS(1,1)+2.*KS(1,2)
C1=1.-3.*KS(1,1)+6.*KS(1,2)-3.*KS(1,3)
A2=1.-KS(2,1)
B2=1.-2.*KS(2,1)+2.*KS(2,2)
C2=1.-3.*KS(2,1)+6.*KS(2,2)-3.*KS(2,3)
FI44=1.-V1(I)-V2(I)+V1(I)*KS(1,5)+V2(I)*KS(2,5)
FI33=1.-3.*V1(I)*A1+3.*V1(I)**2*B1-V1(I)**3*C1-V2(I)**3*C2
FI66=1.-3.*V2(I)*A2+3.*V2(I)**2*B2-V2(I)**3*C2+V1(I)**3*C1
FI36=1.-3.*V1(I)**2*B1+2.*V1(I)**3*C1-3.*V2(I)**2*B2+2.*V2(I)**3*C
*2
RETURN
END
```

SUBROUTINE CIVRW(FI33,FI44,FI36,FI66,CR)

C ESTA SUBROTINA CALCULA OS FATORES DE CORRECAO DOS COEFICIENTES DA
C MATRIZ DE RIGIDEZ DE UMA HASTE RETA COM MISULA RETA OU PARABOLICA
C -*OS VALORES DE SM OBTIDOS PARA INERCIA CONSTANTE=INERCIA MINIMA
C DEVEM SER MULTIPLICADOS PELOS CORRESPONDENTES VALORES DE CR
C COEFICIENTES FI33,FI44,FI36,FI66 SAO FORNECIDOS PELA SUBROTINA
C FINW

```
DIMENSION CR(6,6)
DET=(4.*FI33*FI66-FI36**2)
DO 1 J=1,6
DO 1 K=1,6
1 CR(J,K)=0.
CR(1,1)=1./FI44
CR(2,2)=(FI66+FI36+FI33)/DET
CR(3,2)=(2.*FI66+FI36)/DET
CR(3,3)=(3.*FI66)/DET
CR(4,1)=CR(1,1)
CR(4,4)=CR(1,1)
CR(5,2)=CR(2,2)
CR(5,3)=CR(3,2)
CR(5,5)=CR(2,2)
CR(6,2)=(2.*FI33+FI36)/DET
CR(6,3)=(3.*FI36)/DET
CR(6,5)=(2.*FI33+FI36)/DET
CR(6,6)=(3.*FI33)/DET
DO 2 J=1,6
DO 2 K=1,J
2 CR(K,J)=CR(J,K)
RETURN
END
```

SUBROUTINE RDRIW(I,L,ASM,SM)

C SUBROTINA PARA A OBTENCAO DA MATRIZ DE RIGIDEZ DO ELEMENTO
C A PARTIR DOS COEFICIENTES SM(4,4),SM(5,4),SM(5,5),SM(6,4),SM(6,5)
C SM(6,6)

```
REAL L(I)
DIMENSION SM(6,6),ASM(100,6)
SM(4,4)=ASM(I,1)
SM(5,4)=ASM(I,2)
SM(5,5)=ASM(I,3)
SM(6,4)=ASM(I,4)
SM(6,5)=ASM(I,5)
SM(6,6)=ASM(I,6)
SM(1,1)=SM(4,4)
SM(2,2)=SM(5,5)
SM(2,3)=SM(5,5)*L(I)**2+2.*SM(6,5)*L(I)+SM(6,6)
SM(2,1)=SM(5,4)
SM(3,1)=SM(5,4)*L(I)+SM(6,4)
SM(3,2)=SM(5,5)*L(I)+SM(6,5)
SM(4,1)=-SM(4,4)
SM(4,2)=-SM(5,4)
SM(4,3)=- (SM(5,4)*L(I)+SM(6,4))
SM(5,1)=-SM(5,4)
SM(5,2)=-SM(5,5)
SM(5,3)=- (SM(5,5)*L(I)+SM(6,5))
SM(6,1)=-SM(6,4)
SM(6,2)=-SM(6,5)
SM(6,3)=- (SM(6,5)*L(I)+SM(6,6))
DO 80 J=1,6
DO 80 K=1,J
DO 80 K=1,J
EO SM(K,J)=SM(J,K)
RETURN
RETURN
END
```

SUBROUTINE CONCH(NCCI,I,L,IV,V1,V2,VN1,VN2,AML)

C ESTA SUBROTINA CALCULA OS AML PARA CARGA CONCENTRADA NO ELEMENTO
C COM MISLA RETA OU PARABOLICA
C CARGA HORIZONTAL OU VERTICAL

```
REAL KS(2,6),MI1,MI2,L(100)
DIMENSION IV(100),V1(100),V2(100),VN1(100),VN2(100),CR(6,6),AML(10
*0,6),PX(20),PY(20),DA(20)
READ(8,1)(PY(J),PX(J),DA(J),J=1,NCCI)
1 FORMAT(3F10.0)
WRITE(5,2)(PY(J),PX(J),DA(J),J=1,NCCI)
2 FORMAT(3F12.3)
CALL KINW(I,IV,VN1,VN2,KS)
CALL FINW(I,V1,V2,KS,FI33,FI44,FI36,FI66)
CALL CIVRW(FI33,FI44,FI36,FI66,CR)
CC1=(1./VN1(I)**(1./3.))-1.
CC2=(1./VN2(I)**(1./3.))-1.
DEL1=(CC1+1.)**2
DEL2=(CC2+1.)**2
DO 3 J=1,NCCI
MI1=DA(J)/L(I)
MI2=1.-MI1
IF(MI1-V1(I))4,5,5
5 IF(MI2-V2(I))6,7,7
7 CONTINUE
```

C CARGAS PX E PY NO TRECHO DE SECAO CONSTANTE

```
A1=KS(1,1)-KS(1,2)
B1=KS(1,1)-2.*KS(1,2)+KS(1,3)
PN=KS(1,5)-1.
A2=KS(2,1)-KS(2,2)
B2=KS(2,1)-2.*KS(2,2)+KS(2,3)
FIL3=MI2*(6.*V1(I)**2*A1-6.*V1(I)**3*B1+3.*MI1**2-3.*V1(I)**2-2.*M
*I1**3+2.*V1(I)**3)+MI1*(6.*V2(I)**3*B2+2.*MI2**3-2.*V2(I)**3)
FIL6=MI1*(6.*V2(I)**2*A2-6.*V2(I)**3*B2+3.*MI2**2-3.*V2(I)**2-2.*M
*I2**3+2.*V2(I)**3)+MI2*(6.*V1(I)**3*B1+2.*MI1**3-2.*V1(I)**3)
```

```
FIL4=V1(I)*PN+MI1  
GO TO 19  
4 CONTINUE
```

C CARGAS PX E PY NA MISULA ESQUERDA (MISULA 1)

```
IF(VN1(I)-0.90)8,8,9  
8 S1=1.-MI1/V1(I)  
IF(-IV(I)-1)10;11,12  
11 CONTINUE
```

C VARIACAO LINEAR DA ALTURA DA SECAO (IV=1)

```
DELR=2.*(S1*CC1+1.)**2  
VS11=S1*(S1*CC1+2.)/DELR  
VS12=S1**2/DELR  
VS13=(ALOG(S1*CC1+1.))-S1*CC1*(3.*S1*CC1+2.)/DELR)/CC1**3  
VS15=ALOG(S1*CC1+1.)/CC1  
GO TO 13  
12 CONTINUE
```

C VARIACAO PARABOLICA DA ALTURA DA SECAO (IV=2)

```
DELP=(S1**2*CC1+1.)**2  
VS11=(S1*(5.+3.*S1**2*CC1)/DELP+3.*ATAN(S1*SQRT(CC1))/SQRT(CC1))/8  
*.  
VS12=S1**2*(S1**2*CC1+2.)/(4.*DELP)  
VS13=(S1*(S1**2*CC1-1.)/(CC1*DELP)+ATAN(S1*SQRT(CC1))/(CC1*SQRT(CC  
*1)))/e.  
VS15=ATAN(S1*SQRT(CC1))/SQRT(CC1)  
GO TO 13  
9 VS11=1.  
VS12=1.  
VS13=1.  
VS15=1.  
13 CONTINUE  
A1=KS(1,1)-VS11-KS(1,2)+VS12  
B1=KS(1,1)-VS11-2.*(KS(1,2)-VS12)+KS(1,3)-VS13
```



```

C1=V1(I)-2.*V1(I)**2+V1(I)**3
D1=V1(I)**2-V1(I)**3
E1=VS11-VS12
F1=VS11-2.*VS12+VS13
A2=KS(2,1)-2.*KS(2,2)+KS(2,3)
B2=KS(2,1)-KS(2,2)
PN=KS(1,5)-VS15
FIL3=6.*MI2*(V1(I)**2*A1-V1(I)**3*B1)+2.*MI1*(3.*VS11*C1+6.*VS12*D
*1+3.*V1(I)**3*VS13+1.-3.*V1(I)+3.*V1(I)**2-V1(I)**3-V2(I)**3+3.*V2
*(I)**3*A2)
FIL6=MI1*(6.*V2(I)**2*B2-6.*V2(I)**3*A2+1.-3.*V2(I)**2+2.*V2(I)**3
*-3.*V1(I)**2+2.*V1(I)**3+6.*V1(I)**2*E1-6.*V1(I)**3*F1)+6.*MI2*V1(
*I)**3*B1
FIL4=V1(I)*PN
GO TO 19
6 CONTINUE

```

C CARGAS PX E PY NA MISULA DIREITA (MISULA 2)

```

IF(VN2(I)-0.90)14;14,15
14 S2=1.-MI2/V2(I)
IF(IV(I)-1)10,16,17
16 CONTINUE

```

C VARIACAO LINEAR DA ALTURA DA SECAO (IV=1)

```

DELR=2.*(S2*CC2+1.)**2
VS21=S2*(S2*CC2+2.)/DELR
VS22=S2**2/DELR
VS23=(ALOG(S2*CC2+1.)-S2*CC2*(3.*S2*CC2+2.)/DELR)/CC2**3
VS25=ALOG(S2*CC2+1.)/CC2
GO TO 18
17 CONTINUE

```

C VARIACAO PARABOLICA DA ALTURA DA SECAO (IV=2)

```

DELP=(S2**2*CC2+1.)**2
VS21=(S2*(5.+3.*S2**2*CC2)/DELP+3.*ATAN(S2*SQRT(CC2))/SQRT(CC2))/8

```

```

* :
VS22=S2**2*(S2**2*CC2+2.)/(4.*DELP)
VS23=(S2*(S2**2*CC2-1.)/(CC2*DELP)+ATAN(S2*SQR(T(CC2)))/(CC2*SQR(T(CC
*2))))/8.
VS25=ATAN(S2*SQR(T(CC2)))/SQR(T(CC2))
GO TO 18
15 VS21=1.
VS22=1.
VS23=1.
VS25=1.
18 CONTINUE
A1=KS(1,1)-KS(1,2)
B1=KS(1,1)-2.*KS(1,2)+KS(1,3)
A2=VS21-VS22
B2=VS21-2.*VS22+VS23
C2=KS(2,1)-VS21-2.*(KS(2,2)-VS22)+KS(2,3)-VS23
D2=KS(2,1)-VS21-KS(2,2)+VS22
E2=V2(I)-2.*V2(I)**2+V2(I)**3
F2=V2(I)**2-V2(I)**3
PN=V1(I)*KS(1,5)+V2(I)*VS25
FIL3=MI2*(6.*V1(I)**2*A1-6.*V1(I)**3*B1+1.*3.*V1(I)**2+2.*V1(I)**3
*-3.*V2(I)**2+2.*V2(I)**3+6.*V2(I)**2*A2-6.*V2(I)**3*B2)+6.*MI1*V2(
*I)**3*C2
FIL6=6.*MI1*(V2(I)**2*D2-V2(I)**3*C2)+2.*MI2*(3.*VS21*E2+6.*VS22*F
*2+3.*V2(I)**3*VS23+1.*-3.*V2(I)+3.*V2(I)**2+V2(I)**3-V1(I)**3+3.*V1
*(I)**3*B1)
FIL4=PN+1.*-V1(I)-V2(I)
19 CONTINUE
FIM4=CR(4,4)*FIL4
FIM3=2.*CR(3,3)*FIL3-CR(3,6)*FIL6
FIM6=2.*CR(6,6)*FIL6-CR(3,6)*FIL3
FIM1=1.-FIM4
FIM2=FIM3-FIM6+3.*MI2
FIM5=-(FIM3-FIM6)+3.*MI1
VA1=PX(J)
VA2=PY(J)/3.
VA3=PY(J)*L(I)/3.
AML(I,1)=AML(I,1)+FIM1*(-VA1)

```

```
      AML(I,2)=AML(I,2)+FIM2*(-VA2)
      AML(I,3)=AML(I,3)+FIM3*(-VA3)
      AML(I,4)=AML(I,4)+FIM4*(-VA1)
      AML(I,5)=AML(I,5)+FIM5*(-VA2)
3     AML(I,6)=AML(I,6)+FIM6*(VA3)
10  RETURN
    END
```

SUBROUTINE CONW(NCCI,L,I,AML)

C SUBROTINA PARA CALCULO DAS ACOES DE ENGASTAMENTO NAS
C EXTREMIDADES DE ELEMENTOS RETOS DE SECAO CONSTANTE
C SUJEITOS A CARGAS CONCENTRADAS

```
REAL L(100)
DIMENSION AML(100,6),PY(20),PX(20),DA(20),DB(20)
READ(8,1)(PY(J),PX(J),DA(J),J=1,NCCI)
1 FORMAT(3F10.0)
WRITE(5,2)(PY(J),PX(J),DA(J),J=1,NCCI)
2 FORMAT(6F12.3)
DO 10 J=1,NCCI
DB(J)=L(I)-DA(J)
VA3=-PY(J)*DA(J)*DB(J)**2/(L(I)**2)
VA6=+PY(J)*DA(J)**2*DB(J)/(L(I)**2)
AML(I,1)=AML(I,1)-PX(J)*DB(J)/L(I)
AML(I,2)=AML(I,2)-PY(J)*DB(J)/L(I)+(VA3+VA6)/L(I)
AML(I,3)=AML(I,3)+VA3
AML(I,4)=AML(I,4)-PX(J)*DA(J)/L(I)
AML(I,5)=AML(I,5)-PY(J)*DA(J)/L(I)-(VA3+VA6)/L(I)
10 AML(I,6)=AML(I,6)+VA6
RETURN
END
```

SUBROUTINE CADTW(I,L,IV,V1,V2,VN1,VN2,AML)

C ESTA SUBROTINA CALCULA OS AML PARA CARGA UNIFORMEMENTE DISTRIBUIDA
C AO LONGO DE TODO ELEMENTO COM MISULA RETA OU PARABOLICA
C CARGA HORIZONTAL OU VERTICAL

REAL KS(2,6),L(100),NI,N2
DIMENSION IV(100),V1(100),V2(100),VN1(100),VN2(100),CR(6,6),AML(10
*6,6)
READ(8,1)QY,QX
1 FORMAT(2F10.0)
WRITE(5,2)QY,QX
2 FORMAT(2F12.3,6X,'QX E QY UNIFORMEMENTE DISTRIBUIDA TOTAL')
CALL KINW(I,IV,VN1,VN2,KS)
CALL FINW(I,V1,V2,KS,FI33,FI44,FI36,FI66)
CALL CIVRW(FI33,FI44,FI36,FI66,CR)
CC1=(1./VN1(I)**(1./3.))-1.
CC2=(1./VN2(I)**(1./3.))-1.
DEL1=(CC1+1.)**2
DEL2=(CC2+1.)**2
IF(IV(I)-1)3,4,5
4 CONTINUE

C VARIACAO LINEAR DA ALTURA DA SECAO (IV=1)

IF(VN1(I)-0.90)6,6,7
6 KS(1,4)=(-3.*ALOG(CC1+1.))+CC1*(6.+9.*CC1+2.*CC1**2)/(2.*DEL1))/CC1
***4
KS(1,6)=(CC1-ALOG(CC1+1.))/CC1**2
7 IF(VN2(I)-0.90)8,8,12
8 KS(2,4)=(-3.*ALOG(CC2+1.))+CC2*(6.+9.*CC2+2.*CC2**2)/(2.*DEL2))/CC2
***4
KS(2,6)=(CC2-ALOG(CC2+1.))/CC2**2
GO TO 12
5 CONTINUE

C VARIACAO PARABOLICA DA ALTURA DA SECAO (IV#2)

```

IF(VN1(I)-0.90)9,9,10
9 KS(1,4)=1./(4.*DEL1)
KS(1,6)=ALOG(CC1+1.)/(2.*CC1)
10 IF(VN2(I)-0.90)11,11,12
11 KS(2,4)=1./(4.*DEL2)
KS(2,6)=ALOG(CC2+1.)/(2.*CC2)
12 IF(VN1(I)-0.90)14,14,13
13 KS(1,4)=1.
KS(1,6)=1.
14 IF(VN2(I)-0.90)17,17,16
16 KS(2,4)=1.
KS(2,6)=1.
17 CONTINUE
A1=1.-2.*KS(1,1)+2.*KS(1,2)
B1=1.-3.*KS(1,1)+6.*KS(1,2)-3.*KS(1,3)
C1=1.-4.*KS(1,1)+12.*KS(1,2)-12.*KS(1,3)+4.*KS(1,4)
A2=1.-2.*KS(2,1)+2.*KS(2,2)
B2=1.-3.*KS(2,1)+6.*KS(2,2)-3.*KS(2,3)
C2=1.-4.*KS(2,1)+12.*KS(2,2)-12.*KS(2,3)+4.*KS(2,4)
N1=KS(1,5)-KS(1,6)
N2=KS(2,5)-KS(2,6)
FIL3=1.-6.*V1(I)**2*A1+8.*V1(I)**3*B1-3.*V1(I)**4*C1-4.*V2(I)**3*B
*2+3.*V2(I)**4*C2
FIL6=1.-6.*V2(I)**2*A2+8.*V2(I)**3*B2-3.*V2(I)**4*C2-4.*V1(I)**3*B
*1+3.*V1(I)**4*C1
FIL4=2.*V1(I)*KS(1,5)-2.*V1(I)**2*N1+(1.-V1(I))**2*V2(I)**2+2.*V2(
*I)**2*N2
FIM4=CR(4,4)*FIL4
FIM3=2.*CR(3,3)*FIL3-CR(3,6)*FIL6
FIM6=2.*CR(6,6)*FIL6-CR(3,6)*FIL3
FIM1=2.-FIM4
FIM2=(1./6.)*(FIM3-FIM6)+1.
FIM5=(-1./6.)*(FIM3-FIM6)+1.
VA1=QX*L(I)/2.
VA2=QY*L(I)/2.
VA3=QY*L(I)**2/12.
AML(I,1)=AML(I,1)+FIM1*(-VA1)
AML(I,2)=AML(I,2)+FIM2*(-VA2)

```

AML(I,3)=AML(I,3)+FIM3*(-VA3)

AML(I,4)=AML(I,4)+FIM4*(-VA1)

AML(I,5)=AML(I,5)+FIM5*(-VA2)

AML(I,6)=AML(I,6)+FIM6*(VA3)

3 RETURN

END

SUBROUTINE DISCW(NCDI,L,I,AML)

C SUBROTINA PARA CALCULO DAS ACCES DE ENGASTAMENTO NAS
C EXTREMIDADES DE ELEMENTOS RETOS DE SECAO CONSTANTE
C SUJEITOS A CARGAS DISTRIBUIDAS

```
REAL L(100)
DIMENSION AML(100;6),QEY(20),QEX(20),QDY(20),QDX(20),
*CA(20),DB(20),QTY(20),QTX(20),QY(20),QX(20)
READ(8,1)(QEY(J),QEX(J),QDY(J),QDX(J),DA(J),DB(J),J=1,NCDI)
1 FORMAT(6F10.0)
WRITE(5,2)(QEY(J),QEX(J),QDY(J),QDX(J),DA(J),DB(J),J=1,NCDI)
2 FORMAT(6F12.3)
DO 110 J=1,NCDI
DC=L(I)-(DA(J)+DB(J))
A=DA(J)+DC/2.
B=L(I)-A
IF(QEY(J)+QDY(J))3,5,3
3 IF(ABS(QEY(J))-ABS(QDY(J)))30,10,20
5 IF(ABS(QEX(J))-ABS(QDX(J)))30,10,20
10 QX(J)=QEX(J)
QY(J)=QEY(J)
GO TO 70
20 QTX(J)=QEX(J)-QDX(J)
QTY(J)=QEY(J)-QDY(J)
QX(J)=QDX(J)
QY(J)=QDY(J)
AG=DA(J)+DC/3.
BG=L(I)-AG
JC=C
GO TO 40
30 QTX(J)=QDX(J)-QEX(J)
QTY(J)=QDY(J)-QEY(J)
QX(J)=QEX(J)
QY(J)=QEY(J)
AG=DB(J)+DC/3.
BG=L(I)-AG
TP=DA(J)
```



```

DA(J)=DB(J)
DB(J)=TP
JC=1
40 ET1=QTX(J)*DC*BG/(2*L(I))
ET4=QTX(J)*DC*AG/(2*L(I))
ET31=QTY(J)*DC/(60.*L(I)**2)
ET32=10.*DB(J)**2*(3.*DA(J)+DC)+DC**2*(15.*DA(J)+10.*DB(J)+3.*DC)+
140.*DA(J)*DB(J)*DC
ET3=ET31*ET32
ET61=ET31
ET62=10.*DA(J)**2*(3.*DB(J)+2.*DC)+DC**2*(10.*DA(J)+5.*DB(J)+
12.*DC)+20.*DA(J)*DB(J)*DC
ET6=ET61*ET62
ET2=QTY(J)*DC*BG/(2.*L(I))
ET5=QTY(J)*DC*AG/(2.*L(I))
IF(JC)60,50,60
50 AML(I,1)=AML(I,1)-ET1
AML(I,2)=AML(I,2)-ET2-(ET3-ET6)/L(I)
AML(I,3)=AML(I,3)-ET3
AML(I,4)=AML(I,4)-ET4
AML(I,5)=AML(I,5)-ET5+(ET3-ET6)/L(I)
AML(I,6)=AML(I,6)+ET6
GO TO 70
60 AML(I,1)=AML(I,1)-ET4
AML(I,2)=AML(I,2)-ET5+(ET3-ET6)/L(I)
AML(I,3)=AML(I,3)-ET6
AML(I,4)=AML(I,4)-ET1
AML(I,5)=AML(I,5)-ET2-(ET3-ET6)/L(I)
AML(I,6)=AML(I,6)+ET3
70 IF(DA(J)+DB(J))90,80,90
80 ED3=(QY(J)*L(I)**2)/12.
ED6=ED3
GO TO 100
90 ED3=(QY(J)*DC)/(12.*L(I)**2)*(12.*A*B**2+DC**2*(L(I)-3)*B)
ED6=(QY(J)*DC)/(12.*L(I)**2)*(12.*A**2*B+DC**2*(L(I)-3)*A)
100 AML(I,1)=AML(I,1)-QX(J)*DC*B/L(I)
AML(I,2)=AML(I,2)-QY(J)*DC*B/L(I)-(ED3-ED6)/L(I)
AML(I,3)=AML(I,3)-ED3

```

AML(I,4)=AML(I,4)-QX(J)*DC*A/L(I)

AML(I,5)=AML(I,5)-QY(J)*DC*A/L(I)+(ED3-ED6)/L(I)

AML(I,6)=AML(I,6)+ED6

110 CONTINUE

RETURN

END

C ANALISE DE PORTICO PLANO COM HASTES RETAS ; DE SECAO
 C CONSTANTE OU COM MISULA RETA OU PARABOLICA
 C WEBE JOAO MANSUR

```

INTEGER RL(150),CRL(150),UBW
REAL L(100),IZ(100),KS(2,6)
DIMENSION IV(100);V1(100),V2(100),VN1(100);VN2(100),CR(6,6)
DIMENSION X(50),Y(50),NEL(100,2),AX(100),CX(100),CY(100),
*SM(6,6),SMR(6,6),SMD(6,6),S(147,21),A(150);AE(150);AC(150);
*D(150),AML(100,6);AMD(6),AR(150),ASM(100,6)
1 READ(8,2)NE
2 FORMAT(I10)
  IF(NE)3,3,4
3 STOP
4 WRITE(5,5)NE
5 FORMAT('1',32X,'COPPE/UFRJ PROGRAMA DE ENGENHARIA CIVIL',/%,33X,'A
*ANALISE DE PORTICO PLANO POR MATRIZ BANDA',./,33X,'TESE WEBE JOAO M
*ANSUR',./,33X,'ESTRUTURA NUMERC',I2,/)
  READ(8,6)
  WRITE(5,6)
6 FORMAT('

```

C LEITURA E IMPRESSAO DE DADOS DA ESTRUTURA

```

  READ(8,7)M,NJ,NR,NRJ,E,MV,MRID
7 FORMAT(4I10,F10.0;2I10)
  N=3*NJ-NR
  WRITE(5,8)M,MV,MRID,N,NJ,NR,NRJ,E
8 FORMAT(//,1X,'NUMERO DE MEMBROS',I48,/,1X; 'NUMEROS DE MEMBROS COM
* MISULA RETA OU PARABOLICA',I17,/,1X,'NUMERO DE MEMBROS CUJA MATR
* IZ DE RIGIDEZ E LIDA',I18,/,1X,'GRAU DE INDETERMINACAO CINEMATICA
*',I32,/,1X; 'NUMERO DE NOS DA ESTRUTURA',I39,/,1X; 'NUMERO TOTAL D
* E RESTRICOES',I39,/,1X,'NUMERO DE NOS RESTRINGIDOS',I39,/,1X,'MO
* DULO DE ELASTICIDADE',F43.0,'T/M2',/)

```

```

C      ZERAGEM DE IV(I)

      DO 1999 I=1,M
1999  IV(I)=0

C      LEITURA E IMPRESSAO DAS COORDENADAS DOS NOS*

      DO 9 IC=1,NJ
      READ(8,10)J,X(J),Y(J)
10  FORMAT(I10,2F10.0)
      9  CONTINUE
      WRITE(5,11){J;X(J),Y(J),J=1,NJ}
11  FORMAT(/,1X,'COORDENADAS DOS NOS',//,3X,'J',6X,'X',9X,'Y',//,(14,
      *2F10.3))

C      LEITURA E IMPRESSAO DA INCIDENCIA E PROPRIEDADES DOS ELEMENTOS

      WRITE(5,12)
12  FORMAT(/,1X,'INCIDENCIA E PROPRIEDADES DOS ELEMENTOS'//)
      DO 16 IC=1,M
      READ(8,13)I,NEL(I,1),NEL(I,2),AX(I),IZ(I)
13  FORMAT(3I10,2F10.0)
      IF(AX(I))2003,2004,2004
2003  IV(I)=3
2004  CONTINUE
      JJI=NEL(I,1)
      JKI=NEL(I,2)
      XCL=X(JKI)-X(JJI)
      YCL=Y(JKI)-Y(JJI)
      L(I)=SQRT(XCL**2+YCL**2)
      CX(I)=XCL/L(I)
      CY(I)=YCL/L(I)
16  CONTINUE
      WRITE(5,2008)
2008  FORMAT(2X,'I',6X,'JJ(I)',4X,'JK(I)',7X,'AX(I)',10X,'IZ(I)',11X,
      *'L(I)',11X,'CX(I)',10X,'CY(I)',//)
      DO 2050 I=1,M
      IF(IV(I))3,2009,2010

```

```

2009 CONTINUE
      WRITE(5,17)I,NEL(I,1),NEL(I,2),AX(I),IZ(I);L(I),CX(I),CY(I)
      17 FORMAT(I4,2I9,5F15.4)
      GO TO 2011
2010 CONTINUE
      WRITE(5,2012)I,NEL(I,1),NEL(I,2),L(I),CX(I),CY(I)
2012 FORMAT(I4,2I9,2X,'MATRIZ DE RIGIDEZ FORNECIDA',1X,3F15.4)
2011 CONTINUE
2050 CONTINUE
      IF(MV)1000,1000,1002
1002 CONTINUE

C      LEITURA E IMPRESSAO DE IV(I),V1(I),V2(I),VN1(I),VN2(I)

      WRITE(5,1004)
1004 FORMAT(//,1X,'ELEMENTOS COM MISULA RETA OU PARABOLICA',//,1X,'ELEM
*ENTO',6X,'IV(I)',6X,'V1(I)',6X,'V2(I)',6X,'VN1(I)',6X,'VN2(I)',//)
      DO 1006 K=1,MV
      READ(8,1005)I,IV(I),V1(I),V2(I),VN1(I),VN2(I)
1005 FORMAT(2I10,4F10.0)
      WRITE(5,1018)I,IV(I),V1(I),V2(I),VN1(I),VN2(I)
1018 FORMAT(I9,I7,F13.3,F11.3,2F12.3)
      IF(VN1(I)-0.90)1133,1133,1132
1132 IF(V1(I)-0.0000000001)1133,1133,1134
1133 IF(VN2(I)-0.90)1006,1006,1135
1135 IF(V2(I)-0.0000000001)1006,1006,1134
1134 WRITE(5,1136)I
1136 FORMAT(1X,'***** FOI ASSUMIDO PARA VN O VALOR 1.',**ELEMENT
*O***',I10,//)
1006 CONTINUE
1000 CONTINUE
      IF(MR-ID)3,2013,2014
2014 CONTINUE

C      LEITURA DE SM(4,4),SM(5,4),SM(5,5),SM(6,4),SM(6,5),SM(6,6)

      WRITE(5,2021)
2021 FORMAT(//,1X,'ELEMENTOS CUJA MATRIZ DE RIGIDEZ E LIDA',//,1X,

```

```

*ELEMENTO',4X,'IV(I)',6X,'SM(4,4)',8X,'SM(5,4)',8X,'SM(5,5)',8X,
*'SM(6,4)',8X,'SM(6,5)',8X,'SM(6,6)';//)
DO 3000 K=1,MRID
READ(8,2016)I,ASM(I,1),ASM(I,2),ASM(I,3),ASM(I,4),ASM(I,5);ASM(I,6
*)
2016 FORMAT(I8,6E12.5)
WRITE(5,2017)I,IV(I),ASM(I,1),ASM(I,2),ASM(I,3),ASM(I,4),ASM(I,5),
*ASM(I,6)
2017 FORMAT(I9,I7,6X,6(E12.5,3X))
3000 CONTINUE
2013 CONTINUE

```

C LEITURA E IMPRESSAO DAS LIGACOES DOS NOS

ND=3*NJ

C ZERAGEM DE RL(K)

```

DO 18 K=1,ND
18 RL(K)=0
WRITE(5,22)
22 FORMAT(//1X,'LIGACOES DE NO',//,2X,'NO',11X,'DIRECAO X',7X,'DIRECA
*O Y',7X,'DIRECAC Z')
DO 21 IC=1,NRJ
READ(8,19)K,RL(3*K-2),RL(3*K-1),RL(3*K)
19 FORMAT(4I10)
WRITE(5,20)K,RL(3*K-2),RL(3*K-1),RL(3*K)
20 FORMAT(I4,3I16)
21 CONTINUE
CRL(1)=RL(1)
DO 23 K=2,ND
23 CRL(K)=CRL(K-1)+RL(K)

```

C ZERAGEM DA MATRIZ DE RIGIDEZ GLOBAL

```

LSB=21
DO 24 I=1,N
DO 24 J=1,LSB

```

24 S(I,J)=0
UBW=C

C MONTAGEM DA MATRIZ DE RIGIDEZ GLOBAL
DO 74 I=1,M

C NUMERACAO ORIGINAL DOS DESLOCAMENTOS

J1A=3*NEL(I,1)-2
J2A=3*NEL(I,1)-1
J3A=3*NEL(I,1)
K1A=3*NEL(I,2)-2
K2A=3*NEL(I,2)-1
K3A=3*NEL(I,2)
IF(IV(I)-3)2019,2018,3

2019 CONTINUE

C MATRIZ DE RIGIDEZ PARA ELEMENTOS COM SECAO CONSTANTE

CALL RGDW(I,AX,L,E,I2,SM)
1008 IF(IV(I)-1)1007,1029,1029
1029 CONTINUE

C MATRIZ DE RIGIDEZ PARA ELEMENTOS COM MISULA RETA OU PARABOLICA

CALL KINW(I;IV,VN1,VN2,KS)
CALL FINW(I,V1,V2;KS,FI33,FI44,FI36,FI66)
CALL CIVRW(FI33,FI44,FI36,FI66,CR)
DO 1009 J=1,6
DO 1009 K=1,6
1009 SM(J,K)=SM(J,K)*CR(J,K)
1007 CONTINUE
GO TO 2020
2018 CONTINUE

C MATRIZ DE RIGIDEZ PARA ELEMENTOS EM QUE ELA E LIDA

CALL RDRIW(I,L,ASM,SM)
2020 CONTINUE

C OBTENCAO DA MATRIZ SMR
DO 27 K=1,2
DO 27 J=1,6
SMR(J,3*K-2)=SM(J,3*K-2)*CX(I)-SM(J,3*K-1)*CY(I)
SMR(J,3*K-1)=SM(J,3*K-2)*CY(I)+SM(J,3*K-1)*CX(I)
SMR(J,3*K)=SM(J,3*K)
27 CONTINUE

C ARMAZENAMENTO DA MATRIZ SMR NO DISCO

ID=I
WRITE(1,ID)((SMR(K1,K2),K2=1,6),K1=1,6),J1A,J2A,J3A,K1A,K2A,K3A
IF(N)1100,1100,1101
1101 CONTINUE

C OBTENCAO DA MATRIZ SMD

DO 28 K=1,2
DO 28 J=1,6
SMD(3*K-2,J)=SMR(3*K-2,J)*CX(I)-SMR(3*K-1,J)*CY(I)
SMD(3*K-1,J)=SMR(3*K-2,J)*CY(I)+SMR(3*K-1,J)*CX(I)
SMD(3*K,J)=SMR(3*K,J)
28 CONTINUE

C MONTAGEM DA MATRIZ DE RIGIDEZ GLOBAL S

CALL MONTW(I,UBW,NEL,RL,CRL,LSB,SMD,S)
74 CONTINUE
CALL DEBAW(N,UBW,S,ICO)

C LEITURA DO CARREGAMENTO

1100 CONTINUE


```

      READ(8,75)NLS
75  FORMAT(I10)
      WRITE(5,76)NLS
76  FORMAT(///1X,'O NUMERO DE CARREGAMENTOS E IGUAL A'#,I3)
      IF(N)1104,1104,1105
1105 CONTINUE
      IF(-ICO)77,77,3
1104 CONTINUE
77  READ(8,78)NL,NLJ,NLML,NLMC
78  FORMAT(4I10)
      WRITE(5,79)NL;NLJ;NLML,NLMC
79  FORMAT('*1','CARREGAMENTO NUMERO',I3,/,1X,'NUMERO DE NOS CARREGADO
      *S EM PELO MENOS UMA DIRECAO',I15,/,1X,'NUMERO DE MEMBROS COM ACOE
      *S DE ENGASTAMENTO DADAS DIRETAMENTE',I4,/,1X,'NUMERO DE MEMBROS C
      *OM ACOES DE ENGASTAMENTO A SEREM CALCULADAS',I3)

```

```

C      ZERAGEM DE A(J),AE(J);AR(J)

```

```

      DO 80 J=1,ND
      A(J)=C.
      AR(J)=0.
80  AE(J)=0.

```

```

C      LEITURA DAS ACOES APLICADAS NOS NOS

```

```

      IF(NLJ)86;86,81
81  WRITE(5,82)
82  FORMAT(//,1X,'ACOES APLICADAS NOS NOS',/,2X,'NO',6X,'ACAO X',6X,
      *'ACAO Y',6X,'ACAO Z')
      DO 84 J=1,NLJ
      READ(8,83)K,A(3*K-2),A(3*K-1),A(3*K)
83  FORMAT(I10,6F10.0)
84  WRITE(5,85)K,A(3*K-2),A(3*K-1),A(3*K)
85  FORMAT(I4,3F12.3)

```

```

C      ZERAGEM DOS AML

```

```

86  DO 87 I=1;M
      DO 87 J=1,6
87  AML(I,J)=0.

```

```
      IF(NLML)93,93,88
88 WRITE(5,89)
89 FORMAT(/,1X,'ACOES DE ENGASTAMENTO LIDAS DIRETAMENTE',1X,'MEMB
  *RO',8X,'AML1',11X,'AML2',11X,'AML3',11X,'AML4',11X,'AME5',11X,
  *'AML6.')
```

C LEITURA DAS ACOES DE ENGASTAMENTO FORNECIDAS

```
      DO 91 J=1,NLML
      READ(8,90)I,(AML(I,IK),IK=1,6)
90 FORMAT(I10,6F10.3)
91 WRITE(5,92)I,(AML(I,IK),IK=1,6)
92 FORMAT(I4,6F15.3)
93 IF(NLMC)105,105,94
94 WRITE(5,95)
95 FORMAT(/,1X,'CARREGAMENTO DOS ELEMENTOS',/)
```

C LEITURA DAS CARGAS CONCENTRADAS E DISTRIBUIDAS E CALCULO DOS AML

```
      DO 104 J=1,NLMC
      READ(8,97)I,NCCI,NCDI
97 FORMAT(3I10)
      WRITE(5,98)I
98 FORMAT(1X,'ELEMENTO',I3)
```

C CALCULO DOS AML DEVIDO A CARGA CONCENTRADA

```
      IF(NCCI)101,101,99
99 WRITE(5,100)
100 FORMAT(/,8X,'PY',10X,'PX',10X,'DA')
      IF(IV(I))1012,1010,1012
1012 CONTINUE
```

C ELEMENTO COM MISULA RETA OU PARABOLICA

```
      CALL CONCW(NCCI,I,L,IV,V1,V2,VN1,VN2,AML)
      GO TO 1013
```

1010 CONTINUE

C ELEMENTO COM SECAO CONSTANTE

CALL CONW(NCCI,L,I,AML)

1013 CONTINUE

C CALCULO DOS AML DEVIDO A CARGA DISTRIBUIDA

101 IF(NCDI)104,104,102

102 WRITE(5,103)

103 FORMAT(/,8X,'QEY',9X,'QEX',9X,'QDY',9X,'QDX',9X,'DA',10X,'DB')
IF(IV(I))1016,1014,1016

1016 CONTINUE

C ELEMENTO COM MISULA RETA OU PARABOLICA

CALL CADTW(I,L,IV,V1,V2,VN1,VN2,AML)

GO TO 1017

1014 CONTINUE

C ELEMENTO COM SECAO CONSTANTE

CALL DISCW(NCDI,L,I,AML)

1017 CONTINUE

104 CONTINUE

C CALCULO DAS ACOES EQUIVALENTES

105 DO 106 I=1,M

JJI=NEL(I,1)*3

JKI=NEL(I,2)*3

AE(JJI-2)=AE(JJI-2)-AML(I,1)*CX(I)+AML(I,2)*CY(I)

AE(JJI-1)=AE(JJI-1)-AML(I,1)*CY(I)-AML(I,2)*CX(I)

AE(JJI)=AE(JJI)-AML(I,3)

AE(JKI-2)=AE(JKI-2)-AML(I,4)*CX(I)+AML(I,5)*CY(I)

AE(JKI-1)=AE(JKI-1)-AML(I,4)*CY(I)-AML(I,5)*CX(I)

AE(JKI)=AE(JKI)-AML(I,6)

106 CONTINUE

C CALCULO DAS ACOES COMBINADAS NCS NOS, COM REORDENACAO DOS NUMEROS
C DOS DESLOCAMENTOS

DO 110 J=1,ND
IF(RL(J))107,107,108
107 K=J-CRL(J)
GO TO 109
108 K=N+CRL(J)
109 AC(K)=A(J)+AE(J)
110 CONTINUE

C CALCULO DOS DESLOCAMENTOS COM A NOVA NUMERACAO

IF(N)1102,1102,1103
1103 CONTINUE
CALL SBANK(N,UBW;S,AC,D)
1102 CONTINUE

C DESLOCAMENTOS COM A NUMERACAO ORIGINAL

J=N+1
DO 113 K=1,ND
JE=ND+1-K
IF(RL(JE))111;111;112
111 J=J-1
D(JE)=D(J)
GO TO 113
112 D(JE)=0
113 CONTINUE
WRITE(5,114)
114 FORMAT(/,1X,'DESLOCAMENTOS',/,2X,'NO',10X,'DESL X',10X,'DESL Y',
*10X,'ROT Z')
DO 116 J=1,NJ
WRITE(5,115)J,D(3*J-2),D(3*J-1),D(3*J)
115 FORMAT(I4,3F16.5)
116 CONTINUE

C CALCULO DAS ACOES NAS EXTREMIDADES DOS ELEMENTOS

```

WRITE(5,131)
131 FORMAT(//,1X,'ACOES NAS EXTREMIDADES DOS ELEMENTOS',//,1X,'HASTE',
*9X,'AML1',11X,'AML2',11X,'AML3',11X,'AML4',11X,'AML5',11X,'AML6')
DO 129 I=1,M
  ID=I
  READ(1,ID)((SMR(K1,K2),K2=1,6),K1=1,6),J1A,J2A,J3A,K1A,K2A,K3A
  DO 130 J=1,6
    AMD(J)=SMR(J,1)*D(J1A)+SMR(J,2)*D(J2A)+SMR(J,3)*D(J3A)+SMR(J,4)*
    *D(K1A)+SMR(J,5)*D(K2A)+SMR(J,6)*D(K3A)
130 AML(I;J)=AML(I,J)+AMD(J)
  WRITE(5,133)I,(AML(I,J),J=1,6)
133 FORMAT(I4,6F15.3)

```

C CALCULO DA CONTRIBUICAO DO MEMBRO I AS REACOES DE APOIO

```

IF(RL(J1A))117,118,117
117 AR(J1A)=AR(J1A)+AMD(1)*CX(I)-AMD(2)*CY(I)
118 IF(RL(J2A))120,121,120
120 AR(J2A)=AR(J2A)+AMD(1)*CY(I)+AMD(2)*CX(I)
121 IF(RL(J3A))122,123,122
122 AR(J3A)=AR(J3A)+AMD(3)
123 IF(RL(K1A))124,125,124
124 AR(K1A)=AR(K1A)+AMD(4)*CX(I)-AMD(5)*CY(I)
125 IF(RL(K2A))126,127,126
126 AR(K2A)=AR(K2A)+AMD(4)*CY(I)+AMD(5)*CX(I)
127 IF(RL(K3A))128,129,128
128 AR(K3A)=AR(K3A)+AMD(6)
129 CONTINUE
  WRITE(5,134)
134 FORMAT(//,1X,'REACOES DE APOIO',//,2X,'NO',10X,'ESE X',9X,'ESF Y',
*9X,'MOM Z')
  DO 136 K=1,ND
    IF(RL(K))136,136,135
135 AR(K)=AR(K)-AE(K)-A(K)
136 CONTINUE
  DO 141 K=3,ND,3

```

```
      DO 137 J=1,3
      KJT=K-J+1
      IF(RL(KJT))137,137,139
137  CONTINUE
      GO TO 141
139  KJ=K/3
      WRITE(5,140)KJ,AR(K-2),AR(K-1),AR(K)
140  FORMAT(I4,3F15.3)
141  CONTINUE
      IF(NL-NLS)77,1,1
      END
```

BIBLIOGRAFIA

1. STRASSNER, A. - "Sistemas Estaticamente Indeterminados", vol. III, Editora Globo, Porto Alegre, 1960.
2. CARNEIRO, F.L.L.B. - "Matrizes de Rigidez e de Flexibilidade dos Elementos", COPPE/UFRJ, Rio de Janeiro, julho de 1971.
3. CARNEIRO, F.L.L.B. - "Programa Stigi", COPPE/UFRJ; Rio de Janeiro.
4. A.B.N.T. - Norma Brasileira NB-1 - Cálculo e Execução de Obras de Concreto Armado, 1960.
5. Comité Européen du Béton (CEB), Fédération Internationale della Précontrainte (FIP), Recommandations Internationales pour le Calcul et l'Execution des Ouvrages en Béton, seconde édition - Redaction mai 1972.
6. GERE, J. M. & WEAVER, W. Jr. - "Analysis of Framed Structures", Van Nostrand Company Inc., Princeton, New Jersey, 1965.
7. WEAVER, W. Jr. - "Computer Programs for Structural Analysis", Van Nostrand Company Inc., Princeton, New Jersey, 1965.
8. ZIENKIEWICZ, O. C. - "The Finite Element Method in Engineering Science", McGraw-Hill, London, 1971.
9. Programa ICES STRUDL-II, M. I. T., Massachusetts.
10. FEIJOO, R. A. & MONTEIRO, L.F.R. - "Programa General para Analisis Estático de Estruturas", COPPE/UFRJ, Publicação Técnica 16-74, Rio de Janeiro, setembro de 1974.
11. SOUSA, N.G. - "Análise por Computadores de Pórticos Planos com Elementos de Eixo Curvo e Seção Variável", COPPE/UFRJ

Tese de M. Sc., Rio de Janeiro, setembro de 1971.

12. SORIANO, H. L. - "Cálculo Automático do Efeito de Vento em Estruturas de Edifícios", COPPE/UFRJ - Tese de M. Sc., Rio de Janeiro, agosto de 1971.
13. PACITTI, T.- "Fortran Monitor", Ao Livro Técnico, S. A., Rio de Janeiro, 1970.